

การเพิ่มอัตราขยายสายอากาศปากแตรรูปกรวยโดยใช้เทคนิคอภิวัดในรูปแบบ
โครงสร้างตัวกลางแบบเส้นลวด



วิทยานิพนธ์นี้เป็นส่วนหนึ่งของการศึกษาตามหลักสูตรปริญญาวิศวกรรมศาสตรดุษฎีบัณฑิต
สาขาวิชาวิศวกรรมโทรคมนาคม
มหาวิทยาลัยเทคโนโลยีสุรนารี
ปีการศึกษา 2559

**GAIN ENHANCEMENT OF CONICAL HORN ANTENNA
USING METAMATERIAL TECHNIQUE ON
WIRE MEDIUM STRUCTURE**



**A Thesis Submitted in Partial Fulfillment of the Requirements for the
Degree of Doctor of Philosophy in Telecommunication Engineering**

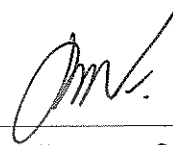
Suranaree University of Technology

Academic Year 2016

การเพิ่มอัตราขยายสายอากาศปากแตรรูปกรวยโดยใช้เทคนิคอภิวัด
ในรูปแบบโครงสร้างตัวกลางแบบเส้นลวด

มหาวิทยาลัยเทคโนโลยีสุรนารี อนุมัติให้นับวิทยานิพนธ์ฉบับนี้เป็นส่วนหนึ่งของการศึกษา
ความหลักสูตรปริญญาคุณวุฒิบัณฑิต

คณะกรรมการสอบวิทยานิพนธ์



(ศ. ดร. ประยูทธ อัครเอกธมาลิน)

ประธานกรรมการ



(รศ. ดร. รุ่งสรรค์ วงศ์สรรค์)

กรรมการ (อาจารย์ที่ปรึกษาวิทยานิพนธ์)



(รศ. ดร. ชuang พงศ์เจริญพาณิชย์)

กรรมการ



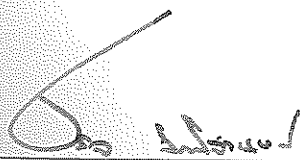
(รศ. ดร. มนต์ทิพย์ภา อูฑารสกุล)

กรรมการ



(ผศ. ดร. ปิยาภรณ์ มีสวัสดิ์)

กรรมการ



(ศ. ดร. ชุกิจ ลิ้มปีจันทร์)

รองอธิการบดีฝ่ายวิชาการและนวัตกรรมการ



(รศ. ร.อ. ดร. กนต์ธร ชำนิประศาสน์)

คณบดีสำนักวิชาวิศวกรรมศาสตร์

ภูมิพงษ์ ดวงตั้ง : การเพิ่มอัตรายายสายอากาศปากแตรรูปกรวยโดยใช้เทคนิคอภิวัดดูใน
รูปแบบ โครงสร้างตัวกลางแบบเส้นลวด (GAIN ENHANCEMENT OF CONICAL
HORN ANTENNA USING METAMATERIAL TECHNIQUE ON WIRE MEDIUM
STRUCTURE) อาจารย์ที่ปรึกษา : รองศาสตราจารย์ ดร.รังสรรค์ วงศ์สรรคค์, 173 หน้า

วิทยานิพนธ์ฉบับนี้ได้นำเสนอเทคนิคการเพิ่มอัตรายายรวมของสายอากาศปากแตรรูปกรวยโดยใช้คุณสมบัติอภิวัดดูในรูปแบบ โครงสร้างตัวกลางแบบเส้นลวดซึ่งสามารถพัฒนาและปรับปรุงประสิทธิภาพของสายอากาศโดยใช้เทคนิคการถ่ายโอนกำลังงานผ่าน โครงสร้างตัวกลางแบบเส้นลวด เทคนิคอภิวัดดูบน โครงสร้างตัวกลางแบบเส้นลวดนั้นได้ถูกนำมาใช้ในการเพิ่มประสิทธิภาพสายอากาศปากแตรรูปกรวยซึ่งไม่มีการเปลี่ยนแปลงขนาดของสายอากาศปากแตรขนาดมาตรฐาน โดยทำการออกแบบที่ความถี่ 10 GHz ในย่าน X-Band เพื่อนำไปประยุกต์ใช้งานสำหรับการเชื่อมต่อสัญญาณไมโครเวฟ (microwave link) ผ่านสถานีทวนสัญญาณ นอกจากนี้ได้นำเทคนิคการใส่โหนดไดอิเล็กตริกเข้าไปภายใน โครงสร้างของสายอากาศปากแตรรูปกรวยขนาดมาตรฐานเพื่อปรับปรุงแบบรูปการแผ่พลังงานให้มีลักษณะที่สมมาตร ในการออกแบบและวิเคราะห์ผลได้ใช้โปรแกรมสำเร็จรูป CST (Computer Simulation Technology) จากเทคนิคดังกล่าวพบว่าสามารถเพิ่มอัตรายายของสายอากาศปากแตรรูปกรวยขนาดมาตรฐานจากเดิม 17.7 dBi เพิ่มเป็น 20.9 dBi โดยมีอัตรายายเพิ่มขึ้นจากเดิม 3.2 dBi และมีระดับพู่ข้างลดลง จากนั้นทำการสร้างสายอากาศต้นแบบเพื่อนำมาวัดทดสอบเปรียบเทียบผลที่ได้จากการจำลองผล พบว่าค่าสัมประสิทธิ์การสะท้อนกลับ แบบรูปการแผ่พลังงานและอัตรายายที่ได้มีผลที่สอดคล้องกันตามสมมุติฐานที่ตั้งไว้

สาขาวิชาวิศวกรรมโทรคมนาคม
ปีการศึกษา 2559

ลายมือชื่อนักศึกษา

ลายมือชื่ออาจารย์ที่ปรึกษา

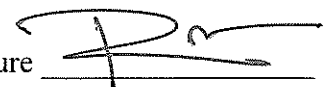
PUMIPONG DUANGTANG : GAIN ENHANCEMENT OF CONICAL
HORN ANTENNA USING METAMATERIAL TECHNIQUE ON WIRE
MEDIUM STRUCTURE. THESIS ADVISOR : ASSOC. PROF. RANGSAN
WONGSAN, D.Eng., 173 PP.

METAMATERIAL/WIRE MEDIUM/LOADED DIELECTRIC

This thesis proposes a technique to enhance the total gain of conical horn antenna by using the metamaterial technique with a structure of wire medium placed on the conical horn aperture without modification the antenna dimension, which is designed at 10 GHz of the X-band operating frequency for microwave link applications. In addition, the loaded dielectric is inserted inside the structure of such conical horn antenna to improve the symmetry of the both planes of radiation pattern. The CST (Computer Simulation Technology) software is used to design and analyze the proposed structure. The results show that the wire medium structure can enhance the gain total of a conventional conical horn antenna from 17.7 dBi to 20.9 dBi or increase around 3.2 dBi approximately, while its side lobe levels are also reduced. Finally, a prototype antenna is fabricated and its fundamental parameters including the reflection coefficient (S_{11}), radiation patterns, and directive gain are measured. The simulated and measured results are in very good agreement according to the hypothesis and research process.

School of Telecommunication Engineering

Student's Signature



Academic Year 2016

Advisor's Signature



กิตติกรรมประกาศ

วิทยานิพนธ์นี้สำเร็จลุล่วงด้วยดี เนื่องจากได้รับความช่วยเหลืออย่างดียิ่งทั้งด้านวิชาการ และด้านการดำเนินงานวิจัยจากบุคคลต่างๆ ได้แก่

รองศาสตราจารย์ ดร.รังสรรค์ วงศ์สรรค์ อาจารย์ที่ปรึกษาวิทยานิพนธ์ ที่ให้โอกาสทางการศึกษา ให้คำแนะนำปรึกษาและช่วยแก้ปัญหาต่างๆ แก่ผู้วิจัยมาโดยตลอด รวมทั้งช่วยตรวจทานและแก้ไขวิทยานิพนธ์เล่มนี้จนเสร็จสมบูรณ์

คณาจารย์ประจำสาขาวิชาวิศวกรรมโทรคมนาคม สำนักวิชาวิศวกรรมศาสตร์ มหาวิทยาลัยเทคโนโลยีสุรนารีทุกท่านที่ให้คำปรึกษาและแนะนำในด้านต่างๆ ด้วยดี

ศ. ดร.ประยุทธ์อัครเอกผดาลัยประธานกรรมการสอบวิทยานิพนธ์ รศ.ดร.ชวรงค์พงศ์เจริญพาณิชย์ รศ. ดร.มนต์ทิพย์ภา อุฑารสกุล และ ผศ.ดร.ปิยาภรณ์มีสวัสดิ์ กรรมการสอบวิทยานิพนธ์ที่ช่วยให้คำชี้แนะและคำแนะนำเกี่ยวกับการทำวิทยานิพนธ์จนสำเร็จลุล่วงไปได้ด้วยดี

คุณพิรสันต์คำสาลี ที่คอยให้ความช่วยเหลือในการติดต่อประสานงานเกี่ยวกับเอกสารต่างๆ และให้ความช่วยเหลือในด้านต่างๆ ของการทำวิทยานิพนธ์จนสำเร็จลุล่วงไปได้ด้วยดี

คุณสมภพ พิมพล คุณระพีพันธ์ศักดิ์ปิกคุณวารกรณ์ สาริชาดร.ศรัณย์คัมภีร์ภัทร ดร.เอกัทธรา คำพิกุล คุณภรภัทรเปรมฤดีชัยศักดิ์ คุณสพลนรา โชติกาและพี่น้องบัณฑิตศึกษาทุกท่าน ที่คอยให้ความช่วยเหลือในด้านต่างๆ ของการทำวิทยานิพนธ์จนสำเร็จลุล่วงไปได้ด้วยดี

คุณพ่ออรุณ คุณแม่หอมหวลดวงตั้ง ผู้เป็นบิดามารดา และคุณปาริฉัตรดวงตั้ง ผู้เป็นภรรยาของผู้วิจัย ที่คอยเป็นกำลังใจตลอดระยะเวลาในการศึกษาและการทำวิทยานิพนธ์จนสำเร็จลุล่วงไปได้ด้วยดี อีกทั้งญาติพี่น้อง เพื่อนสนิทมิตรสหายทั้งในอดีตและปัจจุบันที่คอยให้กำลังใจในการทำวิทยานิพนธ์โดยตลอดจนสำเร็จลุล่วงไปได้ด้วยดี

ครูอาจารย์ทุกท่านที่ประสิทธิ์ประสาทวิชาและความรู้ด้านต่างๆทั้งในอดีตและปัจจุบัน

สำหรับคุณงามความดีอันใดที่เกิดจากวิทยานิพนธ์เล่มนี้ ผู้วิจัยขอมอบให้บิดา มารดา ภรรยาและญาติพี่น้องซึ่งเป็นที่รักยิ่ง มิตรสหาย ตลอดจนครูอาจารย์ผู้สอนที่เคารพทุกท่านที่ได้ถ่ายทอดประสบการณ์ที่ดีให้แก่ผู้วิจัยทั้งในอดีตและปัจจุบันจนสำเร็จการศึกษาไปได้ด้วยดี

ภูมิพงษ์ดวงตั้ง

สารบัญ

| | หน้า |
|---|--|
| บทคัดย่อ (ภาษาไทย)..... | ก |
| บทคัดย่อ (ภาษาอังกฤษ)..... | ข |
| กิตติกรรมประกาศ..... | ค |
| สารบัญ..... | ง |
| สารบัญตาราง..... | ช |
| สารบัญรูป..... | ฉ |
| บทที่ | |
| 1 บทนำ | |
| 1.1 ความสำคัญและที่มาของปัญหา | 1.2 วัตถุประสงค์ของการวิจัย |
| 1.3 ขอบเขตของการวิจัย | 1.4 ประโยชน์ที่คาดว่าจะได้รับ |
| วรรณกรรม งานวิจัยที่เกี่ยวข้อง | ป ร ิ ท ธิ ส น ธ์ |
| 2.1 บทนำ | 2.2 สายอากาศปากแตร..... 4 |
| 2.3 อภิวัด | 2.4 ช่องว่างแถบความถี่แม่เหล็กไฟฟ้า..... 9 |
| 2.5 ตัวกลางแบบเส้นลวด | 10 |
| 2.6 สรุป..... | 17 |
| 3 ทฤษฎีและหลักการที่เกี่ยวข้อง | 19 |
| 3.1 บทนำ..... | 19 |
| 3.2 สายอากาศปากแตร..... | 19 |
| 3.2.1 แบบรูปการแผ่พลังงานในระนาบหลัก | 25 |
| 3.2.2 สภาพเจาะจงทิศทาง | 26 |
| 3.3 สายอากาศปากแตรรูปกรวย..... | 28 |
| 3.3.1 จุดศูนย์กลางเฟส | 33 |

สารบัญ (ต่อ)

| | หน้า |
|----------------------------|------|
| 3.4 อภิวัด..... | 34 |
| 3.5 ตัวกลางแบบเส้นลวด..... | 37 |

| | | |
|---------|--|----|
| 3.5.1 | ความถี่พลาสมาสำหรับตัวกลางแบบเส้นลวด..... | 40 |
| 3.5.2 | การกระจายตัวเชิงพื้นที่สำหรับตัวกลางแบบเส้นลวด..... | 41 |
| 3.6 | สรุป..... | 43 |
| 4 | ผลการศึกษาและการวิเคราะห์ผล..... | 44 |
| 4.1 | บทนำ..... | 44 |
| 4.2 | การออกแบบสายอากาศปากแตรรูปกรวย..... | 44 |
| 4.2.1 | การออกแบบโครงสร้างตัวกระตุ้น44 | |
| 4.2.1.1 | การพิจารณาความยาวของโพรบ45 | |
| 4.2.1.2 | การพิจารณาระยะตำแหน่งการวางโพรบ46 | |
| 4.2.1.3 | การพิจารณาเส้นผ่าศูนย์กลางของโพรบ47 | |
| 4.2.1.4 | การพิจารณาความยาวท่อนำคลื่นของตัวกระตุ้น48 | |
| 4.2.2 | การออกแบบโครงสร้างสายอากาศปากแตรรูปกรวย52 | |
| 4.3 | การปรับปรุงประสิทธิภาพแบบรูปการแผ่พลังงานโดยใช้ โหลดไดอิเล็กตริก..... | 58 |
| 4.3.1 | พิจารณาจุดศูนย์กลางเฟสสายอากาศปากแตรรูปกรวย58 | |
| 4.3.2 | การออกแบบและวิเคราะห์รูปแบบโครงสร้างโหลดไดอิเล็กตริก60 | |
| 4.3.2.1 | การพิจารณาขนาดรัศมีของโหลดไดอิเล็กตริก62 | |
| 4.3.2.2 | การพิจารณาขนาดความหนาของโหลดไดอิเล็กตริก63 | |
| 4.3.2.3 | การพิจารณตำแหน่งการวางโหลดไดอิเล็กตริก63 | |
| 4.3.2.4 | การพิจารณาค่าสภาพยอมทางไฟฟ้าของไดอิเล็กตริก64 | |
| 4.4 | การออกแบบโครงสร้างตัวกลางแบบเส้นลวด70 | |
| 4.5 | การพิจารณาโครงสร้างตัวกลางแบบเส้นลวดสำหรับทำงานร่วมกับ สายอากาศปากแตรรูปกรวยขนาด74 | |
| 4.5.1 | การพิจารณตำแหน่งการวางโครงสร้างตัวกลางแบบ เส้นลวดที่ตำแหน่งปากอะเพอร์เจอร์ของสายอากาศปากแตร85 | |

สารบัญ (ต่อ)

หน้า

| | | |
|-------|--|--|
| 4.5.2 | การพิจารณาชนิดไดอิเล็กตริกที่วางกั้นระหว่างชั้นของแนว ระนาบเส้นลวดของโครงสร้างตัวกลางแบบเส้นลวด87 | |
|-------|--|--|

| | | |
|----------|---|------------|
| 4.5.3 | การพิจารณาจำนวนชั้นของโครงสร้างตัวกลางแบบเส้นลวด | 89 |
| 4.5.4 | สายอากาศปากแตรรูปกรวยโดยใช้เทคนิคอภิวัดคูน โครงสร้างตัวกลางแบบเส้นลวดที่นำเสนอ | 96 |
| 4.6 | การพิจารณาแบบรูปการแผ่พลังงานของสายอากาศปากแตรรูปกรวย | 102 |
| 4.7 | สรุป | 104 |
| 5 | ผลการสร้างและวัดทดสอบ | 106 |
| 5.1 | บทนำ | 106 |
| 5.2 | สายอากาศปากแตรรูปกรวยขนาดมาตรฐาน | 106 |
| 5.2.1 | ผลการวัดทดสอบสัมประสิทธิ์การสะท้อน | 108 |
| 5.2.2 | ผลการวัดทดสอบอัตราส่วนคลื่นนิ่ง | 109 |
| 5.2.3 | ผลการวัดทดสอบค่าอิมพีแดนซ์ | 110 |
| 5.2.4 | ผลการวัดทดสอบอัตราขยาย | 110 |
| 5.2.5 | ผลการวัดทดสอบแบบรูปการแผ่พลังงาน | 112 |
| 5.3 | สายอากาศปากแตรรูปกรวยกรณีใส่โหลดไดอิเล็กตริก | 116 |
| 5.3.1 | ผลการวัดทดสอบสัมประสิทธิ์การสะท้อน | 118 |
| 5.3.2 | ผลการวัดทดสอบอัตราส่วนคลื่นนิ่ง | 119 |
| 5.3.3 | ผลการวัดทดสอบค่าอิมพีแดนซ์ | 120 |
| 5.3.4 | ผลการวัดทดสอบอัตราขยาย | 120 |
| 5.3.5 | ผลการวัดทดสอบแบบรูปการแผ่พลังงาน | 122 |
| 5.4 | สายอากาศปากแตรโดยใช้คุณสมบัติอภิวัดคูนโครงสร้างตัวกลางแบบเส้นลวด | 126 |
| 5.4.1 | ผลการวัดทดสอบสัมประสิทธิ์การสะท้อน | 128 |
| 5.4.2 | ผลการวัดทดสอบอัตราส่วนคลื่นนิ่ง | 129 |
| 5.4.3 | ผลการวัดทดสอบค่าอิมพีแดนซ์ | 129 |
| 5.4.4 | ผลการวัดทดสอบอัตราขยาย | 130 |
| 5.4.5 | ผลการวัดทดสอบแบบรูปการแผ่พลังงาน | 132 |
| 5.5 | การเปรียบเทียบผลการจำลองโครงสร้างสายอากาศและการวัดทดสอบ | 137 |
| 5.6 | สรุป | 138 |
| 6 | บทสรุปและข้อเสนอแนะ | 140 |
| 6.1 | สรุปผลการวิจัย | 140 |

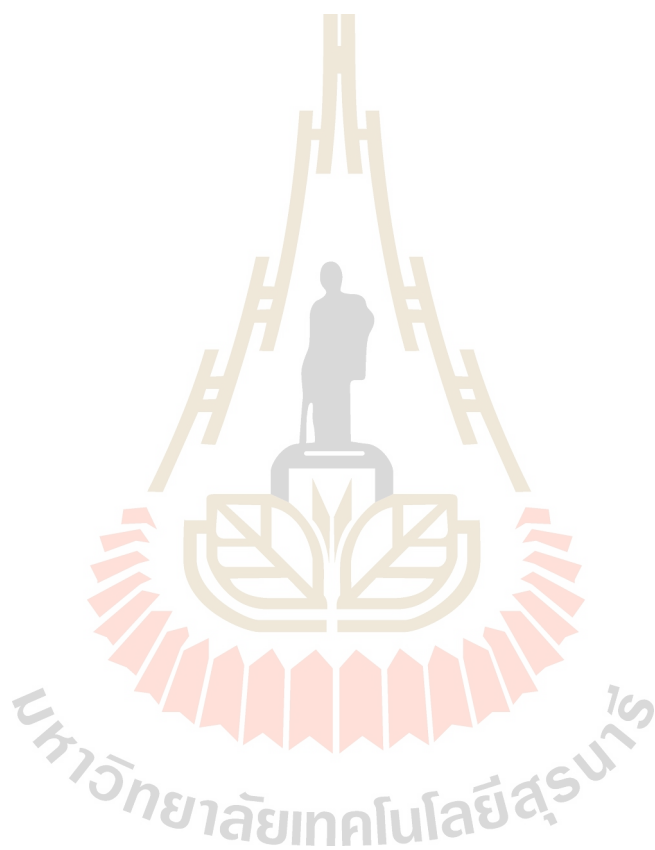
สารบัญ (ต่อ)

หน้า

6.2 ข้อเสนอแนะและแนวทางการพัฒนา143

รายการอ้างอิง144

ภาคผนวก

ภาคผนวก ก. บทความวิชาการที่ได้รับการตีพิมพ์เผยแพร่ในระหว่างศึกษา150
ประวัติผู้เขียน174

สารบัญตาราง

| ตารางที่ | หน้า |
|----------|--|
| 2.1 | ลำดับการอ้างอิงปริทัศน์วรรณกรรมและงานวิจัยที่เกี่ยวข้อง_12 |
| 3.1 | จุดศูนย์กลางเฟสของสายอากาศปากแตรรูปกรวยภายใต้โหมด TE_{11} สำหรับอัตราส่วนรัศมีมุมเอียงของปากแตร34 |
| 4.1 | ค่าพารามิเตอร์ต่างๆ ของตัวกระตุ้นสายอากาศปากแตรรูปกรวย49 |
| 4.2 | ผลการจำลองค่าพารามิเตอร์สายอากาศปากแตรขนาดมาตรฐาน57 |
| 4.3 | การเปรียบเทียบค่าพารามิเตอร์ต่างๆ ระหว่างสายอากาศปากแตร ขนาดมาตรฐานกับสายอากาศปากแตรกรณีใส่โหลดไดอิเล็กตริก70 |
| 4.4 | สรุปค่าพารามิเตอร์ของสายอากาศปากแตรรูปกรวยในกรณีต่อร่วมกับ ตัวกลางแบบเส้นลวด91 |
| 4.5 | สรุปค่าพารามิเตอร์ต่างๆ ของสายอากาศปากแตรรูปกรวยโดยใช้เทคนิค อภิวัดบนโครงสร้างตัวกลางแบบเส้นลวดที่สมบูรณ์97 |
| 4.6 | การเปรียบเทียบค่าพารามิเตอร์ต่างๆ ของแบบรูปการแผ่พลังงานของ สายอากาศปากแตรรูปกรวย 4 รูปแบบ104 |
| 5.1 | ค่าพารามิเตอร์ต่างๆ ของสายอากาศปากแตรรูปกรวยขนาดมาตรฐานต้นแบบ107 |
| 5.2 | ค่าพารามิเตอร์ต่างๆ ของสายอากาศปากแตรรูปกรวยกรณีใส่โหลดไดอิเล็กตริก117 |
| 5.3 | ค่าพารามิเตอร์ต่างๆ ของโครงสร้างตัวกลางแบบเส้นลวด126 |
| 5.4 | การเปรียบเทียบค่าพารามิเตอร์ของสายอากาศระหว่างการจำลองการออกแบบด้วย โปรแกรมสำเร็จรูป CST และการวัดจากสายอากาศต้นแบบที่ความถี่ 10 GHz138 |
| 5.5 | การเปรียบเทียบอัตราขยายที่ความถี่ 10 GHz ของสายอากาศ 4 รูปแบบ138 |
| 6.1 | ค่าพารามิเตอร์ต่างๆ ของโครงสร้างสายอากาศปากแตรรูปกรวยโดยใช้ คุณสมบัติอภิวัดบนโครงสร้างตัวกลางแบบเส้นลวดที่เสร็จสมบูรณ์142 |
| 6.2 | ประสิทธิภาพของสร้างสายอากาศปากแตรรูปกรวยโดยใช้คุณสมบัติอภิวัดบน โครงสร้างตัวกลางแบบเส้นลวดที่เสร็จสมบูรณ์142 |

สารบัญรูป

| รูปที่ | หน้า |
|--------|---|
| 3.1 | ลักษณะของสายอากาศปากแตรรูปสี่เหลี่ยมมุมฉากทั้ง 3 แบบหลัก...20 |
| 3.2 | ภาพตัดขวางในระนาบสนามแม่เหล็กหรือระนาบ x-z ของปากแตรแบบเซกเตอร์21 |
| 3.3 | แบบรูปการแผ่พลังงานของสายอากาศปากแตรแบบเซกเตอร์ระนาบสนามแม่เหล็ก26 |
| 3.4 | กราฟแสดงสภาพเจาะจงทิศทางของสายอากาศปากแตรแบบเซกเตอร์ในระนาบสนามแม่เหล็กซึ่งมีระยะของ R_0 แตกต่างกัน28 |
| 3.5 | ลักษณะของสายอากาศปากแตรรูปกรวย28 |
| 3.6 | กราฟแสดงการคำนวณอัตราขยายของสายอากาศปากแตรรูปกรวยโดยแสดงความสัมพันธ์ระหว่างขนาดของปากอะเพอร์เจอร์และความยาวของสายอากาศปากแตรรูปกรวย29 |
| 3.7 | กราฟแสดงแบบรูปการแผ่พลังงานในระนาบสนามไฟฟ้า32 |
| 3.8 | กราฟแสดงแบบรูปการแผ่พลังงานในระนาบสนามแม่เหล็ก32 |
| 3.9 | โครงสร้างสายอากาศปากแตรรูปกรวยแนวตัดขวาง33 |
| 3.10 | แผนผังสภาพยอมทางไฟฟ้าและค่าความซึมซาบแม่เหล็ก37 |
| 3.11 | โครงสร้างตัวกลางแบบเส้นลวด39 |
| 4.1 | แสดงพารามิเตอร์ของตัวกระตุ้น โดยใช้ท่อนำคลื่นรูปทรงกระบอก45 |
| 4.2 | โครงสร้างตัวกระตุ้นที่ทำการจำลองด้วยโปรแกรมสำเร็จรูป CST45 |
| 4.3 | ผลการจำลองเปรียบเทียบค่าสัมประสิทธิ์การสะท้อนกลับของโพรบที่ขนาดความยาวต่างๆ46 |
| 4.4 | ผลการจำลองเปรียบเทียบค่าสัมประสิทธิ์การสะท้อนกลับของระยะตำแหน่งการวางโพรบที่ระยะต่างๆ47 |
| 4.5 | ผลการจำลองเปรียบเทียบค่าสัมประสิทธิ์การสะท้อนกลับของเส้นผ่าศูนย์กลางของโพรบ ที่ระยะต่างๆ48 |

สารบัญรูป(ต่อ)

| รูปที่ | หน้า |
|--------|---|
| 4.6 | ผลการจำลองเปรียบเทียบค่าสัมประสิทธิ์การสะท้อนกลับของความยาวของท่อนำคลื่นที่ระยะต่างๆ49 |
| 4.7 | ผลการจำลองค่าสัมประสิทธิ์การสะท้อนกลับของตัวกระตุ้นสายอากาศปากแตรรูปกรวย50 |
| 4.8 | ผลการจำลองแบบรูปการแผ่พลังงานในรูปแบบ 3 มิติของตัวกระตุ้นสายอากาศปากแตรรูปกรวยด้วยโปรแกรมสำเร็จรูป CST50 |
| 4.9 | ผลการจำลองแบบรูปการแผ่พลังงานของตัวกระตุ้นสายอากาศปากแตรรูปกรวย51 |
| 4.10 | กราฟแสดงความสัมพันธ์ระหว่างขนาดเส้นผ่าศูนย์กลางของปากอะเพอร์เจอร์ของสายอากาศปากแตรรูปกรวย (dm) กับความยาวของสายอากาศปากแตร ($L1$) ที่ส่งผลต่ออัตราขยายของสายอากาศ52 |
| 4.11 | โครงสร้างสายอากาศปากแตรรูปกรวยขนาดมาตรฐาน53 |
| 4.12 | โครงสร้างสายอากาศปากแตรรูปกรวยขนาดมาตรฐานที่ทำการจำลองการออกแบบด้วยโปรแกรม CST53 |
| 4.13 | ผลการจำลองเฟสแบบรูปการแผ่พลังงานของสายอากาศปากแตรรูปกรวยขนาดมาตรฐานที่ทำการจำลองการออกแบบด้วยโปรแกรม CST54 |
| 4.14 | ผลการจำลองแบบรูปการแผ่พลังงานในรูปแบบ 3 มิติของสายอากาศปากแตรรูปกรวยขนาดมาตรฐานที่ทำการจำลองการออกแบบด้วยโปรแกรม CST55 |
| 4.15 | ผลการจำลองแบบรูปการแผ่พลังงานของสายอากาศปากแตรรูปกรวยขนาดมาตรฐาน56 |
| 4.16 | ผลการจำลองค่าสัมประสิทธิ์การสะท้อนกลับสายอากาศปากแตรรูปกรวยขนาดมาตรฐาน56 |
| 4.17 | ค่าพารามิเตอร์ต่างๆ ของโครงสร้างสายอากาศปากแตรรูปกรวยมาตรฐานสำหรับคำนวณจุดศูนย์กลางเฟส58 |
| 4.18 | ตำแหน่งจุดศูนย์กลางเฟสสายอากาศปากแตรรูปกรวยขนาดมาตรฐาน60 |
| 4.19 | โครงสร้างโหนดไดอิเล็กตริก61 |
| 4.20 | การวางตำแหน่งโหนดไดอิเล็กตริกภายในสายอากาศปากแตรรูปกรวย61 |

สารบัญรูป(ต่อ)

| รูปที่ | | หน้า |
|--------|--|------|
| 4.21 | โครงสร้างสายอากาศปากแตรรูปกรวยกรณีใส่โหลดไดอิเล็กตริกที่จำลองการออกแบบด้วยโปรแกรม CST61 | |
| 4.22 | ผลการเปรียบเทียบค่าสัมประสิทธิ์การสะท้อนของโหลดไดอิเล็กตริกที่รัศมี (R_D) ขนาดต่างๆ62 | |
| 4.23 | ผลการเปรียบเทียบค่าสัมประสิทธิ์การสะท้อนของโหลดไดอิเล็กตริกที่ขนาดความหนา (H_D) ต่างๆ63 | |
| 4.24 | ผลการเปรียบเทียบค่าสัมประสิทธิ์การสะท้อนของโหลดไดอิเล็กตริกที่ตำแหน่งระยะการวางโหลดไดอิเล็กตริก (S_D) ห่างจากจุดศูนย์กลางเฟส64 | |
| 4.25 | ผลการเปรียบเทียบค่าสัมประสิทธิ์การสะท้อนของโหลดค่าสภาพยอมทางไฟฟ้า65 | |
| 4.26 | ผลการเปรียบเทียบค่าสัมประสิทธิ์การสะท้อนกลับของสายอากาศปากแตรรูปกรวยขนาดมาตรฐานกับสายอากาศปากแตรรูปกรวยขนาดมาตรฐานในกรณีที่ใช้ของโหลดไดอิเล็กตริกเข้าไปภายในสายอากาศ66 | |
| 4.27 | ผลการจำลองเฟสแบบรูปการแผ่พลังงานของสายอากาศปากแตรรูปกรวยขนาดมาตรฐานกรณีใส่โหลดไดอิเล็กตริกที่ทำการจำลองด้วยโปรแกรม CST67 | |
| 4.28 | ผลการจำลองแบบรูปการแผ่พลังงานด้วยโปรแกรม CST ในรูปแบบ 3 มิติของสายอากาศปากแตรรูปกรวยขนาดมาตรฐานกรณีใส่โหลดไดอิเล็กตริก67 | |
| 4.29 | ผลการจำลองแบบรูปการแผ่พลังงานของสายอากาศปากแตรรูปกรวยขนาดมาตรฐานกรณีใส่โหลดไดอิเล็กตริก68 | |
| 4.30 | ผลการจำลองอัตราขยายของสายอากาศปากแตรรูปกรวยกรณีใส่โหลดไดอิเล็กตริกในช่วงความถี่ตั้งแต่ 9 GHz -11 GHz70 | |
| 4.31 | โครงสร้างพื้นฐานตัวกลางแบบเส้นลวด71 | |
| 4.32 | โครงสร้างตัวกลางแบบเส้นลวดที่ทำการออกแบบ71 | |
| 4.33 | วงจรเรโซแนนซ์ที่เกิดจากโครงสร้างสื่อตัวกลางแบบเส้นลวด72 | |
| 4.34 | กราฟแสดงค่าสภาพยอมทางไฟฟ้าของโครงสร้างตัวกลางแบบเส้นลวดที่ความถี่ต่าง ๆ74 | |

สารบัญรูป(ต่อ)

| รูปที่ | หน้า |
|--------|---|
| 4.35 | รูปแบบการพิจารณาโครงสร้างของตัวกลางแบบเส้นลวดสำหรับทำงานร่วมกับสายอากาศปากแตรรูปกรวย76 |
| 4.36 | รูปแบบการพิจารณาโครงสร้างของตัวกลางแบบเส้นลวดสำหรับทำงานร่วมกับสายอากาศปากแตรรูปกรวยที่ทำการจำลองด้วยโปรแกรมสำเร็จรูป CST77 |
| 4.37 | การเปรียบเทียบค่าสัมประสิทธิ์การสะท้อนกลับของรูปแบบโครงสร้างตัวกลางแบบเส้นลวดสำหรับทำงานร่วมกับสายอากาศปากแตรรูปกรวย78 |
| 4.38 | ผลการจำลองแบบรูปการแผ่พลังงานในรูปแบบ 3มิติของสายอากาศปากแตรรูปกรวยขนาดมาตรฐานที่ต่อร่วมกับโครงสร้างตัวกลางแบบเส้นลวดทั้ง 4รูปแบบ82 |
| 4.39 | การเปรียบเทียบแบบรูปการแผ่พลังงานของ โครงสร้างตัวกลางแบบเส้นลวดเมื่อติดตั้งร่วมกับสายอากาศปากแตรรูปกรวย83 |
| 4.40 | ผลการจำลองเฟสแบบรูปการแผ่พลังงานของ โครงสร้างตัวกลางแบบเส้นลวดเมื่อติดตั้งร่วมกับสายอากาศปากแตรรูปกรวยทั้ง 4 รูปแบบ84 |
| 4.41 | การเปรียบเทียบผลการจำลองอัตราขยายของรูปแบบ โครงสร้างตัวกลางแบบเส้นลวดเมื่อทำการติดตั้งร่วมกับสายอากาศปากแตรรูปกรวย85 |
| 4.42 | รูปแบบการพิจารณาระยะ S_w 86 |
| 4.43 | การเปรียบเทียบค่าสัมประสิทธิ์การสะท้อนกลับระยะตำแหน่งการวางโครงสร้างตัวกลางแบบเส้นลวดที่ห่างจากปากอะเพอร์เจอร์สายอากาศปากแตรรูปกรวย87 |
| 4.44 | รูปแบบการพิจารณาชนิดของไดอิเล็กตริก88 |
| 4.45 | การเปรียบเทียบค่าสัมประสิทธิ์การสะท้อนกลับชนิดของไดอิเล็กตริกที่วางกั้นระหว่างชั้นของแนวระนาบตัวกลางแบบเส้นลวด89 |
| 4.46 | รูปแบบการพิจารณาจำนวนชั้นของ โครงสร้างตัวกลางแบบเส้นลวด90 |
| 4.47 | การเปรียบเทียบค่าสัมประสิทธิ์การสะท้อนกลับเมื่อทำการเพิ่มจำนวนชั้นของ โครงสร้างตัวกลางแบบเส้นลวด90 |
| 4.48 | โครงสร้างสายอากาศปากแตรรูปกรวยโดยใช้คุณสมบัติอภิวัดขุน โครงสร้างตัวกลางแบบเส้นลวดที่นำเสนอ92 |

สารบัญรูป(ต่อ)

| รูปที่ | หน้า |
|--------|---|
| 4.49 | ผลการจำลองเฟสแบบรูปการแผ่พลังงานของสายอากาศปากแตรรูปกรวย ที่ต่อร่วมกับ โครงสร้างตัวกลางแบบเส้นลวดที่พิจารณาโครงสร้าง ที่เหมาะสมเรียบร้อยแล้ว93 |
| 4.50 | ผลการเปรียบเทียบค่าสัมประสิทธิ์การสะท้อนกลับสายอากาศปากแตร ขนาดมาตรฐานกับ ในกรณีต่อร่วมกับ โครงสร้างตัวกลางแบบเส้นลวด93 |
| 4.51 | ผลการจำลองแบบรูปการแผ่พลังงานในรูปแบบ 3 มิติของสายอากาศ ปากแตรรูปกรวยกรณีต่อร่วมกับ โครงสร้างตัวกลางแบบเส้นลวด94 |
| 4.52 | แบบรูปการแผ่พลังงานของสายอากาศปากแตรรูปกรวยกรณีต่อร่วมกับ โครงสร้างตัวกลางแบบเส้นลวด95 |
| 4.53 | ผลการจำลองอัตราขยายของสายอากาศปากแตรรูปกรวยกรณี ใส่โครงสร้างตัวกลางแบบเส้นลวด95 |
| 4.54 | โครงสร้างสายอากาศปากแตรรูปกรวยโดยใช้คุณสมบัติอภิวัด บนโครงสร้างสื่อตัวกลางแบบเส้นลวดที่นำเสนอ96 |
| 4.55 | โครงสร้างตัวกลางแบบเส้นลวดที่นำเสนอ97 |
| 4.56 | โครงสร้างสายอากาศปากแตรรูปกรวยโดยใช้คุณสมบัติอภิวัดบนโครงสร้าง ตัวกลางแบบเส้นลวดที่ทำการจำลองการทำงานด้วยโปรแกรม CST98 |
| 4.57 | ผลการจำลองเฟสแบบรูปการแผ่พลังงานของสายอากาศปากแตรรูปกรวย โดยใช้คุณสมบัติอภิวัดบนโครงสร้างตัวกลางแบบเส้นลวดที่ทำการจำลอง การทำงานด้วยโปรแกรม CST99 |
| 4.58 | การเปรียบเทียบค่าสัมประสิทธิ์การสะท้อนกลับระหว่างสายอากาศปากแตร มาตรฐานกับสายอากาศที่นำเสนอ99 |
| 4.59 | ผลการจำลองแบบรูปการแผ่พลังงานในรูปแบบ 3 มิติของสายอากาศปากแตร รูปกรวยโดยใช้เทคนิคอภิวัดบนโครงสร้างสื่อตัวกลางแบบเส้นลวดที่นำเสนอ ที่ทำการจำลองการออกแบบด้วยโปรแกรม CST100 |
| 4.60 | แบบรูปการแผ่พลังงานของสายอากาศปากแตรรูปกรวยโดยใช้เทคนิคอภิวัด บนโครงสร้างสื่อตัวกลางแบบเส้นลวดที่นำเสนอ101 |

สารบัญรูป(ต่อ)

| รูปที่ | หน้า |
|--------|---|
| 4.61 | การเปรียบเทียบแบบรูปการแผ่พลังงานของสายอากาศที่ทำการศึกษา4 รูปแบบ103 |
| 5.1 | สายอากาศปากแตรรูปกรวยขนาดมาตรฐาน107 |
| 5.2 | กราฟเปรียบเทียบสัมประสิทธิ์การสะท้อนระหว่างผลการจำลองและผลวัดทดสอบของสายอากาศปากแตรรูปกรวยขนาดมาตรฐานต้นแบบ108 |
| 5.3 | กราฟเปรียบเทียบอัตราส่วนคลื่นนิ่งระหว่างผลการจำลองและผลวัดทดสอบสายอากาศปากแตรรูปกรวยขนาดมาตรฐาน109 |
| 5.4 | ผลการวัดทดสอบค่าอิมพีแดนซ์ของสายอากาศปากแตรรูปกรวยขนาดมาตรฐานต้นแบบ110 |
| 5.5 | วิธีการวัดทดสอบอัตราขยายของสายอากาศปากแตรขนาดมาตรฐาน111 |
| 5.6 | ผลการเปรียบเทียบอัตราขยายของสายอากาศปากแตรขนาดมาตรฐานในช่วงความถี่ตั้งแต่ 9 GHz -11 GHz112 |
| 5.7 | วิธีการวัดทดสอบแบบรูปการแผ่พลังงานระนาบสนามไฟฟ้าของสายอากาศปากแตรรูปกรวยขนาดมาตรฐาน114 |
| 5.8 | วิธีการวัดทดสอบแบบรูปการแผ่พลังงานระนาบสนามแม่เหล็กของสายอากาศปากแตรขนาดมาตรฐาน115 |
| 5.9 | แบบรูปการแผ่พลังงานของสายอากาศปากแตรขนาดมาตรฐาน116 |
| 5.10 | สายอากาศปากแตรรูปกรวยกรณีใส่โพลด์ไดอิเล็กตริก117 |
| 5.11 | กราฟเปรียบเทียบสัมประสิทธิ์การสะท้อนกลับระหว่างผลการจำลองและผลวัดทดสอบของสายอากาศปากแตรรูปกรวยกรณีใส่โพลด์ไดอิเล็กตริกต้นแบบ118 |
| 5.12 | กราฟเปรียบเทียบอัตราส่วนคลื่นนิ่งระหว่างผลการจำลองและผลวัดทดสอบของสายอากาศปากแตรรูปกรวยกรณีใส่โพลด์ไดอิเล็กตริกต้นแบบ119 |
| 5.13 | ผลการวัดทดสอบค่าอิมพีแดนซ์ของสายอากาศปากแตรรูปกรวยกรณีใส่โพลด์ไดอิเล็กตริกต้นแบบ120 |
| 5.14 | วิธีการวัดทดสอบอัตราขยายของสายอากาศปากแตรรูปกรวยกรณีใส่โพลด์ไดอิเล็กตริก121 |

สารบัญรูป(ต่อ)

| รูปที่ | | หน้า |
|--------|--|------|
| 5.15 | ผลการเปรียบเทียบอัตราขยายของสายอากาศปากแตรรูปกรวยกรณีใส่โหลดไดอิเล็กตริกในช่วงความถี่ตั้งแต่ 9 GHz -11 GHz | 122 |
| 5.16 | วิธีการวัดทดสอบแบบรูปการแผ่พลังงานระนาบสนามไฟฟ้าของสายอากาศปากแตรรูปกรวยกรณีใส่โหลดไดอิเล็กตริก | 123 |
| 5.17 | วิธีการวัดทดสอบแบบรูปการแผ่พลังงานระนาบสนามแม่เหล็กของสายอากาศปากแตรรูปกรวยกรณีใส่โหลดไดอิเล็กตริก | 124 |
| 5.18 | การเปรียบเทียบแบบรูปการแผ่พลังงานระหว่างผลการจำลองและการวัดของสายอากาศปากแตรรูปกรวยกรณีใส่โหลดไดอิเล็กตริก | 125 |
| 5.19 | สายอากาศปากแตรรูปกรวยโดยใช้คุณสมบัติของวัสดุบนโครงสร้างตัวกลางแบบเส้นลวด | 127 |
| 5.20 | กราฟเปรียบเทียบสัมประสิทธิ์การสะท้อนของสายอากาศปากแตรรูปกรวยโดยใช้คุณสมบัติของวัสดุบนโครงสร้างตัวกลางแบบเส้นลวด | 128 |
| 5.21 | กราฟเปรียบเทียบอัตราส่วนคลื่นนิ่ง (VSWR) ของสายอากาศปากแตรรูปกรวยโดยใช้คุณสมบัติของวัสดุบนโครงสร้างตัวกลางแบบเส้นลวด | 129 |
| 5.22 | ผลการวัดทดสอบค่าอิมพีแดนซ์ของสายอากาศปากแตรรูปกรวยโดยใช้คุณสมบัติของวัสดุบนโครงสร้างตัวกลางแบบเส้นลวด | 130 |
| 5.23 | วิธีการวัดทดสอบการวัดอัตราขยายของสายอากาศปากแตรรูปกรวยโดยใช้คุณสมบัติของวัสดุบนโครงสร้างตัวกลางแบบเส้นลวด | 131 |
| 5.24 | แบบจำลองการวัดทดสอบอัตราขยายของสายอากาศปากแตรรูปกรวยโดยใช้คุณสมบัติของวัสดุบนโครงสร้างตัวกลางแบบเส้นลวด | 132 |
| 5.25 | วิธีการวัดทดสอบแบบรูปการแผ่พลังงานในระนาบสนามไฟฟ้าของสายอากาศปากแตรรูปกรวยโดยใช้คุณสมบัติของวัสดุบนโครงสร้างตัวกลางแบบเส้นลวด | 133 |
| 5.26 | วิธีการวัดทดสอบแบบรูปการแผ่พลังงานในระนาบสนามแม่เหล็กของสายอากาศปากแตรรูปกรวยโดยใช้คุณสมบัติของวัสดุบนโครงสร้างตัวกลางแบบเส้นลวด | 134 |

สารบัญญรूप(ต่อ)

รूपที่

หน้า

- 5.27 การเปรียบเทียบแบบรूपการแผ่พลังงานในของสายอากาศปากแตรรूपกรวย
โดยใช้คุณสมบัตินิวตัน โครงสร้างตัวกลางแบบเส้นลวด135
- 5.28 การเปรียบเทียบแบบรूपการแผ่พลังงานในของสายอากาศปากแตรรूपกรวยโดยใช้
คุณสมบัตินิวตัน โครงสร้างตัวกลางแบบเส้นลวด137
- 6.1 สายอากาศปากแตรรूपกรวยโดยใช้คุณสมบัตินิวตัน โครงสร้างตัวกลาง
แบบเส้นลวดที่สมบรูณ์141



บทที่ 1

บทนำ

1.1 ความสำคัญและที่มาของปัญหา

เทคโนโลยีด้านการสื่อสารโทรคมนาคมไร้สายหรือการติดต่อสื่อสารระยะไกลด้วยคลื่นวิทยุได้มีการพัฒนาขึ้นอย่างต่อเนื่อง เช่นการเชื่อมต่อสัญญาณ ไมโครเวฟด้วยสถานีทวนสัญญาณ การเชื่อมต่อสัญญาณไมโครเวฟผ่านระบบดาวเทียม หรือระบบเรดาร์เป็นต้นซึ่งในการเชื่อมต่อสัญญาณไมโครเวฟนั้นสายอากาศนับเป็นองค์ประกอบหนึ่งที่มีความสำคัญมากในการเชื่อมต่อสัญญาณไมโครเวฟระหว่างต้นทางกับปลายทาง ในการเชื่อมต่อสัญญาณไมโครเวฟนั้นมีความต้องการสายอากาศที่มีอัตราขยายที่สูงมาก ซึ่งที่ผ่านมานั้นเทคโนโลยีทางด้านวิศวกรรมสายอากาศได้มีการออกแบบและพัฒนาขึ้นอย่างต่อเนื่องเพื่อให้ได้สายอากาศที่มีประสิทธิภาพเพิ่มขึ้นและเหมาะสมกับประเภทของการใช้งานในรูปแบบต่างๆ ในการเชื่อมต่อสัญญาณ

สายอากาศปากแตร(horn antennas)ถือได้ว่าเป็นสายอากาศที่นิยมใช้มากในงานเชื่อมต่อสัญญาณไมโครเวฟเนื่องจากสายอากาศปากแตรมีจุดเด่นที่สำคัญคือมีอัตราขยายสูง (high gain) พูหลังต่ำ (low back lobe) โครงสร้างไม่ซับซ้อน ง่ายต่อการสร้าง และข้อดีอีกประการหนึ่งคือ ค่าอิมพีแดนซ์ด้านเข้าของสายอากาศปากแตรจะขึ้นอยู่กับอิมพีแดนซ์ของตัวป้อน (feeder) ทำให้ง่ายต่อการแมตช์สายอากาศ นอกจากนี้คุณสมบัติอีกประการหนึ่งของสายอากาศปากแตรคืออัตราขยายจะขึ้นอยู่กับขนาดและความยาวของสายอากาศ ซึ่งสายอากาศปากแตรยังมีขนาดใหญ่อัตราขยายของสายอากาศก็จะยิ่งสูงขึ้นตาม(Nafati et al., 2013)ดังนั้นถ้าหากต้องการอัตราขยายที่สูงขนาดของสายอากาศปากแตรก็จะมีขนาดใหญ่และมีน้ำหนักมากตามซึ่งถือได้ว่าเป็นข้อเสียหลักของสายอากาศประเภทนี้แต่สายอากาศปากแตรก็ยังคงเป็นสายอากาศที่ตอบสนองต่อความต้องการสายอากาศที่มีอัตราขยายสูงเมื่อเปรียบเทียบกับสายอากาศประเภทอื่น (Mustafa et al., 2014)

ในปัจจุบันได้มีการพัฒนาและออกแบบสายอากาศกันอย่างต่อเนื่องโดยมีจุดประสงค์หลักคือเพื่อให้ได้สายอากาศที่มีลักษณะ โครงสร้างของสายอากาศที่มีอัตราขยายสูง พูข้างต่ำพูหลังต่ำ โครงสร้างไม่ซับซ้อน ง่ายต่อการสร้าง ขนาดเล็ก น้ำหนักเบา ง่ายต่อการติดตั้งและมีประสิทธิภาพในการทำงานสูงดังนั้นนักวิจัยทางวิศวกรรมสายอากาศจึงได้มีการคิดค้นวิธีการหรือนำเอาเทคโนโลยีใหม่ๆเข้ามาเพื่อช่วยในพัฒนาและออกแบบเพื่อเพิ่มประสิทธิภาพสายอากาศ คุณสมบัติ อภิวัตต์ (metamaterials) เริ่มเป็นที่สนใจอย่างแพร่หลายในการนำมาวิจัยและ

พัฒนาในงานด้านความถี่ไมโครเวฟซึ่งอภิวัดคูมีคุณสมบัติพิเศษทางด้านสนามแม่เหล็กไฟฟ้าเป็นวัสดุที่มีคุณสมบัติพิเศษซึ่งไม่ปรากฏตามธรรมชาติ คือมีค่าสภาพยอมทางไฟฟ้า (permittivity) เป็นลบหรือเข้าใกล้ศูนย์ ซึ่งอภิวัดคูได้ถูกนิยามว่าเป็นวัสดุประดิษฐ์เชิงวิศวกรรม (artificial material) โดยคุณสมบัติดังกล่าวของอภิวัดคูจะเกิดจากการออกแบบการจัดเรียง โครงสร้างวัสดุขนาดเล็กมากๆ ซึ่งจากคุณสมบัติการออกแบบดังกล่าวทำให้เกิดการวิจัยออกแบบ โครงสร้างของวัสดุเพื่อทำให้เกิดคุณสมบัติของอภิวัดคูในรูปแบบต่างๆ เพื่อให้มีความเหมาะสมกับการประยุกต์ใช้งานซึ่งการนำโครงสร้างอภิวัดคูมาช่วยในการออกแบบและพัฒนาสายอากาศจึงกลายมาเป็นเทคโนโลยีใหม่สำหรับเพิ่มประสิทธิภาพของสายอากาศสมัยใหม่

ดังนั้นในงานวิจัยนี้ได้นำเสนอการออกแบบและพัฒนาสายอากาศสายอากาศปากแตรรูปกรวย (Conical Horn Antenna) โดยใช้คุณสมบัติอภิวัดคูในรูปแบบ โครงสร้างตัวกลางแบบเส้นลวด (Wire Medium Structure) เพื่อเพิ่มประสิทธิภาพสายอากาศปากแตรรูปกรวยที่ย่านความถี่ X-Band (10 GHz) จาก โครงสร้างตัวกลางแบบเส้นลวดนั้นถือได้ว่าเป็น โครงสร้างที่มีคุณสมบัติทางด้านอภิวัดคูหรือเรียกได้ว่าเป็นชนิดของวัสดุช่องว่างแถบแม่เหล็กไฟฟ้า (electromagnetic band gap material) (Antonio *et al.*, 2013) ซึ่งในการศึกษาครั้งนี้แสดงให้เห็นถึงความเป็นไปได้ของการใช้โครงสร้างที่เรียบง่ายของตัวกลางแบบเส้นลวดในการเพิ่มประสิทธิภาพสายอากาศปากแตรรูปกรวย

1.2 วัตถุประสงค์ของการวิจัย

1.2.1 เพื่อศึกษาและออกแบบการเพิ่มประสิทธิภาพสายอากาศปากแตรรูปกรวยโดยใช้เทคนิคอภิวัดคูในรูปแบบ โครงสร้างตัวกลางแบบเส้นลวด

1.2.2 เพื่อศึกษาวิจัยพัฒนาออกแบบ โครงสร้างอภิวัดคูในรูปแบบ โครงสร้างตัวกลางแบบเส้นลวดที่เหมาะสมกับการประยุกต์ร่วมกับสายอากาศปากแตรรูปกรวยด้วยโปรแกรม CST Microwave Studio

1.2.3 เพื่อให้ได้สายอากาศปากแตรรูปกรวยโดยใช้เทคนิคอภิวัดคูในรูปแบบ โครงสร้างตัวกลางแบบเส้นลวดต้นแบบที่ความถี่ย่าน X-Band (10GHz)

1.3 ขอบเขตของการวิจัย

1.3.1 ศึกษาและออกแบบการเพิ่มประสิทธิภาพสายอากาศปากแตรรูปกรวยโดยใช้เทคนิคอภิวัดคูในรูปแบบ โครงสร้างตัวกลางแบบเส้นลวดที่ความถี่ย่าน X-Band (10GHz)

1.3.2 จำลองการวิเคราะห์ความเป็นไปได้ของสายอากาศที่ดำเนินการพัฒนาและออกแบบด้วยโปรแกรมสำเร็จรูป CST Microwave Studio

1.3.3 สร้างสายอากาศปากแตรรูปกรวยโดยใช้เทคนิคอภิวัดดูในรูปแบบโครงสร้างตัวกลางแบบเส้นลวดตันแบบ เพื่อวัดทดสอบเปรียบเทียบผลที่ได้จากการวัดทดสอบ

1.4 ประโยชน์ที่คาดว่าจะได้รับ

1.4.1 ได้สายอากาศปากแตรรูปกรวยโดยใช้เทคนิคอภิวัดดูในรูปแบบโครงสร้างตัวกลางแบบเส้นลวดที่มีความถี่ย่าน X-Band (10GHz) ที่มีประสิทธิภาพเพิ่มสูงขึ้น

1.4.2 ได้องค์ความรู้ใหม่ในการศึกษาและพัฒนาต่อไป

1.4.3 ได้สายอากาศปากแตรรูปกรวยโดยใช้เทคนิคอภิวัดดูในรูปแบบโครงสร้างตัวกลางแบบเส้นลวดตันแบบที่สามารถนำไปใช้งานได้จริง



บทที่ 2

ปริทัศน์วรรณกรรมและงานวิจัยที่เกี่ยวข้อง

2.1 บทนำ

สายอากาศปากแตรถือได้ว่าเป็นสายอากาศที่มีคุณสมบัติให้อัตราขยายสูง ซึ่งสายอากาศประเภทนี้ถูกนำไปประยุกต์ใช้ในการสื่อสารที่ต้องการอัตราขยายสูงๆ เช่นการเชื่อมต่อสัญญาณไมโครเวฟด้วยสถานีทวนสัญญาณ การเชื่อมต่อสัญญาณไมโครเวฟผ่านระบบดาวเทียม หรือระบบเรดาร์ เป็นต้น วัตถุประสงค์หลักในงานวิจัยนี้คือการคิดค้นและพัฒนาวิธีการเพิ่มประสิทธิภาพสายอากาศปากแตรรูปกรวย ดังนั้นจึงมีความจำเป็นที่จะต้องดำเนินการสำรวจและศึกษาปริทัศน์วรรณกรรมและงานวิจัยที่เกี่ยวข้อง เนื้อหาในบทนี้กล่าวถึงกล่าวถึงปริทัศน์วรรณกรรมและงานวิจัยที่เกี่ยวข้อง ซึ่งประกอบด้วยงานวิจัยที่เกี่ยวข้องกับลักษณะของสายอากาศปากแตร การประยุกต์ใช้งานอภิวัดคู่ร่วมกับสายอากาศ เพื่อเพิ่มประสิทธิภาพการทำงานของสายอากาศให้ดียิ่งขึ้น เพื่อให้ทราบถึงแนวทางการวิจัยที่เกี่ยวข้อง ระเบียบวิธีที่เคยถูกนำมาใช้ ผลการดำเนินการวิจัย ตลอดจนข้อคิดเห็นและข้อเสนอแนะต่าง ๆ เพื่อที่จะนำไปสู่วัตถุประสงค์หลักที่ได้ตั้งไว้ โดยฐานข้อมูลที่ใช้ในการสืบค้นงานวิจัยนั้นเป็นฐานข้อมูลที่มีชื่อเสียงและได้รับการยอมรับกันอย่างกว้างขวาง เช่น ฐานข้อมูล IEEE และฐานข้อมูล IEICE นอกจากนี้ยังได้ทำการสืบค้นงานวิจัยจากแหล่งอื่น ๆ เช่น จากห้องสมุดของมหาวิทยาลัยต่าง ๆ ทั้งในและต่างประเทศ ผลการสืบค้นที่ได้จะใช้เป็นแนวทางในการดำเนินการวิจัยต่อไป

2.2 สายอากาศปากแตร (Horn Antennas)

สายอากาศปากแตรถือได้ว่าเป็นสายอากาศที่นิยมใช้งานในการรับส่งสัญญาณความถี่ย่านไมโครเวฟเป็นสายอากาศแบบอะเพอร์เจอร์ (aperture antenna) ซึ่งสายอากาศปากแตรมีคุณสมบัติที่เป็นจุดเด่นคือ การให้อัตราขยายที่สูงและให้ค่าอัตราส่วนคลื่นนิ่งที่ต่ำมาก นอกจากนี้ยังให้ความกว้างแถบก่อนข้างกว้างและที่สำคัญสามารถออกแบบสร้างได้โดยง่าย สำหรับงานวิจัยออกแบบพัฒนาสายอากาศปากแตรได้มีการคิดค้นขึ้นมาตั้งแต่ในสมัยสงครามโลกครั้งที่ 2 ซึ่งมีวัตถุประสงค์เพื่อใช้ในการรับส่งคลื่นไมโครเวฟกำลังส่งสูง นับตั้งแต่นั้นมาสายอากาศปากแตรก็ได้ถูกพัฒนาโครงสร้างและประสิทธิภาพมาจนถึงปัจจุบัน โดยมีการออกแบบพัฒนาวิจัยรูปแบบของสายอากาศ

ปากแตรให้มีประสิทธิภาพตรงต่อการประยุกต์ใช้งาน สายอากาศปากแตรที่นิยมใช้งานในปัจจุบันมี 2 ชนิด คือสายอากาศปากแตรรูปสี่เหลี่ยมมุมฉาก (rectangular horn antenna) และสายอากาศปากแตรรูปกรวย (conical horn antenna) ซึ่งในงานวิจัยนี้มีวัตถุประสงค์หลักเพื่อการพัฒนาสายอากาศปากแตร (horn antenna) เพื่อใช้งานสำหรับการเชื่อมต่อสัญญาณไมโครเวฟ (microwave link) ด้วยสถานีทวนสัญญาณการรับส่งสัญญาณดาวเทียม และระบบเรดาร์ (radar) และอีกทั้งยังสามารถนำไปประยุกต์ใช้เป็นสายอากาศส่วนป้อน (feed antenna) ให้กับสายอากาศแบบตัวสะท้อน (reflector antenna) สายอากาศปากแตรรูปกรวยได้มีการวิจัยและพัฒนาโดยการนำเทคโนโลยีต่างๆ มาใช้ในการเพิ่มประสิทธิภาพเนื่องด้วยสายอากาศปากแตรมีโครงสร้างที่ค่อนข้างเป็นมาตรฐาน และเป็นที่ทราบกันดีว่าอัตราขยายและสภาพเจาะจงทิศทางของสายอากาศปากแตรจะเปลี่ยนแปลงตามขนาดความยาวและมุมกางของอะเปอร์เจอร์ โดยถ้าความยาวและมุมกางของอะเปอร์เจอร์เพิ่มขึ้นอัตราขยายและสภาพเจาะจงทิศทางของสายอากาศปากแตรก็จะเพิ่มขึ้นตามด้วย แต่อย่างไรก็ตามการเพิ่มขนาดความยาวและมุมกางของอะเปอร์เจอร์สายอากาศปากแตรก็มีขีดจำกัดในการเพิ่มเพื่อให้ได้อัตราขยายซึ่งมุมกางอะเปอร์เจอร์ที่จะทำให้ประสิทธิภาพที่ดีที่สุดคือประมาณ 50 องศาและความยาวของสายอากาศปากแตรต้องมีความสัมพันธ์กับมุม ซึ่งจากการวิเคราะห์ถ้าสายอากาศปากแตรมีความยาวเพิ่มสูงขึ้นมุมกางอะเปอร์เจอร์ที่ทำให้ได้ประสิทธิภาพสายอากาศที่ดีก็จะมีขนาดของมุมกางที่ลดต่ำลง (G.C.Southworth, A.P.King, 1939) และจากทฤษฎีได้มีการวัดคุณสมบัติการแผ่กระจายคลื่นของสายอากาศปากแตรรูปกรวยเพื่อยืนยันทฤษฎีของ Gray and Schelkunoff ที่ได้กำหนดมาตรฐานของขนาดความยาวและของอะเปอร์เจอร์ที่สัมพันธ์ต่ออัตราขยายของสายอากาศปากแตร โดยทำการวิเคราะห์ถึงพื้นที่ประสิทธิภาพผลสายอากาศโดยเมื่อทำการกำหนดค่าความกว้างอะเปอร์เจอร์คงที่และทำการเปลี่ยนแปลงค่าความยาวของสายอากาศปากแตรจากการวิเคราะห์พบว่ายิ่งความยาวของสายอากาศปากแตรยิ่งสูงขึ้นค่าพื้นที่ประสิทธิภาพผลสายอากาศก็จะสูงตาม แต่ค่าพื้นที่ประสิทธิภาพผลที่สูงที่สุดของสายอากาศปากแตรรูปกรวยจะมีค่าสูงสุดประมาณ 84% (A.P.King, 1950) จากทฤษฎีและมาตรฐานขนาดและโครงสร้างของสายอากาศปากแตรรูปกรวยที่เป็นรูปแบบพื้นฐานที่ได้ถูกวิจัยและพัฒนาจนได้มาตรฐาน ซึ่งถูกนำมาใช้เป็นพื้นฐานสำหรับการออกแบบพัฒนาสายอากาศชนิดนี้ซึ่งก็ได้มีนักวิจัยและพัฒนาสายอากาศได้ทำการนำคุณสมบัติดังกล่าวมาพัฒนาสายอากาศให้มีประสิทธิภาพที่ดีขึ้นกว่าเดิมและเพื่อให้ได้ประสิทธิภาพของสายอากาศที่เหมาะสมกับการใช้งานในด้านต่าง ๆ ซึ่งการพัฒนาดังกล่าวได้แก่ การออกแบบสายอากาศปากแตรขนาดกะทัดรัดที่ใช้สำหรับรับสัญญาณ C-Band สำหรับสถานีรับสัญญาณดาวเทียมภาคพื้นดิน (Christophe Granel, 2003) โดยสายอากาศปากแตรที่พัฒนาคือสายอากาศปากแตรแบบลูกฟูก (corrugated horn) เพื่อมีจุดประสงค์ในการนำไปประยุกต์ใช้งานสำหรับเป็น

สายอากาศป้อนให้กับสายอากาศแบบตัวสะท้อนพาราโบลา (parabolic reflector antenna) โดยการพัฒนาใช้เทคนิคการปรับลดขนาดความยาวของสายอากาศลงแล้วทำการเพิ่มความกว้างของอะเพอร์เจอร์สายอากาศ และจุดเด่นที่สำคัญคือทำการออกแบบรูปทรงของสายอากาศปากแตรเป็นแบบลูกฟูก จากเทคนิคดังกล่าวสามารถลดความยาวสายอากาศลงเหลือประมาณ 61% อีกทั้งยังทำให้ได้อัตราขยายและประสิทธิภาพที่ใกล้เคียงเมื่อเปรียบเทียบกับสายอากาศแบบเดิม แต่การออกแบบสายอากาศปากแตรแบบลูกฟูกมีข้อเสียคือการสร้างนั้นมีความยุ่งยากในการพัฒนาสายอากาศปากแตรอีกรูปแบบหนึ่งที่ได้รับการพัฒนาคือโดยการเพิ่มโครงสร้างด้วยเทคนิคต่าง ๆ เข้าไปเพื่อให้สายอากาศที่ออกแบบมีประสิทธิภาพสูงขึ้น เช่น การพัฒนาสายอากาศปากแตรรูปกรวยโดยการเพิ่มช่องว่างแถบความถี่แม่เหล็กไฟฟ้าของระบบป้อนของสายอากาศแบบสะท้อนในย่านความถี่ Ka Band (R.Chantalat *et al.*, 2008) ในการพัฒนาสายอากาศนี้ได้ใช้สายอากาศปากแตรรูปกรวยเป็นตัวกระตุ้นแล้วทำการออกแบบชุดโพรงช่องว่างแถบแม่เหล็กไฟฟ้า (Electromagnetic Band Gap : EBG) โดยออกแบบให้ EBG ในรูปแบบร่องวงกลมเรียงกันอย่างเป็นลำดับมาวางด้านหน้าสายอากาศปากแตรซึ่งจากเทคนิคดังกล่าวสามารถเพิ่มขนาดความถี่แถบความถี่ (bandwidth) และสามารถลดพู่ข้าง (side lobe) อีกทั้งเพิ่มอัตราขยายได้ถึง 24 dB อย่างไรก็ตามข้อเสียของงานวิจัยนี้ต้องเพิ่มค่าใช้จ่ายในการสร้างและวัสดุที่ใช้ในการสร้างหาได้ยาก แต่ถือได้ว่าเทคนิคดังกล่าวสามารถเพิ่มประสิทธิภาพสายอากาศจากเดิมถึง 70% ต่อมาได้มีการทำการนำสายอากาศปากแตร 2 แบบมาเปรียบเทียบคุณสมบัติกัน ได้แก่สายอากาศปากแตรรูปกรวย (conical horn antenna) และสายอากาศปากแตรรูปกรวยแบบลูกฟูก (corrugated conical horn antenna) โดยเลือกพิจารณาสายอากาศที่ความถี่กลาง 10 GHz พบว่าสายอากาศปากแตรรูปกรวยแบบลูกฟูกสามารถลดพู่ข้างได้ดี (Petr Piksa, 2011) จากการออกแบบสายอากาศปากแตรรูปกรวยที่ผ่านมานั้นส่วนใหญ่ตัวกระตุ้นจะอยู่ในรูปแบบท่อนำคลื่นทรงกระบอกเท่านั้น ต่อมา Huanbin Jiang *et al.* (2012) ได้ออกแบบสายอากาศปากแตรรูปกรวยสำหรับย่านความถี่ R-Band โดยใช้ตัวกระตุ้นแบบสี่เหลี่ยมมุมฉาก (rectangle waveguide) จากเทคนิคนี้สามารถเพิ่มอัตราขยายของสายอากาศโดยเพิ่มความกว้างอะเพอร์เจอร์ จุดเด่นของสายอากาศนี้คือ มีความถี่แถบความถี่เพิ่มขึ้น (wide bandwidth) มีแบบรูปการแผ่พลังงานดีขึ้นและระดับพู่ข้างต่ำ และในช่วงเวลาที่ผ่านไปไม่นาน โดย S. Kampeephat *et al.* (2014) ได้นำเสนอการเพิ่มอัตราขยายสายอากาศปากแตรโดยใช้ EBG แบบกึ่งวงกลม โดยเทคนิคดังกล่าวนี้สามารถเพิ่มอัตราขยายของสายอากาศปากแตรได้โดยประมาณ 8 dBi แต่ระยะในการติดตั้ง EBG นั้นมีระยะห่างจากปากอะเพอร์เจอร์ของสายอากาศปากแตรค่อนข้างมากโดยมีระยะเท่ากับ 16.5λ นอกจากนี้ยังได้ทำการปรับปรุงแบบรูปการแผ่พลังงานที่โดย

ใช้เทคนิคการเพิ่มขอบของสายอากาศปากแตรเพื่อให้แบบรูปการแผ่พลังงานที่ออกมาจากสายอากาศปากแตรสมมาตรในระนาบสนามไฟฟ้าและสนามแม่เหล็ก

การพัฒนาเพื่อให้ได้เทคนิคที่สามารถเพิ่มประสิทธิภาพสายอากาศได้ถูกวิจัยพัฒนาต่อเนื่องการนำวัสดุในรูปแบบต่าง ๆ มาวางขวางหน้าอะเพอร์เจอร์ของสายอากาศปากแตรก็ถือได้ว่าเป็นอีกเทคนิคที่นิยมนำมาใช้ในการเพิ่มประสิทธิภาพสายอากาศ โดยในยุคแรกการประยุกต์การนำวัสดุไดอิเล็กตริกมาใส่เพิ่มภายในโครงสร้างสายอากาศปากแตรโดยเริ่มจากการนำเสนองานนำไดอิเล็กตริกแบบแผ่นจาน (dish) ทำให้สามารถเพิ่มอัตราขยายได้ประมาณ 1.5 dBi (M.Clenet *et al.*, 1998) ซึ่งการนำเสนอถือได้ว่าเป็นยุคแรกที่เริ่มนำเทคนิคการใส่แผ่นโลหะแบบรูปดังกล่าวเข้าไปภายในสายอากาศ ต่อจากนั้นได้มีการนำเสนอการเพิ่มประสิทธิภาพสายอากาศปากแตรรูปกรวยโดยการใส่วัสดุไดอิเล็กตริกแบบรูปแผ่นจานภายในสายอากาศโดยทำการเปรียบเทียบระหว่างการใส่วัสดุไดอิเล็กตริกแบบรูปแผ่นจานเพียง 1 ชั้นกับ 3 ชั้น โดยการการใส่วัสดุไดอิเล็กตริกแบบแผ่นจานจำนวน 3 ชั้น จะสามารถช่วยให้อัตราขยายที่ความถี่ต่ำเพิ่มขึ้น และโดยรวมการใส่วัสดุแบบรูปแผ่นจานทำให้สามารถเพิ่มอัตราขยายขึ้นอีกประมาณ 3 dBi อีกทั้งยังมีรูปแบบการแผ่กระจายคลื่นที่ดีขึ้น (C.Y.Tan *et al.*, 2007) ต่อมาหลังจากนั้นได้มีการปรับเปลี่ยนรูปแบบวัสดุไดอิเล็กตริกที่ใส่เข้าไปภายในสายอากาศแต่ไม่สามารถเพิ่มประสิทธิภาพสายอากาศได้แต่สามารถแก้ไขคลื่นตัดขวาง (Cross Polarization) ให้ดีขึ้นแต่อัตราขยายลดลง (C.Y.Tan *et al.*, 2009) จากการวิธีการที่ผ่านมาไม่สามารถทำให้ประสิทธิภาพโดยรวมของสายอากาศดีขึ้น จึงได้ทำการปรับเปลี่ยนรูปแบบของวัสดุไดอิเล็กตริกเป็นรูปทรงรีใส่เพิ่มเข้าไปภายในสายอากาศพบว่าสามารถทำให้ประสิทธิภาพโดยรวมดีขึ้นทั้งอัตราขยาย การลดระดับพู่ข้าง และสามารถแก้ไขคลื่นตัดขวาง (C.Y.Tan *et al.*, 2009) จากการพัฒนสายอากาศปากแตรโดยการเพิ่มวัสดุไดอิเล็กตริกเข้าไปในสายอากาศก็ได้มีการพัฒนารูปแบบวัสดุไดอิเล็กตริกอย่างต่อเนื่อง โดย E.Doumaniset *al.* (2013) ได้นำเสนอการออกแบบสายอากาศปากแตรรูปกรวย โดยเพิ่มแผ่นวัสดุรูปก้นหอยขวางหน้าอะเพอร์เจอร์โดยทำการเปรียบเทียบแบบรูปการแผ่พลังงานกับสายอากาศปากแตรแบบเดิมจากเทคนิคดังกล่าวพบว่าผลที่ได้มีค่าประสิทธิภาพของสายอากาศใกล้เคียงสายอากาศแบบเดิม

2.3 อภิวัด (Metamaterials)

ในปัจจุบันนี้การพัฒนาสายอากาศได้มีการนำเทคโนโลยีใหม่ๆ เข้ามาใช้ในการเพิ่มประสิทธิภาพสายอากาศอย่างต่อเนื่อง อภิวัด (metamaterials) ถือได้ว่าเป็นอีกเทคโนโลยีที่เริ่มเป็นที่นิยมในช่วงระยะเวลาที่ผ่านมาไม่นานนี้ อภิวัดถูกนิยามไว้ว่าเป็นวัสดุประดิษฐ์เชิงวิศวกรรมซึ่งมีคุณสมบัติที่ไม่ปรากฏตามธรรมชาติ โดยคุณสมบัติของวัสดุเหล่านี้จะเกิดจากการจัดเรียง

(composition) และการผนวกกันของวัสดุขนาดเล็กโดยมีขนาดเล็กกว่าความยาวคลื่นมากๆ จากการผนวกกันของวัสดุดังกล่าวที่มีคุณสมบัติไม่เหมือนกัน (inhomogeneous) เพื่อทำให้เกิดคุณสมบัติประสิทธิผลในระดับมาโคร (macroscopic) การประยุกต์ใช้ของวัสดุสำหรับสายอากาศเริ่มมีจำนวนมากขึ้น เนื่องจากอภิวัดที่มีคุณสมบัติพิเศษคือมีค่าดัชนีหักเหเป็นลบ มีค่าสภาพยอมทางไฟฟ้าหรือค่าซึมซาบแม่เหล็กเป็นลบหรือมีค่าเข้าใกล้ศูนย์ (ศราวุธและประยูทธ,2011)ที่ผ่านมาได้มีการออกแบบโครงสร้างอภิวัดในรูปแบบต่างๆเพื่อนำมาใช้ในการพัฒนาและเพิ่มประสิทธิภาพสายอากาศหลากหลาย ประเภท อีกทั้งงานวิจัยทางด้านความถี่ไมโครเวฟอภิวัดถือได้ว่าเป็นเทคโนโลยีที่กำลังได้รับความสนใจเป็นอย่างมากเนื่องจากมีคุณสมบัติพิเศษที่สามารถทำงานทางด้านสนามแม่เหล็กไฟฟ้าซึ่งคุณสมบัติที่สำคัญของอภิวัดที่มีผลต่อคลื่นความถี่ไมโครเวฟคือสามารถลดความเร็วคลื่นที่ผ่านโครงสร้างอภิวัด(Zhou *et al.*,2010)ในการออกแบบและพัฒนาสายอากาศปากแตรก็ได้มีการนำคุณสมบัติของอภิวัดมาใช้ในการเพิ่มและปรับปรุงประสิทธิภาพของสายอากาศเช่นกัน โดยDavide Ramaccia *et al.* (2013)ได้นำเสนอการออกแบบสายอากาศปากแตรขนาดกะทัดรัดโดยใช้ของอภิวัดที่มีคุณสมบัติค่าคงตัวไดอิเล็กตริกมีค่าใกล้เคียงศูนย์หรือมีค่าติดลบมาวางในลักษณะเลนส์ ซึ่งทำการออกแบบโดยทำการลดขนาดความยาวของสายอากาศปากแตรลงมาครึ่งหนึ่งจากความยาวสายอากาศมาตรฐานแล้วทำการออกแบบโครงสร้างอภิวัดเพื่อให้มีคุณสมบัติเป็นอภิวัดโดยมีโครงสร้างเป็นเส้นลวดวางเรียงกันในรูปโครงข่ายสี่เหลี่ยมสามชั้น จากการทดสอบพบว่าสายอากาศที่นำเสนอมีประสิทธิภาพที่ใกล้เคียงกับสายอากาศปากแตรมาตรฐาน แต่จุดเด่นของเทคนิคนี้คือสามารถลดขนาดของสายอากาศปากแตรให้มีขนาดเล็กลงแต่ยังคงประสิทธิภาพสายอากาศใกล้เคียงกับสายอากาศมาตรฐาน หลังจากนั้น Mustafa *et al.* (2014) ได้นำเสนอการนำคุณสมบัติโครงสร้างอภิวัดมาใช้เพิ่มประสิทธิภาพสายอากาศปากแตรรูปกรวยโดยการออกแบบได้ทำการลดขนาดความยาวของสายอากาศปากแตรรูปกรวยลงมาครึ่งหนึ่งแล้วออกแบบโครงสร้างอภิวัดที่อยู่ในรูปแบบไดอิเล็กตริกเลนส์ ซึ่งรูปแบบของไดอิเล็กตริกเลนส์ได้ทำการออกแบบโดยการเจาะช่องว่างรูปทรงกระบอกเรียงกันเต็มพื้นที่แผ่นไดอิเล็กตริกโดยมีขนาดของช่องว่างที่แตกต่างกัน จากโครงสร้างดังกล่าวทำให้เกิดคุณสมบัติของอภิวัด จากเทคนิคดังกล่าวพบอัตราขยายของสายอากาศเพิ่มสูงขึ้นแต่ความกว้างแถบความถี่ที่ได้ไม่ดีเท่าที่ควร ต่อมา Mario Reyes-Ayala *et al.* (2014) ได้มีการนำเสนอการเพิ่มโหนดไดอิเล็กตริกเข้าไปภายในโครงสร้างสายอากาศปากแตรรูปกรวยเพื่อประยุกต์ใช้กับระบบสื่อสารดาวเทียมโดยวิธีการนำเสนอโดยการใส่โหนดไดอิเล็กตริกรูปทรงกระบอกเข้าไปกั้นระหว่างโครงสร้างของสายอากาศปากแตรรูปกรวย จากเทคนิคดังกล่าวทำให้ได้อัตราขยายของสายอากาศสูงเพิ่มขึ้น และขนาดความหนาของไดอิเล็กตริกที่เหมาะสมทำให้พุ่งและพุ่งหลังด้าอีกทั้งแบบรูปการแผ่พลังงานดีขึ้น

2.4 ช่องว่างแถบความถี่แม่เหล็กไฟฟ้า (Electromagnetic Band Gap: EBG)

เป็นที่ทราบกันดีว่าอภิวัดนั้นเกิดจากโครงสร้างวัสดุที่จัดเรียงในรูปแบบต่างๆให้เกิดคุณสมบัติอภิวัดซึ่งรูปแบบของโครงสร้างของอภิวัดนั้นได้ถูกพัฒนาในหลากหลายรูปแบบและหลายประเภท ช่องว่างแถบความถี่แม่เหล็กไฟฟ้าก็เป็นโครงสร้างอีกชนิดหนึ่งของอภิวัดการนำ EBG มาใช้ในการเพิ่มประสิทธิภาพสายอากาศได้มีการวิจัยพัฒนาอย่างต่อเนื่องเช่นกัน โดยทำการประยุกต์กับสายอากาศประเภทต่าง ๆ สำหรับการประยุกต์ใช้โพรงช่องว่างแถบแม่เหล็กไฟฟ้าเพื่อลดหรือขจัดคลื่นผิวของสายอากาศนั้น อาจทำได้โดยการออกแบบให้ EBG ล้อมรอบสายอากาศโมโนโครสตริปแบบแพทช์เพื่อเพิ่มอัตราขยายของสายอากาศและลดระดับของพुकคลื่นด้านหลัง (R. Coccioli *et al.*, 1999) หรือในการออกแบบสายอากาศสำหรับระบบระบุตำแหน่งบนพื้นโลก GPS โดยใช้ EBG แทนที่โซ่ควงกลมหนึ่งในสี่ของความยาวคลื่น (quarter-wavelength choke rings) (W. E. McKinzie *et al.*, 2002) และสำหรับสายอากาศแถวลำดับที่มีการเพิ่ม EBG เข้าไปจะช่วยลดระดับการเชื่อมต่อร่วม (mutual coupling level) ได้ด้วย อีกเทคนิคการประยุกต์นำ EBG ใช้คือ ออกแบบให้ EBG ถูกวางไว้ข้างหน้าสายอากาศกระตุ้นโดยหลักๆแล้ว EBG ที่เหมาะกับการกระตุ้นจากด้านหลังคือ EBG รูปแบบคล้ายกองฟืน (woodpile EBG) ซึ่งเป็น EBG แบบ 3 มิติ ในการวิจัยพัฒนาโดยการนำ EBG แบบ 3 มิติมาช่วยเพิ่มประสิทธิภาพสายอากาศโมโนโพล (monopole antenna) ให้มีลำคลื่นที่แคบ (narrow-beam) เพื่อเพิ่มอัตราขยายของสายอากาศให้สูงขึ้น สำหรับการประยุกต์ใช้งานในแถบความยาวคลื่นมิลลิเมตร (millimeter wave) ที่ความถี่ 95GHz (Y. Lee *et al.*, 2009) โดยนำโพรง EBG ที่มีลักษณะเป็นแบบกองฟืนทรงกระบอก (cylindrical woodpile EBG) มาล้อมรอบสายอากาศจากการวัดทดสอบพบว่าระบบสายอากาศมีความกว้างลำคลื่นครึ่งกำลัง (Half Power Beam Width หรือ HPBW) เท่ากับ 6.5° และมีอัตราขยาย 5dBi จากการนำ EBG แบบสามมิติแบบกองฟืน มาใช้กับการเพิ่มประสิทธิภาพสายอากาศนั้น พบว่ามีข้อเสียคือการออกแบบวาง EBG ต้องมีระยะในการวางที่ห่างจากสายอากาศกระตุ้นที่เหมาะสมซึ่งโดยทั่วไปพบว่าระยะที่วางนั้นมีระยะห่างมากทำให้ขนาดของสายอากาศมีขนาดใหญ่มากขึ้นอีกทั้งมีปัญหาในการติดตั้งสายอากาศกระตุ้นกับตัว EBG อันที่จริงแล้วการใช้ EBG โดยการกระตุ้นจากด้านหลังนั้นได้มีการพัฒนากันมาก่อนหน้านี้แล้วแต่มักจะนิยมออกแบบบนโครงสร้าง EBG ให้มีรูปแบบคล้ายดอกเห็ด อาทิเช่นการออกแบบการเพิ่มอัตราขยายและความกว้างแถบความถี่ของสายอากาศระนาบด้วยช่องว่างแถบแม่เหล็กไฟฟ้า 1 มิติ ได้มีการออกแบบส่วนกระตุ้นด้วยสายอากาศแบบแพทช์โดยออกแบบโครงสร้าง EBG โดยใช้โครงสร้างโลหะแผ่นทรงกลมที่มีความหนา $\lambda/4$ สองแผ่นวางห่างกันที่ระยะ $\lambda/4$ โดยโครงสร้างดังกล่าวอธิบายได้ว่าการวางโลหะสอง

แผ่นที่มีขนาดเท่ากันและมีระยะห่างที่สัมพันธ์กับความยาวคลื่นสามารถทำให้เกิดคุณสมบัติช่องว่างแถบแม่เหล็กไฟฟ้าที่มีอากาศเป็นไดอิเล็กตริก(Ludovic Leger *et al.*, 2005) ต่อมาได้มีการพัฒนารูปแบบของการนำ EBG มาใช้งานโดยมีการออกแบบการเพิ่มอัตรายายให้สูงขึ้นโดยใช้โครงสร้าง EBG โดยการเจาะช่องโลหะด้วยรูปทรงกระบอกเรียงกันเต็มพื้นผิวโลหะจากวิธีดังกล่าวทำให้ได้การแผ่กระจายคลื่นดีขึ้น โดยทำให้ความกว้างแถบความถี่แคบลงแต่ไม่ทำให้อัตรายายเพิ่มขึ้น(G.M.Sardi *et al.*, 2006) หลังจากนั้นได้มีการนำ EBG ที่อยู่ในรูปแบบคล้ายดอกเห็ดมาใช้เพื่อเพิ่มประสิทธิภาพของสายอากาศโดยทำการวิเคราะห์หาระยะและรูปทรงที่เหมาะสมต่อการทำงานเพื่อให้ได้อัตรายายสูงขึ้น โดยนำ EBG รูปแบบคล้ายเห็ดมาวางขวางหน้าสายอากาศป้อนโดยระยะห่างในการวางมีความสัมพันธ์กับประสิทธิภาพที่ได้(Yading Li, 2009)และจากเทคนิคดังกล่าวได้มีการพัฒนารูปแบบการออกแบบในลักษณะ EBG แบบแถบคู่เพื่อนำไปประยุกต์ใช้ในระบบป้อนให้กับสายอากาศตัวสะท้อน(reflector antenna) จากเทคนิคการออกแบบเพื่อสามารถใช้งานได้ 2 ความถี่ ซึ่ง EBG ได้ถูกออกแบบขึ้นละความถี่แล้วมาวางในระยะห่างที่เหมาะสมจากเทคนิคดังกล่าวสามารถนำไปประยุกต์ใช้ในระบบป้อนให้กับสายอากาศสำหรับรับส่งสัญญาณควมเทียม 2 ช่วงความถี่(Ahmad Kanso *et al.*, 2010) จากเทคนิคดังกล่าวนี้ทีมวิจัยกลุ่มเดิมได้ทำการปรับเปลี่ยนระบบการป้อนจากตัวป้อนชุดเดียวมาเป็นตัวป้อนแบบหลายตัวซึ่งสามารถเพิ่มอัตรายายได้ถึง 40 dBi(Ahmad Kanso *et al.*, 2011) และต่อมา AmagoiaTellechea *et al.*, (2013) ได้นำเสนอการปรับรูปแบบของ EBG จากรูปสี่เหลี่ยมให้เป็นรูปทรงอื่นเพื่อเพิ่มประสิทธิภาพของสภาพเจาะงทิศทางของสายอากาศทำให้ได้อัตรายายที่เพิ่มขึ้น

2.5 ตัวกลางแบบเส้นลวด (Wire medium)

ตัวกลางแบบเส้นลวด (Wire Medium Structure) เป็นโครงสร้างที่มีคุณสมบัติทางด้านอภิวัดและเป็นชนิดของวัสดุช่องว่างแถบความถี่(Burghignoliet *al.*, 2008) ครอบคลุมเดียวกับ EBG แบบสามมิติแบบกึ่งพื้น (Antonio *et al.*, 2013) โดยโครงสร้างของตัวกลางแบบเส้นลวดเกิดจากการจัดเรียงเส้นลวดขนาดเล็กขนานกันเป็นชั้นๆ ฝังตัวลงในตัวกลางไดอิเล็กตริก ซึ่งตัวกลางแบบเส้นลวดนี้ได้มีการศึกษาตั้งแต่ปี 1950ตัวกลางแบบเส้นลวดเป็นที่ทราบกันดีว่าเป็นโครงสร้างวัสดุที่ถูกออกแบบมาใช้ในย่านความถี่พลาสมา (plasma frequency)และมีคุณสมบัติที่ทำให้เกิดค่ามีค่าสภาพยอมทางไฟฟ้าหรือค่าซึมซาบแม่เหล็กมีค่าเข้าใกล้ศูนย์(Foratiet *al.*, 2008)การนำตัวกลางแบบเส้นลวดมาใช้ในการเพิ่มประสิทธิภาพสายอากาศนั้นได้ถูกนำเสนอโดย Tomazet *al.* (2013) ซึ่งนำสื่อตัวกลางแบบเส้นลวดมาทำการปรับปรุงแบบรูปการแผ่พลังงานของสายอากาศปากแตรโดยทำการออกแบบสื่อตัวกลางแบบเส้นลวดที่ประกอบด้วยจำนวนชั้นของเส้นลวดที่วางเรียงกันจำนวน

ห้ำหั่นโดยเส้นลวดถูกวางฝังอยู่ในโอดิเล็กตริกสไตโรโฟม (Styrofoam) จากผลการทดสอบพบว่าสามารถทำให้สภาพเจาะจงทิศทางของสายอากาศเพิ่มสูงขึ้นและลดระดับของพูข้างลงได้แต่ในขณะเดียวกันนั้นพบว่าอัตราขยายของสายอากาศมีค่าน้อยกว่าสายอากาศปากแตรแบบเดิม นอกจากนี้ Al-Nuaimi และคณะ (2014) ได้ทำการนำเสนอการพัฒนาสายอากาศปากแตรรูป โดยทำการลดขนาดความยาวของสายอากาศลงขณะที่ขนาดของปากอะเพอร์เจอร์ของสายอากาศยังคงมีขนาดเท่าเดิมเพื่อทำการปรับปรุงสภาพเจาะจงทิศทางของสายอากาศปากแตรรูปกรวยโดยนำเทคนิคตัวกลางแบบเส้นลวดมาวางปิดปากอะเพอร์เจอร์ของสายอากาศปากแตรรูปกรวยจากการทดสอบพบว่าสภาพเจาะจงทิศทางของสายอากาศเพิ่มขึ้นและอัตราขยายของสายอากาศมีค่าใกล้เคียงกับสายอากาศแบบเดิมแต่สามารถลดขนาดของสายอากาศลงได้ครั้งหนึ่ง จากการศึกษาสามารถสรุปจุดเด่นของโครงสร้างตัวกลางแบบเส้นลวดได้ว่าสามารถขจัดส่วนประกอบของกราวด์เพลนเพื่อป้องกันการแพร่กระจายของคลื่นผิว (surface waves) อีกทั้งโครงสร้างตัวกลางแบบเส้นลวดนั้นมีโครงสร้างที่ง่ายไม่ซับซ้อนและมีคุณสมบัติในการปรับปรุงประสิทธิภาพต่างๆ ของสายอากาศเช่น เพิ่มสภาพเจาะจงทิศทางให้สูงขึ้น เพิ่มอัตราขยายสายอากาศ อีกทั้งยังเพิ่มประสิทธิภาพแบบรูปการแผ่พลังงานของสายอากาศ

จากการศึกษาปริทัศน์วรรณกรรมและงานวิจัยที่ผ่านมาทั้งหมด ในงานวิจัยนี้จึงมีความสนใจในการนำคุณสมบัติของวัสดุชนิดโครงสร้างตัวกลางแบบเส้นลวดมาทำการออกแบบร่วมกับสายอากาศปากแตรรูปกรวย ด้วยคุณสมบัติพิเศษของวัสดุในรูปแบบโครงสร้างตัวกลางแบบเส้นลวดนั้นเมื่อทำการนำมาออกแบบและวิเคราะห์รูปแบบโครงสร้างและตำแหน่งการวางที่เหมาะสมแล้วจะสามารถช่วยเพิ่มประสิทธิภาพของสายอากาศปากแตรรูปกรวยในการศึกษาสมรรถนะและผลกระทบต่างๆ ที่เกิดขึ้นแก่สายอากาศนับว่าเป็นสิ่งสำคัญเพื่อช่วยในการแก้ปัญหาในการออกแบบวิเคราะห์และพัฒนาสายอากาศ อาทิเช่น อัตราขยายในทิศทางด้านหน้าความกว้างแถบความถี่ใช้งาน ความกว้างของลำคลื่น แบบรูปการแผ่พลังงาน สภาพเจาะจงทิศทาง อิมพีแดนซ์ด้านเข้า และคุณสมบัติอื่น ๆ จึงมีงานวิจัยมากมายที่ได้นำเสนอการประยุกต์กรรมวิธี สมมติฐาน และทฤษฎีต่าง ๆ เพื่อให้การทำงานมีความแม่นยำหรือมีความรวดเร็วมากยิ่งขึ้น สามารถแสดงให้เห็นความเป็นมาของวิธีนี้โดยเรียงลำดับดังตารางที่ 2.1 ได้ดังนี้

ตารางที่ 2.1 ลำดับการอ้างอิงปริทัศน์วรรณกรรมและงานวิจัยที่เกี่ยวข้อง

| ผู้นำเสนอ | เรื่อง | ปี |
|---|--|------|
| G.C.Southworth และA.P.King | Metal Horns as Directive Receivers of Ultra-Short Wave | 1939 |
| A.P.King | The Radiation Characteristics of Conical Horn Antenna | 1950 |
| M.Clenet และL.Shafai | Gain Enhancement of Conical Horn by Introducing Bodies of Revolution inside the Horn | 1998 |
| ChristopheGranet | Design of a Compact C-Band Receive-Only Horn for Earth Station Antenna G/T _A Performance | 2003 |
| Ludovic Leger, Thierry Monediere และ Bernard Jeeko | Enhancement of Gain and Radiation Bandwidth for a Planar 1-D EBG Antenna | 2005 |
| Mario G.Silveirinha และ Carlos A. Fernandes | Homogenization of 3-D-Connected and Nonconnected Wire Metamaterials | 2005 |
| G.M.Sardi, G.Donzelli, และ F.Capolino | High Directivity at Broadside with New Radiators made of Dielectric EBG Materials | 2006 |
| Lukas Jelinek, Jan Machac, และ Jan Zehentner | Metamaterials- A Challenge for Contemporary Advanced Technology | 2007 |
| PekkaM.T. Ikonen, Elena Saenz, Ramon Gonzalo และSergei A.Tretyakov | Modeling and Analysis of composite Antenna Superstrates Consisting on Grids of Loaded Wires | 2007 |
| Yan Zhao, Pavel A.Belovelและ Yang Hao | Modelling of Wave Propagation in Wire Media Using Spatially Dispersive Finite-Difference Time-Domain Method: Numerical Aspects | 2007 |

ตารางที่ 2.1 ลำดับการอ้างอิงปริทัศน์วรรณกรรมและงานวิจัยที่เกี่ยวข้อง(ต่อ)

| ผู้นำเสนอ | เรื่อง | ปี |
|-----------|--------|----|
|-----------|--------|----|

| | | |
|---|--|------|
| R.Chantalat, C.Menudier, M.Thevenot, T.Monediere, และP.Dumon | Enhanced EBG Resonator Antenna as Feed of Reflector Antenna in the Ka Band | 2008 |
| Kenneth Brown, Chi-Chih Chen และ Walter D. Burnside | A Novel Design of a Miniature Wideband Corrugated Horn Antenna Employing Unique Sinusoidal Shaped Ridges | 2008 |
| Paolo Burghignoli, GiampieroLavat, Filippo Capolino, David R.Jackson!และ Donald R.Wilton | Directive Leaky-Wave Radiation From a dipole Source in a Wire-Medium Slab | 2008 |
| Paolo Burghignoli, GiampieroLavat, Filippo และDonald R.Wilton | Modal Propagation and Excitation on a Wire- Medium Slab | 2008 |
| Giampiero Lovat | Near-Field Shielding Effectiveness of 1-D Periodic Planar Screens With 2-D Near-Field Sources | 2009 |
| Yading Li | Investigation of minimum Cavity Height of Small EBG-Resonator Antennas For Maximum Directivity | 2009 |
| Syed Azhar Hasan | Design & Measurements Techniques for Circularly Polarized, Dual Fed, High Gain, Lightweight, Wideband Conical Horn Antenna with Suppressed Side Lobe & High Performance Radome for Space Application | 2010 |
| R.Chantalat, C.Menudier, M.Thevenot, T.Monediere, และP.Dumon | Enhanced EBG Resonator Antenna as Feed of Reflector Antenna in the Ka Band | 2008 |

ตารางที่ 2.1 ลำดับการอ้างอิงปริทัศน์วรรณกรรมและงานวิจัยที่เกี่ยวข้อง (ต่อ)

| ผู้นำเสนอ | เรื่อง | ปี |
|-----------|--------|----|
|-----------|--------|----|

| | | |
|--|--|------|
| Kenneth Brown, Chi-Chih Chen และ Walter D. Burnside | A Novel Design of a Miniature Wideband Corrugated Horn Antenna Employing Unique Sinusoidal Shaped Ridges | 2008 |
| Kenneth Brown, Chi-Chih Chen และ Walter D. Burnside | A Novel Design of a Miniature Wideband Corrugated Horn Antenna Employing Unique Sinusoidal Shaped Ridges | 2008 |
| Paolo Burghignoli, Giampiero Lavat, Filippo Capolino, David R. Jackson และ Donald R. Wilton | Directive Leaky-Wave Radiation From a dipole Source in a Wire-Medium Slab | 2008 |
| Paolo Burghignoli, Giampiero Lavat, Filippo Capolino, David R. Jackson และ Donald R. Wilton | Modal Propagation and Excitation on a Wire- Medium Slab | 2008 |
| Giampiero Lovat | Near-Field Shielding Effectiveness of 1-D Periodic Planar Screens With 2-D Near-Field Sources | 2009 |
| Yading Li | Investigation of minimum Cavity Height of Small EBG-Resonator Antennas For Maximum Directivity | 2009 |
| Syed Azhar Hasan | Design & Measurements Techniques for Circularly Polarized, Dual Fed, High Gain, Lightweight, Wideband Conical Horn Antenna with Suppressed Side Lobe & High Performance Radome for Space Application | 2010 |
| Rongguo Zhou, Hualiang Zhang, และ Hao Xin | Metallic Wire Array as Low-Effective Index of Refraction Medium for Directive Antenna Application | 2010 |

ตารางที่ 2.1 ลำดับการอ้างอิงปริทัศน์วรรณกรรมและงานวิจัยที่เกี่ยวข้อง (ต่อ)

| | | |
|-----------|--------|----|
| ผู้นำเสนอ | เรื่อง | ปี |
|-----------|--------|----|

| | | |
|--|--|------|
| Rongguo Zhou, Hualiang Zhang, และ Hao Xin | Metallic Wire Array as Low-Effective Index of Refraction Medium for Directive Antenna Application | 2010 |
| R.Chantalat, C.Menudier, M.Thevenot, T.Monediere, และ P.Dumon | Enhanced EBG Resonator Antenna as Feed of Reflector Antenna in the Ka Band | 2008 |
| Kenneth Brown, Chi-Chih Chen และ Walter D. Burnside | A Novel Design of a Miniature Wideband Corrugated Horn Antenna Employing Unique Sinusoidal Shaped Ridges | 2008 |
| Paolo Burghignoli, Giampiero Lovat, Filippo Capolino, David R.Jackson และ Donald R.Wilton | Directive Leaky-Wave Radiation From a dipole Source in a Wire-Medium Slab | 2008 |
| Paolo Burghignoli, Giampiero Lovat, Filippo Capolino, David R.Jackson และ Donald R.Wilton | Modal Propagation and Excitation on a Wire- Medium Slab | 2008 |
| Giampiero Lovat | Near-Field Shielding Effectiveness of 1-D Periodic Planar Screens With 2-D Near-Field Sources | 2009 |
| Yading Li | Investigation of minimum Cavity Height of Small EBG-Resonator Antennas For Maximum Directivity | 2009 |
| Syed Azhar Hasan | Design & Measurements Techniques for Circularly Polarized, Dual Fed, High Gain, Lightweight, Wideband Conical Horn Antenna with Suppressed Side Lobe & High Performance Radome for Space Application | 2010 |

ตารางที่ 2.1 ลำดับการอ้างอิงปริทัศน์วรรณกรรมและงานวิจัยที่เกี่ยวข้อง (ต่อ)

| | | |
|-----------|--------|----|
| ผู้นำเสนอ | เรื่อง | ปี |
|-----------|--------|----|

| | | |
|--|---|------|
| Rongguo Zhou, Hualiang Zhang, และ Hao Xin | Metallic Wire Array as Low-Effective Index of Refraction Medium for Directive Antenna Application | 2010 |
| AdmadKanso, R.Chantalat, M.thevenot, E.Arnaud, และ T.Monediere | Offset Parabolic Reflector Antenna Fed by EBG Dual-Band Focal Feed for Space Application | 2010 |
| Rongguo Zhou, Hualiang Zhang, และ Hao Xin | Metallic Wire Array as Low-Effective Index of Refraction Medium for Directive Antenna Application | 2010 |
| Marek S.Wartak, Kosmas L.Trakmakidis และ Ortwin Hess | Introduction to Metaterials | 2011 |
| ศราวุธและประยูทธ | อภิวัดคูลสำหรับประยุกต์ใช้ด้านสายอากาศ | 2011 |
| Petr Piksa | Comparison of Conical Horn with Optimized Corrugated Surface and Corrugated Horn | 2011 |
| HuanbinJiang, Wanshun Jiang และ Yuemin Ning | Design of Novel R-Band Conical Horn Antenna Fed with Rectangle Waveguide | 2012 |
| Ahmet Serdar Turk และ Ahmer Kenan Keskin | Partially Dielectric-Loaded Ridged Horn Antenna Design for Ultrawideband Gain and Radiation Performance Enhancement | 2012 |
| E.Doumanis, D.Zelenchuk, V.Fusco และ G.Goussetis | Conical Horn Antenna with Spiral Phase Plate for Difference Pattern Generation | 2013 |
| Nafati A. Aboserwal, Constantine A.Balanis และ Craig R.Birtcher | Conical Horn: Gain and Amplitude Patterns | 2013 |
| Davide Ramaccia, Francesco Scattone, Filiberto Bilotti, และ Alessandro Toscano | Broadband Compact Horn Antennas by Using EPS-ENZ Metamaterial Lens | 2013 |

ตารางที่ 2.1 ลำดับการอ้างอิงปริทัศน์วรรณกรรมและงานวิจัยที่เกี่ยวข้อง (ต่อ)

| ผู้นำเสนอ | เรื่อง | ปี |
|------------|---|------|
| Mustafa K, | Discrete Dielectric Reflectarray and Lens for | 2014 |

| | | |
|--|---|------|
| Taher Al-Nuaimi, และ Wei Hong | E-Band With Different Feed | |
| Mustafa K, Taher Al-Nuaimi, Wei Hong, และ Yan Zhang | Design of high-Directivity Compact-Size Conical Horn Lens Antenna | 2014 |
| Mario Reyes-Ayala และ Hildeberto Jardon-Aguilar | Dielectric Load in short Standard Conical Horns for Satellite Application | 2014 |
| Zhun Yang, Wei Song, และ Xin-Qing Sheng | A Modified PML in FDTD Modeling of a Uniaxial Wire Medium | 2014 |
| Tiago A.Morgado, Jorge M.Alves , C. A.Fernandes, และ Mario G.Silveirinha | Spatially Confined UHF RFID Detection with a Metamaterial Grate | 2014 |
| Ebrahim Forati และ George W.Hanson | An Epsilon-Near-Zero Total-Internal-Reflection Metamaterial Antenna | 2015 |
| Sergei Kosulnikov, Dmitry Filonov, Stanislav Glybovski, Pavel Below, Sergei Tretyakov, และ Constantin Simovski | Wire-Medium Hyperlens for Enhancing Radiation From Subwavelength Dipole Sources | 2015 |

2.6 สรุป

ตามเนื้อหาที่กล่าวในบทนี้ได้อธิบายถึงการพัฒนาสายอากาศปากแตรด้วยเทคนิคต่าง ๆ เพื่อเพิ่มประสิทธิภาพของสายอากาศในด้านต่าง ๆ เพื่อให้ตรงตามความต้องการต่อการประยุกต์ใช้งานเนื่องด้วยวัตถุประสงค์ของงานวิจัยนี้เพื่อพัฒนาสายอากาศปากแตรที่เหมาะสมสำหรับประยุกต์ใช้เป็นสายอากาศสำหรับระบบเรดาร์และการเชื่อมต่อสัญญาณไมโครเวฟด้วยสถานีทวนสัญญาณ (Microwave Link) โดยจากการศึกษาปริทัศน์วรรณกรรมและงานวิจัยที่ได้กล่าวไว้ข้างต้น ดังนั้นงานวิจัยนี้จึงเสนอการออกแบบสายอากาศปากแตรรูปกรวยโดยนำจุดเด่นของเทคนิคอภิวัดศูมาประยุกต์ทำงานร่วมกับสายอากาศปากแตรรูปกรวย ซึ่งมีแนวคิดในการนำเทคนิคอภิวัดศูที่อยู่ในรูปแบบโครงสร้างตัวกลางแบบเส้นลวดมาทำการติดตั้งที่ตำแหน่งปากอะเพอร์เจอร์ของสายอากาศปากแตรรูปกรวยโดยทำการออกแบบและวิเคราะห์ลักษณะรูปแบบโครงสร้างและระยะตำแหน่ง

การวางที่เหมาะสม เนื่องจากอภิวัดมีคุณสมบัติพิเศษคือ มีค่าดัชนีหักเหเป็นลบ มีค่าสภาพยอมทางไฟฟ้าหรือค่าซึมซาบแม่เหล็กเป็นลบหรือมีค่าเข้าใกล้ศูนย์ เมื่อมีการแผ่กระจายกำลังจากสายอากาศปากแตรผ่าน โครงสร้างตัวกลางแบบเส้นลวดซึ่งเป็นโครงสร้างที่มีคุณสมบัติของอภิวัดจะช่วยให้ อัตราขยายของสายอากาศเพิ่มขึ้น อีกทั้งสามารถช่วยในการเพิ่มประสิทธิภาพแบบรูปการแผ่พลังงานของสายอากาศให้ดีขึ้น



บทที่ 3

ทฤษฎีที่เกี่ยวข้อง

3.1 บทนำ

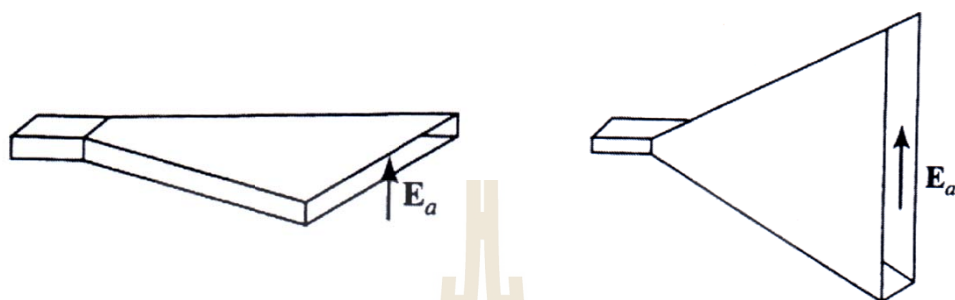
เนื้อหาในบทนี้จะกล่าวถึงทฤษฎีและหลักการที่เกี่ยวข้องที่ใช้เป็นแนวทางและพื้นฐานในการวิเคราะห์และออกแบบพัฒนาสายอากาศปากแตรรูปกรวย โดยจะประกอบด้วยเนื้อหา ดังต่อไปนี้คือ ทฤษฎีและหลักการของสายอากาศปากแตรรูปกรวยรวมถึงการออกแบบและค่าพารามิเตอร์ต่างๆของสายอากาศปากแตรรูปกรวยทฤษฎีและคุณสมบัติของอภิวัดศุทฤษฎีและหลักการของอภิวัดศุนิดสี่ตัวกลางแบบเส้นลวด วิธีการวิเคราะห์โครงสร้างของตัวกลางแบบเส้นลวด ในส่วนสุดท้ายของบทนี้จะกล่าวถึงบทสรุป

3.2 สายอากาศปากแตร (Horn Antennas)

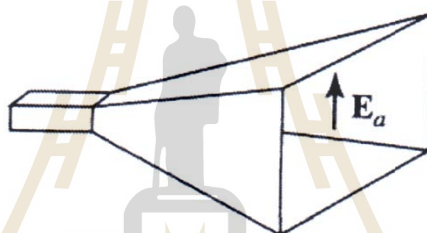
สายอากาศปากแตร (รังสรรค์ วงศ์สรรค์, 2552) เป็นสายอากาศแบบอะเพอร์เจอร์ที่มีการปล่อยพลังงานคลื่นแม่เหล็กไฟฟ้าผ่านออกมาจากอะเพอร์เจอร์หรือช่องเปิดของตัวสายอากาศ ซึ่งจะมีลักษณะที่ใกล้เคียงกับการทำงานของเครื่องขยายเสียงที่เรียกว่าเมกะโฟน (megaphone) หรือ ไมโครโฟน (microphone) แบบที่มีตัวสะท้อนพาราโบลา ในกรณีที่ใช้สายอากาศปากแตรทำหน้าที่ในการรับสัญญาณ ก็จะใช้อะเพอร์เจอร์สำหรับรับสัญญาณคลื่นแม่เหล็กไฟฟ้า สายอากาศอะเพอร์เจอร์นิยมใช้กันในย่านความถี่ตั้งแต่ UHF (Ultra-High Frequency) ขึ้นไป เนื่องจากสายอากาศแบบนี้จะให้อัตราขยายสูงและมีค่าเป็นสัดส่วนโดยประมาณกับความถี่ยกกำลังสอง (f^2) และหากต้องการให้สายอากาศมีประสิทธิภาพและสภาพเจาะจงทิศทางของกำลังที่สูงขึ้น จะต้องออกแบบให้พื้นที่ของอะเพอร์เจอร์มีขนาดกว้างกว่าความยาวคลื่นใช้งานยกกำลังสอง (λ^2) ดังนั้นจึงไม่เหมาะที่จะนำมาใช้งานกับย่านความถี่ต่ำเพราะจะทำให้สายอากาศมีขนาดใหญ่เกินไป ข้อดีของสายอากาศอะเพอร์เจอร์นอกจากให้อัตราขยายที่สูงแล้วค่าของอิมพีแดนซ์ด้านเข้า (input impedance) ของสายอากาศจะขึ้นอยู่กับค่าอิมพีแดนซ์ของตัวป้อน (feeder) ซึ่งทำให้ง่ายในการแมตช์สายอากาศ

สายอากาศปากแตรรูปสี่เหลี่ยมมุมฉาก (rectangular horn antenna) นิยมใช้งานกับความถี่ย่านไมโครเวฟ เพราะมีคุณสมบัติที่เป็นจุดเด่น คือ มีอัตราขยายที่สูงและมีค่าอัตราส่วนคลื่นนิ่งต่ำ นอกจากนี้ยังให้ความกว้างแถบค่อนข้างกว้างและที่สำคัญ คือ สามารถออกแบบและสร้างได้

โดยง่าย สายอากาศปากแตรรูปสี่เหลี่ยมมุมฉากถูกแบ่งออกเป็น 3 รูปแบบหลัก ได้แก่ (1) ปากแตรแบบเซกเตอร์ระนาบสนามแม่เหล็ก (H-plane sectoral horn) (2) ปากแตรแบบเซกเตอร์ระนาบสนามไฟฟ้า (E-plane sectoral horn) และ (3) ปากแตรทรงพีระมิด แสดงดังรูปที่ 3.1(ก) (ข) และ (ค) ตามลำดับ



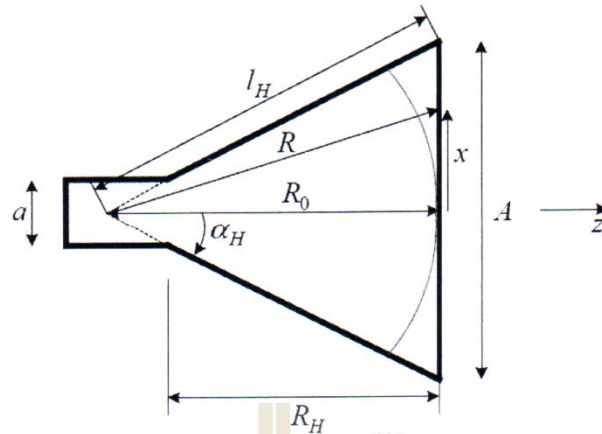
ก. ปากแตรแบบเซกเตอร์ระนาบสนามแม่เหล็ก ข. ปากแตรแบบเซกเตอร์ระนาบสนามไฟฟ้า



ค. ปากแตรทรงพีระมิด

รูปที่ 3.1 ลักษณะของสายอากาศปากแตรรูปสี่เหลี่ยมมุมฉากทั้ง 3 แบบหลัก

ในการออกแบบสายอากาศปากแตรให้มีความกว้างแถบมากขึ้นนั้น สามารถกระทำได้โดยการกาง (flaring) ส่วนของปากแตรให้มีลักษณะตามการเปลี่ยนแปลงของสนามเอกซ์โปเนนเชียล สำหรับสายอากาศปากแตรรูปสี่เหลี่ยมมุมฉากนี้ จะเหมาะสำหรับใช้กับสายส่งแบบท่อนำคลื่นรูปสี่เหลี่ยมมุมฉาก (rectangular waveguide) เท่านั้น โดยส่วนที่เป็นปากแตรจะทำหน้าที่ในการส่งผ่านสัญญาณความถี่วิทยุผ่านโมดของโหมดของท่อนำคลื่นออกไปสู่โหมดของอวกาศว่าง ในรูปของคลื่นแม่เหล็กไฟฟ้า แต่ถ้าสายส่งแบบท่อนำคลื่นเป็นแบบทรงกระบอก สายอากาศปากแตรที่ใช้งานกับท่อนำคลื่นแบบนี้ต้องเปลี่ยนเป็นสายอากาศปากแตรรูปกรวยแทน โดยขนาดสองมิติที่เป็นพื้นฐานสำหรับโครงสร้างของปากแตรแบบนี้คือ A และ R_H



รูปที่ 3.2 ภาพตัดขวางในระนาบสนามแม่เหล็กหรือระนาบ x-z ของปากแตรแบบเซกเตอร์

สำหรับงานวิจัยนี้ได้นำสายอากาศปากแตรรูปสี่เหลี่ยมมุมฉากสนามแม่เหล็กมาประยุกต์ใช้จากรูปที่ 3.2 เป็นการแสดงภาพตัดขวางของปากแตรแบบเซกเตอร์สนามแม่เหล็กซึ่งมีการกำหนดพารามิเตอร์ที่จำเป็นต้องใช้ในการวิเคราะห์ต่อไป

จากลักษณะของภาพตัดขวางเชิงเรขาคณิตของปากแตรซึ่งแสดงในรูปที่ 3.2 สามารถนำมาคำนวณหาค่าพารามิเตอร์สำคัญได้โดยใช้สมการต่อไปนี้

$$l_H^2 = R_0^2 + \left(\frac{A}{2}\right)^2 \quad (3.1)$$

$$\alpha_H = \tan^{-1}\left(\frac{A}{2R_0}\right) \quad (3.2)$$

$$R_H = (A-a)\sqrt{\left(\frac{l_H}{A}\right)^2 - \frac{1}{4}} \quad (3.3)$$

สำหรับองค์ประกอบของสนามในแนวสัมผัสตั้งที่เป็นสนามไฟฟ้าและสนามแม่เหล็กซึ่งปรากฏที่ด้านเข้าของปากแตรจะเป็นองค์ประกอบของสนามที่ตัดขวางกันและอยู่ในโหมดเป็นใหญ่ (dominant mode) หรือ โหมด TE_{10} ซึ่งเท่ากับ

$$E_y = E_0 \cos\left(\frac{\pi}{a}x\right)e^{-j\beta_g z} \quad (3.4ก)$$

$$H_x = -E_y / Z_g \quad (3.4\text{ข})$$

โดยที่

$$Z_g = \frac{\eta}{\sqrt{1 - \left(\frac{\lambda}{2a}\right)^2}} \quad \text{คือ อิมพีแดนซ์ของคลื่นในโหมด TE}_{10}$$

$$\beta_g = \beta_0 \sqrt{1 - \left(\frac{\lambda}{2a}\right)^2} \quad \text{คือ ค่าคงตัวการแพร่กระจายคลื่นในโหมด TE}_{10}$$

ในที่นี้ค่าคงตัวการแพร่กระจายคลื่น β_g จะเป็นค่าจินตภาพซึ่งให้ความหมายเฉพาะการเป็นค่าคงตัวเฟสที่เกิดขึ้นภายในท่อนำคลื่น โดย $\beta_0 = \omega\sqrt{\mu\epsilon} = 2\pi/\lambda$ สนามซึ่งแผ่ออกไปจากอะโพร์เจอร์ของปากแตรจึงเป็นสนามที่เดินทางออกมาจากท่อนำคลื่นนั่นเอง จะเห็นว่าอิมพีแดนซ์คลื่น (wave impedance) ของท่อนำคลื่นที่มีลักษณะค้อย ๆ ทางออกคล้ายปากแตรนั้น จะมีค่าค้อย ๆ เข้าสู่ค่าของอิมพีแดนซ์อินทรีนซิก (η) ของอวกาศว่างโดยสอดคล้องกับขนาดของ A (ความกว้างในระนาบสนามแม่เหล็ก) ที่มีขนาดมากขึ้น ความซับซ้อนยุ่งยากในการวิเคราะห์จะเกิดจากความจริงที่ว่า คลื่นซึ่งเดินทางมาถึงอะโพร์เจอร์ของปากแตรนี้จะมีเฟสที่แตกต่างกัน เนื่องจากเส้นทางจากจุดกึ่งกลางของท่อนำคลื่นมายังอะโพร์เจอร์ของปากแตรมีระยะที่แตกต่างกัน ซึ่งการเปลี่ยนแปลงเฟสที่อะโพร์เจอร์ดังกล่าวจะกำหนดได้ด้วยสมการ (3.5)

$$e^{-j\beta(R-R_0)} \quad (3.5)$$

เนื่องจากอะโพร์เจอร์ไม่ได้ถูกวางออกในทิศทาง y ดังนั้นเฟสของคลื่นในทิศทางนี้จึงมีเฟสเท่ากันทำให้สามารถหาระยะของ R ได้จากสมการ (3.6)

$$R = \sqrt{R_0^2 + x^2} = R_0 \sqrt{1 + \left(\frac{x}{R_0}\right)^2} \approx R_0 \left[1 + \frac{1}{2} \left(\frac{x}{R_0}\right)^2 \right] \quad (3.6)$$

ดังนั้นหากระยะ $x \approx R_0$ หรือ $A/2 \approx R_0$ ก็จะประมาณได้ว่า

$$R - R_0 \approx \frac{1}{2} \frac{x^2}{R_0} \quad (3.7)$$

และเมื่อใช้ระยะโดยประมาณจากสมการ (3.7) จะสามารถหาผลเฉลยของสนามโดยประมาณที่อะเพอร์เจอร์ของปากแตรได้เท่ากับ

$$E_{a_y} = E_0 \cos\left(\frac{\pi}{A}x\right) e^{-j\frac{\beta}{2R_0}x^2} \quad (3.8)$$

ต่อไปหากสมมุติให้สนามที่ระนาบอะเพอร์เจอร์(ด้านนอกอะเพอร์เจอร์) มีค่าศูนย์ สมการของสนามใน (3.8) เมื่อนำไปแทนในสมการ \mathcal{F}_y^E จะได้

$$\mathcal{F}_y^E = \iint_{S_A} E_{a_y}(x', y') e^{j\beta(x'\sin\theta\cos\varphi + y'\sin\theta\sin\varphi)} dx' dy' \quad (3.9)$$

หรือเท่ากับ

$$\mathcal{F}_y^E = E_0 \int_{-A/2}^{+A/2} \cos\left(\frac{\pi}{A}x'\right) e^{-j\frac{\beta}{2R_0}x'^2} e^{j\beta\sin\theta\cos\varphi x'} dx' \times \int_{-b/2}^{+b/2} e^{j\beta\sin\theta\sin\varphi y'} dy' \quad (3.10)$$

เมื่อทำการอินทิกรัลจะได้ผลเฉลยของสมการ (3.10) ลดรูปลงเหลือเพียง

$$\mathcal{F}_y^E = E_0 \left[\frac{1}{2} \sqrt{\frac{\pi R_0}{\beta}} I(\theta, \varphi) \right] \left[\frac{\sin\left(\frac{\beta b}{2} \sin\theta \sin\varphi\right)}{\frac{\beta b}{2} \sin\theta \sin\varphi} \right] \quad (3.11)$$

โดยที่

$$I(\theta, \varphi) = e^{j\frac{R_0}{2\beta}\left(\beta\sin\theta\cos\varphi + \frac{\pi}{A}\right)^2} \left[C(s'_2) - jS(s'_2) - C(s'_1) + jS(s'_1) \right] + e^{j\frac{R_0}{2\beta}\left(\beta\sin\theta\cos\varphi - \frac{\pi}{A}\right)^2} \left[C(t'_2) - jS(t'_2) - C(t'_1) + jS(t'_1) \right] \quad (3.12)$$

และ

$$s'_1 = \sqrt{\frac{1}{\pi\beta R_0}} \left(-\frac{\beta A}{2} - R_0\beta u - \frac{\pi R_0}{A} \right), s'_2 = \sqrt{\frac{1}{\pi\beta R_0}} \left(+\frac{\beta A}{2} - R_0\beta u - \frac{\pi R_0}{A} \right) \\ t'_1 = \sqrt{\frac{1}{\pi\beta R_0}} \left(-\frac{\beta A}{2} - R_0\beta u + \frac{\pi R_0}{A} \right), t'_2 = \sqrt{\frac{1}{\pi\beta R_0}} \left(+\frac{\beta A}{2} - R_0\beta u + \frac{\pi R_0}{A} \right)$$

โดยที่

$$u = \sin\theta \cos\varphi$$

ขณะที่ $C(x)$ และ $S(x)$ คือ อินทิกรัลเฟรสเนล(Fresnel Integrals) ซึ่งได้กำหนดค่าไว้ดังต่อไปนี้

$$C(x) = \int_0^x \cos\left(\frac{\pi}{2}\tau^2\right) d\tau ; C(-x) = -C(x) \quad (3.13ก)$$

$$S(x) = \int_0^x \sin\left(\frac{\pi}{2}\tau^2\right) d\tau ; S(-x) = -S(x) \quad (3.13ข)$$

เพื่อให้ได้ผลเฉลยของ \mathfrak{F}_y^E มีความแม่นยำมากขึ้น การประมาณค่าโดยใช้สมการ (3.6) จะไม่สามารถนำมาใช้ได้ และ E_{a_y} เมื่อถูกแทนลงในสมการ (3.9) จะได้

$$\begin{aligned} E_{a_y} &= E_0 \cos\left(\frac{\pi}{A}x\right) e^{-j\beta(\sqrt{R_0^2+x^2}-R_0)} \\ &= E_0 e^{-j\beta R_0} \cos\left(\frac{\pi}{A}x\right) e^{-j\beta\sqrt{R_0^2+x^2}} \end{aligned} \quad (3.14)$$

เมื่อนำมาคำนวณหาองค์ประกอบของสนามไฟฟ้าที่เป็นสนามไกลจะได้

$$E_\theta = \left[j\beta \frac{e^{-j\beta r}}{4\pi r} (1 + \cos\theta) \sin\varphi \right] \times \mathfrak{F}_y^E \quad (3.15ก)$$

$$E_\varphi = \left[j\beta \frac{e^{-j\beta r}}{4\pi r} (1 + \cos\theta) \cos\varphi \right] \times \mathfrak{F}_y^E \quad (3.15ข)$$

หรือเขียนในรูปของเวกเตอร์สนามไฟฟ้าก็ได้

$$\vec{E} = j\beta E_0 \sqrt{\frac{\pi R_0}{\beta}} \frac{e^{-j\beta r}}{4\pi r} \left(\frac{1 + \cos\theta}{2} \right) \left[\frac{\sin\left(\frac{\beta b}{2} \sin\theta \sin\varphi\right)}{\frac{\beta b}{2} \sin\theta \sin\varphi} \right] I(\theta, \varphi) (\hat{\theta} \sin\varphi + \hat{\varphi} \cos\varphi) \quad (3.16)$$

เมื่อต้องการทราบแบบรูปแอมพลิจูดของสนามไฟฟ้าที่เกิดจากสายอากาศปากแตรแบบเซกเตอร์ระนาบสนามแม่เหล็ก จะสามารถหาได้จาก

$$|\vec{E}| = \left(\frac{1 + \cos \theta}{2} \right) \left[\frac{\sin \left(\frac{\beta b}{2} \sin \theta \sin \varphi \right)}{\frac{\beta b}{2} \sin \theta \sin \varphi} \right] I(\theta, \varphi) \quad (3.17)$$

3.2.1 แบบรูปการแผ่พลังงานในระนาบหลัก

สำหรับแบบรูปการแผ่พลังงานในระนาบหลักนั้น จะแสดงเฉพาะในระนาบสนามไฟฟ้าและระนาบสนามแม่เหล็ก แสดงดังรูปที่ 3.3 ซึ่งสามารถแสดงได้ในรูปของสมการต่อไปนี้

ระนาบสนามไฟฟ้า ($\varphi = 90^\circ$)

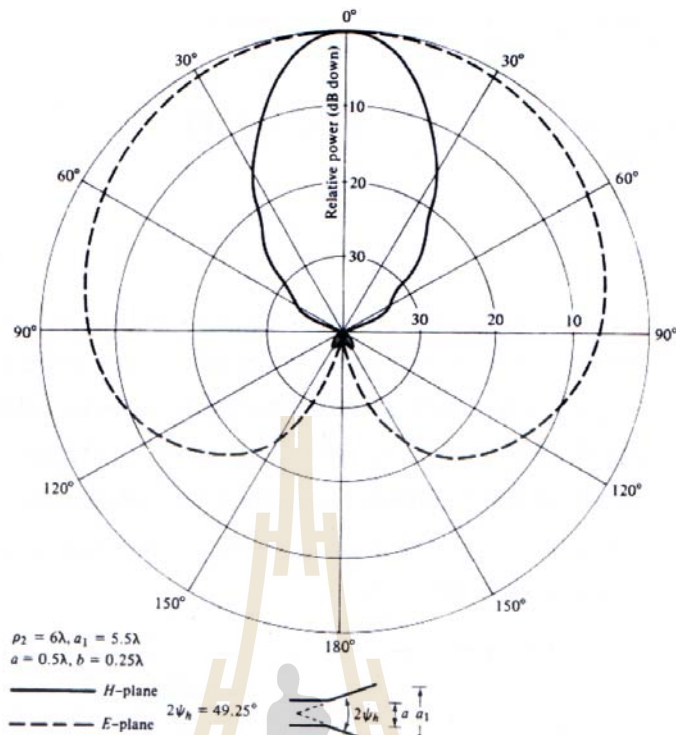
$$F_E(\theta) = \left(\frac{1 + \cos \theta}{2} \right) \left[\frac{\sin \left(\frac{\beta b}{2} \sin \theta \sin \varphi \right)}{\frac{\beta b}{2} \sin \theta \sin \varphi} \right] \quad (3.18)$$

ระนาบสนามแม่เหล็ก ($\varphi = 0^\circ$)

$$F_H(\theta) = \frac{1 + \cos \theta}{2} \times f_H(\theta) = \frac{1 + \cos \theta}{2} \times \frac{I(\theta, \varphi = 0^\circ)}{I(\theta = 0^\circ, \varphi = 0^\circ)} \quad (3.19)$$

เทอมอินทิกรัลของ $I(\theta, \varphi)$ ที่อยู่ในสมการ (3.19) นี้ จะเป็นเทอมที่ได้จากการประมาณซึ่งเป็นผลที่ต่อเนื่องจากการประมาณค่าเฟสจากสมการ (3.7) โดยค่าที่แน่นอนตรงของเทอม $f_H(\theta)$ ในสมการเดียวกันนี้ จะสามารถหาได้โดยการอินทิเกรตเชิงตัวเลขของสนามที่กำหนดไว้ในสมการ (3.13) นั่นคือ

$$f_H(\theta) = \int_{-A/2}^{+A/2} \cos \left(\frac{\pi x'}{A} \right) e^{j\beta \sqrt{R_0^2 + x'^2}} e^{j(\beta \sin \theta)x'} dx' \quad (3.20)$$



รูปที่ 3.3 แบบรูปการแผ่พลังงานของสายอากาศปากแตรแบบเซกเตอร์ระนาบสนามแม่เหล็ก

3.2.2 สภาพเจาะจงทิศทาง

การหาผลเฉลยของสภาพเจาะจงทิศทางของสายอากาศปากแตรแบบเซกเตอร์ระนาบสนามแม่เหล็กสามารถกระทำได้ โดยใช้สมการทั่วไปซึ่งใช้สำหรับสายอากาศแบบอะเพอร์เจอร์นั้นคือ

$$D_0 = \frac{4\pi \left| \int_{S_A} \vec{E}_a ds' \right|^2}{\lambda^2 \iint_{S_A} |E_a|^2 ds'} \tag{3.21}$$

จากสมการ (3.21) เทอมอินทิกรัลที่เป็นตัวหารจะมีค่าเป็นสัดส่วนกับกำลังรวมที่แผ่ออกไป ซึ่งแสดงได้ด้วยสมการ (3.22)

$$2\eta\Pi_{rad} = \iint_{S_A} |\vec{E}_a|^2 ds' = \int_{-b/2-A/2}^{+b/2+A/2} \int |E_0|^2 \cos^2\left(\frac{\pi}{A}x'\right) dx' dy' = |E_0|^2 \frac{Ab}{2} \tag{3.22}$$

สำหรับผลเฉลยในส่วนที่เป็นตัวตั้งของสมการ (3.21) นั้น สนามจะถูกแทนด้วย เฟสที่ได้จากการประมาณค่าในสมการ (3.8) สุดท้ายจึงได้ผลเฉลยของสภาพเจาะจงทิศทางของ สายอากาศแบบนี้ในรูปของสมการ

$$D_H = \frac{b}{\lambda} \frac{32}{\pi} \left(\frac{A}{\lambda} \right) \varepsilon_{ph}^H = \frac{4A}{\lambda^2} \varepsilon_t \varepsilon_{ph}^H (Ab) \quad (3.23)$$

โดยที่

$$\varepsilon_t = \frac{8}{\pi^2}, t = \frac{1}{8} \left(\frac{A}{\lambda} \right)^2 \frac{1}{R_0 / \lambda}$$

$$\varepsilon_{ph}^H = \frac{\pi^2}{64t} \left\{ [C(p_1) - C(p_2)]^2 + [S(p_1) - S(p_2)]^2 \right\}$$

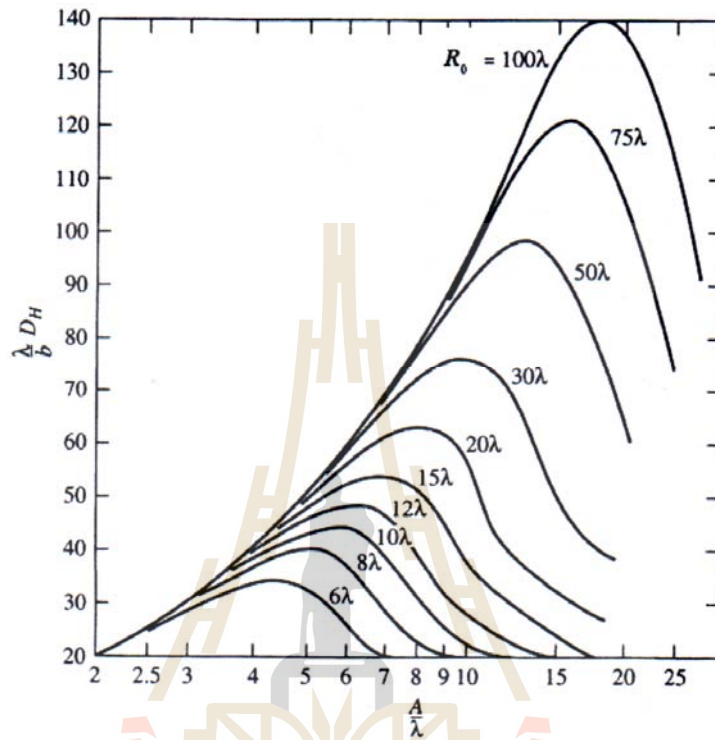
$$p_1 = 2\sqrt{t} \left[1 + \frac{1}{8t} \right], \quad p_2 = 2\sqrt{t} \left[-1 + \frac{1}{8t} \right]$$

จะเห็นได้ว่าประสิทธิภาพอะเพอร์เจอร์ ของสายอากาศ ซึ่งแสดงด้วยเทอมของ ε_t นั้นจะเกิดจากการเรียวของอะเพอร์เจอร์ ส่วนประสิทธิภาพอะเพอร์เจอร์ซึ่งแสดงด้วยเทอม ε_{ph}^H จะเกิดจากการแ่งรูปของเฟสซึ่งเกิดขึ้นที่อะเพอร์เจอร์ และเมื่อนำค่าสภาพเจาะจงทิศทางของ สายอากาศปากแตรแบบเซกเตอร์ ระนาบสนามแม่เหล็กมาพล็อตเป็นกราฟ โดยกำหนดให้ระยะตามแนวแกน R_0 มีขนาดที่แตกต่างกัน ก็จะได้ผลลัพธ์ในรูปของกราฟดังแสดง ในรูปที่ 3.4 ซึ่งเห็นได้ชัดเจนว่าระยะดังกล่าวนี้จะเป็นตัวกำหนดขนาดความกว้าง A ของ อะเพอร์เจอร์ และหากอะเพอร์เจอร์มีขนาดใหญ่ขึ้นจะทำให้สภาพเจาะจงทิศทางของสายอากาศมีค่า สูงขึ้นด้วยจากรูปที่ 3.4 สังเกตว่าการที่สภาพเจาะจงทิศทางมีค่าสูงสุดนั้น ตัวแปรหลักที่สำคัญ คือ ความสัมพันธ์ระหว่างความกว้างของปากแตร (A) และระยะห่างจากจุดกึ่งกลางของท่อนำคลื่นไป ถึงปลายอะเพอร์เจอร์ของปากแตร (R_0) ซึ่งแสดงไว้ด้วยสมการ

$$A = \sqrt{3\lambda R_0} \quad (3.24)$$

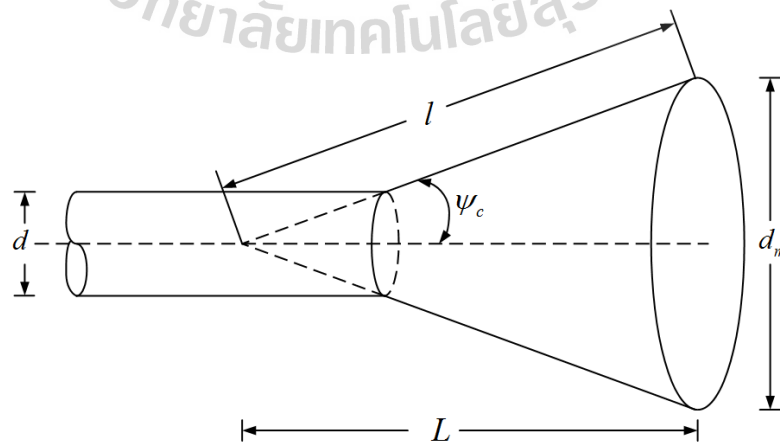
หรือ

$$\frac{A}{\lambda} = \sqrt{3 \frac{R_0}{\lambda}} \tag{3.25}$$

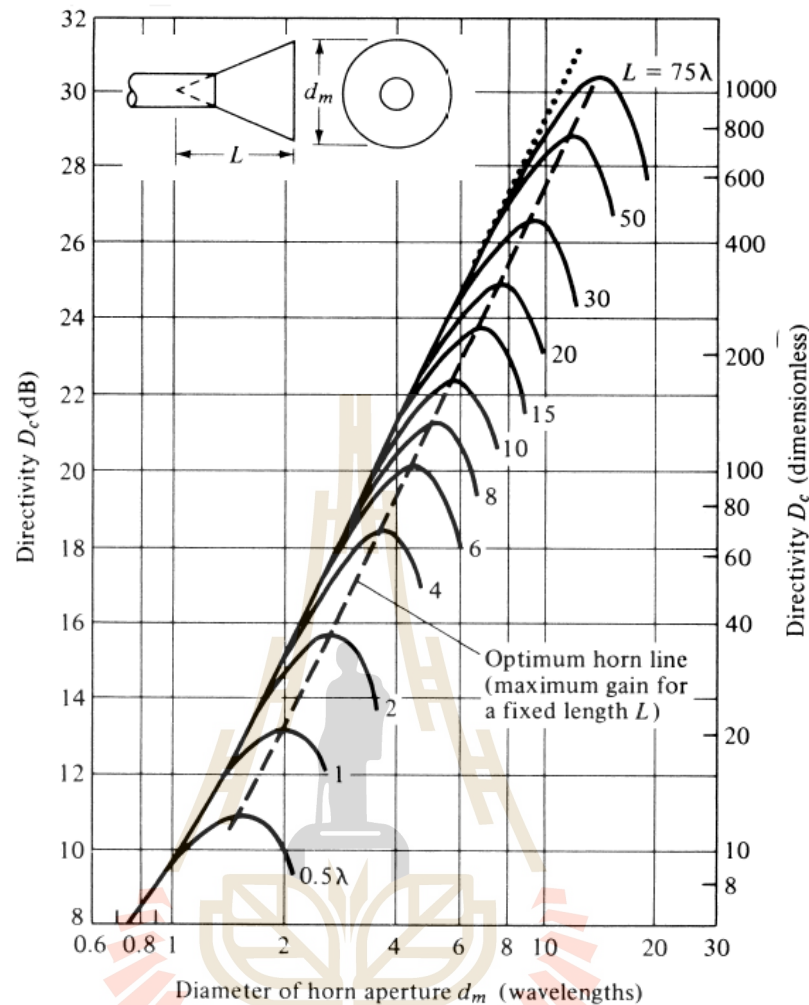


รูปที่ 3.4 กราฟแสดงสภาพเจาะจงทิศทางของสายอากาศปากแตรแบบเซกเตอร์ ในระนาบสนามแม่เหล็กซึ่งมีระยะของ R_0 แตกต่างกัน

3.3 สายอากาศปากแตรรูปกรวย (Conical Horn Antenna)



รูปที่ 3.5 ลักษณะของสายอากาศปากแตรรูปกรวย



รูปที่ 3.6 กราฟแสดงการคำนวณอัตราขยายของสายอากาศปากแตรรูปกรวย โดยแสดงความสัมพันธ์ระหว่างขนาดของปากอะเพอร์เจอร์และความยาวของสายอากาศปากแตรรูปกรวย (King, 1950)

สายอากาศปากแตรรูปกรวย (Conical Horn Antenna) เป็นสายอากาศปากแตรอีกชนิดหนึ่ง ที่ได้รับความนิยมในการนำมาใช้งานอย่างมากในย่านความถี่ไมโครเวฟ สายอากาศปากแตรรูปกรวยมีจุดเด่นคล้ายกันกับสายอากาศปากแตรรูปสี่เหลี่ยมมุมฉาก (Rectangular Horn Antenna) โดยปกติสายอากาศปากแตรรูปกรวยนิยมกระตุ้นโดยท่อนำคลื่นทรงกระบอก (Cylindrical Waveguide) ดังแสดงในรูปที่ 3.1 ซึ่งจะทำงานในโหมด TE_{11} และนอกจากนี้ยังสามารถต่อร่วมกับท่อนำคลื่นรูปสี่เหลี่ยมมุมฉาก (Rectangular Waveguide) ซึ่งจะทำงานในโหมด TE_{10} ซึ่งการต่อร่วมกับท่อนำคลื่นทั้งสองแบบนี้จะให้ประสิทธิภาพที่เหมือนกัน โหมดการทำงานของสายอากาศปากแตรสามารถแสดงให้เห็นได้อย่างชัดเจนในการรวมกันระหว่างฟังก์ชันแฮนเกลทรงกลม (spherical

Hankel) และฟังก์ชันเลอจองด์ (Legendre function) ในการประยุกต์ใช้งานของทฤษฎีการเลี้ยวเบนของเวกเตอร์ (Vector diffraction Theory) ซึ่งความเป็นไปได้แต่จะมีความยุ่งยากซับซ้อนในการแก้ปัญหาหากพิจารณาในรูปแบบของสนามจะเป็นวิธีที่ง่ายและไม่ซับซ้อน

ในการออกแบบสายอากาศปากแตรรูปกรวยเป็นที่ทราบกันว่าอัตราขยายของสายอากาศปากแตรจะเปลี่ยนแปลงตามขนาดของแกนความยาวและขนาดเส้นผ่านศูนย์กลางปากอะเพอร์เจอร์ของสายอากาศปากแตร ซึ่งอัตราขยายของสายอากาศปากแตรรูปกรวยสามารถแสดงด้วยเส้นกราฟความสัมพันธ์ระหว่างแกนความยาวกับขนาดของเส้นผ่านศูนย์กลางปากอะเพอร์เจอร์ของสายอากาศปากแตรรูปกรวยดังแสดงในรูปที่ 3.5 จากกราฟจะเห็นได้ว่าเมื่อทำการเพิ่มขนาดของสายอากาศจะมีค่าพารามิเตอร์ที่จะทำให้สายอากาศปากแตรรูปกรวยให้อัตราขยายสูงสุดและเมื่อทำการเพิ่มขนาดออกไปจะทำให้อัตราขยายลดลง

สำหรับสายอากาศปากแตรรูปกรวยเราไม่สามารถควบคุมความกว้างแถบความถี่ในระนาบหลักได้อย่างอิสระ ท่อนำคลื่นทรงกลมสามารถรองรับในแนวแกนสนามไฟฟ้าใดๆ ได้ขึ้นอยู่กับความต้องการ โพลลาไรเซชันภายในสายอากาศปากแตรในการวิเคราะห์ขนาดอะเพอร์เจอร์ของสายอากาศปากแตรรูปกรวยเราใช้วิธีการที่คล้ายกับสายอากาศปากแตรสี่เหลี่ยมมุมฉาก กรวยของสายอากาศปากแตรไปยังจุดป้อนของท่อนำคลื่นเฟสที่อะเพอร์เจอร์มีค่าประมาณสมการกำลังสองโดยสมการสนามของท่อนำคลื่นคือ

$$E_\rho = \frac{E_0}{\rho} J_1' \left(\frac{\chi'_{11} \rho}{a} \right) \cos \phi_c \quad (3.26ก)$$

$$E_{\phi_c} = -\frac{E_0 \chi'_{11}}{a} J_1' \left(\frac{\chi'_{11} \rho}{a} \right) \sin \phi_c \quad (3.26ข)$$

| | | |
|--------|--------------|---|
| โดยที่ | J_1' | คือฟังก์ชันเบสเซล (Bessel function) |
| | χ'_{11} | คือความสัมพันธ์ของฟังก์ชันเบสเซลของโหนดในท่อนำคลื่น |
| | ρ | คือองค์ประกอบการแพร่กระจายในท่อนำคลื่น |
| | a | คือรัศมีท่อนำคลื่น |
| | ϕ_c | คือพิสัยทรงกระบอก |

จากสมการ (3.26) มีสนามไฟฟ้าสูงสุดในทิศทางตามระนาบ $\phi_c = 0$ เราเพิ่มตัวประกอบกำลังสองของเฟสในสมการ(3.26)และคำนวณฟูเรียร์ทรานฟอร์มในอะเพอร์เจอร์ทรงกลมเพื่อ

ตรวจสอบสนามระยะไกล ทิศทางของสนามไฟฟ้าจะเปลี่ยนไปจากจุดต่อจุดภายในอะเปอร์เจอร์ สำหรับการกำหนดทิศทาง (θ, ϕ_c) จะแสดงสนามที่เกิดขึ้นภายในอะเปอร์เจอร์บนทิศทาง θ และ ϕ_c ก่อนที่จะมารวมกันทั้งหมดที่อะเปอร์เจอร์ดังสมการ(3.27) และสมการ(3.28)

$$E_\theta = E_0 \int_0^{2\pi} \int_0^a \left[\frac{J_1(\chi'_{11} \rho/a)}{\rho} \cos \phi_c \frac{\hat{\theta} \cdot \hat{\rho}}{\cos \theta} - \frac{\chi'_{11}}{a} J_1' \left(\frac{\chi'_{11} \rho}{a} \right) \sin \phi_c \frac{\hat{\theta} \cdot \hat{\phi}_c}{\cos \theta} \right] \times \rho \exp \left\{ j \left[k_\rho \sin \theta \cos(\phi - \phi_c) - 2\pi S \left(\frac{\rho}{a} \right)^2 \right] \right\} d\rho d\phi_c \quad (3.27)$$

$$E_\phi = E_0 \int_0^{2\pi} \int_0^a \left[\frac{J_1(\chi'_{11} \rho/a)}{\rho} \cos \phi_c \frac{\hat{\theta} \cdot \hat{\rho}}{\cos \theta} - \frac{\chi'_{11}}{a} J_1' \left(\frac{\chi'_{11} \rho}{a} \right) \sin \phi_c \frac{\hat{\theta} \cdot \hat{\phi}_c}{\cos \theta} \right] \times \rho \exp \left\{ j \left[k_\rho \sin \theta \cos(\phi - \phi_c) - 2\pi S \left(\frac{\rho}{a} \right)^2 \right] \right\} d\rho d\phi_c \quad (3.28)$$

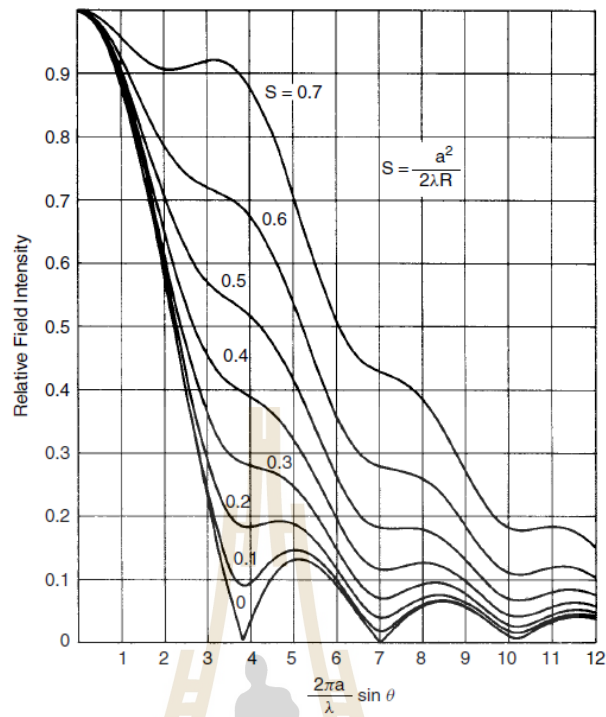
$$\hat{\theta} \cdot \hat{\rho} = \cos \theta (\cos \phi \cos \phi_c + \sin \phi \sin \phi_c)$$

$$\hat{\theta} \cdot \hat{\phi}_c = \cos \theta (\sin \phi \cos \phi_c - \cos \phi \sin \phi_c)$$

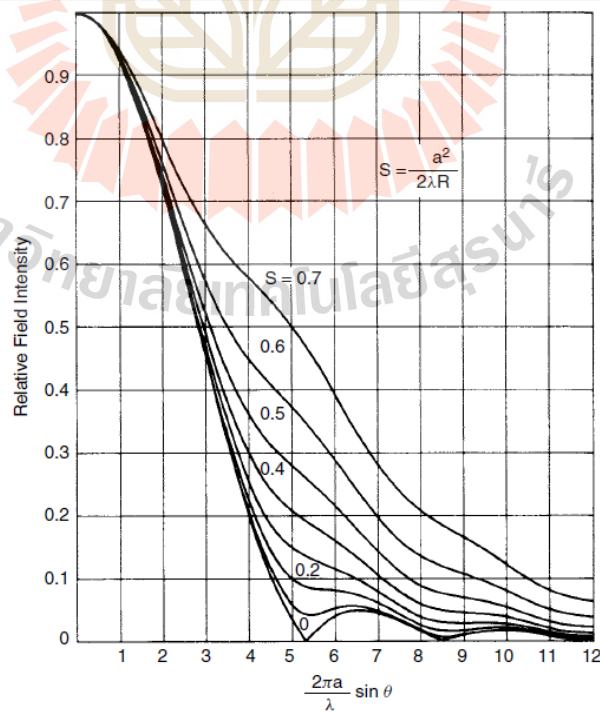
$$\hat{\phi} \cdot \hat{\rho} = \cos \phi \sin \phi_c - \sin \phi \cos \phi_c$$

$$\hat{\phi} \cdot \hat{\phi}_c = \cos \phi \cos \phi_c + \sin \phi \sin \phi_c$$

จากการเปลี่ยนค่าตัวแปรที่เหมาะสมในปริพันธ์แบบรูปการแผ่กำลังมาตรฐานสามารถสร้างระนาบสนามไฟฟ้าและสนามแม่เหล็กดังรูปที่ 3.7 และ 3.8 จาก S ที่เท่ากันในระนาบทั้งสองมีความสัมพันธ์กันระหว่างเส้นกราฟร่วมกัน เราจึงสามารถคำนวณแบบรูปการแผ่พลังงานเพียงไม่กี่จุดสำหรับกราฟเส้นโค้งที่ได้



รูปที่ 3.7 กราฟแสดงแบบรูปการแผ่พลังงานในระนาบสนามไฟฟ้า
(ภาพจาก Thomas: Modern Antenna Design)



รูปที่ 3.8 กราฟแสดงแบบรูปการแผ่พลังงานในระนาบสนามแม่เหล็ก
(ภาพจาก Thomas: Modern Antenna Design)

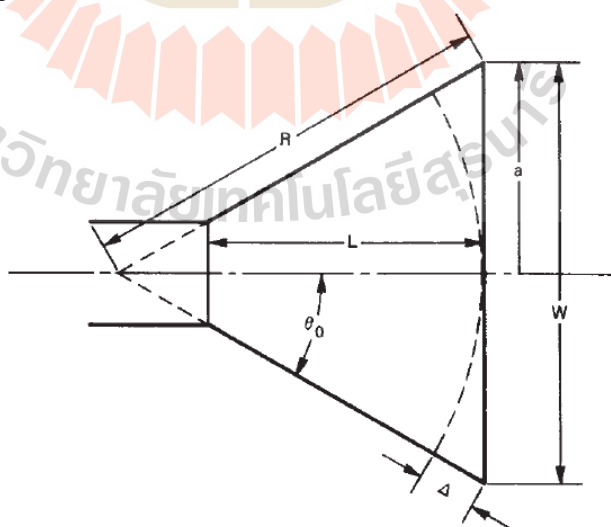
3.3.1 จุดศูนย์กลางเฟส (Phase Center)

การให้นิยามของจุดศูนย์กลางเฟส(phase center)คือจุดที่สายอากาศมีแบบรูปการการแผ่พลังงานเป็นทรงกลม (spherical wave) โดยในการวัดจะเห็นได้ว่าจุดศูนย์กลางเฟสนั้นมักจะเป็นจุดที่เป็นจุดเฉพาะในแต่ละระนาบ ซึ่งโดยทั่วไปแล้วจุดศูนย์กลางเฟสในระนาบสนามไฟฟ้าและระนาบสนามแม่เหล็ก โดยปกติแล้วจุดศูนย์กลางเฟสในการแพร่กระจายมักจะอยู่หลังอะเพอร์เจอร์ของสายอากาศปากแตรหรือภายในสายอากาศปากแตรในกรณีที่ไม่มีการบิดพลาดของเฟสการแพร่กระจาย($S=0$)จุดศูนย์กลางเฟสจะอยู่ที่แนวระนาบปากอะเพอร์เจอร์

Muehldorf ได้อธิบายจุดศูนย์กลางเฟสภายในสายอากาศปากแตรรูปกรวยแสดงในรูปแบบฟังก์ชันของสมการกำลังสองเฟสการแพร่กระจาย(quadratic phase destitution) หรือฟังก์ชัน S ซึ่งแสดงการหาค่าฟังก์ชัน S ดังสมการ (3.29) และ (3.30) โดยสรุปค่าฟังก์ชัน S ดังตารางที่ 3.1 ซึ่งแสดงค่าจุดศูนย์กลางเฟสตามอัตราส่วนของรัศมีมุมเอียงของกรวย ซึ่งเมื่อค่า S มีค่าเพิ่มสูงขึ้นจุดศูนย์กลางเฟสก็จะเลื่อนออกไปทิศทางปากอะเพอร์เจอร์และความแตกต่างจุดศูนย์กลางเฟสระหว่างในระนาบสนามไฟฟ้าและสนามแม่เหล็กก็จะเพิ่มขึ้นตาม

$$S = \frac{\Delta}{\lambda} = \frac{W^2}{8\lambda R} \quad (3.29)$$

$$S = \frac{\Delta}{\lambda} = \frac{a^2}{2\lambda R} \quad (3.30)$$



รูปที่ 3.9 โครงสร้างสายอากาศปากแตรรูปกรวยแนวตัดขวาง

(ภาพจาก Thomas: Modern Antenna Design)

ตาราง 3.1 จุดศูนย์กลางเฟสของสายอากาศปากแตรรูปกรวยภายใต้โหมด TE_{11} สำหรับอัตราส่วนรัศมีมุมเอียงของปากแตร

| S | H-Plane L_{ph}/R_h | E-Plane L_{ph}/R_e | S | H-Plane L_{ph}/R_h | E-Plane L_{ph}/R_e |
|------|-------------------------|-------------------------|------|-------------------------|-------------------------|
| 0.00 | 0.0 | 0.0 | 0.28 | 0.235 | 0.603 |
| 0.04 | 0.0046 | 0.012 | 0.32 | 0.310 | 0.782 |
| 0.08 | 0.018 | 0.048 | 0.36 | 0.397 | 0.801 |
| 0.12 | 0.042 | 0.109 | 0.40 | 0.496 | 0.809 |
| 0.16 | 0.075 | 0.194 | 0.44 | 0.604 | 0.832 |
| 0.20 | 0.117 | 0.305 | 0.48 | 0.715 | 0.872 |
| 0.24 | 0.171 | 0.416 | | | |

3.4 อภิวัดสุ(Metamaterial)

อภิวัดสุหรือวัดสุเมธาเริ่มได้รับความสนใจจากนักวิจัยและนักวิทยาศาสตร์เป็นอย่างมากในช่วงหลายปีที่ผ่านมาจากคุณสมบัติของอภิวัดสุคือ วัดสุที่มีคุณสมบัติพิเศษที่ไม่ปรากฏตามธรรมชาติโดยได้ถูกนิยามไว้ว่าเป็นวัดสุเชิงวิศวกรรมที่มีคุณสมบัติที่ไม่ปรากฏตามธรรมชาติ โดยการเกิดคุณสมบัติดังกล่าวนี้เกิดจากโครงสร้างมากกว่าการจัดเรียง จากการผนวกรวมกันของวัดสุขนาดเล็กซึ่งตามปกติวัดสุที่ถูกจัดเรียงเพื่อทำการผนวกรวมกันนั้นจะมีขนาดที่เล็กกว่าความยาวคลื่นมากๆ ที่มีคุณสมบัติไม่เหมือนกันเพื่อทำให้เกิดคุณสมบัติประสิทธิผลในระดับมาโครโดยคุณสมบัติอภิวัดสุนั้นถูกนำมาใช้ในการชดเชยข้อจำกัดของวัดสุตามธรรมชาติ นักวิทยาศาสตร์และนักวิจัยจึงให้ความสนใจนำคุณสมบัติดังกล่าวมาทำการออกแบบวิจัยพัฒนาสิ่งประดิษฐ์และนวัตกรรมใหม่ๆ ขึ้นตามมา (ศราวุธและประยูทธ,2011)ซึ่งโดยทั่วไปนั้นอภิวัดสุนี้จะถูกกำหนดคุณสมบัติจากโครงสร้างที่ได้จากการออกแบบและสร้างขึ้นเพื่อให้เกิดคุณสมบัติตามที่ต้องการ โดยคุณสมบัติดังกล่าวนี้จะไม่อยู่ในวัดสุที่มีอยู่ในธรรมชาติ หากทำการพิจารณาอภิวัดสุในระดับไมโครจะเห็นความไม่สม่ำเสมอของวัดสุอยู่ ซึ่งจากคุณสมบัติดังกล่าวนี้มันจะถูกแสดงด้วยคุณสมบัติประสิทธิผลของการตอบสนองในระดับมหภาค (effective macroscopic behavior)

ในการศึกษาวิจัยเกี่ยวกับอภิวัดสุในยุคแรกๆ เริ่มต้นจากการศึกษาคุณสมบัติของวัดสุที่มีดัชนีการหักเหเป็นลบ (negative reflection index)เพื่อนำไปประยุกต์ใช้ในการเพิ่มความละเอียดของรูปภาพซึ่งถูกนำมาออกแบบและสร้างซูเปอร์เลนส์ (super lens)ซึ่งจากการนำคุณสมบัติดังกล่าวพบว่าสามารถทำการขยายภาพโดยภาพที่ได้มีความละเอียดสูงขึ้นจากการที่ใช้เลนส์ปกติทั่วไป

ต่อจากนั้นไม่นานได้มีการนำคุณสมบัติของอภิวัดออกมาออกแบบและพัฒนาสำหรับใช้งานเกี่ยวกับคลื่นแม่เหล็กไฟฟ้า (electromagnetic wave) อีกทั้งยังมีการนำไปพัฒนาวิจัยเกี่ยวกับทางด้านคลื่นเสียง (acoustic) และงานทางด้านคลื่นปฐพี (seismic) อีกด้วยอภิวัดนั้นถือได้ว่าเป็นเป็นเทคโนโลยีที่สามารถนำไปวิจัยพัฒนาและประยุกต์ใช้กับงานหลายด้าน เช่น งานทางด้านวิศวกรรมไฟฟ้า วิศวกรรมไมโครเวฟ วิศวกรรมสายอากาศ วิศวกรรมสารกึ่งตัวนำ วิศวกรรมออปโตอิเล็กทรอนิกส์ ฟิสิกส์ของแข็ง วัสดุศาสตร์ วิทยาศาสตร์นาโน และอื่นๆ อีกมากมาย

เป็นที่ทราบกันว่าตัวกลางที่มีผลต่อคลื่นแม่เหล็กไฟฟ้าเกิดจากการผนวกตัวของ การเหนี่ยวนำของโมเมนต์ทางไฟฟ้าและสนามแม่เหล็ก (electric and magnetic moment) ซึ่งผลกระทบระดับมาโครจะอยู่ในรูปของค่าสภาพยอมทางไฟฟ้า (effective permittivity : ϵ) และความซึมซาบแม่เหล็กประสิทธิผล (permeability : μ) ของตัวกลางขนาดใหญ่ (bulk medium) ดังนั้นอภิวัดก็อาจจะเกิดจากการประกอบรวมกันของวัสดุประดิษฐ์หลายชนิดฝังตัวเข้าไปยังในตัวกลางหรือผิวของตัวกลางที่ผู้ออกแบบเป็นผู้กำหนดค่าพารามิเตอร์ต่างๆ ได้อย่างอิสระ เช่น คุณสมบัติต่างๆ ของตัวกลาง รูปร่าง ขนาด การจัดวางตำแหน่ง และอื่นๆ เพื่อให้ได้ผลได้ผลตอบสนองพิเศษทางแม่เหล็กไฟฟ้า

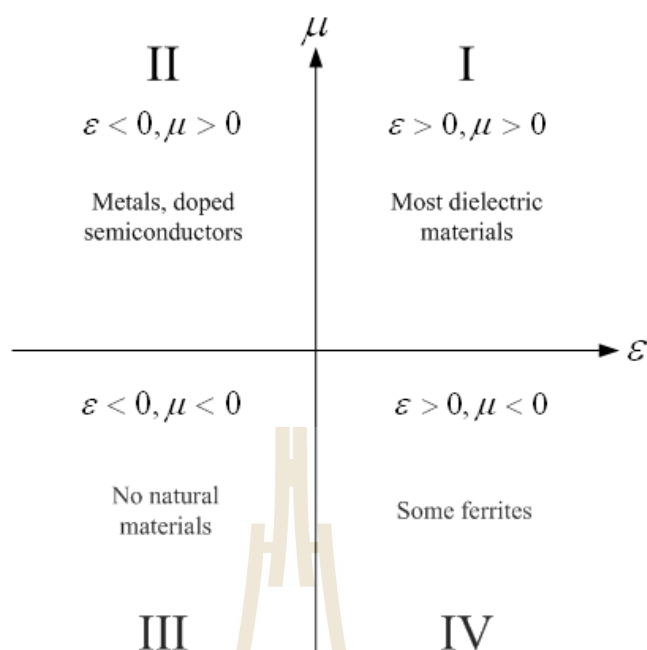
เริ่มแรกในการวิจัยเกี่ยวกับอภิวัดผู้วิจัยส่วนใหญ่มุ่งเน้นความสนใจไปยังวัสดุที่มีดัชนีหักเหเป็นลบซึ่งจะทำให้เกิดค่าค่าสภาพยอมทางไฟฟ้าและค่าความซึมซาบแม่เหล็กเป็นลบทั้งคู่ ($\epsilon < 0$ และ $\mu < 0$) ซึ่งวัสดุชนิดนี้จะเรียกว่า Double Negative Medium (DNG) เนื่องจากวัสดุ DNG มีคุณสมบัติตรงข้ามกับวัสดุส่วนใหญ่ที่มีอยู่ในธรรมชาติคือ มีค่าสภาพยอมทางไฟฟ้าและค่าความซึมซาบแม่เหล็กเป็นบวกทั้งคู่ ($\epsilon > 0$ และ $\mu > 0$) หรือเรียกว่า Double Positive Medium (DPS) ในปี ค.ศ. 1968 แนวคิดเกี่ยวกับวัสดุเชิงซ้อนที่มีค่าสภาพยอมทางไฟฟ้าและค่าความซึมซาบแม่เหล็กเป็นลบทั้งคู่ได้รับความสนใจเป็นอย่างมากโดย Veselgo ได้ตั้งสมมติฐานและหาคำตอบเชิงทฤษฎีว่าเมื่อคลื่นระนาบเดินทางเข้าไปยังตัวกลางที่มีค่าสภาพยอมทางไฟฟ้าและค่าความซึมซาบแม่เหล็กเป็นลบทั้งคู่จะเกิดผลอย่างไรจากผลการศึกษาเขาพบว่าทิศทางของพอยน์ติงเวกเตอร์ (pointing vector) จะขนานกับทิศทางของความเร็วเฟส (phase velocity) แต่มีทิศทางตรงกันข้ามกัน (anti-parallel) ซึ่งเมื่อทำการพิจารณาในกรณีที่คลื่นเคลื่อนที่ในตัวกลาง DPS เมื่อพิจารณาคลื่นระนาบเดียวกันพบว่าทิศทางของพอยน์ติงเวกเตอร์ที่เกิดขึ้นจะขนานกันและมีทิศทางเดียวกันกับความเร็วเฟส ในกรณีที่อภิวัดที่มีค่าสภาพยอมทางไฟฟ้าและค่าความซึมซาบแม่เหล็กเป็นลบทั้งคู่ นั้นได้มีการเรียกชื่อหลายชื่อ เช่น DNG มาจากค่าสภาพยอมทางไฟฟ้าและค่าซึมซาบเป็นลบทั้งคู่ อีกชื่อหนึ่งคือ Negative Refractive Index (NRI) มาจากคุณสมบัติของวัสดุที่มีมุมหักเหเป็นลบ (left handed medium: LHM) ซึ่งโดยปกติทั่วไปของวัสดุจะพิจารณาโดยใช้กฎมือขวาของปริมาณเวกเตอร์สามตัว

คือสนามไฟฟ้า (E) สนามแม่เหล็ก (H) และทิศทางของการเคลื่อนที่ (k) แต่ในทางตรงกันข้ามอภิวัด จะมีการพิจารณาปริมาณเวกเตอร์โดยใช้กฎมือซ้าย (backward wave: BW) ซึ่งมาจากนิยามของ Veselago เพราะทิศทางของการเคลื่อนที่ของคลื่นนั้นเกิดขึ้นตรงกันข้ามกับทิศทางของพอยน์ติงเวกเตอร์ และ Negative Phase Velocity (NPV) เกิดขึ้นจากคุณสมบัติของคลื่นเมื่อเดินทางผ่านอภิวัดแล้วจะทำให้เวกเตอร์เฟสที่เกิดขึ้นมีค่าเป็นลบนอกจากนี้ในช่วงความถี่ใดๆ เมื่อคลื่นเดินทางผ่านวัสดุบางชนิดอาจทำให้คุณสมบัติของวัสดุมีค่าสภาพยอมทางไฟฟ้าหรือค่าซึมซาบแม่เหล็กมีค่าเป็นลบ ซึ่งในกรณีดังกล่าวนี้จะเรียกว่า single negative medium (SNG) โดยถ้าในกรณีที่วัสดุมีค่าสภาพยอมทางไฟฟ้าเป็นลบเพียงอย่างเดียวจะเรียกว่า epsilon negative medium (ENG) และในกรณีที่ค่าซึมซาบแม่เหล็กเป็นลบอย่างเดียวเรียกว่า mu negative medium (MNG)

นอกจากนี้คุณสมบัติของอภิวัดที่ได้รับความสนใจเป็นอย่างมากอีกประเภทหนึ่งคือ กรณีที่อภิวัดนั้นมีค่าดัชนีหักเหมีค่าเท่ากับศูนย์ (zero refractive index: ZRI) หรือมีค่าเข้าใกล้ศูนย์ (near zero refractive index: NZI) โดยจากคุณสมบัติดังกล่าวนี้สามารถเกิดขึ้นได้ทั้งหมด 3 กรณี ดังนี้

1. Epsilon Near Zero (ENZ) คือ วัสดุมีค่าสภาพยอมทางไฟฟ้าเท่ากับศูนย์ ($\epsilon = 0$) หรือมีค่าเข้าใกล้ศูนย์ ($\epsilon \rightarrow 0$) และค่าซึมซาบแม่เหล็กมีค่ามากกว่าหรือเท่ากับหนึ่ง ($\mu \geq 1$)
2. Mu Near Zero (MNZ) คือ วัสดุมีค่าซึมซาบแม่เหล็กเท่ากับศูนย์ ($\mu = 0$) หรือมีค่าเข้าใกล้ศูนย์ ($\mu \rightarrow 0$) และมีค่าสภาพยอมทางไฟฟ้ามากกว่าหรือเท่ากับหนึ่ง ($\epsilon \geq 1$)
3. Mu-Epsilon Near Zero (MENZ) คือ วัสดุมีค่าสภาพยอมทางไฟฟ้าและค่าซึมซาบแม่เหล็กมีค่าเท่ากับศูนย์ ($\epsilon = \mu = 0$) หรือวัสดุมีค่าสภาพยอมทางไฟฟ้าและค่าซึมซาบแม่เหล็กมีค่าเข้าใกล้ศูนย์ ($\epsilon \rightarrow \mu \rightarrow 0$)

จากทั้งสามกรณีที่เกิดขึ้นนั้นจะมีค่าดัชนีหักเหเท่ากับศูนย์ ($n = 0$) หรือดัชนีหักเหเข้าใกล้ศูนย์ ($n \rightarrow 0$) เมื่อทำการพิจารณาในคุณสมบัติอื่นๆ จะพบว่ามีความแตกต่างกัน (สราวุธและประยูทธ, 2011) ดังนั้นสามารถแสดงคุณสมบัติของอภิวัดในกรณีต่างๆ ด้วยค่าพารามิเตอร์ของค่าสภาพยอมทางไฟฟ้าและค่าความซึมซาบแม่เหล็ก (ϵ และ μ) พารามิเตอร์ทั้งสองนี้สามารถนำมาแบ่งกลุ่มของวัสดุได้แสดงดังรูปที่ 3.10



รูปที่ 3.10 แผนผังสภาพยอมทางไฟฟ้าและค่าความซึมซาบแม่เหล็ก

3.5 ตัวกลางแบบเส้นลวด (Wire Medium)

ตัวกลางแบบเส้นลวด (wire medium) เป็นโครงสร้างที่มีคุณสมบัติทางด้านอภิวัดและเป็นชนิดของวัสดุช่องว่างแถบความถี่แม่เหล็กไฟฟ้า (Burghignoliet *al.*, 2008) ครอบคลุมเดียวกับ EBG แบบสามมิติแบบกึ่งพิน (Antonio *et al.*, 2013) โดยโครงสร้างของตัวกลางแบบเส้นลวดเกิดจากการจัดเรียงเส้นลวดขนาดเล็กลงกันเป็นชั้นๆ ฝังตัวลงในตัวกลางไดอิเล็กตริก ซึ่งตัวกลางแบบเส้นลวดนี้ได้มีการศึกษาตั้งแต่ปี 1950 ตัวกลางแบบเส้นลวดเป็นที่ทราบกันดีว่าเป็นโครงสร้างวัสดุที่ถูกออกแบบมาใช้ในย่านความถี่พลาสมา (plasma frequency) และมีคุณสมบัติที่ทำให้เกิดค่ามีค่าสภาพยอมทางไฟฟ้าหรือค่าซึมซาบแม่เหล็กมีค่าเข้าใกล้ศูนย์ (Foratiet *al.*, 2008) การนำตัวกลางแบบเส้นลวดมาใช้ในการเพิ่มประสิทธิภาพสายอากาศนั้นได้ถูกนำเสนอโดย Tomaz และคณะ (2013) ซึ่งนำสื่อตัวกลางแบบเส้นลวดมาทำการปรับปรุงแบบรูปการแผ่พลังงานของสายอากาศปากแตร โดยทำการออกแบบสื่อตัวกลางแบบเส้นลวดที่ประกอบด้วยจำนวนชั้นของเส้นลวดที่วางเรียงกันจำนวนห้าชั้น โดยเส้นลวดถูกวางฝังอยู่ในไดอิเล็กตริกสไตรโพรโยม โดยจากผลการทดสอบพบว่าสามารถทำให้สภาพเจาะงทศทางของสายอากาศเพิ่มสูงขึ้นและลดระดับของพู่ข้างลงแต่ในขณะเดียวกันนั้นพบว่าอัตราการขยายของสายอากาศมีค่าน้อยกว่าสายอากาศปากแตรแบบเดิมนอกจากนี้ Al-Nuaimi และคณะ (2014) ได้ทำการนำเสนอการพัฒนาสายอากาศปากแตรรูปโดยทำ

การลดขนาดความยาวของสายอากาศลงโดยที่ขนาดของปากอะเพอร์เจอร์ของสายอากาศยังคงมีขนาดเท่าเดิมเพื่อทำการปรับปรุงสภาพให้ได้สภาพเจาะงทศทางของสายอากาศปากแตรรูปกรวย โดยนำเทคนิคตัวกลางแบบเส้นลวดมาวางปิดปากอะเพอร์เจอร์สายอากาศปากแตรรูปกรวยจากการทดสอบพบว่าสภาพเจาะงทศทางของสายอากาศเพิ่มและอัตราการขยายของสายอากาศมีค่าใกล้เคียงกับสายอากาศแบบเดิมแต่สามารถลดขนาดของสายอากาศลงได้ครั้งหนึ่ง จากการศึกษาสามารถสรุปจุดเด่นของโครงสร้างตัวกลางแบบเส้นลวดสามารถจัดส่วนประกอบของกราวด์เพลนเพื่อป้องกันการแพร่กระจายของคลื่นผิว (surface waves) อีกทั้งโครงสร้างตัวกลางแบบเส้นลวดนั้นมีโครงสร้างที่ง่ายไม่ซับซ้อนและมีคุณสมบัติในการปรับปรุงประสิทธิภาพต่างๆ ของสายอากาศ เช่น เพิ่มสภาพเจาะงทศทางให้สูงขึ้น, เพิ่มอัตราการขยายสายอากาศ อีกทั้งยังเพิ่มประสิทธิภาพการแพร่กระจายคลื่นของสายอากาศ

ตัวกลางแบบเส้นลวดประกอบด้วยรูปทรงอยู่ 2 แบบคือ แบบ 2 มิติ และ 3 มิติ ดังแสดงในรูปที่ 3.11 สื่อตัวกลางแบบเส้นลวดได้รับการศึกษาอย่างกว้างขวางในงานด้านการออกแบบเลนส์ในย่านความถี่ไมโครเวฟและปฏิกิริยาการสังเคราะห์ของพื้นผิว สื่อตัวกลางแบบเส้นลวดโดยปกติจะอธิบายที่ความถี่ต่ำของวัสดุในแนวแกนเดียวซึ่งแสดงความสัมพันธ์สภาพยอมแบบดิยาดีคส์ (relative permittivity dyadic) โดยสามารถเขียนสมการดังนี้ (เส้นลวดวางตามแนวแกน z)

$$\epsilon = \epsilon_h (u_x u_x + u_y u_y) + \epsilon_z u_z u_z, \quad (3.31)$$

โดยที่

$$\epsilon_z = \epsilon_h \left(1 - \frac{\omega_p^2}{\omega^2 \epsilon_h} \right),$$

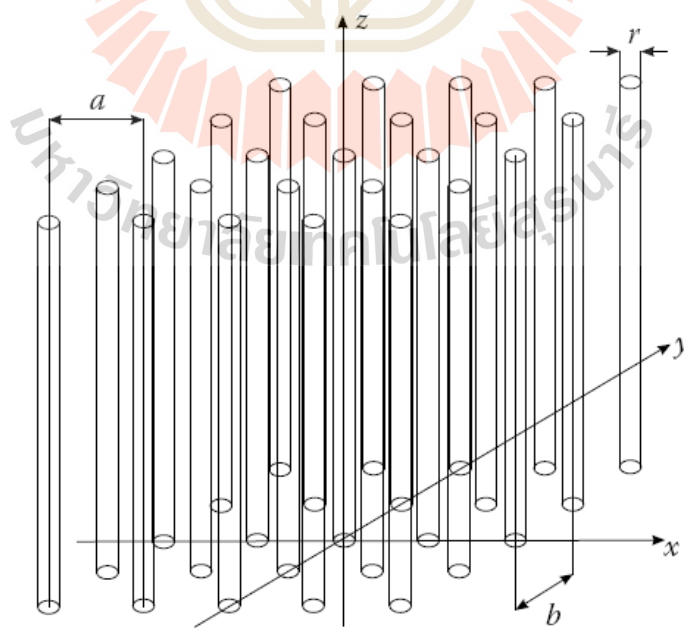
ในขณะที่

$$\epsilon_{WM} = \epsilon_0 \epsilon_{rh} \left(1 - \frac{k_p^2}{\epsilon_{rh} k_0^2 - k_y^2} \right) \quad (3.32)$$

เมื่อ ϵ_h คือสภาพยอมของโฮสต์ตัวกลาง (permittivity of the host medium), $k = \omega/c\sqrt{\epsilon_h} = k_o\sqrt{\epsilon_h}$, และ c คือความเร็วแสง (speed of light) ในส่วน ω_p หรือ k_p คือค่าที่อยู่ในรูปแบบหรือวงจรมุมล

ความถี่พลาสมา(plasma frequency) ซึ่งในบางครั้งตัวกลางแบบเส้นลวดก็ถูกเรียกว่าพลาสมาเทียม (artificial plasma)

ความสนใจในสื่อตัวกลางแบบเส้นลวดกลับมาได้รับความนิยมนิยามอีกครั้งในช่วงท้ายของ ทศวรรษที่ผ่านมาในการเชื่อมต่อกับวัสดุทางด้านวิศวกรรมที่มีพารามิเตอร์เชิงลบหรือบางครั้งเรียก วัสดุนี้ว่า DNG (Double Negative Medium) ซึ่งดัชนีหักเหเป็นลบจึงเกิดจากค่าสภาพยอมทางไฟฟ้า (ϵ) และค่าความซึมซาบแม่เหล็ก (μ) เป็นลบทั้งคู่ ($\epsilon < 0$ และ $\mu < 0$) วัสดุ DNG (Double Negative Medium) ได้ถูกนำเสนอโดย Smith และคณะ^๓ ได้อธิบายไว้ว่ามันประกอบด้วยแถบโลหะยาว(long metal strips)และแถบแม่เหล็กแบนรูปวงแหวนแยก (split-ring resonator) ในปัจจุบันนี้สื่อตัวกลาง แบบเส้นลวดถือได้ว่าเป็นวัสดุเทียมที่ถูกระบุว่าเป็น โครงสร้างวัสดุที่มีคุณสมบัติทางด้านอภิวัด สำหรับประยุกต์ใช้งานในงานด้านความถี่ไมโครเวฟและงานด้านความถี่แสง อย่างไรก็ตามในการ พิจารณาคุณสมบัติของสื่อตัวกลางแบบเส้นลวดยังคงเริ่มต้นด้วยสมการพื้นฐานคือ สมการDrude(สมการ 3.31)ซึ่งสมการดังกล่าวเป็นเพียงสมการเดียวที่ใช้ในการตรวจสอบการแพร่กระจายคลื่น เบื้องต้นของเส้นลวด อย่างไรก็ตามสมการดังกล่าวแสดงให้เห็นว่าถ้าคลื่นเวกเตอร์ตามความยาว เส้นลวดมีองค์ประกอบไม่เท่ากับศูนย์ (nonzero component) จะกล่าวได้ว่าไม่เป็นรูปแบบทาง กายภาพของพลาสมา ดังนั้นรูปแบบพลาสมาได้ถูกแก้ไขโดยการนำการพิจารณาในรูปแบบการ กระจายตัวเชิงพื้นที่(spatial dispersion) มาแทนที่ในสมการที่ 3.31



รูปที่3.11 โครงสร้างตัวกลางแบบเส้นลวด

3.5.1 ความถี่พลาสมาสำหรับตัวกลางแบบเส้นลวด

ความถี่พลาสมาที่มีความสอดคล้องกับความหนาแน่นอิเล็กตรอนดังสมการ 3.33

$$\omega_p^2 = \frac{ne^2}{\epsilon_0 m_{eff}}, \quad (3.33)$$

โดยที่ n คือความหนาแน่นของอิเล็กตรอน
 e คือการประจุของอิเล็กตรอน
 m_{eff} คือประสิทธิภาพของอิเล็กตรอน

โดยทั่วไปโลหะค่า ω_p มักจะอยู่ในช่วงความถี่อัลตราไวโอเลต ซึ่งเป็นเหตุผลต่อการลดความถี่พลาสมาในย่านความถี่ ไมโครเวฟที่ผ่านเส้นลวดขนาดเล็กกว้างเรียงกันในโครงสร้าง 2 มิติของสื่อตัวกลางแบบเส้นลวด จากนั้นจะเกิดการรวมของอิเล็กตรอนตามแนวยาวของเส้นลวดซึ่งความหนาแน่นการทำงานของอิเล็กตรอนจะได้

$$n_{eff} = n \frac{\pi r^2}{a^2}, \quad (3.34)$$

โดยที่ a คือระยะห่างระหว่างเส้นลวด และ r คือรัศมีของเส้นลวดจากสมการแสดงให้เห็นว่าในทางตรงกันข้ามกับกรณีของพลาสมาธรรมชาติ ซึ่งเป็นค่าแรงที่กระทำต่ออิเล็กตรอน แต่มีการทำงานกับส่วนที่เหลือของมวลอิเล็กตรอน โดยเกิดการเหนี่ยวนำบนของโครงสร้างของเส้นลวดอีกด้วย นอกจากนี้ผลของการเหนี่ยวนำตัวเองมากเกินไปของมวลส่วนที่เหลือและอีกหนึ่งอย่างสุดท้ายที่สามารถละทิ้งคือ โลหะความนำสูงในย่านความถี่ไมโครเวฟ หลังจากสององค์ประกอบทั้งความหนาแน่นของอิเล็กตรอนและการลดลงของประสิทธิภาพมวลซึ่งสามารถสรุปเป็นค่าสำหรับความถี่พลาสมา (k_p) ดังสมการ (3.35) เพื่อนำไปแทนค่าในสมการ (3.32) เพื่อคำนวณหาค่าความสัมพันธ์สภาพยอมของตัวกลางแบบเส้นลวด

$$k_p^2 = \frac{2\pi}{a^2 (\ln(a/2\pi r) + 0.5275)}, \quad (3.35)$$

3.5.2 การกระจายตัวเชิงพื้นที่สำหรับสื่อตัวกลางแบบเส้นลวด

ในความจริงสมมุติว่าตัวกลาง (Medium) สามารถอธิบายได้โดย สมการ ดิฟฟิเคชัน (สมการ 3.32) สมการการแผ่กระจายระนาบของคลื่น ($E_z \neq 0$) ด้วยคลื่นเวกเตอร์ $(q_x, q_y, q_z)^T$ นี้ ในแกนเดียวกับไดอิเล็กตริก

$$\varepsilon_h (q_x^2 + q_y^2) = \varepsilon (k^2 + q_z^2), \quad (3.36)$$

ในทางตรงกันข้ามคลื่นพิเศษเหล่านี้สอดคล้องกับโหมด TM (แกน Z) โดยไม่แปรเปลี่ยนของเงื่อนไขขอบเขตตามแนวแกน z ดังนั้นสำหรับคลื่นพิเศษใด ๆ ที่เดินทางออกไปพร้อมกับค่าคงตัวของเฟส (q_z) ตามแนวแกน z สนาม E_z จะตอบสนองกับสมการ Helmholtz

$$\left\{ \frac{\partial}{\partial x^2} + \frac{\partial}{\partial y^2} + (k^2 - q_z^2) \right\} E_z = 0, \quad (3.37)$$

สำหรับเงื่อนไขขอบเขต $E_z = 0$ บนเส้นลวดสามารถอธิบายด้วยสมการของระนาบที่ตอบสนองกับคลื่นพิเศษนี้ดังสมการ (3.38)

$$k(q_x, q_y, q_z) = \sqrt{k^2(q_x, q_y, 0) + q_z^2}, \quad (3.38)$$

ผลลัพธ์ที่ได้นี้ไม่สามารถใช้สำหรับสมการ (3.33) และ (3.36) ซึ่งสามารถแสดงให้เห็นได้อย่างง่ายโดยการแทนสมการ (3.33) ลงในสมการ (3.36) อย่างไรก็ตามถ้าเราเลือกสมการ (3.29) แทนในสมการ (3.33) ดังนั้นสมการ (3.36) จะกลายมาเข้ากันได้กับสมการ (3.38) แล้วให้ใช้สมการการกระจายตัวสำหรับของคลื่นระนาบดังสมการ (3.40)

$$\varepsilon(k + q_z) = \varepsilon_h \left(1 - \frac{k_p^2}{k^2 - q_z^2} \right), \quad (3.39)$$

$$q^2 = q_x^2 + q_y^2 + q_z^2 = k^2 - k_p^2 \quad (3.40)$$

โดยที่เราสมมติ $q_z \neq k$ จากเหตุผลที่กล่าวไว้ข้างต้นแสดงให้เห็นว่าสื่อตัวกลางแบบเส้นลวดสามารถอธิบายโดย สภาพยอมดียวาติกส์ (3.32) แต่แกนสภาพยอม (ϵ) จะต้องเป็น พารามิเตอร์กระจายตัวดังรูปแบบที่กำหนดในสมการ (3.39) โดยในสมการ(3.33) จะเป็นเพียงกรณี พิเศษของสมการ (3.39) ที่เหมาะสำหรับการแพร่กระจายคลื่นในระนาบ x-y

ความแตกต่างหลักระหว่างรูปแบบพื้นที่ในทิศทางเดียวดังสมการ(3.33) กับ รูปแบบนอกพื้นที่ดังสมการ(3.39) สำหรับสื่อตัวกลางแบบเส้นลวดนั้นเป็นไปในรูปแบบภายนอก พื้นที่โดยคาดการณ์ภายใต้ความถี่สำหรับการแพร่กระจายคลื่นในลักษณะพิเศษตามทิศทางของ ตัวกลางในทางตรงกันข้ามสมการ (3.33) และ (3.36) ใช้สำหรับคาดการณ์การแพร่กระจายคลื่น ลักษณะพิเศษที่ความถี่ใดๆ โดยให้ $q_z > k = \omega\sqrt{\epsilon_h\mu_h}$ ดังนั้นในการคาดการณ์ระหว่างสองรูปแบบ นั้นให้คุณภาพของคำตอบที่ค่อนข้างแตกต่างกันมากถึงแม้ว่าจะใกล้เคียงกับความถี่คutoffของความถี่ พลาสมา (ω_0) นั่นคือ nonlocality ถือได้ว่าเป็นส่วนประกอบความสัมพันธ์ที่นำเสนอผลต่อ การตอบสนองของแม่เหล็กไฟฟ้าของตัวกลางถึงแม้ว่าจะมีการจำกัดความยาวคลื่นขนาดใหญ่ ดังนั้น จึงเป็นสิ่งสำคัญมากสำหรับค่าใดๆภายในตัวกลางจะมีอัตราส่วนเท่ากับ a/λ

ในการพิสูจน์ที่สำคัญของสมการ(3.39) จะขึ้นอยู่กับวิธีการของสนามพื้นที่ นอกจากมันจะแสดงในตัวกลางแบบเส้นลวดขนาดเล็กและ $q_z \neq k$ ในการกำหนดแบบรูปการแผ่ พลังงานสามารถกำหนดได้ 2 รูปแบบคือแบบพื้นฐาน ($E_z = 0$) และแบบพิเศษ ($E_z \neq 0$) โดยที่คลื่น แบบพื้นฐานไม่ตอบสนองกับเส้นลวดและแพร่กระจายภายในโฮสต์ตัวกลาง สำหรับคลื่นแบบ พิเศษจะแสดงสมการการกระจายได้อย่างชัดเจนและเชื่อมต่อกับคลื่นเวกเตอร์ $q = (q_x, q_y, q_z)^T$ สำหรับจำนวนคลื่น(wave number)ของโฮสต์ไอโซทรอปิกส์

พิจารณาโหมดในตัวกลางแบบเส้นลวดโดยพิจารณาจากทฤษฎีสถาปัตยกรรมแม่เหล็ก ไฟฟ้า สมมุติอย่างง่าย $q_x = 0$ และแทนสมการ (3.32) ลงในสมการแมกซ์เวลล์เราสามารถแยก ออกเป็นสองระบบย่อยโดยอธิบายคลื่นแบบพื้นฐานและแบบพิเศษ สำหรับคลื่นพื้นฐานแสดงดัง สมการ (3.41) และ(3.42)แสดงผลกระทบจากปัจจัยการแพร่กระจายคลื่นคือ $q_z^2 = k^2 - q_y^2$ แต่ไม่มี ผลกระทบกับเส้นลวดสำหรับคลื่นแบบปกติ

$$-q_z H_y + \frac{k^2 - q_y^2}{k_0 \eta} E_x = 0, \quad (3.41)$$

$$q_z E_x - k_0 \eta H_y = 0, \quad (3.42)$$

สมมติ $q_z \neq 0$ สำหรับสนามของคลื่นแบบพิเศษซึ่งเป็นกรณีที่น่าสนใจโดยพิจารณาตามสมการที่(3.41) และ(3.42)

$$q_z E_y + \frac{k_0^2 \varepsilon_z - q_y^2}{k_0 \varepsilon_z} \eta H_x = 0, \quad (3.43)$$

$$q_z H_x + \frac{k_0^2 \varepsilon_h}{\eta} E_y = 0, \quad (3.44)$$

ซึ่งให้สมการของคลื่นสำหรับสนามแม่เหล็ก (H_x) หลังจากกำจัด E_y และ E_z จะได้

$$\left[k^2 - \frac{q_y^2}{\varepsilon_z} - q_z^2 \right] H_x = 0, \quad (3.45)$$

เนื่องจาก

$$\left[k^2 - q_z^2 \right] \left[k^2 - q_y^2 - q_z^2 - k_p^2 \right] H_x = 0, \quad (3.46)$$

ดังนั้นจึงได้สมการความสัมพันธ์กระจาย 2 ความสัมพันธ์ดังสมการ(3.47)ซึ่งทั้งสองความสัมพันธ์เป็นอิสระต่อกันโดยแสดงในรูปแบบของ โหมด TEM และ โหมด TM

$$k^2 = q_z^2, \quad k^2 = q_y^2 + q_z^2 + k_p^2 = 0, \quad (3.47)$$

ตามสมการ(3.31) นั้นการแพร่กระจายของโหมด TM คือไอโซทรอปิกส์ในระนาบ yz ใดๆก็ตามมันสามารถแสดงได้จากข้อสรุปพื้นฐานดังสมการ(3.36) และ(3.38)

3.6 สรุป

ในบทนี้ได้ทำการอธิบายถึงทฤษฎีที่มีความจำเป็นต่อการออกแบบและพัฒนาสายอากาศปากแตรรูปกรวยโดยใช้คุณสมบัติโครงสร้างตัวกลางแบบเส้นลวดและซึ่งในเนื้อหาได้กล่าวถึงการศึกษาทฤษฎีเกี่ยวกับสายอากาศปากแตรและการออกแบบสายอากาศปากแตรประเภทต่างๆ ต่อจากนั้นทำการศึกษาทฤษฎีและหลักการของอภิวัดสุดท้ายที่ได้อธิบายในบทนี้คือทฤษฎีและหลักการของตัวกลางแบบเส้นลวดซึ่งถือได้ว่าเป็นเทคนิคหลักที่นำมาประยุกต์ใช้ในการออกแบบสำหรับงานวิจัยนี้เพื่อเพิ่มประสิทธิภาพของสายอากาศปากแตรรูปกรวย โดยทฤษฎีดังกล่าวในบทนี้ถือได้ว่ามีความสำคัญต่อการออกแบบพัฒนาสายอากาศสำหรับงานวิจัยในบทที่ 4 ต่อไป

บทที่ 4

ผลการศึกษาและการวิเคราะห์ผล

4.1 บทนำ

เนื้อหาในบทนี้จะกล่าวถึงผลการศึกษาและการวิเคราะห์ผลการทดลองสายอากาศปากแตรรูปกรวยโดยใช้คุณสมบัติของอภิวัดในรูปแบบโครงสร้างตัวกลางแบบเส้นลวดโดยในบทนี้จะประกอบด้วยเนื้อหาดังต่อไปนี้คือ การออกแบบและวิเคราะห์สายอากาศปากแตรรูปกรวยเพื่อให้ได้อัตราขยายสูงและมีแบบรูปการแผ่พลังงานที่สมมาตร การปรับลดระดับพู่ข้างโดยใช้เทคนิควัสดุโพลไดอิเล็กตริก(dielectric loaded material) โครงสร้างอภิวัดในรูปแบบตัวกลางแบบเส้นลวด การนำเทคโนโลยีอภิวัดในรูปแบบโครงสร้างตัวกลางแบบเส้นลวดมาออกแบบเพื่อประยุกต์ใช้งานร่วมกับสายอากาศปากแตรรูปกรวยในการเพิ่มประสิทธิภาพสายอากาศโดยใช้โปรแกรม CST Microwave Studio ในการวิเคราะห์ผลการออกแบบและค่าพารามิเตอร์ต่างๆ ของสายอากาศและในส่วนสุดท้ายของบทนี้จะได้ทำการสรุปสิ่งที่ได้จากการศึกษาและวิเคราะห์ผลต่อไป

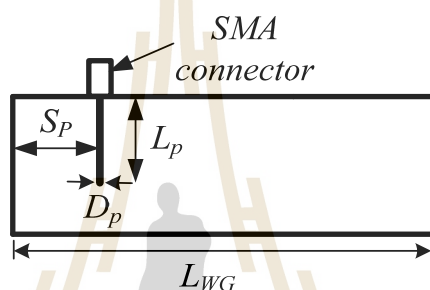
4.2 การออกแบบสายอากาศปากแตรรูปกรวย

ในหัวข้อนี้กล่าวถึงการออกแบบและวิเคราะห์สายอากาศปากแตรรูปกรวยขนาดมาตรฐานที่ความถี่ 10 GHz ซึ่งทำการออกแบบและคำนวณโดยอ้างอิงจากทฤษฎีที่กล่าวไว้ในบทที่ 3 แล้วทำการวิเคราะห์ผลการออกแบบด้วยโปรแกรม CST Microwave studio โดยในการวิเคราะห์และออกแบบจะประกอบด้วย 2 ส่วนหลัก คือ ตัวกระตุ้น (feed) และสายอากาศปากแตรรูปกรวย ซึ่งจะอธิบายขั้นตอนในการออกแบบและวิเคราะห์ดังต่อไปนี้

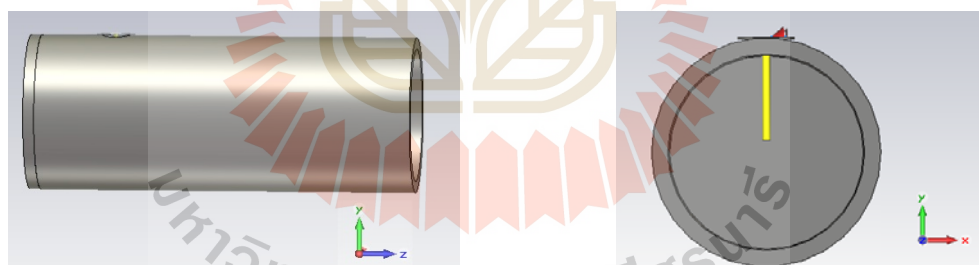
4.2.1 การออกแบบโครงสร้างตัวกระตุ้น

ในการออกแบบและวิเคราะห์ผลในส่วนของตัวกระตุ้นสายอากาศปากแตรรูปกรวยนั้นซึ่ง โดยทั่วไปสายอากาศปากแตรรูปกรวยส่วนใหญ่นิยมกระตุ้นด้วยท่อนำคลื่นรูปทรงกระบอก (Cylindrical Waveguide) ซึ่งจะทำงานในโหมด TE_{11} ในหัวข้อนี้จะอธิบายขั้นตอนในการออกแบบในส่วนของตัวกระตุ้นโดยจะประกอบด้วยท่อนำคลื่นและโพรบ (probe) โดยในการออกแบบท่อนำคลื่นทรงกระบอกนั้นเนื่องจากสายอากาศปากแตรรูปกรวยได้ทำการออกแบบที่ความถี่ 10 GHz ซึ่งอยู่ในย่าน X-Band โดยขนาดของท่อนำคลื่นที่ใช้ในช่วงความถี่ดังกล่าวนี้มีขนาดเส้นผ่าศูนย์กลางของท่อนำคลื่นเท่ากับ 23.83 มิลลิเมตรเมื่อได้ขนาดของท่อนำคลื่นซึ่งเป็น

ขนาดมาตรฐานสำหรับการใช้งานในช่วงความถี่ดังกล่าว ในขั้นตอนต่อไปจะเป็นการออกแบบโพรบสำหรับกระตุ้นภายในท่อนำคลื่นเพื่อใช้ในการกระตุ้นสายอากาศโดยรูปแบบโครงสร้างของตัวกระตุ้นที่จะทำการวิเคราะห์ดังแสดงในรูปที่ 4.1 และในรูป 4.2 แสดงโครงสร้างของตัวกระตุ้นของสายอากาศปากแตรรูปกรวยที่ทำการออกแบบและวิเคราะห์ผลด้วยโปรแกรมสำเร็จรูป CST เพื่อทำการพิจารณาค่าพารามิเตอร์ของตัวกระตุ้น โดยทำการพิจารณาจากการหาค่าความยาวของโพรบ (L_p) ระยะตำแหน่งการวางโพรบ (S_p) ขนาดเส้นผ่าศูนย์กลางของโพรบ (D_p) และความยาวของท่อนำคลื่น (L_{WG}) ที่เหมาะสมเพื่อให้ค่าสัมประสิทธิ์การสะท้อนกลับ (S_{11}) ที่เรโซแนนซ์ที่ความถี่ในการออกแบบ 10 GHz และให้ค่าความกว้างแถบความถี่ (bandwidth) ที่กว้าง



รูปที่ 4.1 แสดงพารามิเตอร์ของตัวกระตุ้นโดยใช้ท่อนำคลื่นรูปทรงกระบอก



(ก) ภาพด้านข้าง

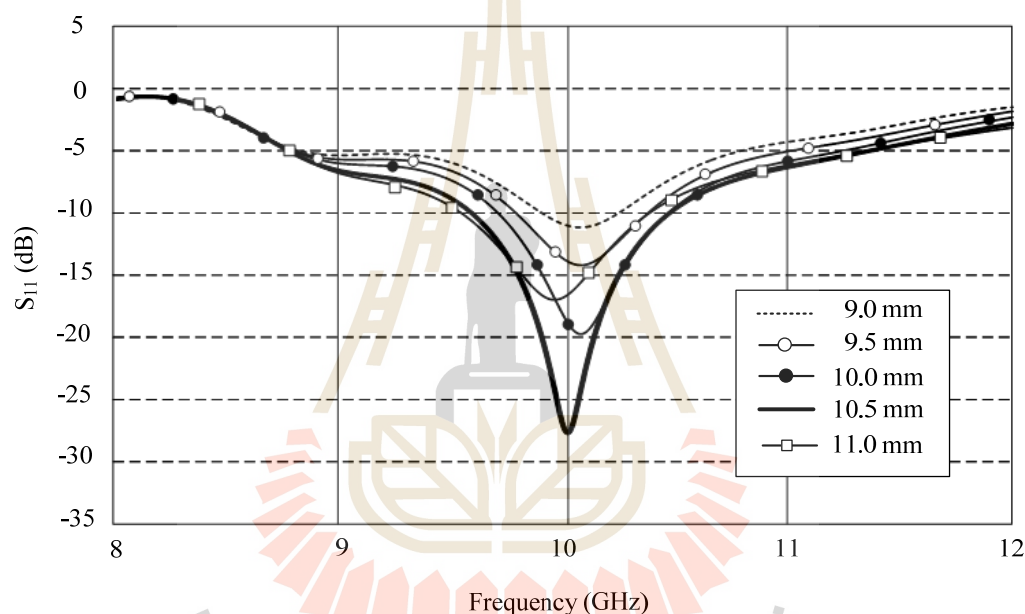
(ข) ภาพด้านหน้า

รูปที่ 4.2 โครงสร้างตัวกระตุ้นแบบท่อนำคลื่นรูปทรงกระบอกที่ทำการจำลองด้วยโปรแกรมสำเร็จรูป CST

4.2.1.1 การพิจารณาความยาวของโพรบ (L_p)

ในการพิจารณาความยาวของโพรบ (L_p) นั้นได้ทำการกำหนดค่าพารามิเตอร์เริ่มต้นในการพิจารณาดังนี้คือ เส้นผ่าศูนย์กลางของโพรบเท่ากับ 1 มิลลิเมตร ระยะตำแหน่งการวางโพรบห่างจากด้านหลังท่อนำคลื่นทรงเท่ากับ $\lambda/4$ หรือ 7.5 มิลลิเมตร และความยาว

ของท่อนำคลื่นเท่ากับ 2λ ซึ่งในการพิจารณาความยาวของโพรบนั้นจากทฤษฎีการออกแบบความยาวของโพรบที่ใช้กระตุ้นในท่อนำคลื่นนั้นจะต้องมีความยาวเท่ากับ $\lambda/4$ ดังนั้นในการวิเคราะห์ความยาวของโพรบจะทำการพิจารณาความยาวดังนี้คือ 9 มิลลิเมตร 9.5 มิลลิเมตร 10 มิลลิเมตร 10.5 มิลลิเมตร และ 11 มิลลิเมตรตามลำดับ ซึ่งจากการจำลองด้วยโปรแกรมสำเร็จรูป CST เมื่อทำการพิจารณาค่าสัมประสิทธิ์การสะท้อนกลับดังแสดงในรูปที่ 4.3 พบว่าค่าสัมประสิทธิ์การสะท้อนกลับที่ความยาวของโพรบมีค่าเท่ากับ 10.5 มิลลิเมตร ทำให้ค่าสัมประสิทธิ์การสะท้อนกลับตอบสนองกับความถี่เรโซแนนซ์ที่ความถี่กลางในการออกแบบคือ 10 GHz และให้ความกว้างแถบความถี่ที่กว้างที่สุดเมื่อเทียบกับความยาวของโพรบที่ระยะต่างๆ ที่ได้พิจารณา

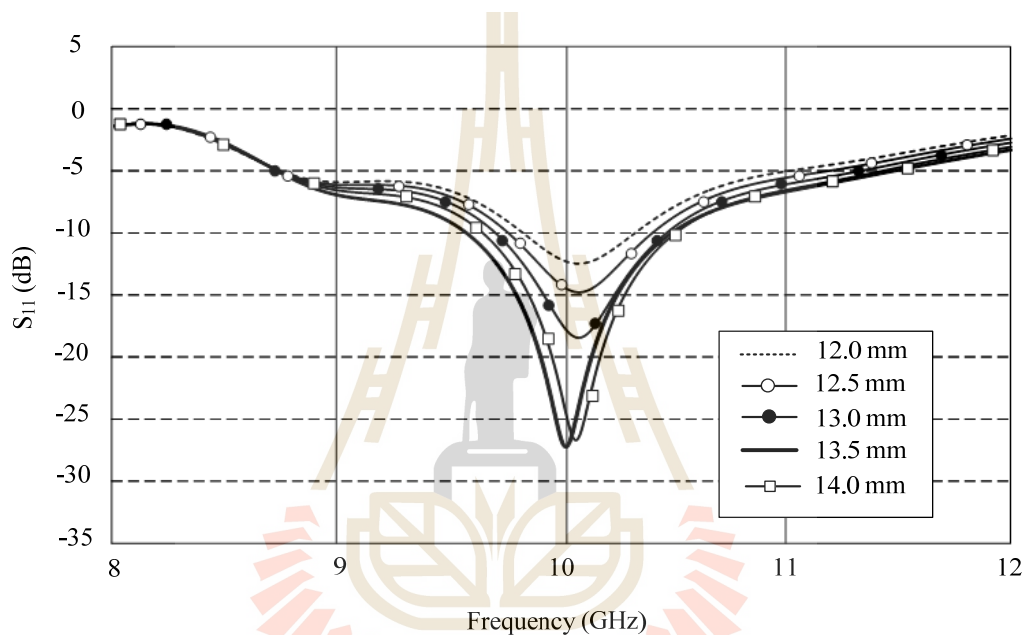


รูปที่ 4.3 ผลการจำลองเปรียบเทียบค่าสัมประสิทธิ์การสะท้อนกลับของโพรบที่ขนาดความยาว (L_p) ต่างๆ

4.2.1.2 การพิจารณาระยะตำแหน่งการวางโพรบ (S_p)

เมื่อได้ค่าความยาวของโพรบเป็นที่เรียบร้อยแล้วจากการพิจารณาความยาวที่ผ่านมา ในหัวข้อนี้จะทำการพิจารณาดำแหน่งการวางโพรบ (S_p) ที่เหมาะสม โดยทำการกำหนดค่าพารามิเตอร์เริ่มต้นในการพิจารณาดังนี้คือเส้นผ่าศูนย์กลางกลางของโพรบเท่ากับ 1 มิลลิเมตร ขนาดความยาวโพรบเท่ากับ 10.5 มิลลิเมตร และความยาวของท่อนำคลื่นเท่ากับ 2λ ซึ่งในการพิจารณา ระยะตำแหน่งการวางของโพรบในท่อนำคลื่นนั้นจากทฤษฎีการออกแบบระยะตำแหน่งการวางโพรบใช้กระตุ้นในท่อนำคลื่นนั้นจะมีระยะห่างจากด้านหลังท่อนำคลื่นเท่ากับ $\lambda/4$ ในการพิจารณา

ระยะตำแหน่งการวางของโพรบนั้นจะทำการพิจารณาระยะตำแหน่งการวางคือ 12 มิลลิเมตร 12.5 มิลลิเมตร 13 มิลลิเมตร 13.5 มิลลิเมตร และ 14 มิลลิเมตร ตามลำดับ ซึ่งจากการจำลองด้วยโปรแกรมสำเร็จรูป CST เมื่อทำการพิจารณาค่าสัมประสิทธิ์การสะท้อนกลับดังรูปที่ 4.4 พบว่าค่าสัมประสิทธิ์การสะท้อนกลับที่ระยะตำแหน่งการวางของโพรบมีค่าเท่ากับ 13.5 มิลลิเมตร ทำให้ค่าสัมประสิทธิ์การสะท้อนกลับตอบสนองกับความถี่เรโซแนนซ์ทาคความถี่กลางในการออกแบบคือ 10 GHz และให้ความกว้างแถบความถี่ที่กว้างที่สุดเมื่อเทียบกับความยาวของโพรบที่ระยะต่าง ๆ ได้พิจารณา

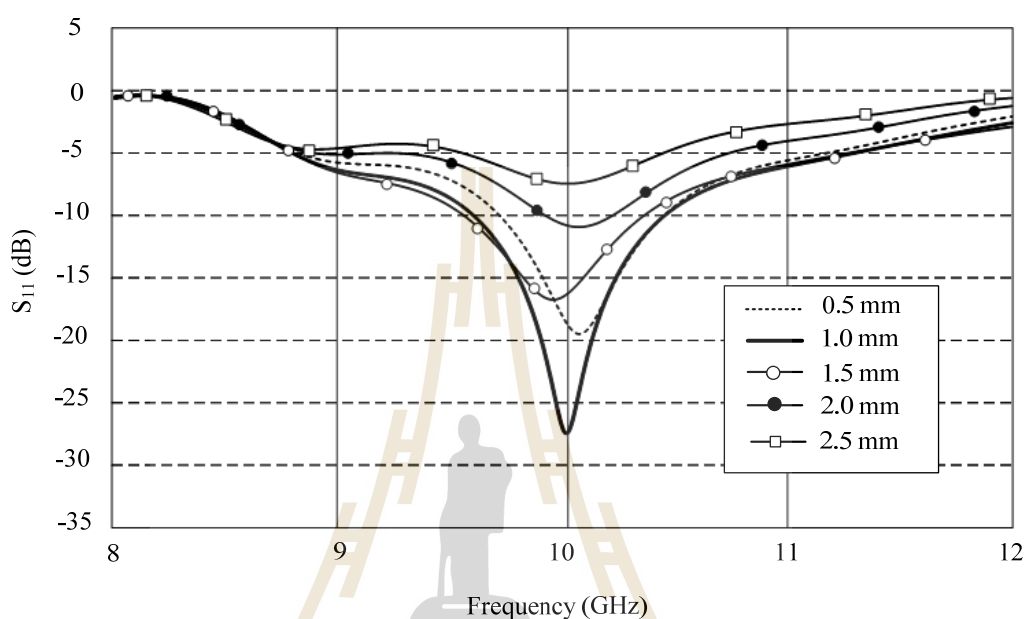


รูปที่ 4.4 ผลการจำลองเปรียบเทียบค่าสัมประสิทธิ์การสะท้อนกลับของระยะตำแหน่งการวางโพรบ (S_p) ที่ระยะต่างๆ

4.2.1.3 การพิจารณาเส้นผ่าศูนย์กลางของโพรบ (D_p)

เมื่อได้ค่าความยาวของโพรบและระยะตำแหน่งการวางโพรบในท่อนำคลื่นเป็นที่เรียบร้อยแล้วในหัวข้อนี้จะทำการพิจารณาขนาดเส้นผ่าศูนย์กลางของโพรบ (D_p) ที่เหมาะสม โดยทำการกำหนดค่าพารามิเตอร์เริ่มต้นในการพิจารณาดังนี้ คือ ขนาดความยาวโพรบเท่ากับ 10.5 มิลลิเมตร ระยะตำแหน่งการวางของโพรบในท่อนำคลื่นเท่ากับ 13.5 มิลลิเมตร และความยาวของท่อนำคลื่นเท่ากับ 2λ โดยขนาดเส้นผ่าศูนย์กลางของโพรบนั้นจะทำการพิจารณาขนาดเส้นผ่าศูนย์กลางคือ 0.5 มิลลิเมตร 1 มิลลิเมตร 1.5 มิลลิเมตร 2 มิลลิเมตร และ 2.5 มิลลิเมตร ตามลำดับ ซึ่งจากการจำลองด้วยโปรแกรมสำเร็จรูป CST เมื่อทำการพิจารณาค่าสัมประสิทธิ์การ

สะท้อนกลับดังแสดงในรูปที่ 4.5 พบว่าค่าสัมประสิทธิ์การสะท้อนกลับที่ขนาดเส้นผ่าศูนย์กลางของโพรบมีค่าเท่ากับ 1 มิลลิเมตร ซึ่งทำให้ค่าสัมประสิทธิ์การสะท้อนกลับตอบสนองกับความถี่เรโซแนนซ์ที่ความถี่กลางในการออกแบบคือ 10 GHz มากที่สุดและให้ความกว้างแถบความถี่ที่กว้างที่สุดเมื่อเทียบกับความยาวของโพรบที่ระยะต่างที่ได้พิจารณา

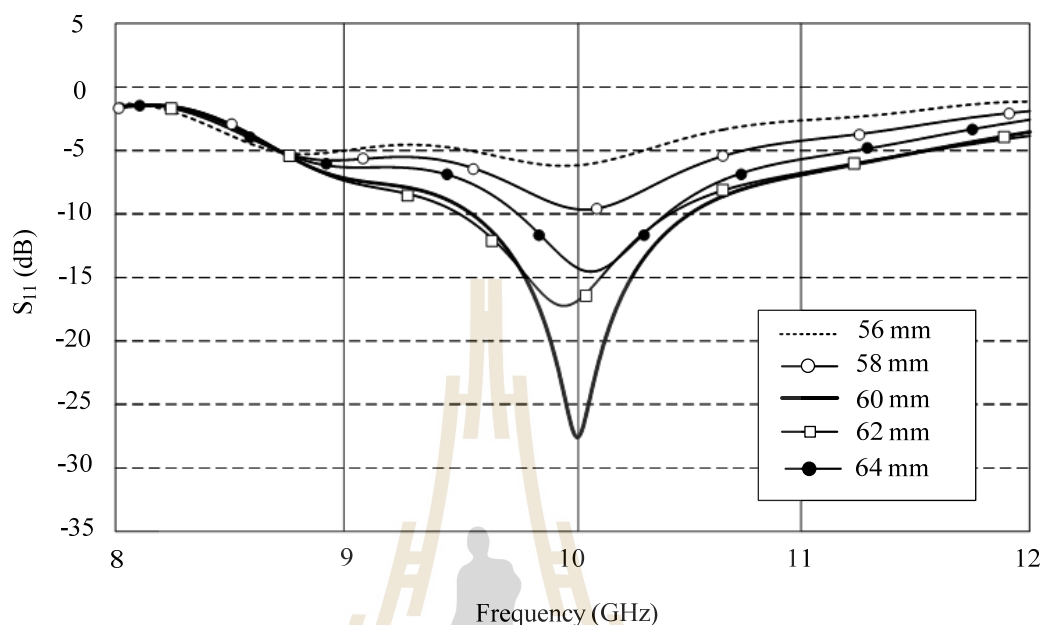


รูปที่ 4.5 ผลการจำลองเปรียบเทียบค่าสัมประสิทธิ์การสะท้อนกลับของเส้นผ่าศูนย์กลางของโพรบ (D_p) ที่ระยะต่างๆ

4.2.1.4 การพิจารณาความยาวท่อนำคลื่นของตัวกระตุ้น (L_{wg})

จากค่าความยาวของโพรบ ระยะตำแหน่งการวางโพรบในท่อนำคลื่นและขนาดเส้นผ่าศูนย์กลางของโพรบที่เหมาะสมเรียบร้อยแล้ว ในขั้นตอนนี้จะทำการพิจารณาขนาดความยาวของท่อนำคลื่น (L_{wg}) ที่เหมาะสม โดยทำการกำหนดค่าพารามิเตอร์เริ่มต้นในการพิจารณาดังนี้ คือ ขนาดความยาวโพรบเท่ากับ 10.5 มิลลิเมตร ระยะตำแหน่งการวางของโพรบในท่อนำคลื่นเท่ากับ 13.5 และขนาดเส้นผ่าศูนย์กลางของโพรบเท่ากับ 1 มิลลิเมตร ในการพิจารณาขนาดความยาวของท่อนำคลื่นนั้น จะทำการพิจารณาความยาวของท่อนำคลื่นคือ 56 มิลลิเมตร 58 มิลลิเมตร 60 มิลลิเมตร 62 มิลลิเมตร และ 64 มิลลิเมตร ตามลำดับ ซึ่งจากการจำลองด้วยโปรแกรมสำเร็จรูป CST เมื่อทำการพิจารณาค่าสัมประสิทธิ์การสะท้อนกลับดังแสดงในรูปที่ 4.6 พบว่าค่าสัมประสิทธิ์การสะท้อนกลับในกรณีที่มีความยาวของท่อนำคลื่นมีค่าเท่ากับ 60 มิลลิเมตร ทำให้ค่าสัมประสิทธิ์

การสะท้อนกลับตอบสนองกับความถี่เรโซแนนซ์ที่ความถี่กลางในการออกแบบคือ 10 GHz และให้ความกว้างแถบความถี่ที่กว้างที่สุดเมื่อเทียบกับความยาวของโพรบที่ระยะต่างที่ได้พิจารณา



รูปที่ 4.6 ผลการจำลองเปรียบเทียบค่าสัมประสิทธิ์การสะท้อนกลับของความยาวของท่อนำคลื่น (D_{WG}) ที่ระยะต่างๆ

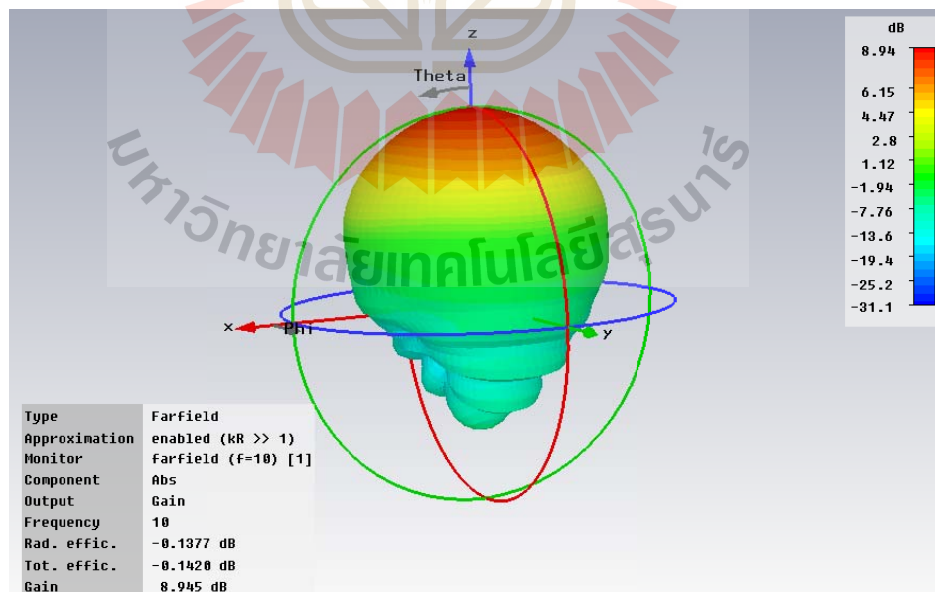
ตารางที่ 4.1 ค่าพารามิเตอร์ต่างๆ ของตัวกระตุ้นสายอากาศปากแตรรูปกรวย

| พารามิเตอร์ | ขนาด (มิลลิเมตร) |
|--|------------------|
| เส้นผ่าศูนย์กลางของท่อนำคลื่นรูปทรงกระบอก (D_{WG}) | 23.83 |
| ความยาวของโพรบ (L_p) | 10.5 |
| ระยะตำแหน่งการวางโพรบ (S_p) | 13.5 |
| ขนาดเส้นผ่าศูนย์กลางของโพรบ (D_p) | 1 |
| ความยาวของท่อนำคลื่น (L_{WG}) | 60 |

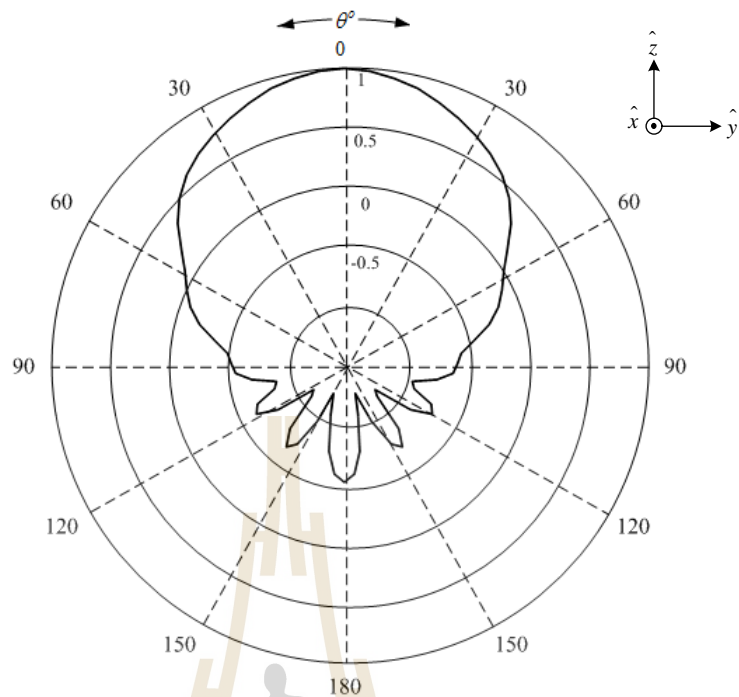
ในตารางที่ 4.1 ได้สรุปค่าพารามิเตอร์ของตัวกระตุ้นสายอากาศปากแตรรูปกรวยที่ได้ทำการออกแบบและวิเคราะห์ด้วยโปรแกรมสำเร็จรูป CST จนได้ค่าพารามิเตอร์ที่เหมาะสมสำหรับนำไปใช้เป็นตัวป้อนให้กับสายอากาศปากแตรรูปกรวย จากนั้นทำการนำค่าพารามิเตอร์ที่ได้มาทำการจำลองด้วยโปรแกรมสำเร็จรูป CST โดยในรูปที่ 4.7 ได้แสดงค่าสัมประสิทธิ์การสะท้อนกลับของตัวกระตุ้นที่ได้พบว่าตัวกระตุ้นที่ได้เรโซแนนซ์ที่ความถี่ 10 GHz และมีความกว้างแถบความถี่

เท่ากับ 9.54 % และรูปที่ 4.8 แสดงแบบรูปการแผ่พลังงานของตัวกระตุ้นสายอากาศปากแตรรูปกรวยในรูปแบบ 3 มิติ พบว่ามีอัตราขยายเท่ากับ 8.94 dBi และประสิทธิภาพที่ได้เท่ากับ 96.78% นอกจากนี้ได้แสดงแบบรูปการแผ่พลังงานในระนาบสนามไฟฟ้าและสนามแม่เหล็กของตัวกระตุ้นสายอากาศปากแตรรูปกรวยที่สมบูรณ์ในรูปที่ 4.9

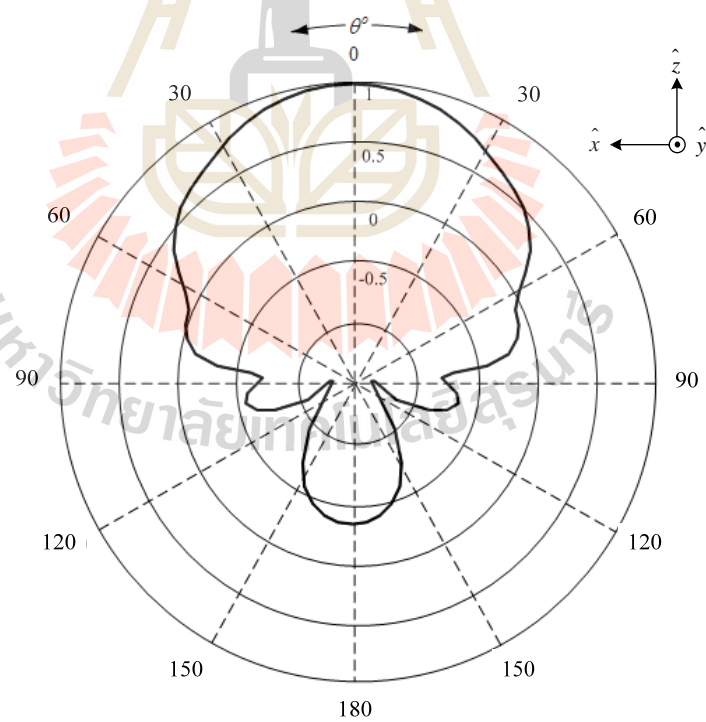
รูปที่ 4.7 ผลการจำลองค่าสัมประสิทธิ์การสะท้อนกลับของตัวกระตุ้นสายอากาศปากแตรรูปกรวย



รูปที่ 4.8 ผลการจำลองแบบรูปการแผ่พลังงานในรูปแบบ 3 มิติของตัวกระตุ้นสายอากาศปากแตรรูปกรวยด้วยโปรแกรมสำเร็จรูป CST



(ก) ระนาบสนามไฟฟ้า

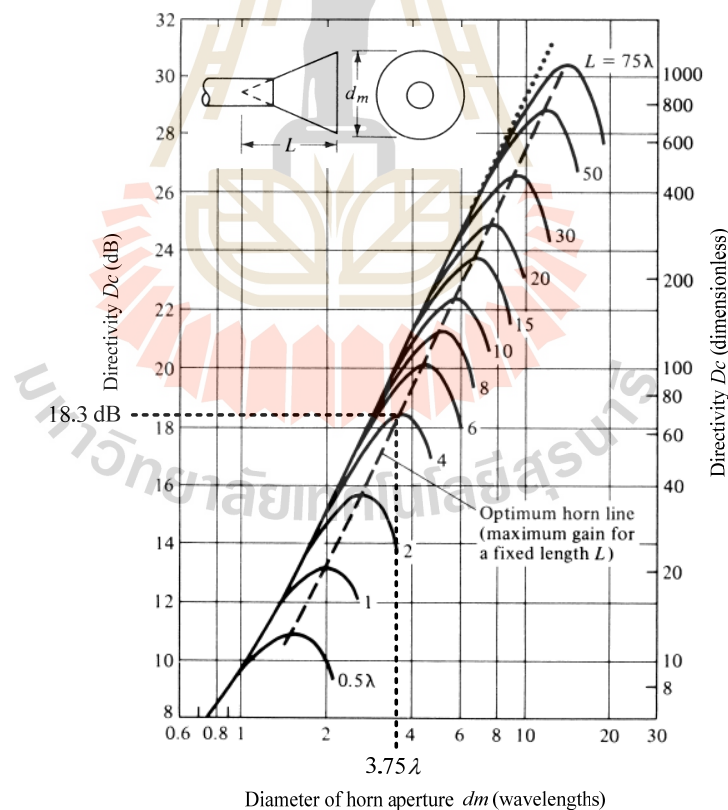


(ข) ระนาบสนามแม่เหล็ก

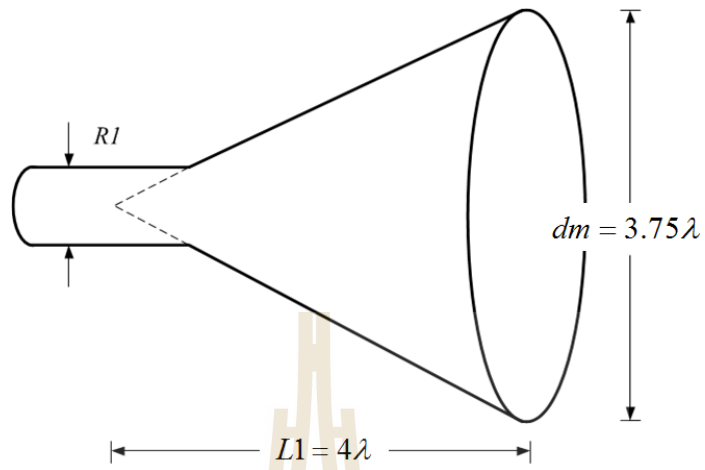
รูปที่ 4.9 ผลการจำลองแบบรูปการแผ่พลังงานของตัวกระตุ้นสายอากาศปากแตรรูปกรวย

4.2.2 การออกแบบโครงสร้างสายอากาศปากแตรรูปกรวย

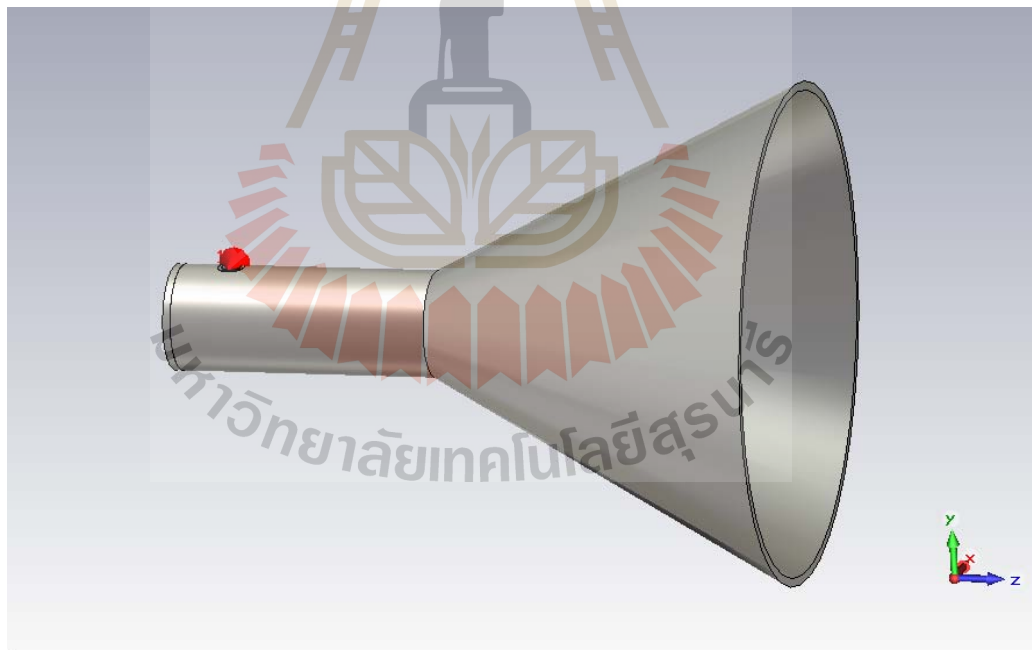
ในการออกแบบและกำหนดค่าพารามิเตอร์ของสายอากาศปากแตรรูปกรวยขนาดมาตรฐานนั้น โดยเริ่มต้นจากกราฟแสดงความสัมพันธ์ระหว่างขนาดเส้นผ่านศูนย์กลางของปากอะเพอร์เจอร์ของสายอากาศปากแตร (dm) กับความยาวของสายอากาศปากแตร (L) ที่ส่งผลต่ออัตราขยายของสายอากาศปากแตรรูปกรวยดังแสดงในรูปที่ 4.10 ซึ่งโครงสร้างสายอากาศปากแตรรูปกรวยขนาดมาตรฐานที่ทำการออกแบบได้แสดงไว้ดังรูปที่ 4.11 ในการกำหนดพารามิเตอร์ของสายอากาศปากแตรขนาดมาตรฐานที่ออกแบบได้ทำการเลือกขนาดความยาวของสายอากาศปากแตร (L) เท่ากับ 4λ แล้วทำการพิจารณาหาขนาดเส้นผ่านศูนย์กลางของปากอะเพอร์เจอร์ของสายอากาศจากกราฟในรูปที่ 4.10 จะได้ว่าขนาดเส้นผ่านศูนย์กลางของปากอะเพอร์เจอร์ของสายอากาศปากแตร (dm) มีค่าเท่ากับ 3.75λ จากกราฟพบว่าค่าสภาพเจาะจงทิศทางประมาณ 18.3 dBi ซึ่งในการวิเคราะห์ได้นำค่าพารามิเตอร์ที่ได้ไปทำการจำลองการออกแบบด้วยโปรแกรม CST เพื่อนำไปใช้ในการพิจารณาค่าพารามิเตอร์ที่สำคัญอื่นๆ ต่อไป



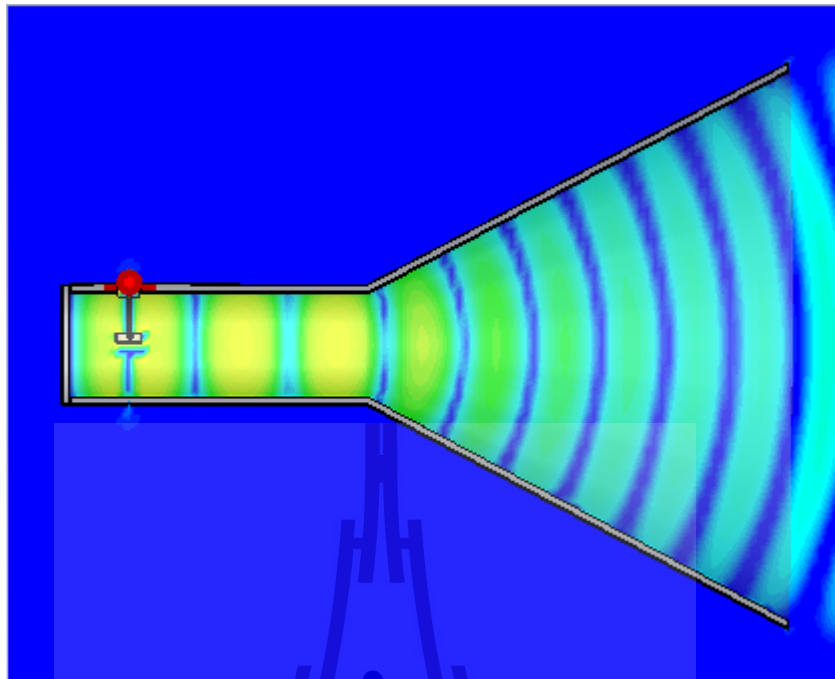
รูปที่ 4.10 กราฟความสัมพันธ์ระหว่างเส้นผ่านศูนย์กลางของปากอะเพอร์เจอร์ของสายอากาศปากแตรรูปกรวย (dm) กับความยาวของสายอากาศปากแตร (L) ที่ส่งผลต่ออัตราขยายของสายอากาศ



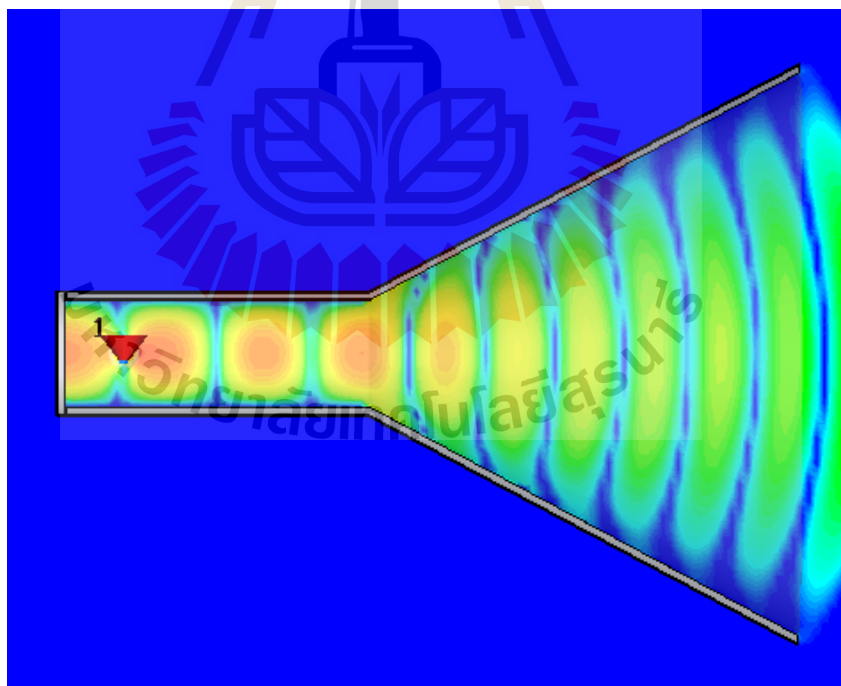
รูปที่ 4.11 โครงสร้างสายอากาศปากแตรรูปกรวยขนาดมาตรฐาน



รูปที่ 4.12 โครงสร้างสายอากาศปากแตรรูปกรวยขนาดมาตรฐานที่ทำการจำลองการออกแบบด้วยโปรแกรม CST

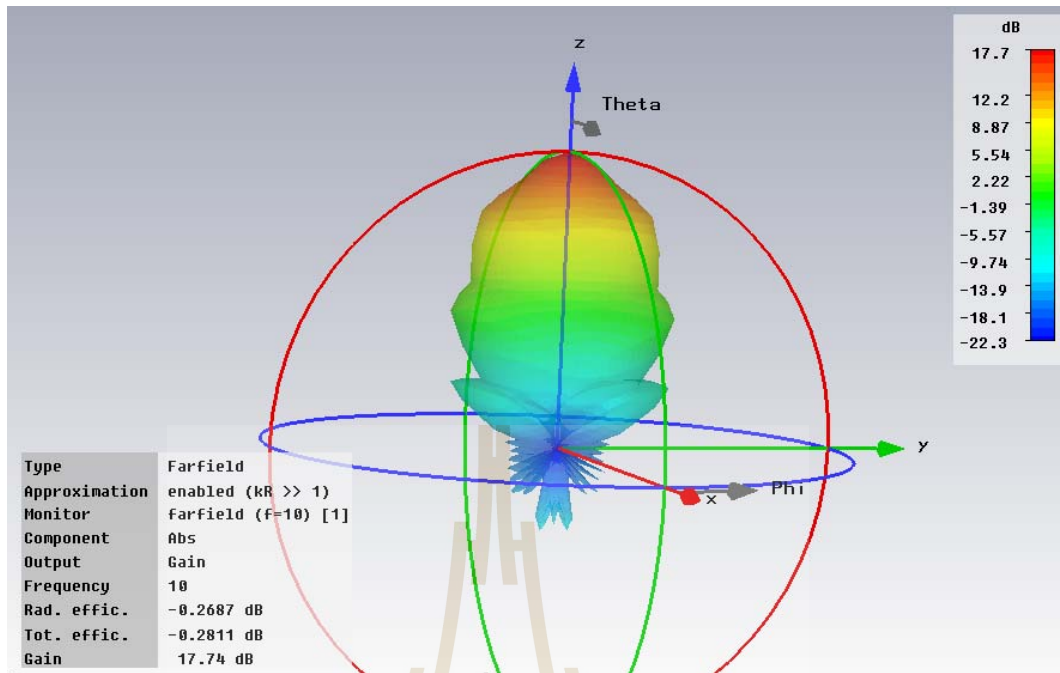


(ก) ระนาบสนามไฟฟ้า

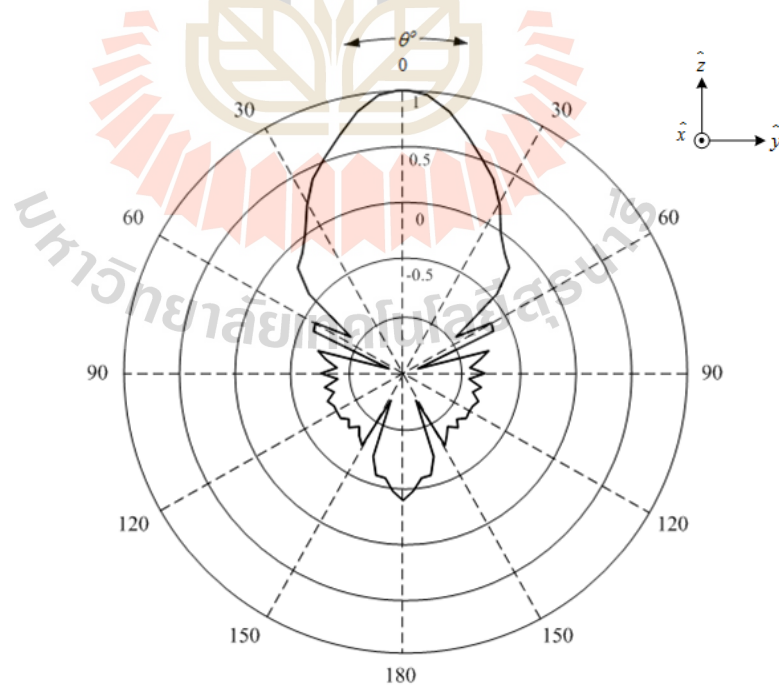


(ข) ระนาบสนามแม่เหล็ก

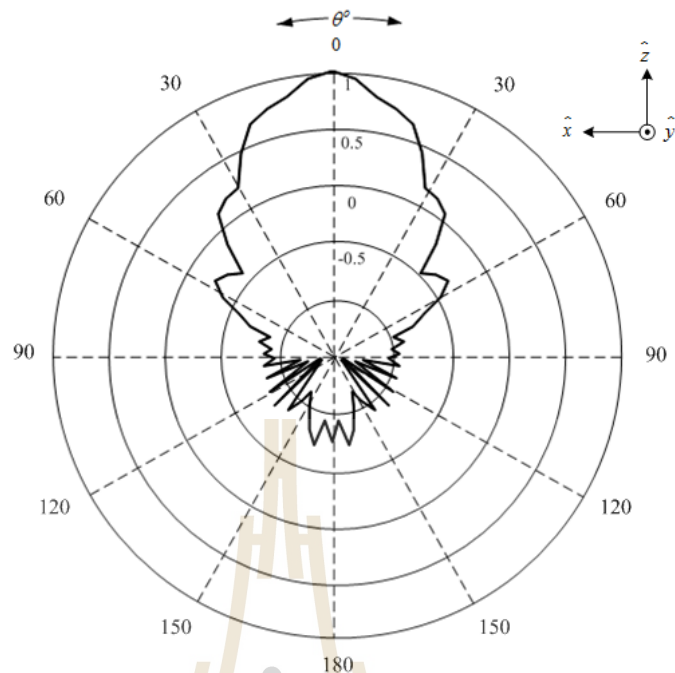
รูปที่ 4.13 ผลการจำลองเฟสแบบรูปการแผ่พลังงานของสายอากาศปากแตรรูปกรวย
ขนาดมาตรฐานที่ทำการจำลองการออกแบบด้วยโปรแกรม CST



รูปที่ 4.14 ผลการจำลองแบบรูปการแผ่พลังงานในรูปแบบ 3 มิติของสายอากาศปากแตรรูปกรวย ขนาดมาตรฐานที่ทำกรจำลองการออกแบบด้วยโปรแกรม CST

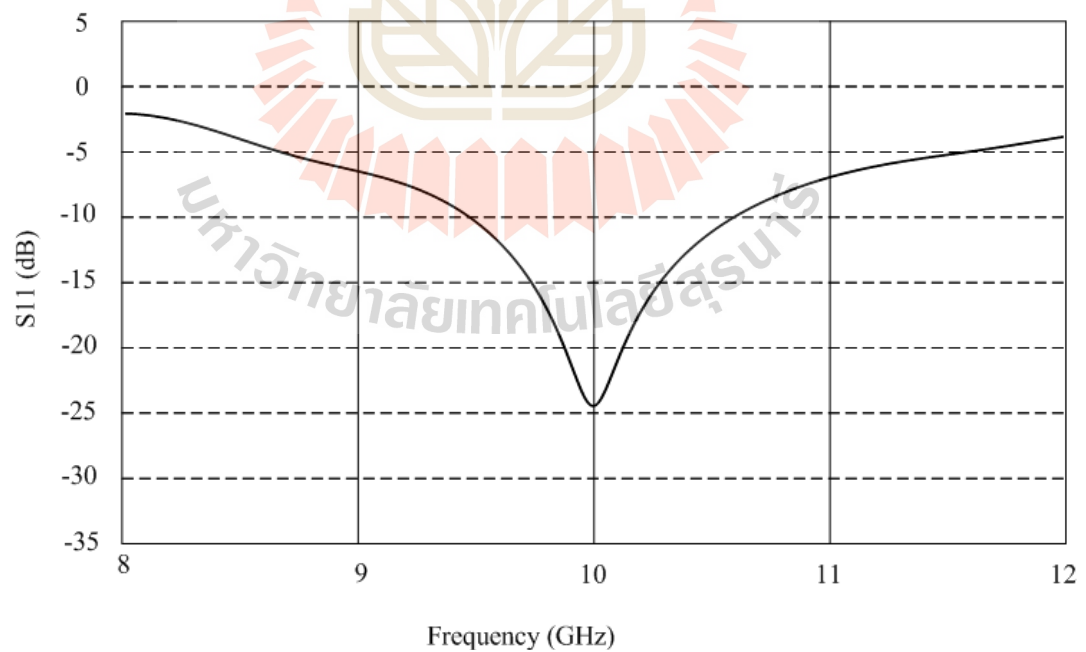


(ก) ระนาบสนามไฟฟ้า



(จ) ระนาบสนามแม่เหล็ก

รูปที่ 4.15 ผลการจำลองแบบรูปการแผ่พลังงานของสายอากาศปากแตรรูปกรวยขนาดมาตรฐาน



รูปที่ 4.16 ผลการจำลองค่าสัมประสิทธิ์การสะท้อนกลับสายอากาศปากแตรรูปกรวย
ขนาดมาตรฐาน

จากรูปที่ 4.12 แสดงโครงสร้างสายอากาศปากแตรรูปกรวยขนาดมาตรฐานที่ทำการจำลองการออกแบบด้วยโปรแกรมสำเร็จรูป CST จากการจำลองการออกแบบได้แสดงเฟสการแผ่พลังงานของสายอากาศปากแตรรูปกรวยขนาดมาตรฐานดังแสดงในรูปที่ 4.13 และในรูปที่ 4.14 ทำการแสดงผลแบบรูปการแผ่พลังงานในรูปแบบ 3 มิติที่ได้จากการจำลองการออกแบบด้วยโปรแกรม CST และในรูปที่ 4.15 แสดงแบบรูปการแผ่พลังงานที่ทำให้เป็นนอร์มัลไลซ์ (normalized) แล้วพบว่าแบบรูปการแผ่พลังงานของสายอากาศปากแตรที่ได้จำลองการออกแบบมีค่าสภาพเจาะจงทิศทางเท่ากับ 18.4 dBi และอัตราขยายเท่ากับ 17.7 dBi จากแบบรูปการแผ่พลังงานในระนาบสนามไฟฟ้า (E-Plane) และระนาบสนามแม่เหล็ก (H-Plane) พบว่าความกว้างลำคลื่นครึ่งกำลัง (half-power beamwidth: HPBW) ที่ได้จากทั้ง 2 ระนาบมีแบบรูปการแผ่พลังงานที่เกิดขึ้นไม่สมมาตรกัน โดยมีความกว้างลำคลื่นครึ่งกำลังในระนาบสนามไฟฟ้าเท่ากับ 18.4° และระนาบสนามแม่เหล็กเท่ากับ 17.9° อีกทั้งระดับพูข้างของแบบรูปการแผ่พลังงานมีระดับในระนาบสนามไฟฟ้าและระนาบสนามแม่เหล็กแตกต่างกัน โดยแสดงค่าที่ได้จากการจำลองในตารางที่ 4.2 จากแบบรูปการแผ่พลังงานของสายอากาศปากแตรรูปกรวยขนาดมาตรฐานไม่สมมาตรซึ่งในงานวิจัยนี้มีความต้องการแบบรูปการแผ่พลังงานที่สมมาตรและระดับของพูข้างที่เกิดขึ้นต่ำ ซึ่งในหัวข้อต่อไปจะได้กล่าวถึงเทคนิคการปรับปรุงประสิทธิภาพแบบรูปการแผ่พลังงานและจากการจำลองการทำงานด้วยโปรแกรม CST พบว่าค่าสัมประสิทธิ์การสะท้อนกลับของสายอากาศค่า S_{11} ของสายอากาศปากแตรรูปกรวยขนาดมาตรฐานที่ออกแบบมีค่าสัมประสิทธิ์การสะท้อนที่ -24.3 dB ที่ความถี่ 10 GHz ดังแสดงในรูปที่ 4.16

ตารางที่ 4.2 ผลการจำลองค่าพารามิเตอร์สายอากาศปากแตรขนาดมาตรฐาน

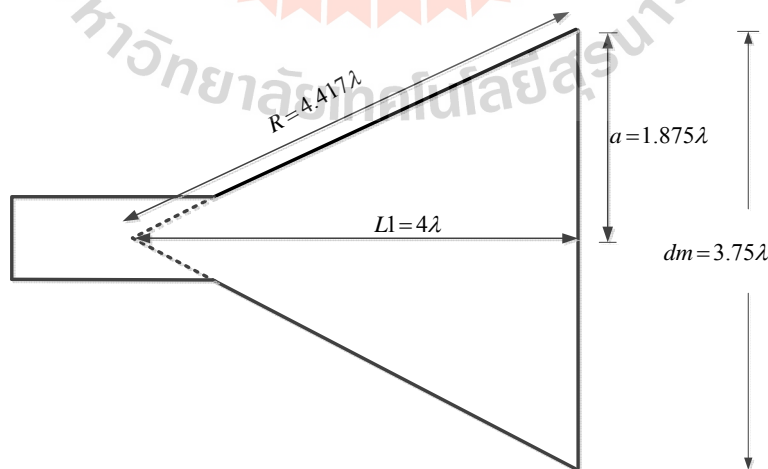
| พารามิเตอร์ | ผลการจำลอง |
|---|------------|
| อัตราขยาย (Gain) | 17.7 dBi |
| สภาพเจาะจงทิศทาง (Directivity) | 18.4 dBi |
| สัมประสิทธิ์การสะท้อนกลับ (S_{11}) | -24.62 dB |
| ระดับพูข้างระนาบสนามไฟฟ้า (E-Plane SLL) | -29.4 dB |
| ระดับพูข้างระนาบสนามแม่เหล็กไฟฟ้า (H-Plane SLL) | -22.7 dB |
| ประสิทธิภาพของสายอากาศ | 93.73% |

4.3 การปรับปรุงประสิทธิภาพแบบรูปการแผ่พลังงานโดยใช้โพลไดอิเล็กตริก

โพลไดอิเล็กตริก (Dielectric loaded) ถือได้ว่าเป็นอีกเทคโนโลยีหนึ่งที่ได้รับคามนิยมในการนำมาใช้ในการปรับปรุงประสิทธิภาพของสายอากาศโดยคุณสมบัติของโพลไดอิเล็กตริกจะถูกนำมาใช้ในการเพิ่มอัตราขยายและปรับปรุงแบบรูปการแผ่พลังงานของสายอากาศ ซึ่งในงานวิจัยนี้ได้้นำเทคนิคการใส่โพลไดอิเล็กตริกเพื่อใช้ในการปรับปรุงแบบรูปการแผ่พลังงานเนื่องจากการออกแบบสายอากาศปากแตรรูปกรวยจากข้อ 4.2 นั้นพบว่าแบบรูปการแผ่พลังงานที่ออกจากสายอากาศปากแตรรูปกรวยขนาดมาตรฐานไม่สมมาตรและระดับพู่ข้างสูง ดังนั้นในหัวข้อนี้จึงจะได้อธิบายถึงเทคนิคการใส่โพลไดอิเล็กตริกมาใช้ปรับปรุงประสิทธิภาพของแบบรูปการแผ่พลังงานและลดระดับพู่ข้างของสายอากาศปากแตรรูปกรวยขนาดมาตรฐาน โดยอธิบายถึงขั้นตอนการออกแบบและวิเคราะห์รูปแบบของโครงสร้างโพลไดอิเล็กตริกและระยะตำแหน่งการจัดวางโพลไดอิเล็กตริกภายในสายอากาศปากแตรรูปกรวยที่เหมาะสม

4.3.1 พิจารณาจุดศูนย์กลางเฟสสายอากาศปากแตรรูปกรวย (Phase Center)

ในการออกแบบการใส่โพลไดอิเล็กตริกภายในสายอากาศปากแตรรูปกรวยเพื่อปรับปรุงประสิทธิภาพแบบรูปการแผ่พลังงานเริ่มทำการพิจารณาจุดศูนย์กลางเฟสของสายอากาศปากแตรรูปกรวยเพื่อใช้ในการพิจารณาค่าตำแหน่งการวางโพลไดอิเล็กตริก ในการพิจารณาค่าตำแหน่งจุดศูนย์กลางเฟสนั้นได้กล่าวถึงทฤษฎีในการคำนวณหาตำแหน่งจุดศูนย์กลางเฟสไว้ในบทที่ 3 จากรูปที่ 4.17 แสดงค่าพารามิเตอร์ในการคำนวณหาตำแหน่งจุดศูนย์กลางเฟส จากสมการ (3.30) ใช้สำหรับคำนวณหาตำแหน่งพู่ข้าง s เพื่อใช้สำหรับคำนวณหาจุดกึ่งกลางเฟสของสายอากาศปากแตรรูปกรวยโดยสามารถแสดงวิธีคำนวณได้ดังนี้



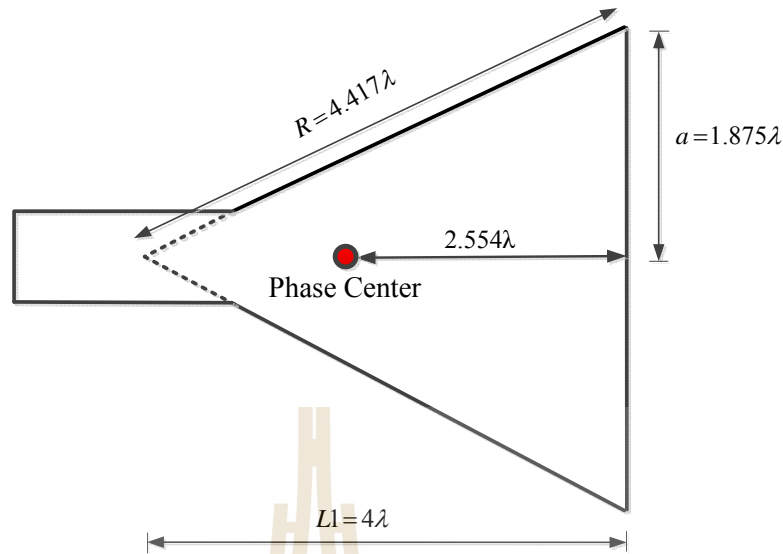
รูปที่ 4.17 ค่าพารามิเตอร์ต่างๆ ของโครงสร้างสายอากาศปากแตรรูปกรวยมาตรฐาน สำหรับคำนวณจุดศูนย์กลางเฟส

$$\begin{aligned}
 S &= \frac{\Delta}{\lambda} \\
 &= \frac{a^2}{2\lambda R} \\
 &= \frac{(1.875\lambda)^2}{2\lambda(4.417\lambda)} \\
 S &= 0.397
 \end{aligned} \tag{3.30}$$

นำค่า S ที่ได้ไปเทียบในตารางที่ 3.1 เพื่อนำค่าที่ได้จากตารางไปทำการคำนวณจุดศูนย์กลางเฟสจากค่า S เท่ากับ 0.397 จะได้ค่า L_{ph}/R_h ของระนาบสนามแม่เหล็กเท่ากับ 0.471 และ L_{ph}/R_e ของระนาบสนามไฟฟ้าเท่ากับ 0.807 ดังนั้นจะได้ค่าจุดศูนย์กลางเฟสดังนี้

$$\begin{aligned}
 \text{จุดศูนย์กลางเฟสในระนาบสนามไฟฟ้า} &= 0.807R \\
 &= 0.807 \times 4.417\lambda \\
 &= 3.56\lambda \text{ หรือ } 10.693 \text{ เซนติเมตร} \\
 \text{จุดศูนย์กลางเฟสในระนาบสนามแม่เหล็ก} &= 0.446R \\
 &= 0.446 \times 4.417\lambda \\
 &= 1.753\lambda \text{ หรือ } 5.263 \text{ เซนติเมตร}
 \end{aligned}$$

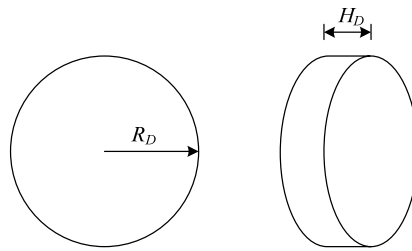
จากการคำนวณจะได้ระยะค่าจุดศูนย์กลางเฟสที่ระนาบสนามไฟฟ้าเท่ากับ 3.56 λ หรือ 10.693 เซนติเมตร และจุดศูนย์กลางเฟสที่ระนาบสนามแม่เหล็กเท่ากับ 1.753 λ หรือ 5.263 เซนติเมตร จากทฤษฎีในการคำนวณหาค่าจุดศูนย์กลางเฟสเนื่องจากระยะจุดศูนย์กลางเฟสในระนาบสนามไฟฟ้ากับระนาบสนามแม่เหล็กมีระยะที่แตกต่างกันจึงต้องนำระยะที่คำนวณได้จากทั้งสองระนาบมาทำการหารค่าระยะเฉลี่ย โดยจุดศูนย์กลางเฟสที่ได้เท่ากับ 2.554 λ หรือ 7.625 เซนติเมตรดังแสดงในรูปที่ 4.18 ในการพิจารณาตำแหน่งเฉลี่ยในการวางโหนดไดอิเล็กตริก



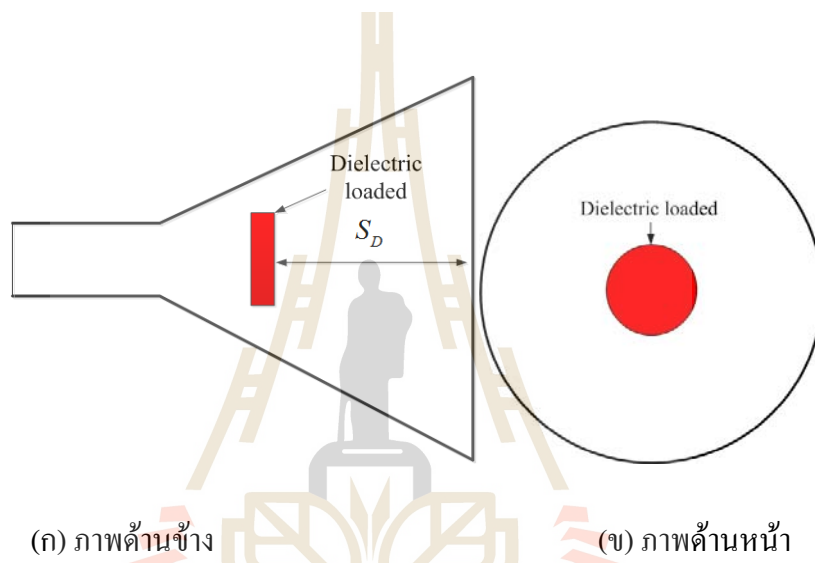
รูปที่ 4.18 ตำแหน่งจุดศูนย์กลางเฟสสายอากาศปากแตรรูปกรวยขนาดมาตรฐาน

4.3.2 การออกแบบและวิเคราะห์รูปแบบโครงสร้างโหลดไดอิเล็กตริก

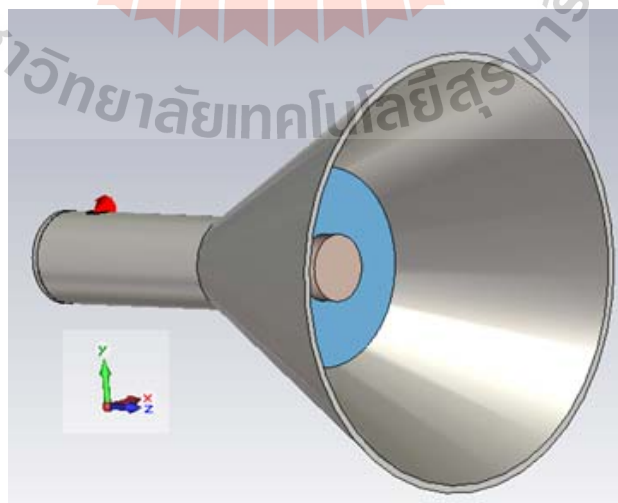
จากหัวข้อที่ผ่านมาได้ทำการคำนวณหาจุดศูนย์กลางเฟสเพื่อใช้ในการพิจารณา กำหนดจุดในการวางโหลดไดอิเล็กตริก โดยขั้นตอนในการพิจารณาโครงสร้างโหลดไดอิเล็กตริก นั้นในการออกแบบรูปแบบโครงสร้างโหลดไดอิเล็กตริกนั้นจากการศึกษาวิจัยที่ผ่านมาพบว่าการพิจารณาดำเนินการวางโหลดไดอิเล็กตริกนั้นได้ทำการจัดวางไว้ ณ ตำแหน่งจุดศูนย์กลางเฟส ดังนั้นในการพิจารณาดำเนินการวางโหลดไดอิเล็กตริกในงานวิจัยนี้จึงทำการ กำหนดตำแหน่งในการวางโหลดไดอิเล็กตริกไว้ ณ จุดศูนย์กลางเฟสแล้วจึงทำการจำลองการ ออกแบบและวิเคราะห์รูปแบบของโหลดไดอิเล็กตริกที่เหมาะสมกับสายอากาศปากแตรรูปกรวย ขนาดมาตรฐานเพื่อปรับปรุงแบบรูปการแผ่พลังงานให้สมมาตรและลดระดับพูซังในขั้นตอนแรก ได้ทำการเลือกวัสดุเพื่อใช้ในการออกแบบโหลดไดอิเล็กตริกโดยคำนึงถึงองค์ประกอบพื้นฐานคือ หาได้ง่ายตามท้องตลาดราคาถูกและน้ำหนักเบา โดยในการพิจารณาการใส่โหลดไดอิเล็กตริกเข้าไป ภายในสายอากาศปากแตรรูปกรวย โดยเลือกชนิดของไดอิเล็กตริกคือ ซุปเปอร์ลีน(Superlene)หรือ พอลิเอไมด์(Polyamide)ซึ่งมีค่าสภาพยอมทางไฟฟ้า (Permittivity) เท่ากับ 3.5และกำหนด โครงสร้างในการออกแบบเป็นรูปทรงกระบอกซึ่งมีรูปทรงที่สัมพันธ์กับโครงสร้างของสายอากาศ ปากแตรรูปกรวยดังแสดงในรูปที่ 4.19และลักษณะการวางตำแหน่งของโหลดไดอิเล็กตริกดังแสดง ในรูปที่ 4.20โดยทำการกำหนดตำแหน่งในการวางโหลดไดอิเล็กตริกไว้ ณ ตำแหน่งจุดศูนย์กลาง เฟส



รูปที่ 4.19 โครงสร้างโหนดไดอิเล็กตริก



รูปที่ 4.20 การวางตำแหน่งโหนดไดอิเล็กตริกภายในสายอากาศปากแตรรูปกรวย

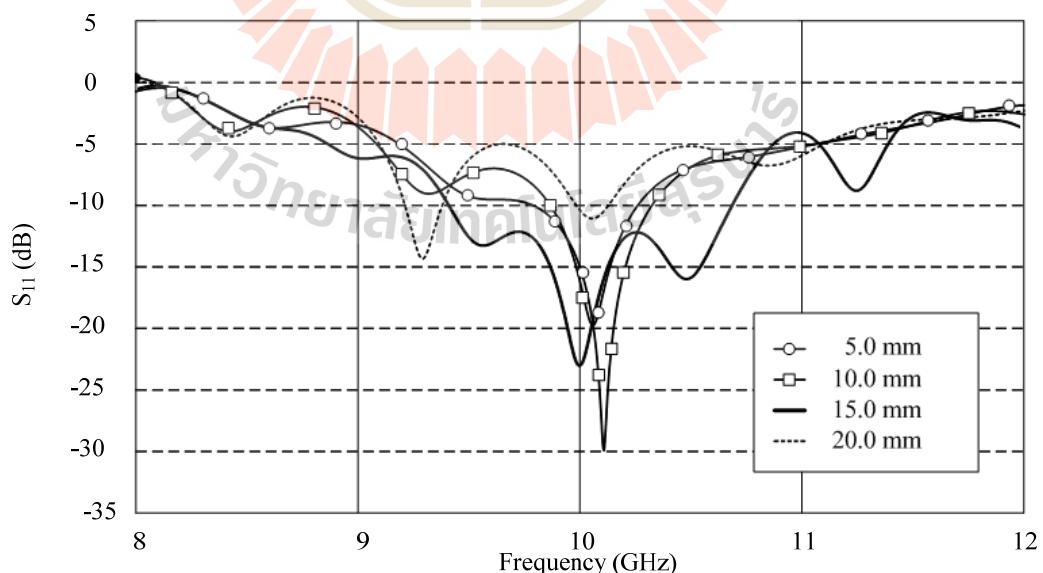


รูปที่ 4.21 โครงสร้างสายอากาศปากแตรรูปกรวยกรณีใส่โหนดไดอิเล็กตริกที่ทำการจำลองการออกแบบด้วยโปรแกรม CST

ในการออกแบบโหนดไดอิเล็กตริกได้ทำการจำลองการทำงานด้วยโปรแกรมสำเร็จรูป CST โดยในรูปที่ 4.21 แสดงรูปแบบโครงสร้างสายอากาศปากแตรรูปกรวยกรณีสู่โหนดไดอิเล็กตริกที่ทำการจำลองการออกแบบด้วยโปรแกรม CST เพื่อทำการพิจารณาค่าพารามิเตอร์ของโหนดไดอิเล็กตริกโดยทำพิจารณาจากการหาค่ารัศมีโหนดไดอิเล็กตริก(R_D) ความหนาของโหนดไดอิเล็กตริกที่เหมาะสม(H_D) และระยะตำแหน่งการวางโหนดไดอิเล็กตริก(S_D) ที่เหมาะสมเพื่อให้ได้แบบรูปการแผ่พลังงานที่สมมาตรและระดับพู่ข้างต่ำ

4.3.2.1 การพิจารณาขนาดรัศมีของโหนดไดอิเล็กตริก

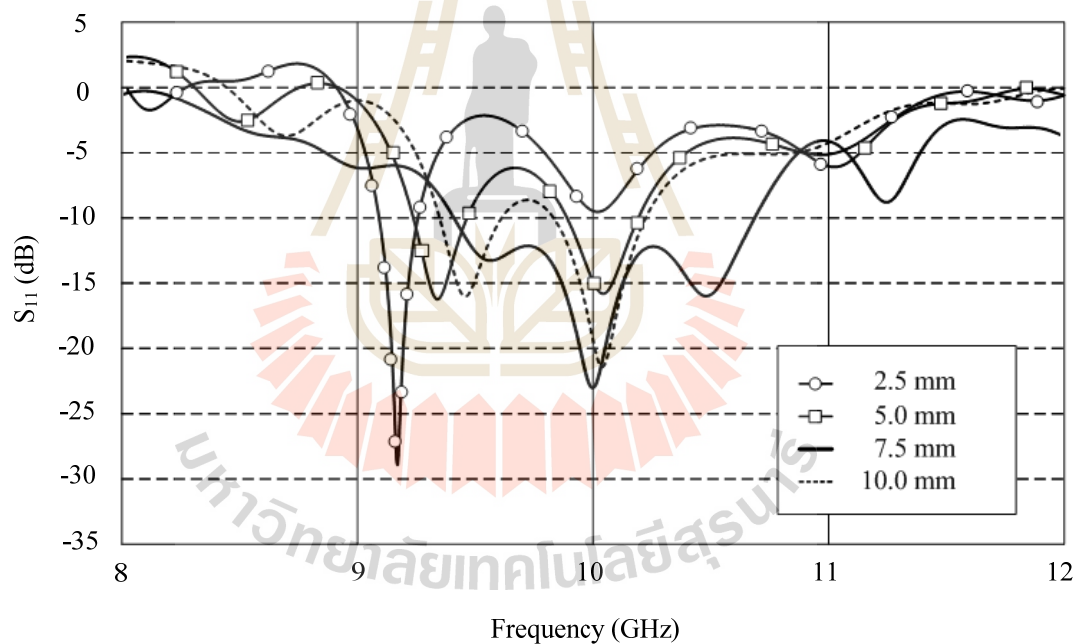
ในการพิจารณาขนาดรัศมีของโหนดไดอิเล็กตริก(R_D) ได้ทำการกำหนดพารามิเตอร์คือความหนาของโหนดไดอิเล็กตริก(H_D) เท่ากับ $\lambda/4$ และระยะตำแหน่งการวางโหนดไดอิเล็กตริกอยู่ ณ ตำแหน่งจุดศูนย์กลางเฟส (H_D) เท่ากับ 2.554λ จากนั้นทำการพิจารณารัศมีของโหนดไดอิเล็กตริกจำนวน 4 ค่าได้แก่ 5 มิลลิเมตร 10 มิลลิเมตร 15 มิลลิเมตร และ 20 มิลลิเมตร ตามลำดับ ซึ่งจากการจำลองด้วยโปรแกรมสำเร็จรูป CST เมื่อทำการพิจารณาค่าสัมประสิทธิ์การสะท้อนกลับ (S_{11}) ดังแสดงในรูปที่ 4.22 พบว่าค่าสัมประสิทธิ์การสะท้อนกลับจากการพิจารณาขนาดรัศมีของโหนดไดอิเล็กตริกที่ใส่เข้าไปภายในสายอากาศปากแตรที่มีขนาดรัศมีของโหนดไดอิเล็กตริกเท่ากับ 15 มิลลิเมตร หรือ $\lambda/2$ ทำให้ค่าสัมประสิทธิ์การสะท้อนกลับ (S_{11}) ตอบสนองกับความถี่เรโซแนนซ์ที่ความถี่กลางของสายอากาศปากแตรที่ออกแบบคือ 10 GHz



รูปที่ 4.22 ผลการเปรียบเทียบค่าสัมประสิทธิ์การสะท้อนของโหนดไดอิเล็กตริกที่รัศมี (R_D) ขนาดต่างๆ

4.3.2.2 การพิจารณาขนาดความหนาของโพลดีไดอิเล็กตริก

ในการพิจารณาขนาดความหนาของโพลดีไดอิเล็กตริก (H_D) โดยทำการกำหนดพารามิเตอร์คือรีซีมิของโพลดีไดอิเล็กตริก (R_D) จากการพิจารณาในหัวข้อก่อนหน้ามีค่าเท่ากับ $\lambda/2$ และระยะตำแหน่งการวางโพลดีไดอิเล็กตริกอยู่ ณ ตำแหน่งจุดศูนย์กลางเฟส (S_D) เท่ากับ 2.554λ จากนั้นทำการพิจารณาขนาดความหนาของโพลดีไดอิเล็กตริกจำนวน 4 ค่าคือ 2.5 มิลลิเมตร 5 มิลลิเมตร 7.5 มิลลิเมตร และ 10 มิลลิเมตร ตามลำดับ ซึ่งจากการจำลองด้วยโปรแกรมสำเร็จรูป CST เมื่อทำการพิจารณาค่าสัมประสิทธิ์การสะท้อนกลับ (S_{11}) ดังแสดงในรูปที่ 4.23 พบว่าค่าสัมประสิทธิ์การสะท้อนกลับจากการพิจารณาขนาดรีซีมิของโพลดีไดอิเล็กตริกที่ใส่เข้าไปภายในสายอากาศปากแตรที่มีขนาดความหนาของโพลดีไดอิเล็กตริกเท่ากับ 7.5 มิลลิเมตร หรือ $\lambda/4$ ทำให้ค่าสัมประสิทธิ์การสะท้อนกลับ (S_{11}) สอดคล้องกับความถี่เรโซแนนซ์ที่ความถี่กลางของสายอากาศปากแตรที่ออกแบบคือ 10 GHz

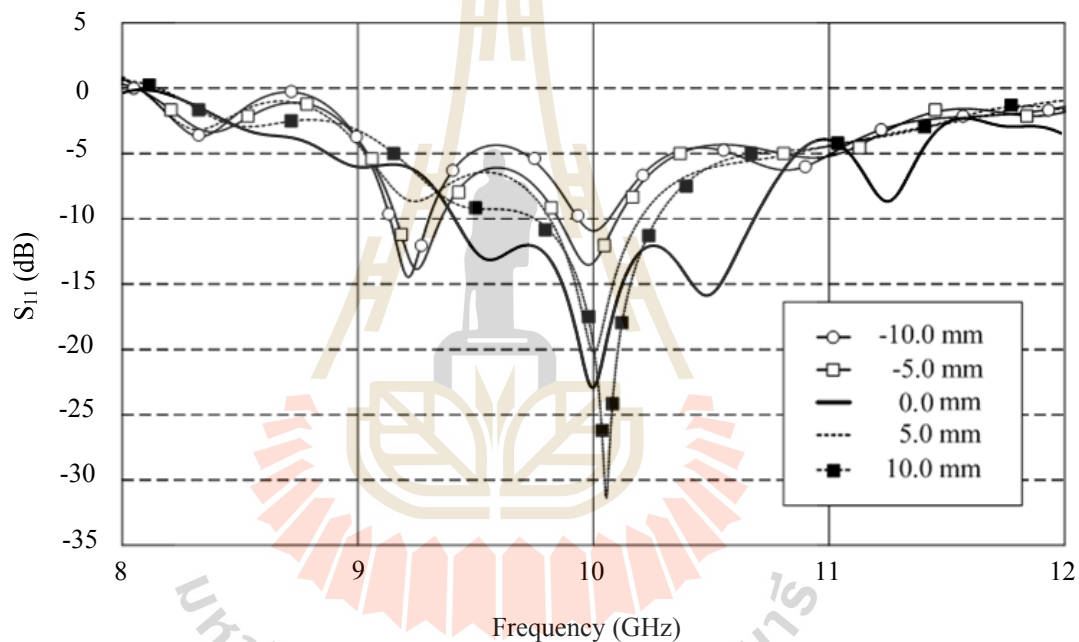


รูปที่ 4.23 ผลการเปรียบเทียบค่าสัมประสิทธิ์การสะท้อนของโพลดีไดอิเล็กตริกที่ขนาดความหนา (H_D) ต่างๆ

4.3.2.3 การพิจารณาค่าตำแหน่งการวางโพลดีไดอิเล็กตริก

จากขั้นตอนในการออกแบบและวิเคราะห์ตำแหน่งการวางโพลดีไดอิเล็กตริก โดยทำการกำหนดตำแหน่งเริ่มต้นในการวาง ณ จุดศูนย์กลางเฟสของสายอากาศ ในขั้นตอนนี้ จะทำการพิจารณาค่าตำแหน่งของโพลดีไดอิเล็กตริกที่ตำแหน่งระยะการวางโพลดีไดอิเล็กตริก

(S_D) โดยทำการกำหนดพารามิเตอร์คือรัศมีของโหนดไดอิเล็กตริก (R_D) จากการพิจารณาในหัวข้อก่อนหน้ามีค่าเท่ากับ $\lambda/2$ และความหนาของโหนดไดอิเล็กตริก (H_D) เท่ากับ $\lambda/4$ จากนั้นทำการพิจารณา ระยะตำแหน่งของโหนดไดอิเล็กตริก โดยทำการพิจารณาตำแหน่งการวางโดยเลื่อนออกจาก ตำแหน่งจุดศูนย์กลางเฟสจำนวน 4 ค่าคือ -10 มิลลิเมตร -5 มิลลิเมตร 0 มิลลิเมตร 5 มิลลิเมตรและ 10 มิลลิเมตร ตามลำดับ ซึ่งจากการจำลองด้วยโปรแกรมสำเร็จรูป CST เมื่อทำการพิจารณาค่า สัมประสิทธิ์การสะท้อนกลับ (S_{11}) ดังแสดงในรูปที่ 4.24 พบว่าค่าสัมประสิทธิ์การสะท้อนกลับ ณ ที่ ตำแหน่งของโหนดไดอิเล็กตริกอยู่ที่จุดศูนย์กลางเฟสทำให้ค่าสัมประสิทธิ์การสะท้อนกลับ (S_{11}) ตอบสนองกับความถี่เรโซแนนซ์ที่ความถี่กลางของสายอากาศปากแตรที่ออกแบบคือ 10 GHz

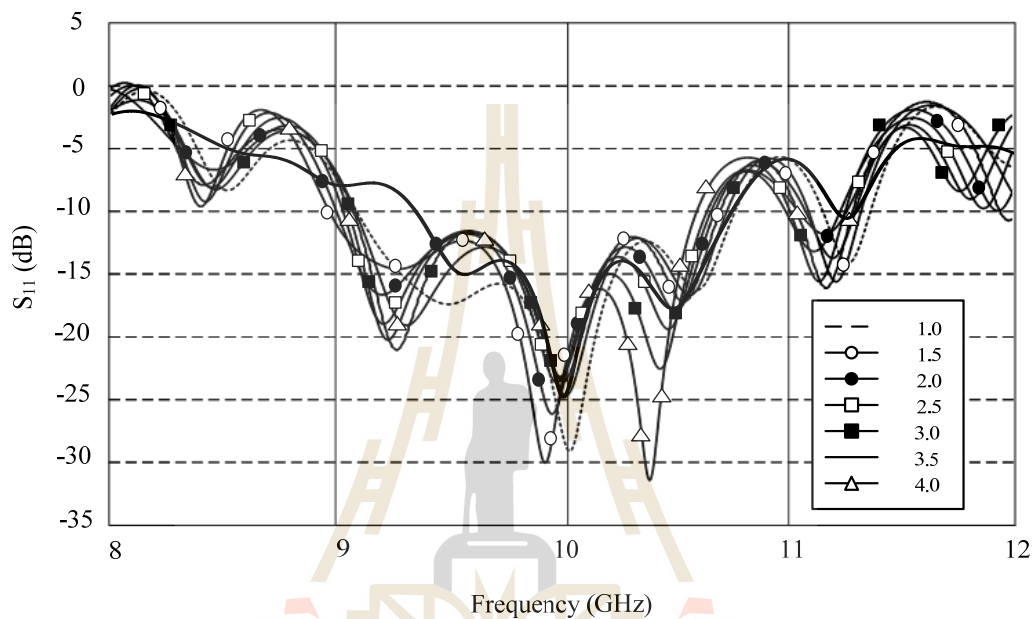


รูปที่ 4.24 ผลการเปรียบเทียบค่าสัมประสิทธิ์การสะท้อนของโหนดไดอิเล็กตริกที่ตำแหน่ง ระยะการวางโหนดไดอิเล็กตริก(S_D)ห่างจากจุดศูนย์กลางเฟส

4.3.2.4 การพิจารณาค่าสภาพยอมทางไฟฟ้าของไดอิเล็กตริก

ในขั้นตอนนี้จะทำการพิจารณาค่าสภาพยอมทางไฟฟ้าหรือชนิดของ ไดอิเล็กตริก โดยทำการกำหนดพารามิเตอร์สำหรับการพิจารณาคือรัศมีของโหนดไดอิเล็กตริก (R_D) ค่าเท่ากับ $\lambda/2$ ความหนาของโหนดไดอิเล็กตริก (H_D) เท่ากับ $\lambda/4$ และตำแหน่งระยะการวาง โหนดไดอิเล็กตริก (S_D) ที่ตำแหน่งจุดศูนย์กลางเฟสที่ได้จากการพิจารณาในหัวข้อก่อนหน้านี้ ในการ พิจารณาค่าสภาพยอมทางไฟฟ้าหรือชนิดของไดอิเล็กตริก โดยทำการพิจารณาค่าสภาพยอมทาง

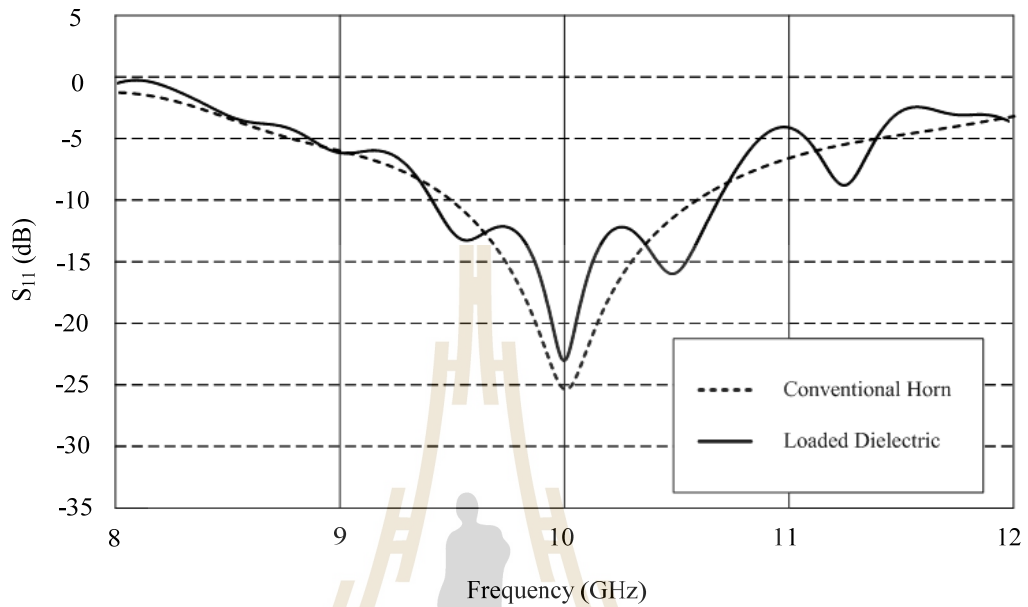
ไฟฟ้าคือ 1.0 1.5 2.0 2.5 3.0 3.5 และ 4.0 ตามลำดับ ซึ่งจากการจำลองด้วยโปรแกรมสำเร็จรูป CST เมื่อทำการพิจารณาค่าสัมประสิทธิ์การสะท้อนกลับ (S_{11}) ดังแสดงในรูปที่ 4.25 พบว่าค่าสัมประสิทธิ์การสะท้อนกลับในกรณีที่มีค่าสภาพยอมทางไฟฟ้ามีค่าเท่ากับ 3.5 นั้น ค่าสัมประสิทธิ์การสะท้อนกลับ (S_{11}) ตอบสนองกับความถี่เรโซแนนซ์ที่ความถี่กลางของสายอากาศปากแตรที่ออกแบบคือ 10 GHz



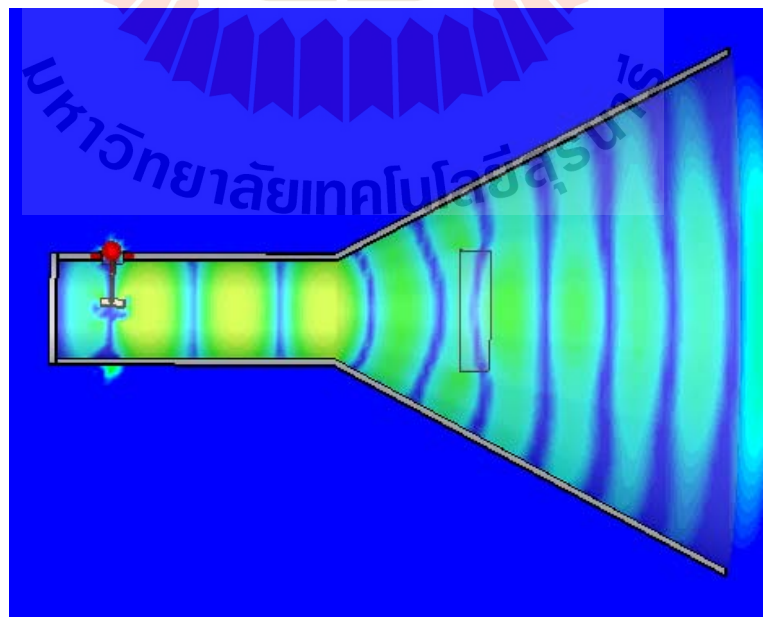
รูปที่ 4.25 ผลการเปรียบเทียบค่าสัมประสิทธิ์การสะท้อนของโหนดค่าสภาพยอมทางไฟฟ้า

จากการพิจารณาค่าพารามิเตอร์ของเทคนิคการใส่โหนดไดอิเล็กทริกภายในสายอากาศปากแตรรูปกรวย จากรูปที่ 4.26 แสดงการเปรียบเทียบค่าสัมประสิทธิ์การสะท้อนกลับของสายอากาศปากแตรรูปกรวยขนาดมาตรฐานกับสายอากาศปากแตรรูปกรวยขนาดมาตรฐานกรณีที่มีโหนดไดอิเล็กทริกภายในสายอากาศพบว่าเมื่อทำการใส่โหนดไดอิเล็กทริกเข้าไปภายในสายอากาศปากแตรรูปกรวยโดยทำการเลือกค่าพารามิเตอร์ต่างๆ ที่เหมาะสมแล้วพบว่าค่าสัมประสิทธิ์การสะท้อนกลับที่ความถี่เรโซแนนซ์ของสายอากาศ (10 GHz) ของสายอากาศทั้งสองแบบใกล้เคียงกัน และเมื่อทำการพิจารณาในส่วนของความกว้างแถบความถี่ที่ $S_{11} \leq -10$ dB สายอากาศพบว่ามีขนาดความถี่แถบความถี่ของสายอากาศปากแตรรูปกรวยที่ทำการใส่โหนดไดอิเล็กทริกเข้าไปภายในจะมีขนาดที่แคบลง เนื่องจากการใส่โหนดไดอิเล็กทริกเข้าไปภายในสายอากาศปากแตรซึ่งถูกออกแบบไว้ที่ความถี่กลางที่ 10 GHz จึงทำให้เกิดการเรโซแนนซ์ได้ดีที่ความถี่กลางแต่ยังมีการสะท้อนกลับของพลังงานในสายอากาศปากแตร นอกจากนี้พบว่าในส่วน

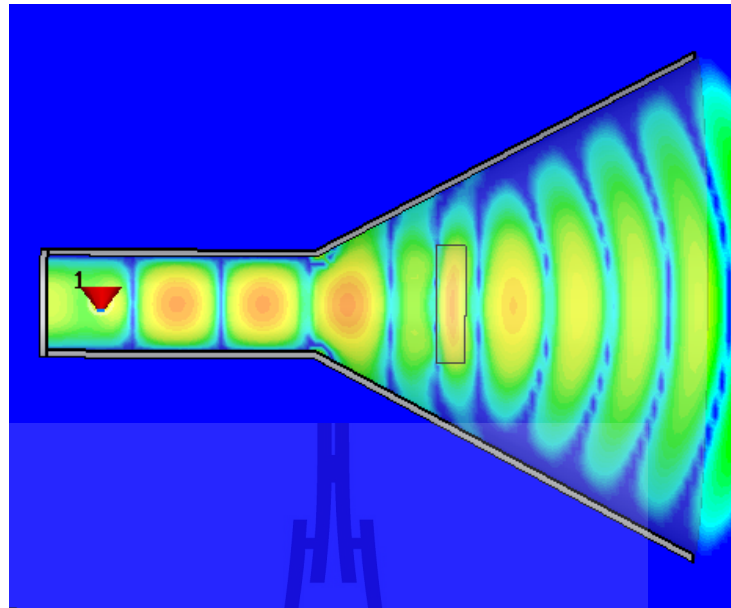
ของความถี่ที่ใกล้เคียงความถี่กลางทั้งด้านความถี่ที่ต่ำกว่าและสูงกว่าความถี่กลางจะมีการสะท้อนกลับพลังงานค่อนข้างมากเนื่องจากโครงสร้างของโหนดไดอิเล็กตริกนั้นเรโซแนนซ์ได้ดี ณ ความถี่กลางเท่านั้น



รูปที่ 4.26 ผลการเปรียบเทียบค่าสัมประสิทธิ์การสะท้อนกลับของสายอากาศปากแตร รูปกรวยขนาดมาตรฐานกับสายอากาศปากแตรรูปกรวยขนาดมาตรฐาน กรณีใส่โหนดไดอิเล็กตริก

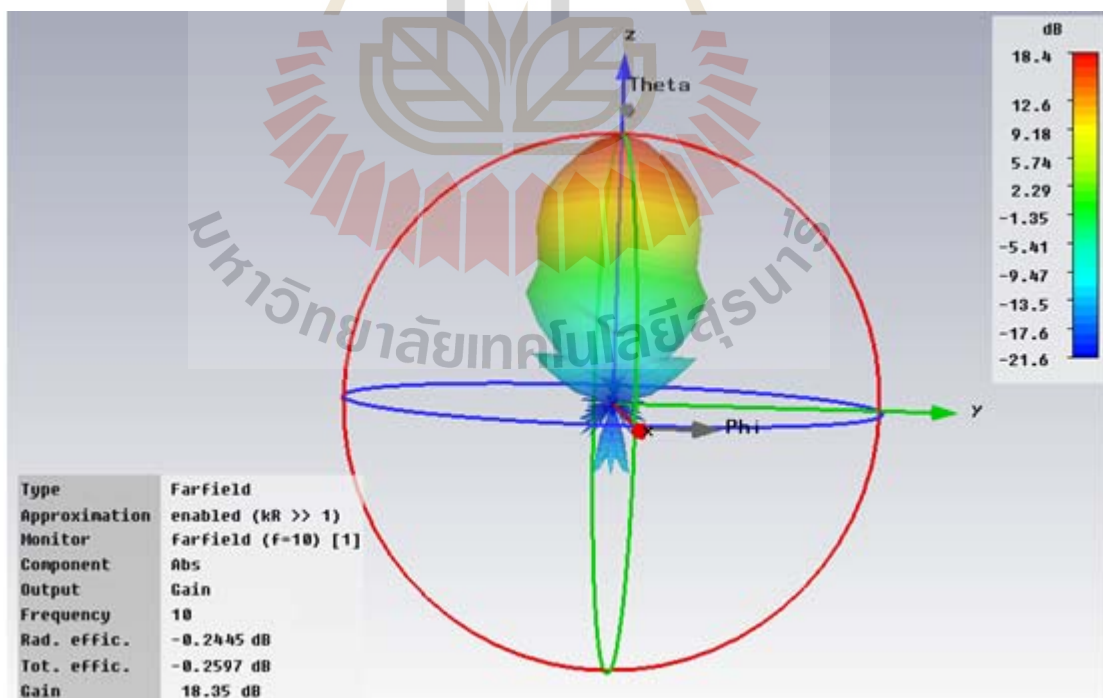


(ก) ระนาบสนามไฟฟ้า

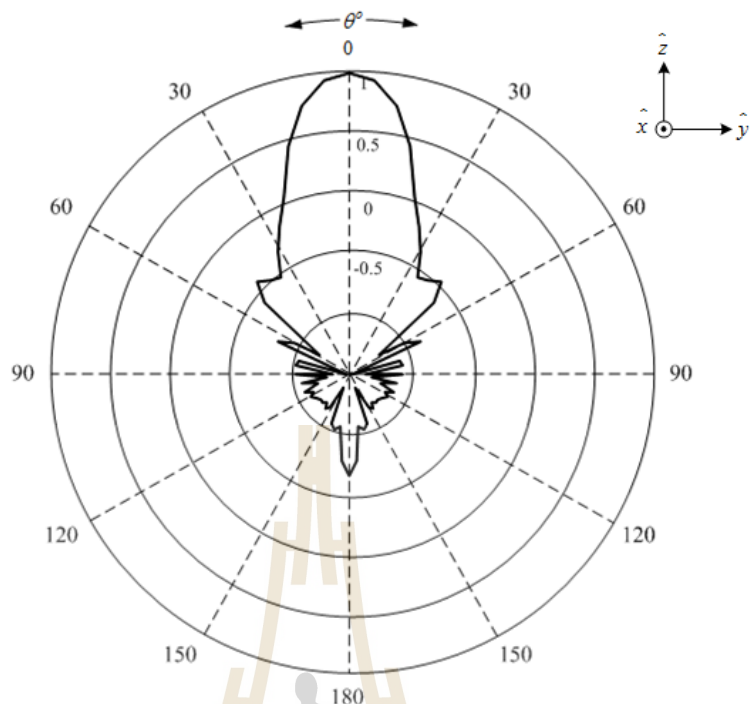


(ข) ระนาบสนามแม่เหล็ก

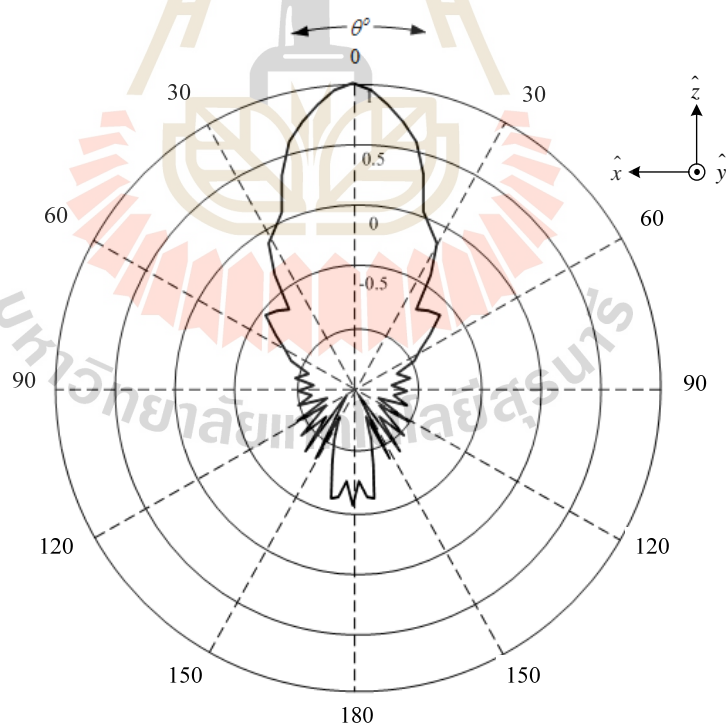
รูปที่ 4.27 ผลการจำลองเฟสแบบรูปการแผ่พลังงานของสายอากาศปากแตรรูปกรวย
ขนาดมาตรฐานกรณีใส่โหลดไดอิเล็กตริกที่ทำการจำลองด้วยโปรแกรม CST



รูปที่ 4.28 ผลการจำลองแบบรูปการแผ่พลังงานด้วยโปรแกรม CST ในรูปแบบ 3 มิติของ
สายอากาศปากแตรรูปกรวยขนาดมาตรฐานกรณีใส่โหลดไดอิเล็กตริก



(ก) ระนาบสนามไฟฟ้า

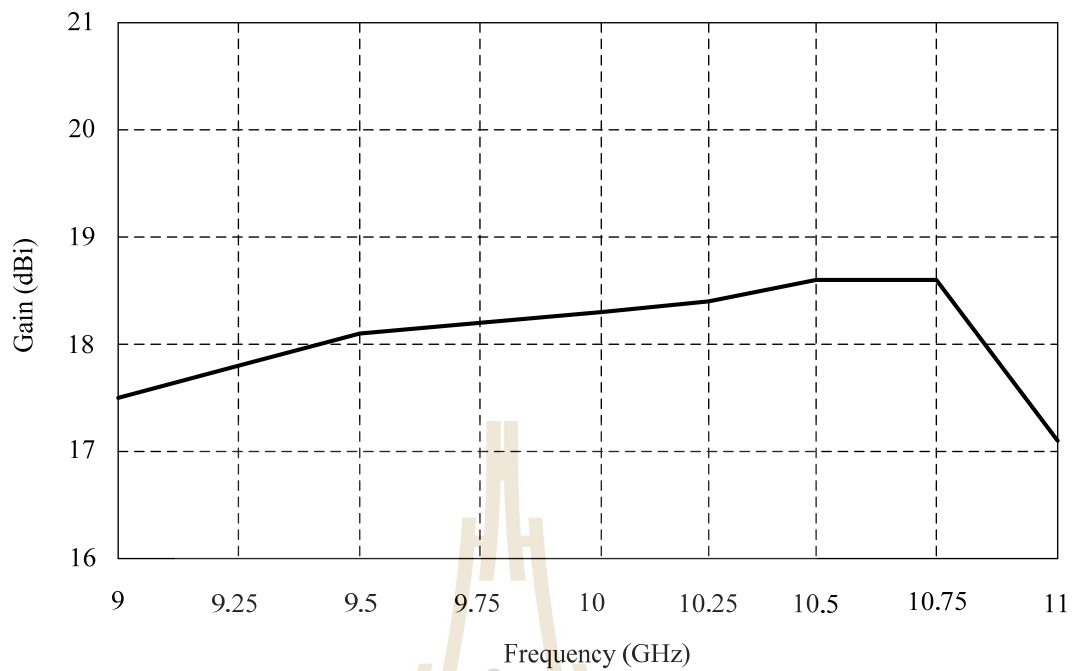


(ข) ระนาบสนามแม่เหล็ก

รูปที่ 4.29 ผลการจำลองแบบรูปการแผ่พลังงานของสายอากาศปากแตรรูปกรวย
ขนาดมาตรฐานกรณีใส่โหลดไดโอดีเล็กตรีก

ในรูปที่ 4.27 ได้แสดงเฟสการแผ่พลังงานของสายอากาศปากแตรรูปกรวยขนาดมาตรฐานกรณีใส่โหนดไดอิเล็กตริกพบว่าเมื่อเฟสเดินจากท่อนาคลื่นมายังโหนดไดอิเล็กตริกเฟสส่วนหนึ่งที่เดินทางมายังโหนดไดอิเล็กตริกจะมีความเร็วเฟสที่ลดลงก่อนเดินทางออกไปยังปากอะเพอร์เจอร์ของสายอากาศและเฟสในส่วนที่ไม่ได้เดินทางมายังโหนดไดอิเล็กตริกก็จะเดินทางด้วยความเร็วปกติไปยังปากอะเพอร์เจอร์ของสายอากาศจึงทำให้เมื่อเฟสการแผ่กระจายพลังงานทั้งหมดเมื่อเดินทางออกไปยังปากอะเพอร์เจอร์ของสายอากาศจะเป็นคลื่นแนวระนาบ(planar wave) ซึ่งเมื่อเปรียบเทียบกับสายอากาศปากแตรขนาดมาตรฐานแล้วเฟสของคลื่นที่เดินทางไปยังปากอะเพอร์เจอร์ของสายอากาศจะเป็นคลื่นทรงกลม(spherical wave)และในรูปที่ 4.28แสดงแบบรูปการแผ่พลังงานในรูปแบบ 3 มิติของสายอากาศปากแตรรูปกรวยมาตรฐานกรณีใส่โหนดไดอิเล็กตริกที่ได้จากการจำลองการทำงานด้วยโปรแกรม CST พบว่าแบบรูปการแผ่พลังงานของสายอากาศปากแตรที่ได้มีลักษณะที่สมมาตรและมีค่าอัตราขยายของสายอากาศเท่ากับ 18.4 dBi เมื่อพิจารณาในส่วน of ค่าประสิทธิภาพของสายอากาศพบว่าสายอากาศมีประสิทธิภาพเท่ากับ 94.2% ในส่วนของแบบรูปการแผ่พลังงานที่ทำให้เป็นนอร์มัลไลซ์แล้วที่ความถี่ปฏิบัติการ 10 GHz พบว่าในระนาบสนามไฟฟ้า (E-Plane) และระนาบสนามแม่เหล็ก (H-Plane) มีขนาดความกว้างลำคลื่นครึ่งกำลังที่ได้จากทั้ง 2 ระนาบมีแบบรูปการแผ่พลังงานที่เกิดขึ้นสมมาตรกันดังแสดงในรูปที่ 4.29 อีกทั้งแบบรูปการแผ่พลังงานที่ได้มีขนาดของพู่ข้างในระนาบสนามไฟฟ้ากับระนาบสนามแม่เหล็กลดลงจากเดิมดังแสดงในตารางที่ 4.3 โดยมีอัตราขยายของสายอากาศปากแตรกรณีใส่โหนดไดอิเล็กตริกจากการจำลองการออกแบบด้วยโปรแกรมสำเร็จรูป CST ในช่วงความถี่ตั้งแต่ 9 GHz – 11 GHz ดังแสดงในรูปที่ 4.30

จากตารางที่ 4.3 แสดงผลสรุปค่าพารามิเตอร์ต่างๆ ที่ได้จากการออกแบบและวิเคราะห์ผล โดยทำการเปรียบเทียบระหว่างสายอากาศปากแตรรูปกรวยขนาดมาตรฐานกับสายอากาศปากแตรรูปกรวยเมื่อทำการใส่โหนดไดอิเล็กตริกพบว่าเมื่อทำการใส่โหนดไดอิเล็กตริกเข้าไปภายในสายอากาศปากแตรรูปกรวยทำให้อัตราขยายเพิ่มขึ้นเท่ากับ 18.4 dBi โดยเพิ่มขึ้นจากเดิม 0.7 dBi นอกจากนี้ยังให้ขนาดของความกว้างลำคลื่นกำลังมีขนาดที่สมมาตรขึ้น โดยขนาดความกว้างลำคลื่นกำลังในระนาบสนามไฟฟ้าเท่ากับ 17.6° และระนาบสนามแม่เหล็กเท่ากับ 17.9° และในส่วน of ระดับพู่ข้างของสายอากาศพบว่ามีขนาดลดลงจากเดิม และมีระดับของพู่ข้างทั้งในระนาบสนามไฟฟ้าและระนาบสนามแม่เหล็กใกล้เคียงกัน โดยมีค่าอยู่ที่ -24.5 dB และ -25.9 dB ตามลำดับ



รูปที่ 4.30 ผลการจำลองอัตราขยายของสายอากาศปากแตรรูปกรวยกรณีใส่โหลดไดอิเล็กตริกในช่วงความถี่ตั้งแต่ 9 GHz -11 GHz

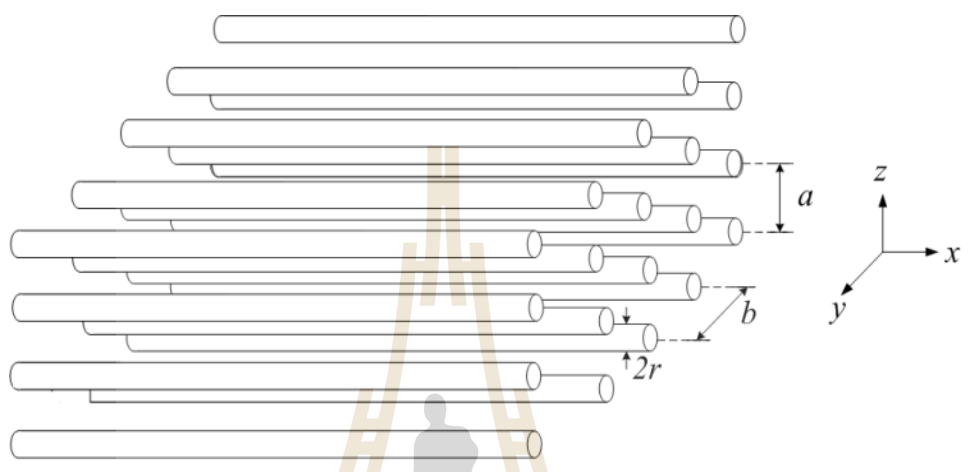
ตารางที่ 4.3 การเปรียบเทียบค่าพารามิเตอร์ต่างๆ ระหว่างสายอากาศปากแตรขนาดมาตรฐานกับสายอากาศปากแตรกรณีใส่โหลดไดอิเล็กตริก

| ชนิด | อัตราขยาย [dBi] | ระดับพ่วง [dB] | |
|--|-----------------|----------------|---------------|
| | | ระนาบสนามไฟฟ้า | ระนาบแม่เหล็ก |
| สายอากาศปากแตรรูปกรวยขนาดมาตรฐาน | 17.7 | -29.4 | -22.7 |
| สายอากาศปากแตรรูปกรวยเมื่อทำการใส่โหลดไดอิเล็กตริก | 18.4 | -24.5 | -25.9 |

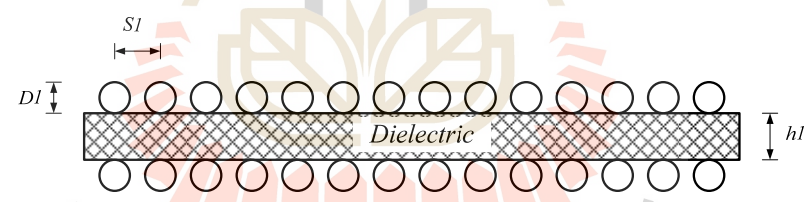
4.4 การออกแบบโครงสร้างตัวกลางแบบเส้นลวด

จากการศึกษาทฤษฎีและหลักการออกแบบโครงสร้างตัวกลางแบบเส้นลวดดังที่ได้อธิบายไว้ในบทที่ 3 แล้วในหัวข้อนี้จะกล่าวถึงการออกแบบและวิเคราะห์โครงสร้างตัวกลางแบบเส้นลวดเพื่อให้มีรูปแบบโครงสร้างที่เหมาะสมและช่วยเพิ่มประสิทธิภาพของแบบรูปการแผ่พลังงานของสายอากาศปากแตรรูปกรวยซึ่งวัตถุประสงค์ในการออกแบบโครงสร้างตัวกลางแบบเส้นลวดนั้นเน้น

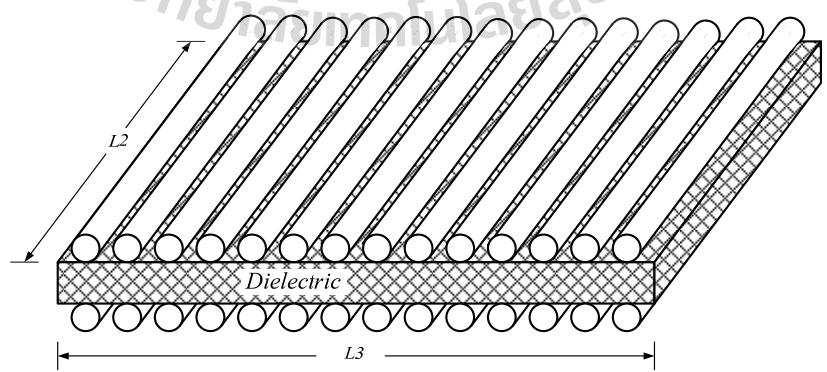
ให้รูปแบบโครงสร้างที่ได้มีขนาดกะทัดรัดและเป้าหมายในออกแบบโครงสร้างตัวกลางแบบเส้นลวดให้วางอยู่ในแนวระนาบปากอะเพอร์เจอร์ของสายอากาศปากแคบหรือวางห่างจากปากอะเพอร์เจอร์ของสายอากาศปากแคบให้มีระยะน้อยที่สุด เพื่อให้ได้โครงสร้างของสายอากาศปากแคบที่พัฒนาขึ้นมีรูปทรงใกล้เคียงกับสายอากาศปากแคบขนาดมาตรฐาน



รูปที่ 4.31 โครงสร้างพื้นฐานตัวกลางแบบเส้นลวด

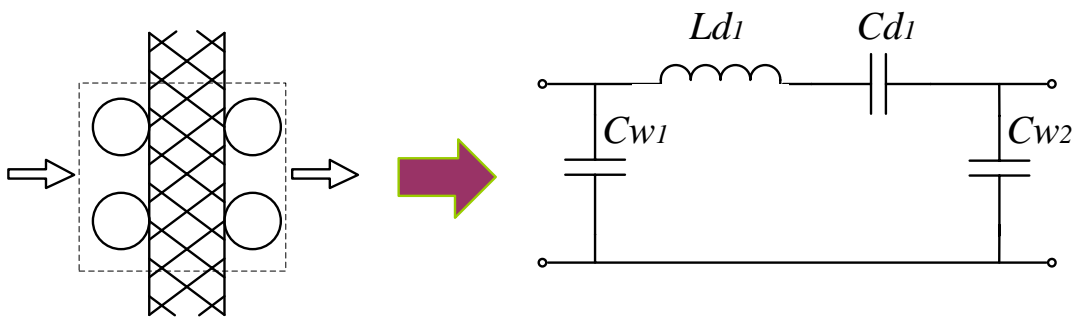


(ก) ด้านข้าง



(ข) โครงสร้างทั้งหมด

รูปที่ 4.32 โครงสร้างตัวกลางแบบเส้นลวดที่ทำการออกแบบ



รูปที่4.33วงจรเรโซแนนซ์ที่เกิดจากโครงสร้างสื่อตัวกลางแบบเส้นลวด

จากโครงสร้างของตัวกลางแบบเส้นลวดจะประกอบด้วยกรวางเรียงเส้นลวดขนาดเล็กวางในแนวระนาบขนานกันแล้ววางซ้อนกันเป็นชั้นๆที่ระยะห่างระหว่างชั้นเท่าๆกันดังแสดงในรูปที่ 4.31 ในการออกแบบโครงสร้างตัวกลางแบบเส้นลวดโดยทำการออกแบบที่ความถี่รีโซแนนซ์ที่ความถี่กลาง (center frequency) $f_0 = 10$ GHz จากทฤษฎีได้กล่าวถึงขนาดของเส้นลวดที่เลือกใช้ในนำการออกแบบตัวกลางต้องมีขนาดรัศมีของเส้นลวดน้อยกว่าความยาวคลื่นของความถี่ที่ใช้ในการออกแบบมากๆ ($r \ll \lambda$) อีกทั้งระยะห่างระหว่างการวางเรียงกันของเส้นลวด (b) และระยะห่างระหว่างชั้น (a) จะต้องน้อยกว่าความยาวคลื่นของความถี่ที่ใช้ในการออกแบบมากๆเช่นกัน ดังนั้นในการเลือกขนาดของเส้นลวดได้ทำการเลือกขนาดรัศมีของเส้นลวด (r) เท่ากับ 0.75 มิลลิเมตร ในการออกแบบตัวกลางแบบเส้นลวดระยะห่างระหว่างเส้นลวดที่วางเรียงขนานกัน (b) เท่ากับ 3.5 มิลลิเมตร ระยะห่างระหว่างชั้น (a) เท่ากับ 3.5 มิลลิเมตร และจำนวนชั้นของเส้นลวด (n) เท่ากับ 2 ชั้น โดยช่องว่างคั่นระหว่างชั้นของเส้นลวดได้ออกแบบโดยเลือกใช้ชนิดไดอิเล็กทริกคือ โพลีเอไมด์ซึ่งมีค่า $\epsilon_r = 3.5$ เป็นค่าเริ่มต้นในการพิจารณาออกแบบ ดังแสดงในรูปที่ 4.32 จากโครงสร้างตัวกลางแบบเส้นลวดสามารถแสดงวงจรสมมูลของโครงสร้างที่ทำให้เกิดการเรโซแนนซ์ผ่านโครงสร้างดังแสดงในรูปที่ 4.33 เนื่องจากโครงสร้างตัวกลางแบบเส้นลวดนั้นมีคุณสมบัติของอิมพีแดนซ์คือมีค่าสภาพยอมทางไฟฟ้าเข้าใกล้ศูนย์ ดังนั้นในขั้นตอนการออกแบบจึงต้องมีการพิจารณาโครงสร้างโดยทำการคำนวณเพื่อหาค่าสภาพยอมทางไฟฟ้าของสื่อตัวกลางแบบเส้นลวด (ϵ_{WM}) เพื่อพิสูจน์ว่าโครงสร้างที่ทำการออกแบบนั้นมีคุณสมบัติอิมพีแดนซ์หรือค่าสภาพยอมทางไฟฟ้าเข้าใกล้ศูนย์โดยใช้สมการ(3.32)

$$\epsilon_{WM} = \epsilon_0 \epsilon_{rh} \left(1 - \frac{k_p^2}{\epsilon_{rh} k_0^2 - k_y^2} \right) \quad (3.32)$$

จากสมการ(3.35)

$$k_p^2 = \frac{2\pi}{a^2 (\ln(a/2\pi r) + 0.5275)}$$

$$k_p^2 = \frac{2\pi}{(3.5\text{mm})^2 [\ln(3.5/2\pi \times 0.75) + 0.5275]}$$

$$= 33.194$$

หาค่า k_0^2

$$k_0^2 = \left(\frac{k}{\sqrt{\epsilon_h}} \right)^2$$

$$= \left(\frac{\omega}{c \cdot \epsilon_h} \right)^2$$

$$= \left(\frac{2\pi \times 10 \times 10^9}{3 \times 10^8 \times 3.5} \right)^2$$

$$k_0^2 = 3.580 \times 10^3$$

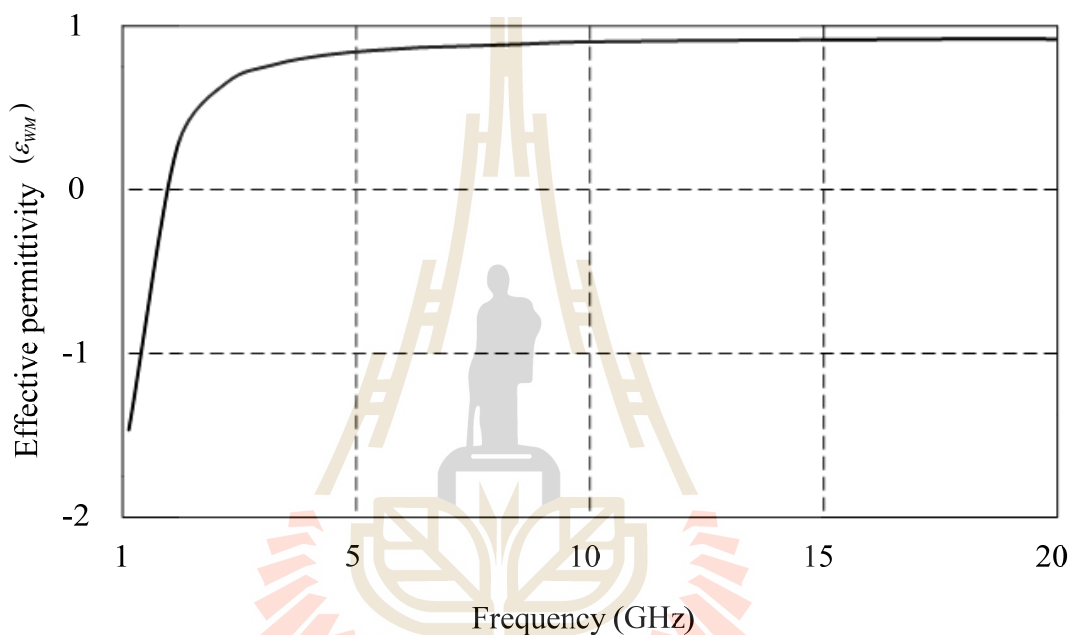
ดังนั้น

$$\epsilon_{WM} = \epsilon_0 \epsilon_{rh} \left(1 - \frac{k_p^2}{\epsilon_{rh} k_0^2 - k_y^2} \right)$$

$$= 3.5 \times \left(1 - \frac{33.194}{3.5 \times (3.580)^2} \right)$$

$$\epsilon_{WM} = 0.79$$

จากการคำนวณพบว่าที่ความถี่ 10 GHz ค่าสภาพยอมทางไฟฟ้าของโครงสร้างตัวกลางแบบเส้นลวดมีค่าเท่ากับ 0.79 ($\epsilon_{WM} = 0.79$) และในรูปที่ 4.34 แสดงกราฟความสัมพันธ์ค่าสภาพยอมทางไฟฟ้าของโครงสร้างตัวกลางแบบเส้นลวดที่ได้จากการคำนวณในสมการที่ (3.32) ที่ช่วงความถี่ตั้งแต่ 1 GHz – 20 GHz จากกราฟพบว่าจากโครงสร้างตัวกลางแบบเส้นลวดที่นำเสนอมีคุณสมบัติทำให้เกิดค่าสภาพยอมทางไฟฟ้าเข้าใกล้ศูนย์และที่ความถี่ต่ำกว่า 1.5 GHz ทำให้เกิดค่าสภาพยอมทางไฟฟ้ามีค่าติดลบซึ่งก็เป็นอีกหนึ่งคุณสมบัติของอภิวัด

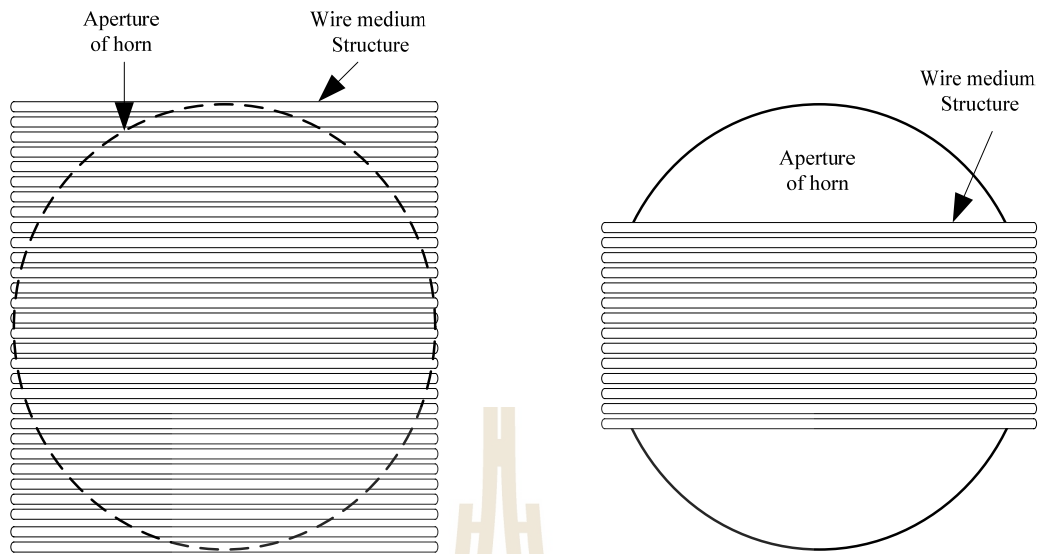


รูปที่ 4.34 กราฟแสดงค่าสภาพยอมทางไฟฟ้าของโครงสร้างตัวกลางแบบเส้นลวดที่ความถี่ต่าง ๆ

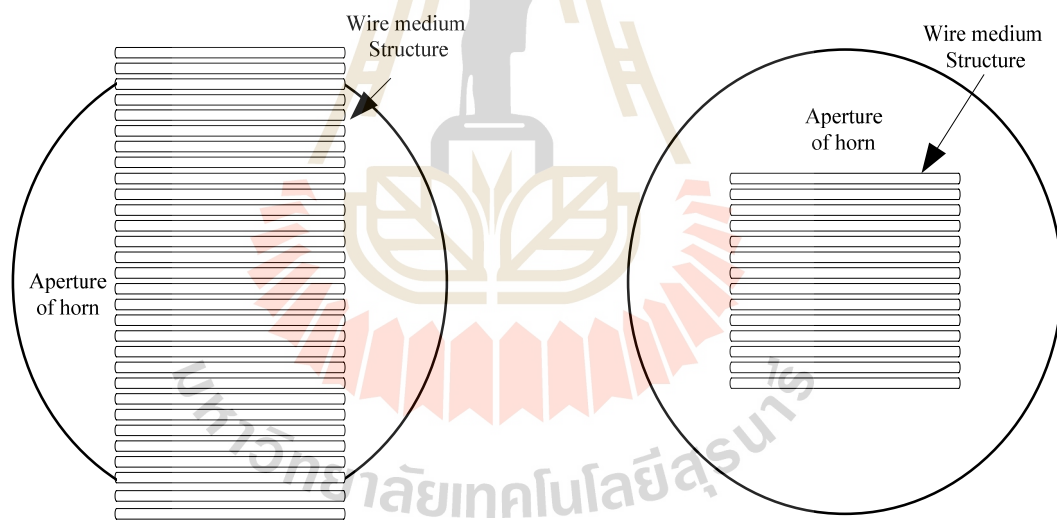
4.5 การพิจารณาโครงสร้างตัวกลางแบบเส้นลวดสำหรับทำงานร่วมกับสายอากาศปากแตรรูปกรวยขนาดมาตรฐาน

ในหัวข้อนี้จะกล่าวถึงการออกแบบโครงสร้างตัวกลางแบบเส้นลวดและตำแหน่งการวางที่เหมาะสมเพื่อเพิ่มประสิทธิภาพสายอากาศปากแตรรูปกรวย โดยในการออกแบบเริ่มจากการพิจารณารูปแบบโครงสร้างตัวกลางแบบเส้นลวดที่เหมาะสมโดยทำการกำหนดรูปแบบโครงสร้างของตัวกลางแบบเส้นลวดอยู่ 4 รูปแบบดังแสดงในรูปที่ 4.35 และในรูป 4.36 แสดงการจำลองรูปแบบโครงสร้างตัวกลางแบบเส้นลวดอยู่ 4 รูปแบบที่ต้องร่วมกับสายอากาศปากแตรรูปกรวยด้วยโปรแกรม CST ซึ่งโครงสร้างตัวกลางแบบเส้นลวดนั้นได้กำหนดการรูปแบบจัดเรียงเส้นลวดของตัวกลางแบบเส้นลวดในทิศทางแนวนอนตัดขวางทิศทางสนามแม่ไฟฟ้าที่แผ่พลังงานเพียงเท่านั้น

เนื่องด้วยการจัดเรียงเส้นลวดในแนวตั้งซึ่งเป็นแนวเดียวกับสนามแม่เหล็กไฟฟ้าที่แผ่พลังงานออกจากท่อนำคลื่นอีกทั้งระยะห่างระหว่างเส้นลวดมีระยะน้อยกว่าความยาวคลื่นมากๆ จะทำให้คลื่นไม่สามารถแผ่พลังงานผ่านโครงสร้างตัวกลางแบบเส้นลวดได้ โดยในการพิจารณารูปแบบการจัดเรียงและวางโครงสร้างตัวกลางแบบเส้นลวดทั้ง 4 รูปแบบ โดยในรูปแบบ A ทำการออกแบบให้มีโครงสร้างตัวกลางแบบเส้นลวดปิดครอบปากอะเพอร์เจอร์ของสายอากาศ เพื่อพิจารณาว่าเมื่อคลื่นเดิมทางมายังโครงสร้างตัวกลางแบบเส้นลวดจะเกิดผลกระทบต่อความถี่เรโซแนนซ์ของสายอากาศในรูปแบบ B ทำการออกแบบโครงสร้างตัวกลางแบบเส้นลวดโดยยังคงรูปแบบของโครงสร้างแบบ A แต่ทำการลดจำนวนของเส้นลวดที่ทำการจัดเรียงลง เพื่อพิจารณาโครงสร้างดังกล่าวนี้มีผลกระทบต่อการเรโซแนนซ์ความถี่ในระนาบสนามไฟฟ้า ในส่วนของรูปแบบ C ทำพิจารณาโครงสร้างตัวกลางแบบเส้นลวดโดยทำการลดขนาดความกว้างของตัวกลางแบบเส้นลวดลงแต่ยังคงวางเรียงแนวเส้นลวดเต็มปากอะเพอร์เจอร์ของสายอากาศปากแตร เพื่อพิจารณาว่าเมื่อลดขนาดความกว้างของโครงสร้างตัวกลางแบบเส้นลวดลงจะมีผลกระทบต่อความถี่เรโซแนนซ์ของสายอากาศและในรูปแบบสุดท้ายคือ รูปแบบ D ทำการลดขนาดความกว้างและการจัดเรียงเส้นลวดโดยมีขนาดเล็กกว่าปากอะเพอร์เจอร์ของสายอากาศโดยออกแบบให้วาง ณ ตำแหน่งกึ่งกลางปากอะเพอร์เจอร์ของสายอากาศแล้วทำการพิจารณาผลกระทบของโครงสร้างที่เกิดขึ้นต่อความถี่เรโซแนนซ์ ซึ่งในการจัดวางรูปแบบโครงสร้างตัวกลางแบบเส้นลวดทั้ง 4 รูปแบบเพื่อพิจารณาผลกระทบของโครงสร้างที่เกิดขึ้นต่อความถี่เรโซแนนซ์ของสายอากาศปากแตรรูปกรวย โดยทำการกำหนดค่าพารามิเตอร์ของโครงสร้างตัวกลางแบบเส้นลวดซึ่งประกอบด้วยขนาดรัศมีของเส้นลวด (r) เท่ากับ 0.75 มิลลิเมตร ระยะห่างระหว่างเส้นลวดที่วางเรียงขนานกัน (b) เท่ากับ 3.5 มิลลิเมตร ระยะห่างระหว่างชั้น (a) เท่ากับ 3.5 มิลลิเมตร และจำนวนชั้นของเส้นลวด (n) = 2 โดยช่องว่างระหว่างชั้นของเส้นลวดได้ออกแบบโดยไดอิเล็กทริกชนิดซูเปอร์สโตนซึ่งมีค่า $\epsilon_r = 3.5$ และกำหนดตำแหน่งเริ่มในการพิจารณาการวางโครงสร้างตัวกลางแบบเส้นลวดไว้ที่แนวระนาบปากอะเพอร์เจอร์ของสายอากาศปากแตรรูปกรวย

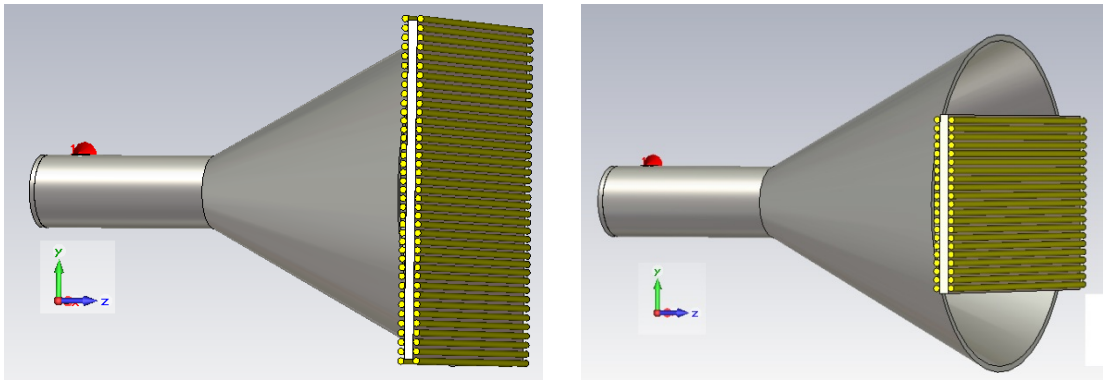


(ก) รูปแบบ A (ข) รูปแบบ B

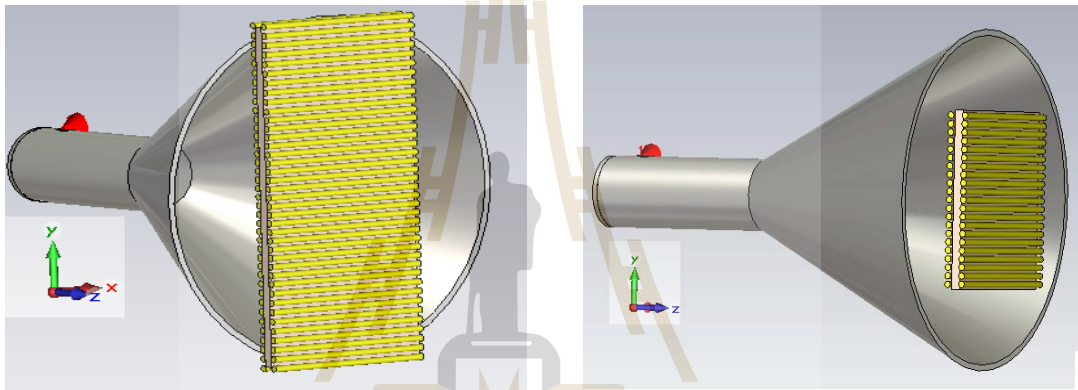


(ค) รูปแบบ C (ง) รูปแบบ D

รูปที่ 4.35 รูปแบบการพิจารณา โครงสร้างของตัวกลางแบบเส้นลวดสำหรับทำงานร่วมกับ
สายอากาศปากแตรรูปกรวย



(ก) รูปแบบ A (ข) รูปแบบ B

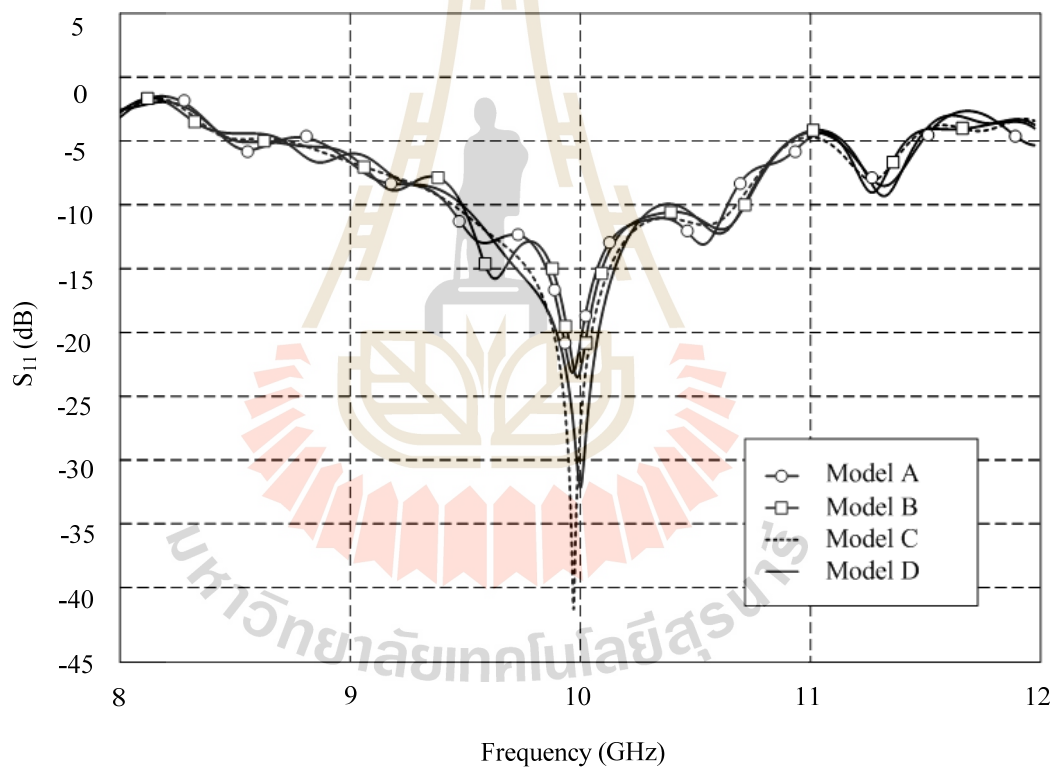


(ค) รูปแบบ C (ง) รูปแบบ D

รูปที่ 4.36 รูปแบบการพิจารณาโครงสร้างของตัวกลางแบบเส้นลวดสำหรับทำงานร่วมกับสายอากาศปากแตรรูปกรวยที่ทำการจำลองด้วยโปรแกรมสำเร็จรูป CST

จากการพิจารณารูปแบบโครงสร้างตัวกลางแบบเส้นลวดสำหรับทำงานร่วมกับสายอากาศปากแตรรูปกรวยที่ได้วิเคราะห์รูปแบบโครงสร้างในการวางในแนวระนาบอะพอร์เจอร์สายอากาศทั้ง 4 รูปแบบ จากการจำลองวิเคราะห์ด้วยโปรแกรมสำเร็จรูป CST พบว่าค่าสัมประสิทธิ์การสะท้อนกลับของรูปแบบโครงสร้างตัวกลางแบบเส้นลวดทั้ง 4 รูปแบบ ดังแสดงในรูปที่ 4.37 นั้น เมื่อทำการพิจารณาความกว้างแถบความถี่ที่ $S_{11} \leq -10$ dB พบว่าทั้ง 4 รูปแบบมีขนาดความกว้างแถบความถี่ที่ใกล้เคียงกัน จากรูปเห็นได้ว่าในรูปแบบ A และ B ที่ความถี่ต่ำกว่าและสูงกว่า เรโซแนนซ์นั้นมีการสะท้อนกลับของคลื่นเกิดขึ้นซึ่งเป็นผลที่เกิดจากโครงสร้างของตัวกลางแบบเส้นลวด โดยทั้งสองรูปแบบมีขนาดความยาวของเส้นลวดที่จัดเรียงเท่ากับขนาดเส้นผ่าศูนย์กลางของปากอะพอร์เจอร์ของสายอากาศ ส่วนในรูปแบบ C และ D พบว่าไม่เกิดการสะท้อนกลับในตัว

โครงสร้างเนื่องจากขนาดความยาวของเส้นลวดที่จัดเรียงมีขนาดสั้นกว่าขนาดเส้นผ่าศูนย์กลางของอะเพอร์เจอร์ของสายอากาศปากแตร โดยแสดงให้เห็นได้ว่าขนาดความยาวของเส้นลวดที่ทำการจัดเรียงเป็นโครงสร้างตัวกลางแบบเส้นลวดนั้นเมื่อมีความยาวที่เหมาะสมโดยที่มีขนาดน้อยกว่าเส้นผ่าศูนย์กลางของปากอะเพอร์เจอร์ของสายอากาศจะทำให้เกิดการสะท้อนกลับของคลื่นน้อย จากรูปที่ 4.37 พบว่ารูปแบบโครงสร้างตัวกลางแบบเส้นลวดในรูปแบบ D นั้นมีค่าสัมประสิทธิ์การสะท้อนกลับ ณ ความถี่เรโซแนนซ์ของสายอากาศเท่ากับ 10 GHz ส่วนในรูปแบบ A, B, และ C มีค่าสัมประสิทธิ์การสะท้อนกลับใกล้เคียงกับความถี่เรโซแนนซ์ของสายอากาศและเมื่อพิจารณาโครงสร้างรูปแบบ C จะเห็นได้ว่าการเรโซแนนซ์ที่ดีกว่ารูปแบบ D แต่เรโซแนนซ์ความถี่ที่ต่ำกว่าความถี่กลาง (10 GHz) เล็กน้อย



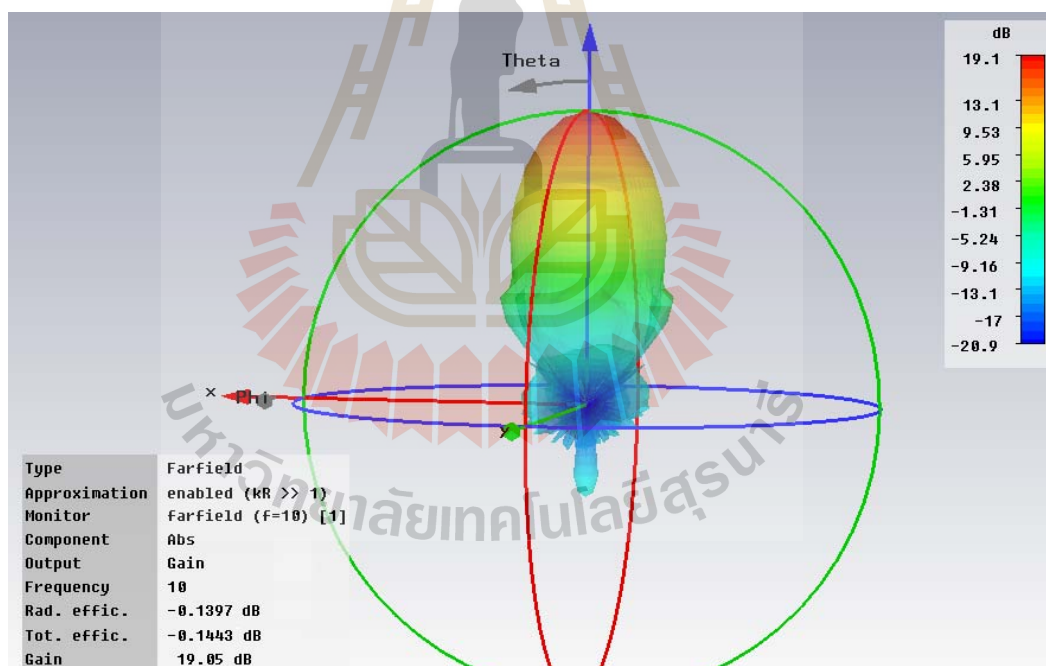
รูปที่ 4.37 การเปรียบเทียบค่าสัมประสิทธิ์การสะท้อนกลับของรูปแบบโครงสร้างตัวกลางแบบเส้นลวดสำหรับทำงานร่วมกับสายอากาศปากแตรรูปกรวย

นอกจากนี้ได้ทำการพิจารณาแบบรูปการแผ่พลังงานของโครงสร้างตัวกลางแบบเส้นลวดทั้ง 4 รูปแบบ โดยในรูปที่ 4.38 ได้แสดงแบบรูปการแผ่พลังงานในรูปแบบ 3 มิติของโครงสร้างตัวกลางแบบเส้นลวดทั้ง 4 รูปแบบที่ต่อร่วมกับสายอากาศปากแตรรูปกรวยขนาดมาตรฐาน โดยใน

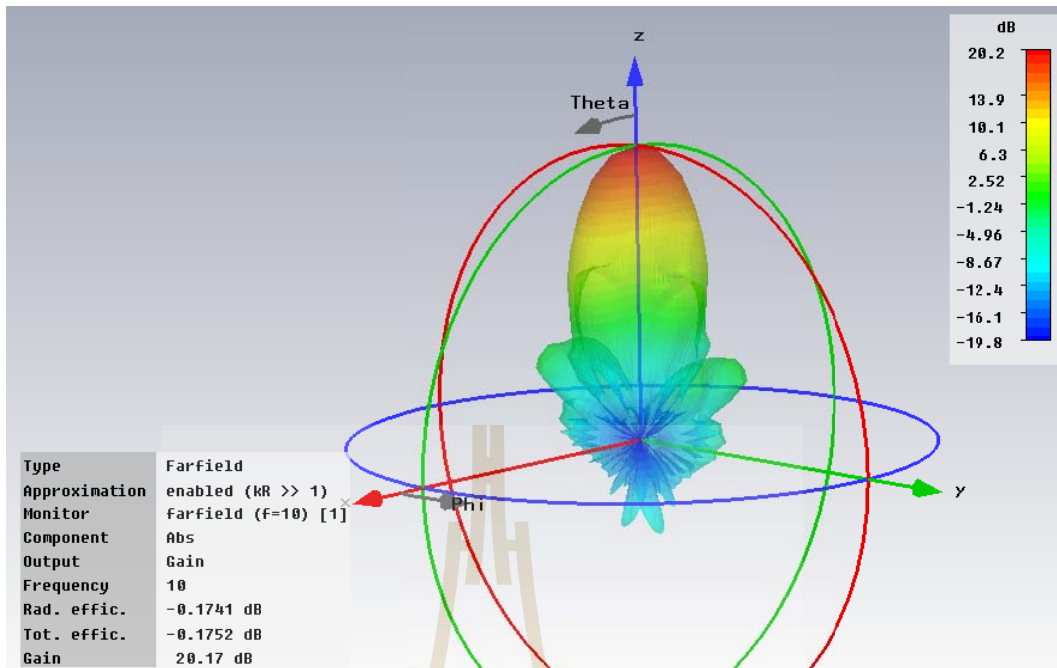
รูป 4.38ก แสดงแบบรูปการแผ่พลังงานในรูปแบบ 3 มิติของโครงสร้างตัวกลางแบบเส้นลวดในรูปแบบ A พบว่าอัตราขยายที่ได้มีค่าเท่ากับ 19.1 dB และประสิทธิภาพของสายอากาศเท่ากับ 93.32% ในรูป 4.38ข แสดงแบบรูปการแผ่พลังงานในรูปแบบ 3 มิติของโครงสร้างตัวกลางแบบเส้นลวดในรูปแบบ B พบว่าอัตราขยายที่ได้มีค่าเท่ากับ 20.2 dB และประสิทธิภาพของสายอากาศเท่ากับ 96.04% ในส่วนของรูปแบบ C ดังแสดงในรูปที่ 4.38ค พบว่ามีอัตราขยายเท่ากับ 19.9 dB และประสิทธิภาพของสายอากาศเท่ากับ 96.45% และในรูปแบบสุดท้ายคือรูปแบบ D ดังแสดงในรูปที่ 4.38ง พบว่าอัตราขยายที่ได้มีค่าเท่ากับ 20.8 dB และประสิทธิภาพของสายอากาศเท่ากับ 96.64% พบว่ารูปแบบ D มีอัตราขยายและประสิทธิภาพสูงที่สุดเมื่อนำมาเทียบกับอีก 3 รูปแบบ จึงกล่าวได้ว่ารูปแบบของโครงสร้างตัวกลางแบบเส้นลวดในรูปแบบ D เป็นรูปแบบที่เหมาะสมต่อการนำมาต่อทำงานร่วมกับสายอากาศปากแตรรูปกรวยขนาดมาตรฐานเพื่อช่วยในการเพิ่มประสิทธิภาพสายอากาศ

ในรูปที่ 4.38 แสดงแบบรูปการแผ่พลังงานในรูปแบบ 3 มิติของสายอากาศปากแตรรูปกรวยขนาดมาตรฐานที่ต่อร่วมกับ โครงสร้างตัวกลางแบบเส้นลวดทั้ง 4 รูปแบบ เมื่อทำการพิจารณาแบบรูปการแผ่พลังงาน โดยการเปรียบเทียบรูปแบบ โครงสร้างตัวกลางแบบเส้นลวดทั้ง 4 รูปแบบ พบว่ารูปแบบ D นั้นมีแบบรูปการแผ่พลังงานทั้งในระนาบสนามไฟฟ้าและสนามแม่เหล็กดีที่สุดในทุกที่ยังมีค่าสภาพเจาะจงทิศทางและอัตราขยายที่สูงกว่า นอกจากนั้นค่าระดับฟูซิงที่เกิดขึ้นต่ำเมื่อทำการเปรียบเทียบระหว่าง โครงสร้างตัวกลางแบบเส้นลวดทั้ง 4 รูปแบบที่ได้ทำการนำเสนอแสดงในรูปที่ 4.39 และจากรูปที่ 4.40 แสดงเฟสในการแผ่พลังงานของรูปแบบ โครงสร้างของตัวกลางแบบเส้นลวดทั้ง 4 รูปแบบ โดยในรูปแบบ A นั้นพบว่าเมื่อเฟสการแผ่พลังงานเดินทางผ่าน โครงสร้างตัวกลางแบบเส้นลวดแล้ว จะเห็นได้ว่าเฟสที่เดินทางผ่าน โครงสร้างตัวกลางแบบเส้นลวดทั้งในระนาบสนามไฟฟ้าและสนามแม่เหล็กมีรูปแบบระนาบโค้งคล้ายกับเฟสที่เดินทางก่อนถึง โครงสร้างของตัวกลางแบบเส้นลวด ในรูปแบบ B เมื่อเฟสเดินทางผ่าน โครงสร้างตัวกลางแบบเส้นลวดแล้ว พบว่าในระนาบสนามไฟฟ้านั้นรูปแบบเฟสที่ได้เป็นแนวระนาบเส้นตรงแต่ในระนาบสนามแม่เหล็กนั้นเฟสที่เดินทางผ่าน โครงสร้างตัวกลางแบบเส้นลวดแล้วเป็นแนวระนาบโค้ง ในส่วนของ โครงสร้างในรูปแบบ C พบว่าเฟสเมื่อเดินทางผ่าน โครงสร้างตัวกลางแบบเส้นลวดแล้วในระนาบสนามไฟฟ้า นั้นเฟสที่ได้เป็นแนวระนาบโค้ง แต่ในระนาบสนามแม่เหล็กนั้นเฟสที่เดินทางผ่าน โครงสร้างตัวกลางแบบเส้นลวดแล้วเป็นแนวระนาบเส้นตรง และในส่วนของรูปแบบ D พบว่าเมื่อเฟสการแผ่พลังงานเดินทางผ่าน โครงสร้างตัวกลางแบบเส้นลวดแล้ว จะเห็นได้ว่าเฟสที่เดินทางผ่าน โครงสร้างตัวกลางแบบเส้นลวดทั้งในระนาบสนามไฟฟ้าและสนามแม่เหล็กมีรูปแบบระนาบเส้นตรงซึ่งกล่าวได้ว่าเฟสเมื่อเดินทางผ่าน โครงสร้างตัวกลางแบบเส้นลวดในรูปแบบ D นั้นทำให้มีประสิทธิภาพดีที่สุดเมื่อเปรียบเทียบกับ โครงสร้างตัวกลางแบบเส้นลวด 3 รูปแบบที่ทำการพิจารณาและในรูปแบบที่

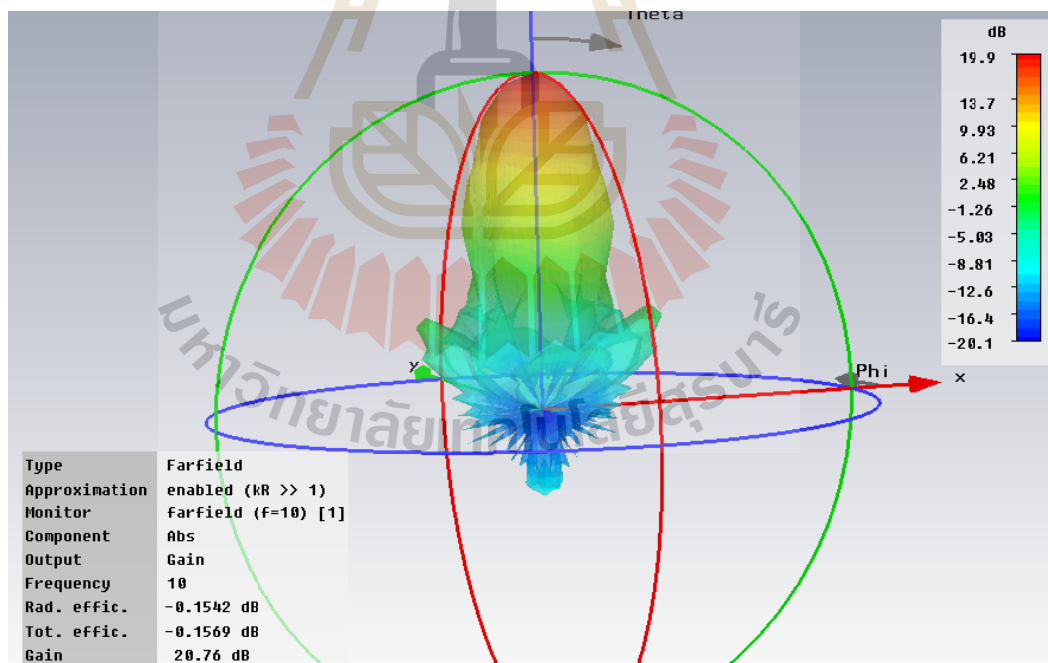
4.41 แสดงการเปรียบเทียบอัตราขยายของรูปแบบโครงสร้างตัวกลางแบบเส้นลวดทำงานร่วมกับสายอากาศปากแตรรูปกรวยในแนวระนาบปากอะเพอร์เจอร์ จากการพิจารณาโครงสร้างทั้งที่ 4 รูปแบบที่ทำการนำเสนอ นั้นพบว่าในรูปแบบโครงสร้าง D มีอัตราขยายของสายอากาศที่ความถี่เรโซแนนซ์สูงที่สุด โดยมีอัตราขยายเท่ากับ 20.9 dB และเมื่อทำการเปรียบเทียบกับสายอากาศปากแตรมาตรฐานนั้นพบว่า มีอัตราขยายเพิ่มขึ้น 3.2 dB จากการพิจารณารูปแบบโครงสร้างตัวกลางแบบเส้นลวดทั้ง 4 รูปแบบที่นำเสนอ นั้นพบว่ารูปแบบโครงสร้าง D นั้นเป็นรูปแบบที่มีความเหมาะสมต่อการทำงานร่วมกับสายอากาศปากแตรรูปกรวย อีกทั้งยังมีขนาดของโครงสร้างที่กะทัดรัดเมื่อทำการติดตั้งเพิ่มเติมเข้าไปไม่ทำให้โครงสร้างของสายอากาศปากแตรขนาดมาตรฐานเปลี่ยนแปลงจากเดิม เนื่องจากในการเพิ่มโครงสร้างตัวกลางแบบเส้นลวดไม่ได้มีการเปลี่ยนแปลงโครงสร้างของสายอากาศปากแตรขนาดมาตรฐานเพียงแต่ทำการนำวางโครงสร้างตัวกลางแบบเส้นลวดวางบนแนวระนาบปากอะเพอร์เจอร์ของสายอากาศปากแตรรูปกรวยขนาดมาตรฐาน



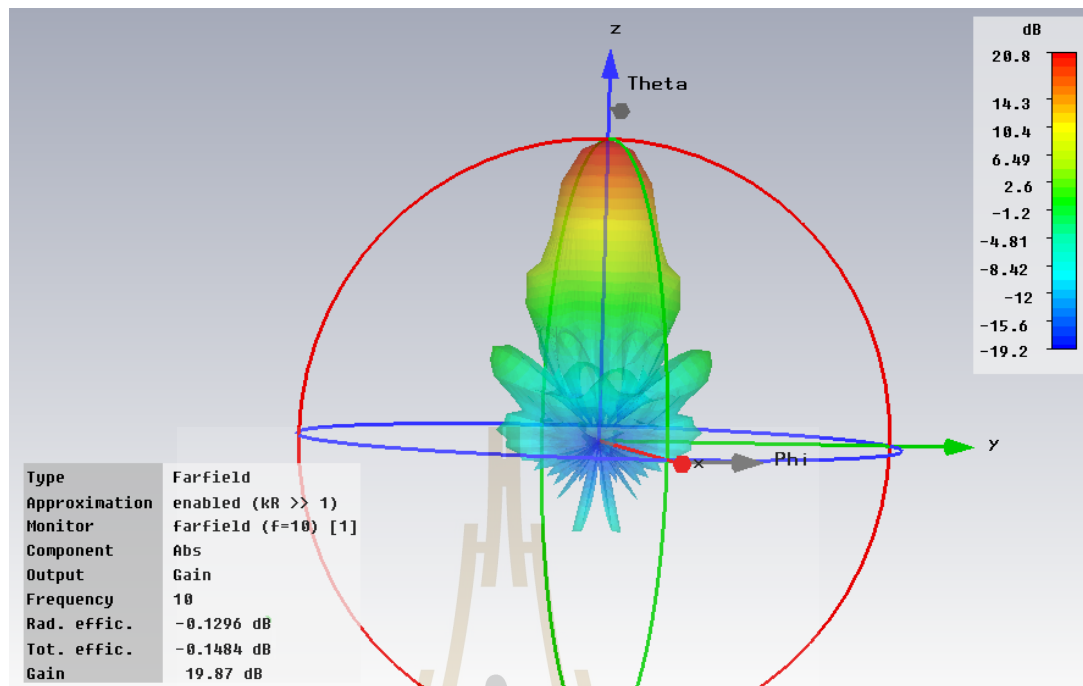
(ก)รูปแบบ A



(จ)รูปแบบ B

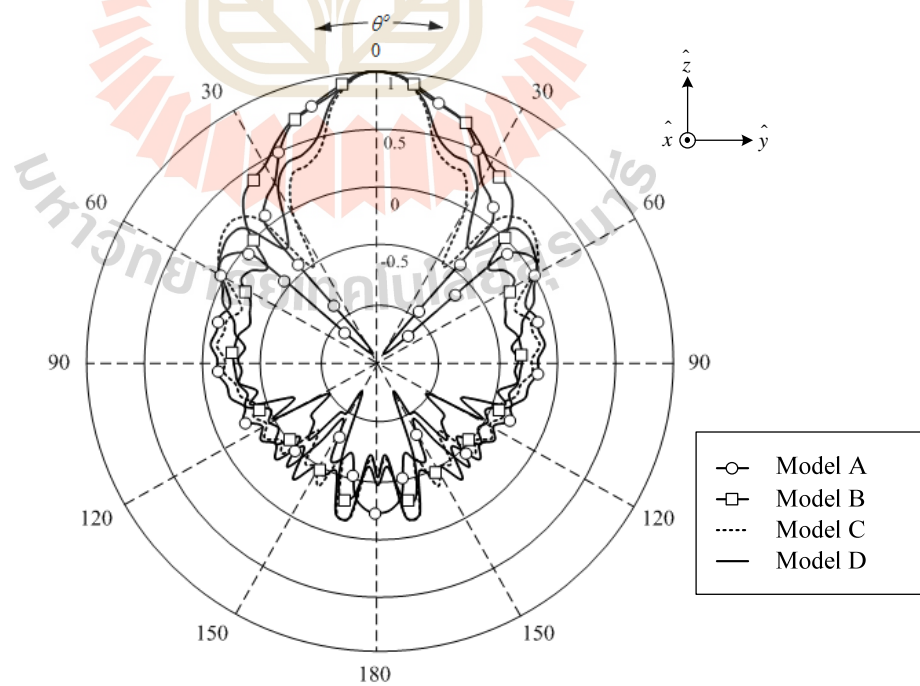


(ค)รูปแบบ C

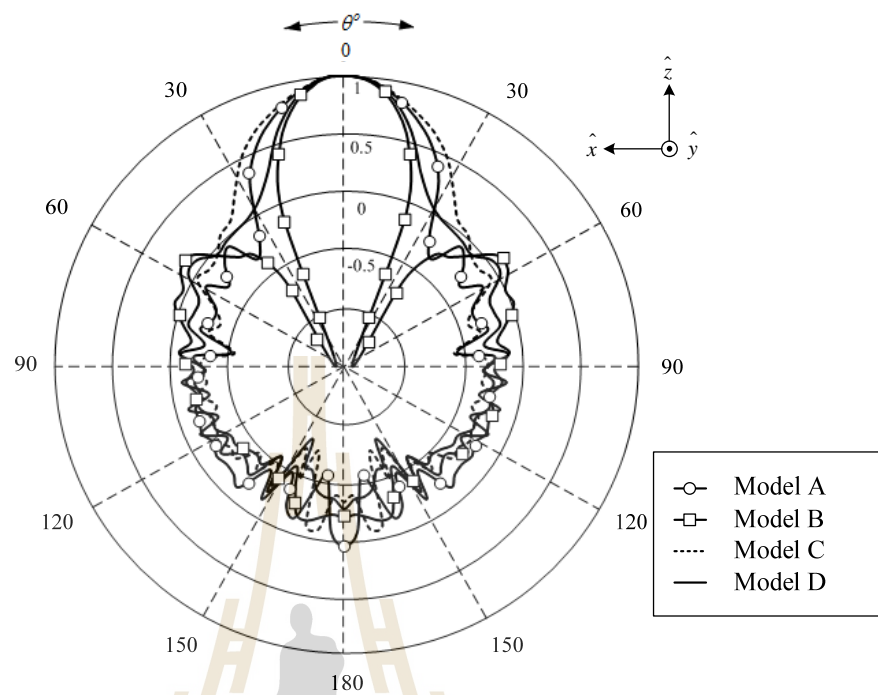


(ง)รูปแบบ D

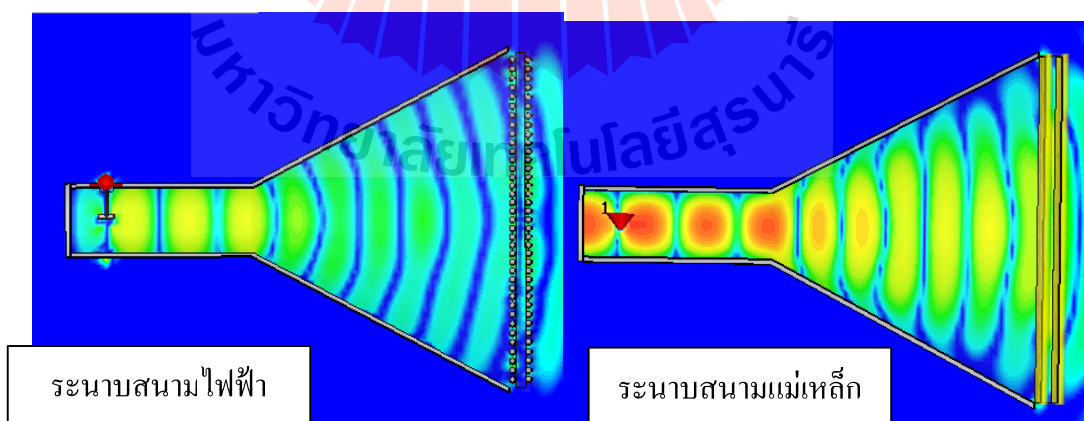
รูปที่ 4.38 ผลการจำลองแบบรูปการแผ่พลังงานในรูปแบบ 3 มิติของสายอากาศปากแตรรูปกรวย ขนาดมาตรฐานที่ต่อร่วมกับ โครงสร้างตัวกลางแบบเส้นลวดทั้ง 4 รูปแบบ

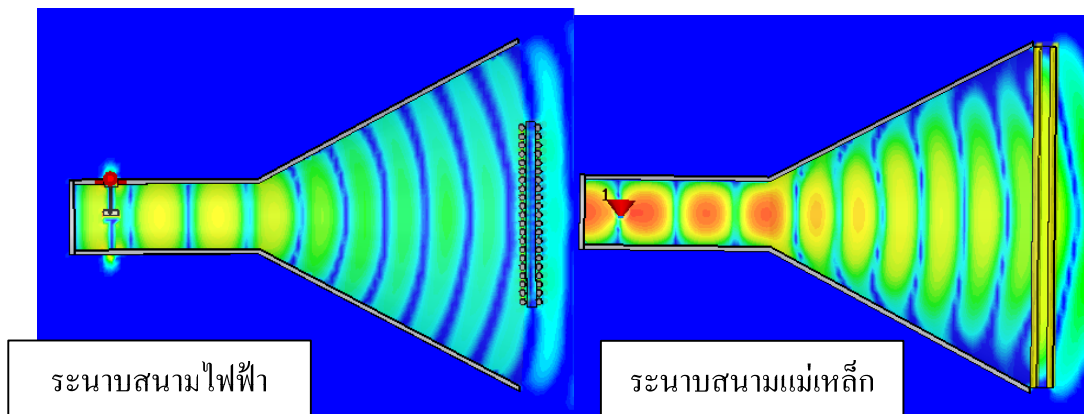


(ก) ระนาบสนามไฟฟ้า

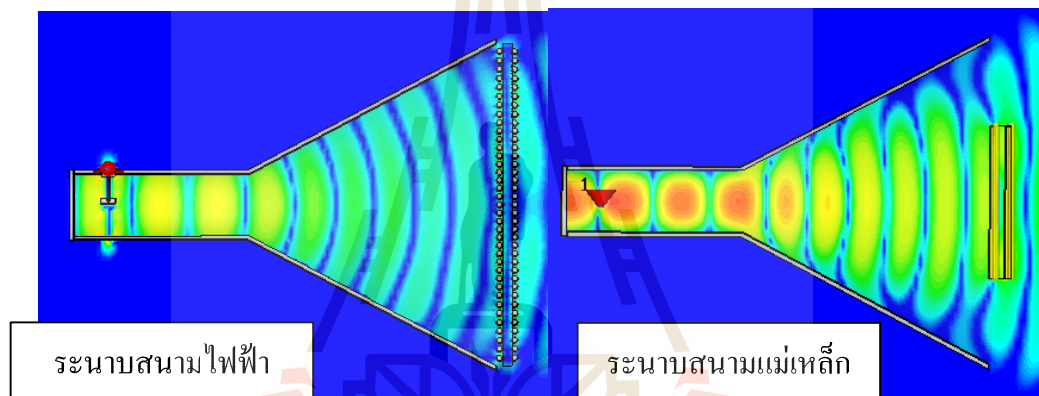


รูปที่ 4.39 การเปรียบเทียบแบบรูปการแผ่พลังงานของ โครงสร้างตัวกลางแบบเส้นลวด
เมื่อติดตั้งร่วมกับสายอากาศปากแตรรูปกรวย

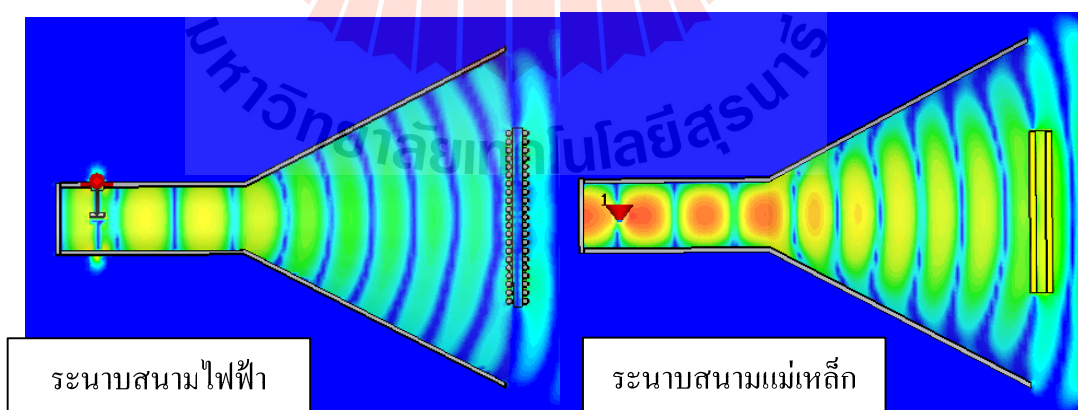




(ข)รูปแบบ B

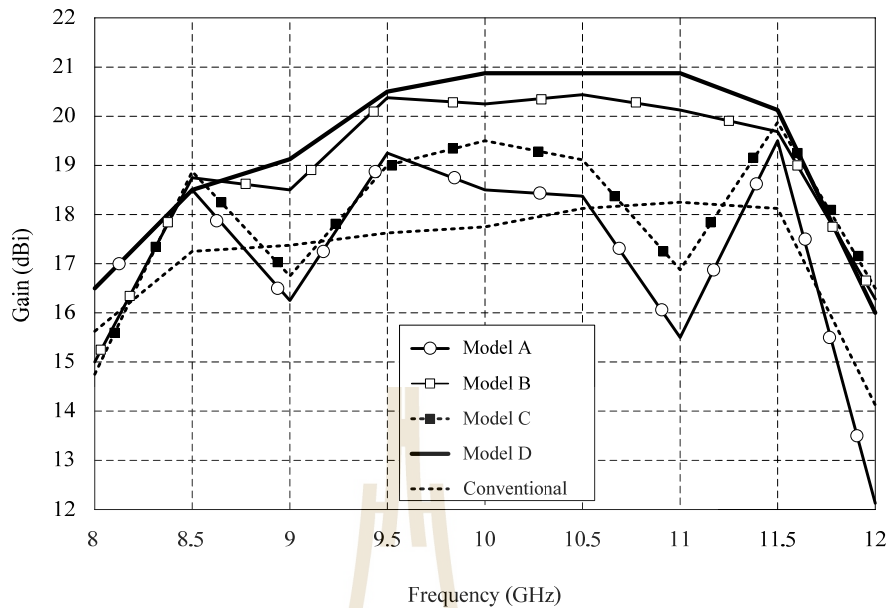


(ค)รูปแบบ C



(ง)รูปแบบ D

รูปที่ 4.40 ผลการจำลองเฟสแบบรูปการแผ่พลังงานของโครงสร้างตัวกลางแบบเส้นลวด
เมื่อติดตั้งร่วมกับสายอากาศปากแตรรูปกรวยทั้ง 4 รูปแบบ

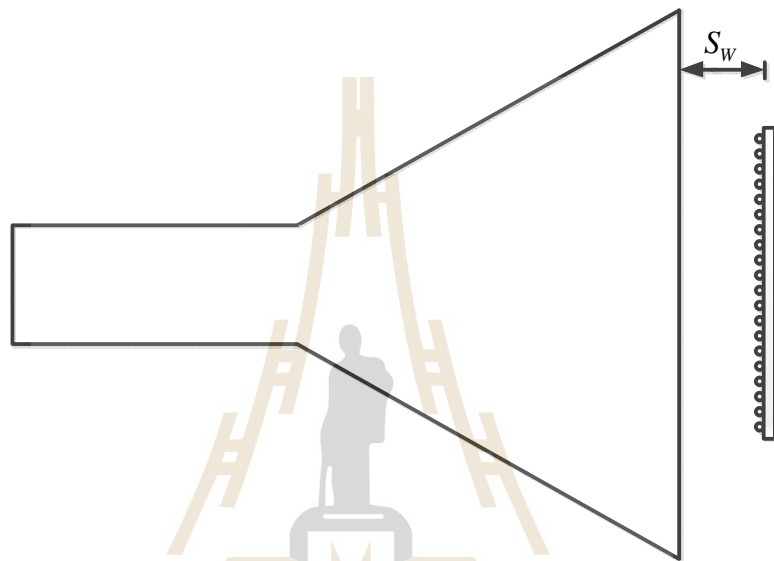


รูปที่ 4.41 การเปรียบเทียบผลการจำลองอัตราขยายของรูปแบบโครงสร้างตัวกลางแบบเส้นลวดเมื่อทำการติดตั้งร่วมกับสายอากาศปากแตรรูปกรวย

4.5.1 การพิจารณาระยะตำแหน่งการวางโครงสร้างตัวกลางแบบเส้นลวดที่ตำแหน่งปากอะเพอร์เจอร์ของสายอากาศปากแตร

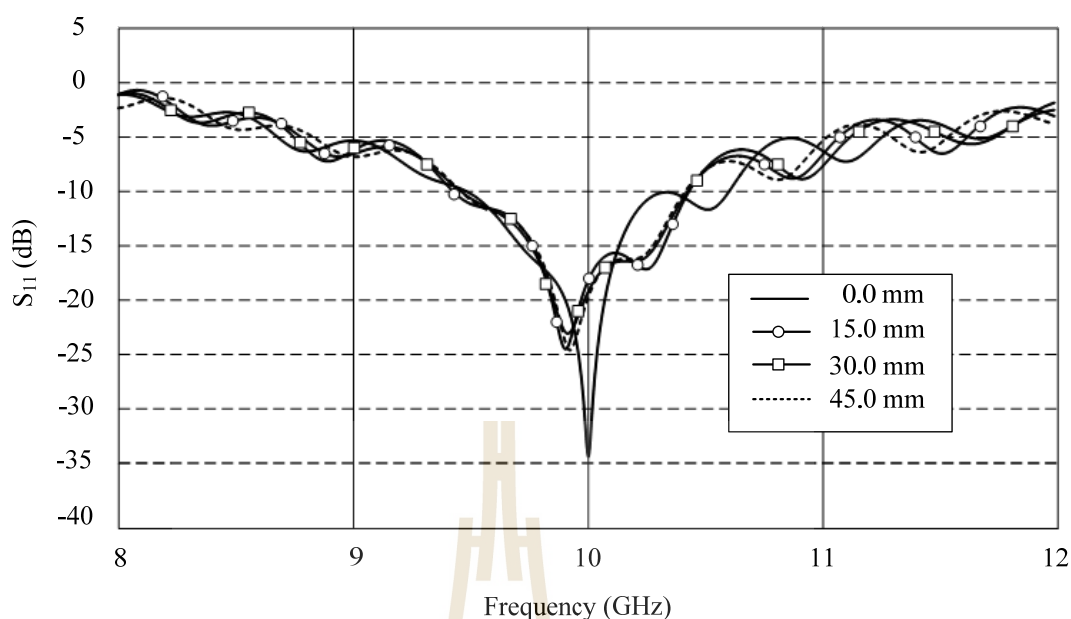
จากการออกแบบและกำหนดค่าพารามิเตอร์ของตัวกลางแบบเส้นลวดในหัวข้อที่ผ่านมาในหัวข้อนี้จะทำการพิจารณาระยะตำแหน่งการวางโครงสร้างตัวกลางแบบเส้นลวดที่เหมาะสมต่อการทำงานร่วมกับสายอากาศปากแตรรูปกรวย โดยจะทำการพิจารณาระยะตำแหน่งการวางโครงสร้างตัวกลางแบบเส้นลวดที่ห่างจากปากอะเพอร์เจอร์ของสายอากาศปากแตร (S_p) ดังแสดงในรูปที่ 4.42 โดยการพิจารณาระยะตำแหน่งการวางโครงสร้างตัวกลางแบบเส้นลวดห่างจากอะเพอร์เจอร์ของสายอากาศจำนวน 4 ระยะ คือ 0 มิลลิเมตร 15 มิลลิเมตร 30 มิลลิเมตร และ 45 มิลลิเมตร ซึ่งจากการจำลองด้วยโปรแกรมสำเร็จรูป CST พบว่าค่าสัมประสิทธิ์การสะท้อนกลับของระยะตำแหน่งในการพิจารณาทั้ง 4 ระยะ ดังแสดงในรูปที่ 4.43 พบว่าที่ตำแหน่งการวางระยะห่างโครงสร้างตัวกลางแบบเส้นลวดกับระนาบอะเพอร์เจอร์ของสายอากาศที่ระยะเท่ากับ 0 มิลลิเมตร หรือที่ตำแหน่งแนวเดียวกับระนาบปากอะเพอร์เจอร์สายอากาศปากแตรรูปกรวยมีค่าสัมประสิทธิ์การสะท้อนกลับตอบสนองความถี่เรโซแนนซ์ที่ความถี่กลาง (10 GHz) ของสายอากาศปากแตรที่ออกแบบ และเมื่อทำการเลื่อนตำแหน่งโครงสร้างตัวกลางแบบเส้นลวดออกห่างจากปากอะเพอร์เจอร์ของสายอากาศปากแตรที่ระยะห่างต่างๆ โดยทำการพิจารณาที่ระยะ 15 มิลลิเมตร 30 มิลลิเมตร และ 45 มิลลิเมตร จากผลการจำลองพบว่าค่าสัมประสิทธิ์การสะท้อนกลับที่ตอบสนองความถี่

โซแนนซ์ที่ต่ำกว่าความถี่กลางของสายอากาศปากแตรที่ทำออกแบบ ดังนั้นจากการพิจารณาการเลื่อนตำแหน่งระยะการวางโครงสร้างตัวกลางแบบเส้นลวดที่ห่างจากปากอะเพอร์เจอร์ของสายอากาศปากแตรจึงสรุปได้ว่าตำแหน่งระยะที่เหมาะสมสำหรับการวางโครงสร้างตัวกลางแบบเส้นลวดคือที่ตำแหน่งแนวระนาบปากอะเพอร์เจอร์ ($S_w = 0$ mm) ของสายอากาศปากแตรซึ่งทำให้สายอากาศปากแตรตอบสนองความถี่เรโซแนนซ์ที่ความถี่กลาง



รูปที่ 4.42 รูปแบบการพิจารณาระยะ S_w

จากรูปที่ 4.43 เมื่อทำการพิจารณาในส่วนของความถี่แถบความถี่ พบว่าที่ตำแหน่งระยะการวางโครงสร้างตัวกลางแบบเส้นลวดที่ห่างจากปากอะเพอร์เจอร์ของสายอากาศปากแตรที่ระยะ 15, 30, และ 45 มิลลิเมตรจะมีความถี่ที่ใกล้เคียงกัน แต่ที่ระยะตำแหน่งการวางโครงสร้างตัวกลางแบบเส้นลวดที่แนวระนาบปากอะเพอร์เจอร์ ($S_w = 0$ mm) ความถี่แถบความถี่จะแคบกว่าการวางโครงสร้างตัวกลางแบบเส้นลวดห่างจากปากอะเพอร์เจอร์ในระยะต่างๆ ที่ทำการพิจารณา เนื่องจากเมื่อระยะตำแหน่งการวางโครงสร้างตัวกลางแบบเส้นลวดยังวางห่างจากปากอะเพอร์เจอร์ของสายอากาศการสะท้อนกลับภายในสายอากาศที่เกิดขึ้นน้อยลงจึงเป็นสาเหตุหนึ่งที่ทำให้เมื่อวางโครงสร้างตัวกลางแบบเส้นลวด ณ ตำแหน่งปากอะเพอร์เจอร์มีความถี่แถบความถี่ที่แคบกว่าระยะอื่นๆที่ได้ทำการพิจารณา

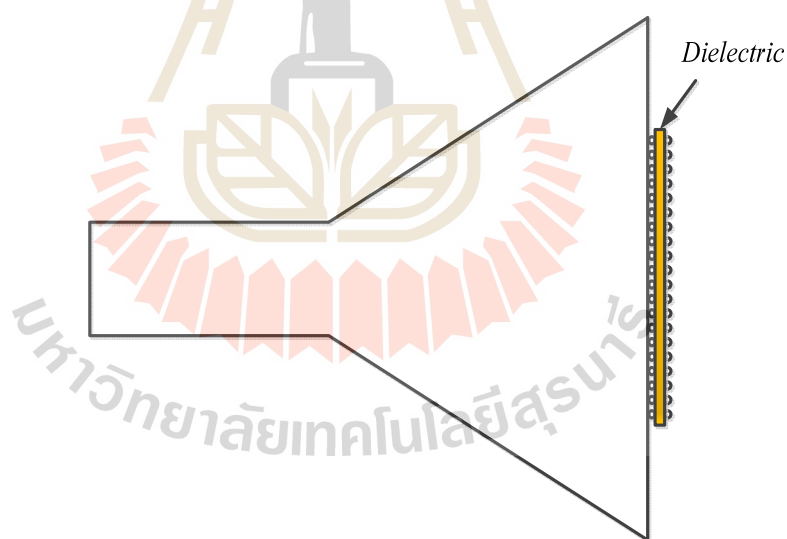


รูปที่ 4.43 การเปรียบเทียบค่าสัมประสิทธิ์การสะท้อนกลับระยะตำแหน่งการวาง
โครงสร้างตัวกลางแบบเส้นลวดที่ห่างจากปากอะเพอร์เจอร์สายอากาศ
ปากแตรรูปกรวย

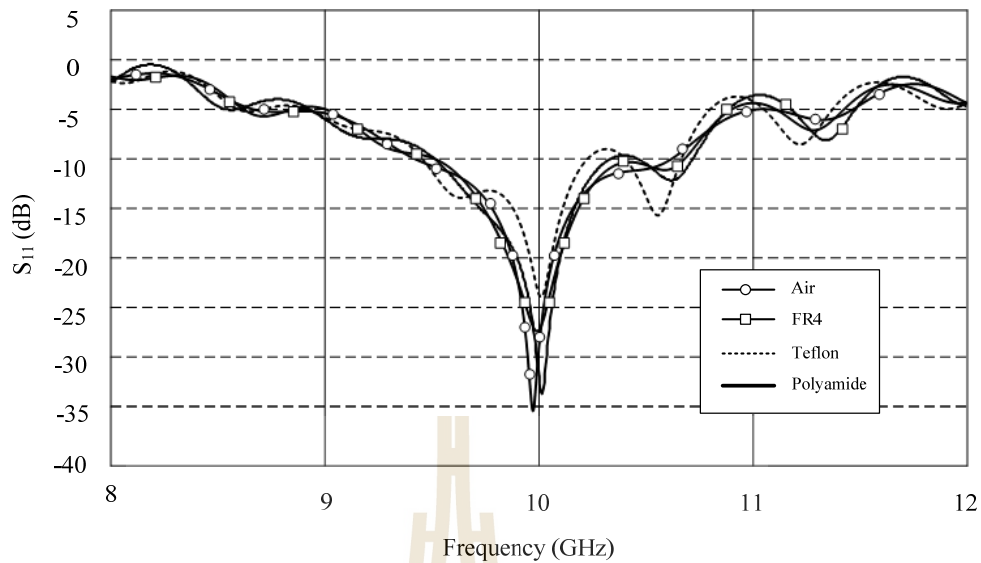
4.5.2 การพิจารณาชนิดไดอิเล็กตริกที่วางกั้นระหว่างชั้นของแนวระนาบเส้นลวดของ โครงสร้างตัวกลางแบบเส้นลวด

จากการพิจารณาระยะตำแหน่งการวางโครงสร้างตัวกลางแบบเส้นลวดที่ปากอะเพอร์เจอร์ของสายอากาศในหัวข้อที่ผ่านมา ทำให้ได้ระยะตำแหน่งที่เหมาะสมในการวางโครงสร้างตัวกลางแบบเส้นลวดคือตำแหน่งกึ่งกลางบนแนวระนาบปากอะเพอร์เจอร์ของสายอากาศปากแตรรูปกรวย ในหัวข้อนี้จะทำวิเคราะห์ชนิดของไดอิเล็กตริกที่วางระหว่างแนวระนาบของเส้นลวดบนโครงสร้างตัวกลางแบบเส้นลวดดังแสดงในรูปที่ 4.44 โดยในการพิจารณาได้ทำการกำหนดค่าพารามิเตอร์ต่าง ๆ ของโครงสร้างตัวกลางแบบเส้นลวดตามที่ได้ทำการพิจารณาค่าพารามิเตอร์ต่าง ๆ ของโครงสร้างแบบเส้นลวดจากหัวข้อที่ผ่านมาโดยในการพิจารณาชนิดไดอิเล็กตริกในหัวข้อนี้ได้ทำการเลือกไดอิเล็กตริกจำนวน 4 ชนิด คือ อากาศ ($\epsilon_r = 1$) โพลีเอไมด์ (polyamide) ($\epsilon_r = 3.5$) เทฟลอน (teflon) ($\epsilon_r = 2.1$) และ FR4 ($\epsilon_r = 4.5$) ซึ่งในการพิจารณาเลือกชนิดไดอิเล็กตริกในการออกแบบโดยคำนึงถึงชนิดของไดอิเล็กตริกนั้นสามารถหาได้ง่ายตามท้องตลาด น้ำหนักเบาและมีราคาถูกอีกทั้งเป็นวัสดุที่คุณสมบัติและเป็นที่ยอมรับนำมาใช้ในงานออกแบบและสร้างสายอากาศซึ่งจากการพิจารณาประเภทของวัสดุไดอิเล็กตริกที่วางกั้นระหว่างแนวระนาบของเส้นลวดบน

โครงสร้างสื่อตัวกลางแบบเส้นลวดโดยใช้โปรแกรมสำเร็จรูป CST ในการทดสอบจากการทดสอบค่าสัมประสิทธิ์การสะท้อนกลับของไดอิเล็กตริกทั้ง 4 ชนิดนั้น พบว่ามีค่าสัมประสิทธิ์การสะท้อนกลับที่ความถี่เรโซแนนซ์ของสายอากาศที่ทำการออกแบบ(10 GHz) ดังแสดงในรูปที่ 4.45 จากรูปจะเห็นว่าไดอิเล็กตริกชนิด โพลีเอไมด์จะทำให้ได้ค่าสัมประสิทธิ์การสะท้อนกลับที่ความถี่เรโซแนนซ์ดีที่สุดเมื่อทำการเปรียบเทียบกับชนิดของไดอิเล็กตริกทั้ง 4 ชนิด นอกจากนี้เมื่อพิจารณาในส่วนของความกว้างแถบความถี่ พบว่าไดอิเล็กตริกชนิด อากาศ FR4 และ โพลีเอไมด์นั้นมีความกว้างแถบที่ใกล้เคียงกัน แต่ไดอิเล็กตริกชนิดเทฟลอนนั้นจะมีความกว้างแถบความถี่ที่แคบกว่าไดอิเล็กตริกชนิดอื่นที่ได้นำมาทำการทดสอบซึ่งผลมาจากคุณสมบัติของวัสดุดังกล่าว เมื่อนำมาประกอบรวมกับ โครงสร้างตัวกลางแบบเส้นลวดทำให้คุณสมบัติของคลื่นมาเดินทางผ่าน โครงสร้างตัวกลางแบบเส้นลวดทำให้เกิดการสะท้อนกลับสูงกว่าวัสดุไดอิเล็กตริกที่นำมาพิจารณา มาดังนั้นในการพิจารณาไดอิเล็กตริกที่วางระหว่างแนวระนาบของเส้นลวดบน โครงสร้างตัวกลางแบบเส้นลวด ในการวิจัยนี้จึงได้ทำการเลือกไดอิเล็กตริกชนิด โพลีเอไมด์มาใช้วางกั้นระหว่างชั้นของแนวระนาบเส้นลวดบน โครงสร้างสื่อตัวกลางแบบเส้นลวด



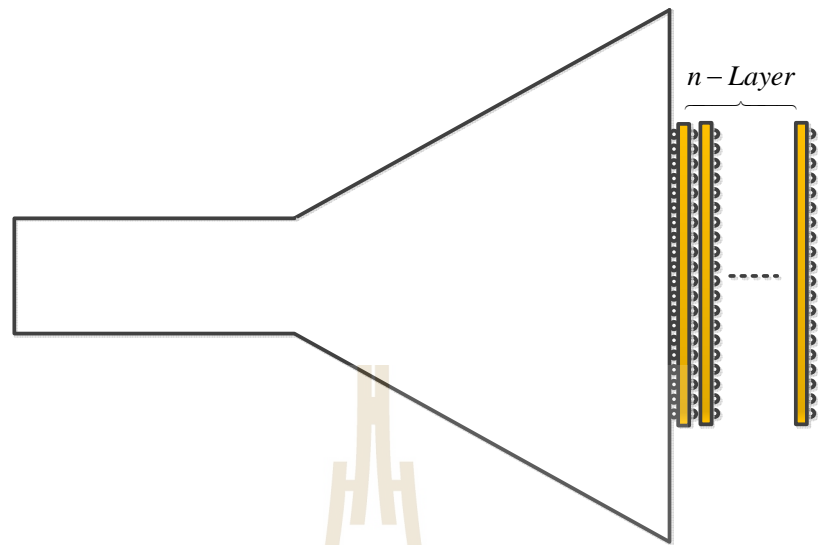
รูปที่ 4.44รูปแบบการพิจารณาชนิดของไดอิเล็กตริก



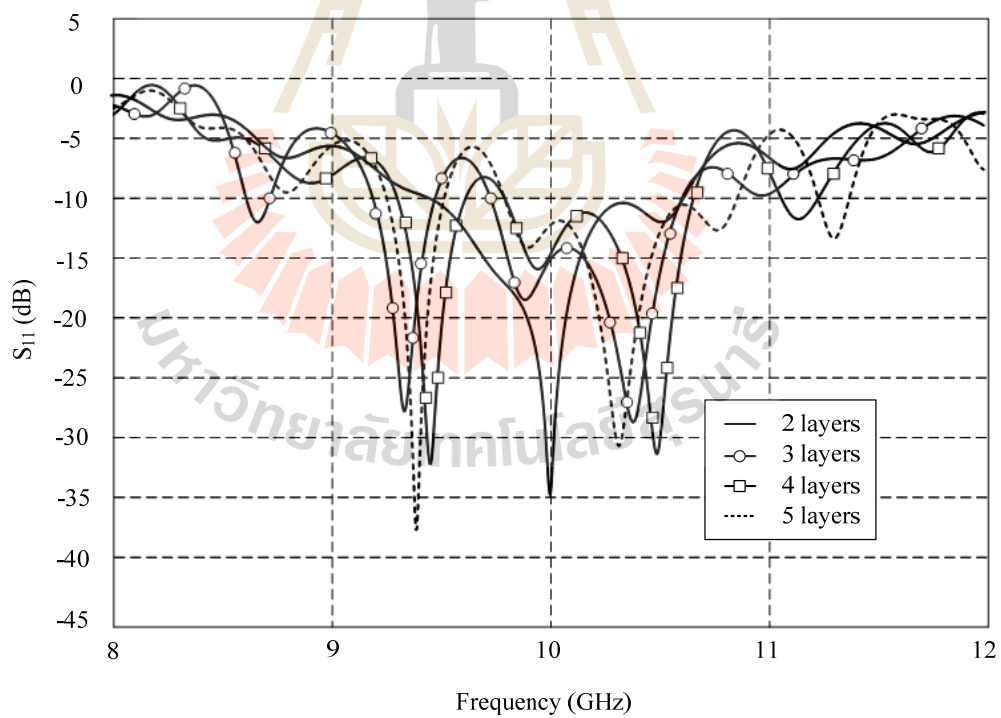
รูปที่ 4.45 การเปรียบเทียบค่าสัมประสิทธิ์การสะท้อนกลับชนิดของไดอิเล็กตริกที่วาง
คั่นระหว่างชั้นของแนวระนาบตัวกลางแบบเส้นลวด

4.5.3 การพิจารณาจำนวนชั้นของโครงสร้างตัวกลางแบบเส้นลวด

ในหัวข้อนี้ได้นำเสนอการพิจารณาจำนวนชั้น(layer) ของโครงสร้างตัวกลางแบบเส้นลวด ซึ่งในการพิจารณาได้ทำการกำหนดค่าพารามิเตอร์ต่าง ๆ โดยเลือกค่าพารามิเตอร์ที่ได้ทำการพิจารณาแล้วในหัวข้อที่ผ่านมา ในการพิจารณาจำนวนชั้นของโครงสร้างตัวกลางแบบเส้นลวดนั้น จะทำการเพิ่มจำนวนชั้นของแนวระนาบเส้นลวดคือ 2, 3, 4, และ 5 ชั้นดังแสดงในรูปที่ 4.46 ในการเพิ่มจำนวนชั้นของแนวระนาบเส้นลวดนั้นระหว่างชั้นของแนวระนาบเส้นลวดมีไดอิเล็กตริกชนิดโพลีเอไมด์วางคั่นระหว่างแต่ละชั้นอยู่และโครงสร้างสื่อตัวกลางแบบเส้นลวดในชั้นแรกวางอยู่บนแนวระนาบปากอะเพอร์เจอร์ของสายอากาศปากแตรรูปกรวยจากการจำลองด้วยโปรแกรมสำเร็จรูป CST ในการพิจารณาจำนวนชั้นของสื่อตัวกลางแบบเส้นลวดนั้นพบว่าค่าสัมประสิทธิ์การสะท้อนกลับเมื่อจำนวนชั้นของตัวกลางแบบเส้นลวดมีจำนวนชั้นเท่ากับ 2 ชั้นจะทำให้สัมประสิทธิ์การสะท้อนกลับตรงกับความถี่เรโซแนนซ์ของสายอากาศที่ได้ออกแบบ ดังแสดงในรูปที่ 4.47 และเมื่อทำการเพิ่มจำนวนชั้นของตัวกลางแบบเส้นลวดขึ้นเป็นจำนวน 3 ชั้นจะพบว่าค่าสัมประสิทธิ์การสะท้อนกลับที่ความถี่เรโซแนนซ์มีการเลื่อนออกไปจากความถี่เรโซแนนซ์ที่ออกแบบจากผลการจำลองการทำงานด้วยโปรแกรม CST จึงสามารถสรุปได้ว่าจำนวนชั้นของตัวกลางแบบเส้นลวดที่เหมาะสมในการออกแบบวางบนแนวระนาบปากอะเพอร์เจอร์สายอากาศปากแตรรูปกรวยอยู่ที่จำนวน 2 ชั้นซึ่งทำให้ค่าสัมประสิทธิ์การสะท้อนกลับที่ความถี่เรโซแนนซ์สายอากาศปากแตร ณ ความถี่กลางที่ทำการออกแบบ (10GHz)



รูปที่ 4.46 รูปแบบการพิจารณาจำนวนชั้นของโครงสร้างตัวกลางแบบเส้นลวด

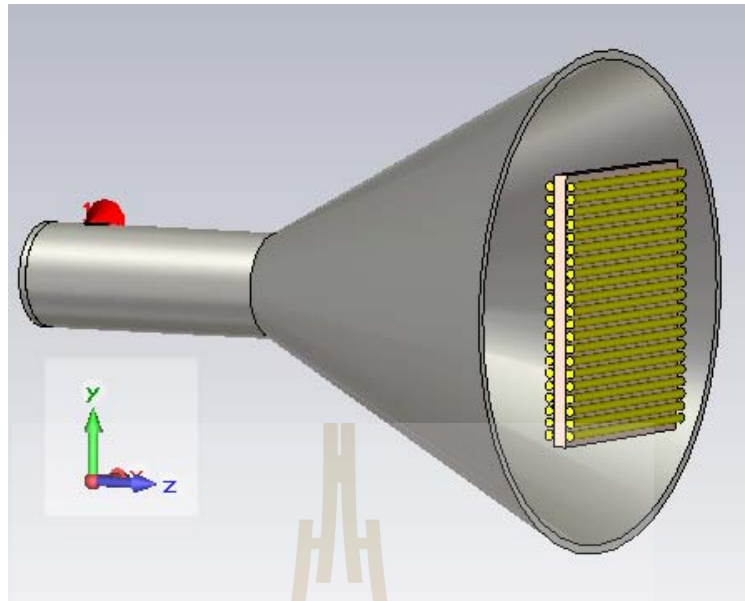


รูปที่ 4.47 การเปรียบเทียบค่าสัมประสิทธิ์การสะท้อนกลับเมื่อทำการเพิ่มจำนวนชั้นของโครงสร้างตัวกลางแบบเส้นลวด

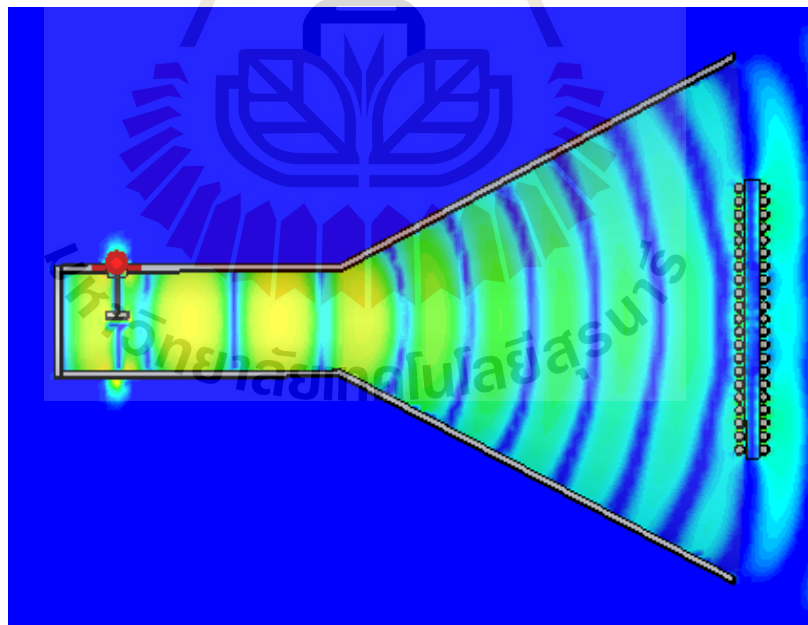
จากการพิจารณาโครงสร้างของตัวกลางแบบเส้นลวดจนได้ค่าพารามิเตอร์ที่เหมาะสมต่อการนำมาต่อทำงานร่วมกับสายอากาศปากแตรรูปกรวยขนาดมาตรฐาน โดยค่าพารามิเตอร์ของโครงสร้างตัวกลางแบบเส้นลวดโดยสรุปดังตารางที่ 4.4 จากนั้นนำค่าพารามิเตอร์ที่ได้ไปทำการจำลองการทำงานด้วยโปรแกรม CST ดังรูปที่ 4.48 โดยในรูปที่ 4.49 แสดงเฟสการแผ่พลังงานของสายอากาศปากแตรรูปกรวยที่ต่อร่วมกับตัวกลางแบบเส้นลวดจะเห็นได้ว่าเฟสที่เดินทางออกจากสายอากาศปากแตรรูปกรวยกรณีใส่โครงสร้างตัวกลางแบบเส้นลวดพบว่าเฟสแผ่กระจายพลังงานในระนาบสนามไฟฟ้าและระนาบสนามแม่เหล็กแผ่เป็นแนวระนาบเส้นตรงซึ่งทำให้เกิดการส่งผ่านพลังงานได้อย่างมีประสิทธิภาพ ส่วนในรูปที่ 4.50 แสดงค่าสัมประสิทธิ์การสะท้อนกลับของสายอากาศจากรูปจะเห็นได้ว่าสายอากาศปากแตรที่ใส่เรโซแนนซ์ที่ความถี่ 10 GHz และมีขนาดความกว้างแถบความถี่เท่ากับ 9.95% ในรูปที่ 4.51 แสดงแบบรูปการแผ่พลังงานในรูปแบบ 3 มิติที่ได้จากการจำลองด้วยโปรแกรม CST จากการจำลองพบว่าสายอากาศปากแตรรูปกรวยขนาดมาตรฐานเมื่อต่อร่วมกับโครงสร้างตัวกลางแบบเส้นลวดแล้วมีอัตราขยายของเท่ากับ 20.8 dBi โดยเพิ่มขึ้นจากเดิม 3.1 dBi และเมื่อทำการพิจารณาในส่วนของคุณสมบัติของสายอากาศพบว่าประสิทธิภาพสายอากาศที่ได้เท่ากับ 95.9% และในรูปที่ 4.52 แสดงแบบรูปการแผ่พลังงานในระนาบสนามไฟฟ้าและสนามแม่เหล็ก พบว่าแบบรูปการแผ่พลังงานในทั้งสองระนาบนั้นมีแบบรูปการแผ่พลังงานที่ไม่สมมาตรและโดยมีความกว้างลำคลื่นครั้งกำลังในระนาบสนามไฟฟ้าเท่ากับ -18.4 dB และระนาบสนามแม่เหล็กเท่ากับ -17.6 dB และเมื่อทำการเปรียบเทียบกับสายอากาศปากแตรขนาดมาตรฐานและมีระดับของพู่ซ้างที่ต่ำ โดยที่ระดับพู่ซ้างในระนาบสนามไฟฟ้าเท่ากับ -23.6 dB และระนาบสนามแม่เหล็กเท่ากับ -27.7 dB และในรูปที่ 4.53 แสดงอัตราขยายของสายอากาศปากแตรรูปกรวยในกรณีต่อร่วมกับตัวกลางแบบเส้นลวดในช่วงความถี่ตั้งแต่ 9 GHz – 11 GHz

ตารางที่ 4.4 ค่าพารามิเตอร์ของสายอากาศปากแตรรูปกรวยกรณีต่อร่วมกับตัวกลางแบบเส้นลวด

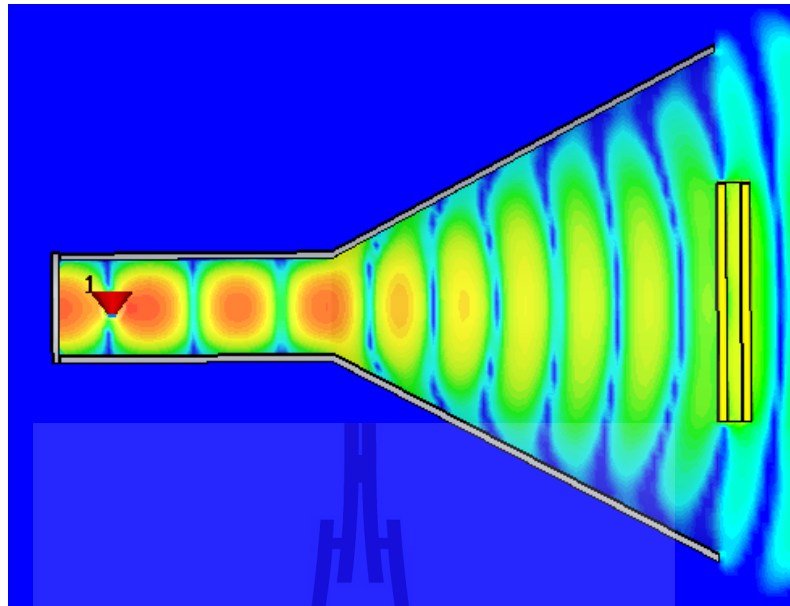
| พารามิเตอร์ | ขนาด(มิลลิเมตร) |
|---|-----------------|
| ความหนาของไดอิเล็กตริกตัวกลางแบบเส้นลวด (B_p) | 3.5 |
| ความกว้างของไดอิเล็กตริกตัวกลางแบบเส้นลวด (W_p) | 60 |
| ความสูงของไดอิเล็กตริกตัวกลางแบบเส้นลวด (H_p) | 68 |
| ระยะห่างระหว่างเส้นลวดที่วางขนานกัน (S_p) | 3.5 |
| เส้นผ่าศูนย์กลางของเส้นลวด (D_p) | 2.5 |



รูปที่ 4.48 โครงสร้างสายอากาศปากแตรรูปกรวยขนาดมาตรฐานกรณีต่อร่วมกับโครงสร้างตัวกลางแบบเส้นลวดที่ทำการจำลองด้วยโปรแกรมสำเร็จรูป CST

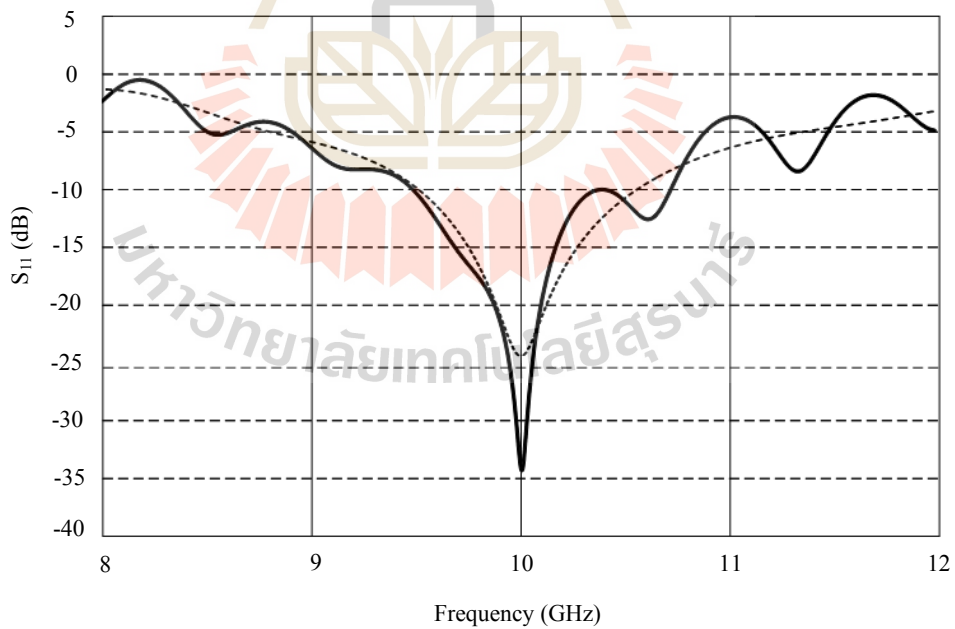


(ก) ระนาบสนามไฟฟ้า

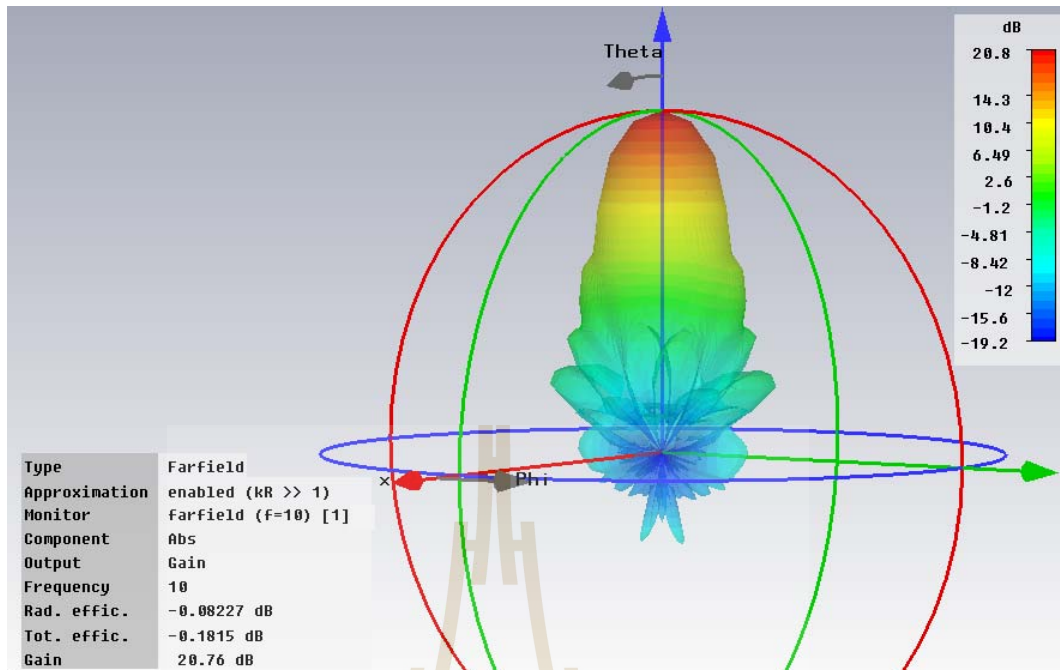


(จ) ระนาบสนามแม่เหล็ก

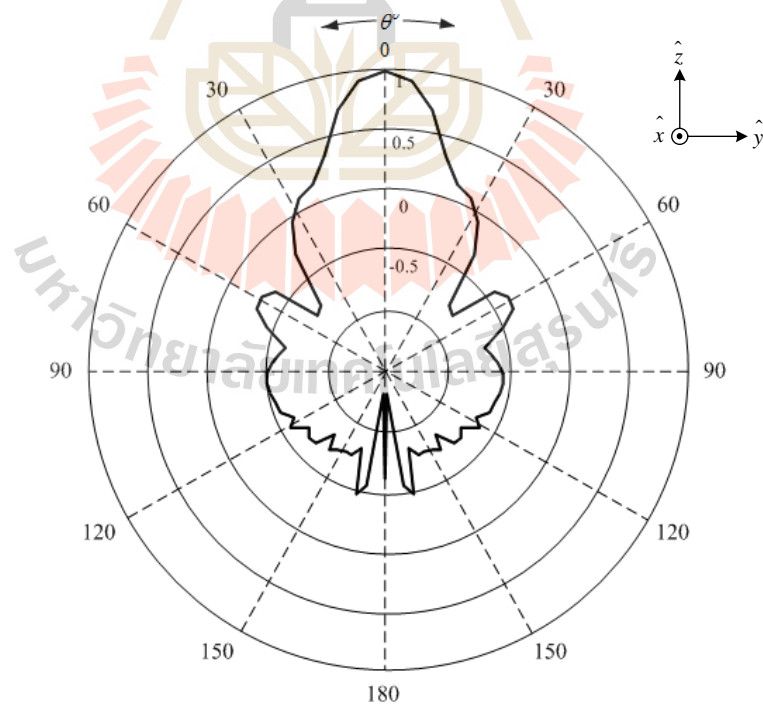
รูปที่ 4.49 ผลการจำลองเฟสแบบรูปการแผ่พลังงานของสายอากาศปากแตรรูปกรวย
ที่ต่อร่วมกับ โครงสร้างตัวกลางแบบเส้นลวดที่เหมาะสม



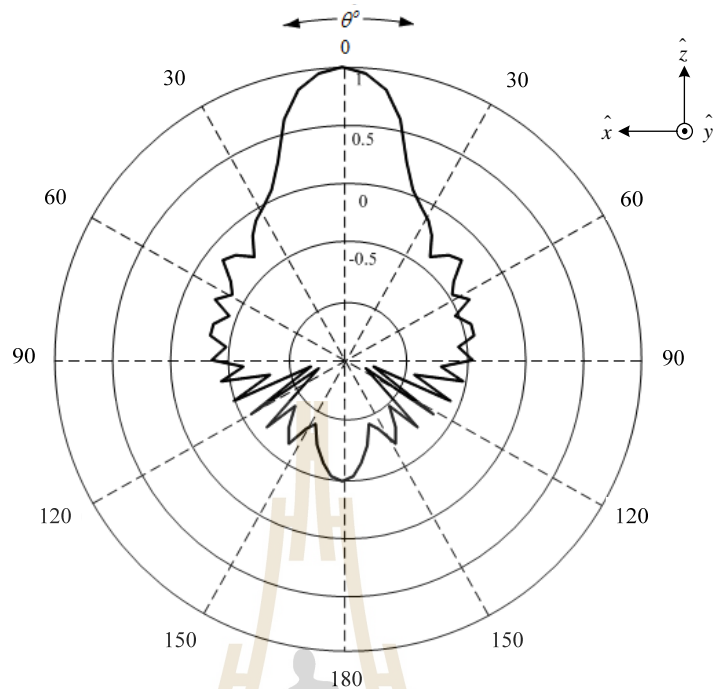
รูปที่ 4.50 ผลการเปรียบเทียบค่าสัมประสิทธิ์การสะท้อนกลับสายอากาศปากแตรขนาด
มาตรฐานกับในกรณีต่อร่วมกับ โครงสร้างตัวกลางแบบเส้นลวดที่เหมาะสม



รูปที่ 4.51 ผลการจำลองแบบรูปการแผ่พลังงานในรูปแบบ 3 มิติของสายอากาศปากแตร
รูปกรวยกรณีต่อร่วมกับโครงสร้างตัวกลางแบบเส้นลวด

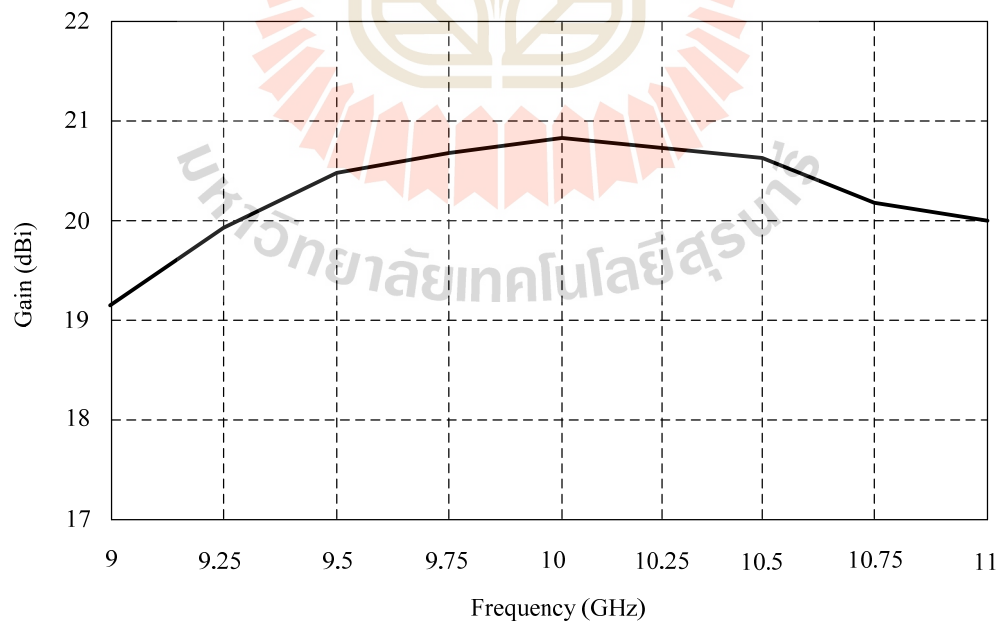


(ก) ระนาบสนามไฟฟ้า



(ข) ระนาบสนามแม่เหล็ก

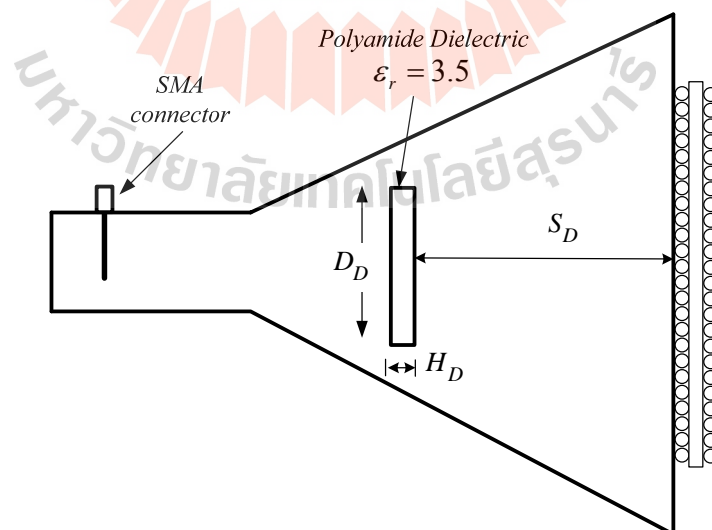
รูปที่ 4.52 แบบรูปการแผ่พลังงานของสายอากาศปากแตรรูปกรวยกรณีต่อ
ร่วมกับโครงสร้างตัวกลางแบบเส้นลวด



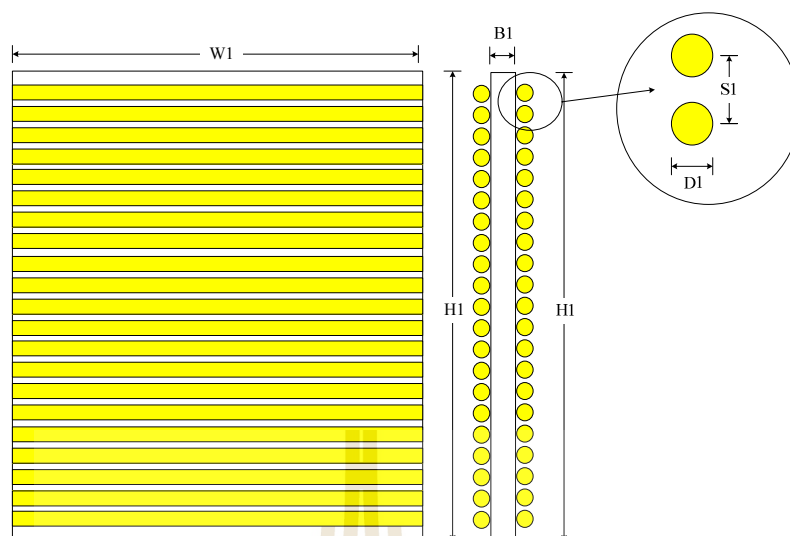
รูปที่ 4.53 ผลการจำลองอัตราขยายของสายอากาศปากแตรรูปกรวยกรณีใส่โครงสร้าง
ตัวกลางแบบเส้นลวด

4.5.4 สายอากาศปากแตรรูปกรวยโดยใช้เทคนิคอภิวัดคูณโครงสร้างตัวกลางแบบเส้นลวด ที่นำเสนอ

จากการขั้นตอนการออกแบบและวิเคราะห์หาค่าพารามิเตอร์ต่างๆ ของสายอากาศปากแตรรูปกรวยโดยใช้เทคนิคอภิวัดคูณโครงสร้างตัวกลางแบบเส้นลวดจนได้ค่าพารามิเตอร์ที่เหมาะสมสำหรับการเพิ่มประสิทธิภาพสายอากาศปากแตรรูปกรวยซึ่งโครงสร้างของสายอากาศที่สมบูรณ์ของสายอากาศปากแตรรูปกรวยโดยใช้เทคนิคอภิวัดคูณโครงสร้างตัวกลางแบบเส้นลวดที่นำเสนอดังแสดงในรูปที่ 4.54 ซึ่งประกอบด้วยการใช้เทคนิคการใส่โหนดไดอิเล็กทริกเข้าไปภายในสายอากาศเพื่อปรับปรุงแบบรูปการแผ่พลังงานให้มีความสมมาตรในระนาบสนามไฟฟ้าและสนามแม่เหล็กอีกทั้งช่วยลดระดับฟูซิงให้ต่ำลง อีกส่วนหนึ่งคือโครงสร้างตัวกลางแบบเส้นลวดถือได้ว่าเป็นส่วนสำคัญหลักในงานวิจัยนี้ที่นำเสนอ โดยจะทำหน้าที่ในการเพิ่มอัตราขยายและปรับปรุงแบบรูปการแผ่พลังงาน ซึ่งในการออกแบบโครงสร้างตัวกลางแบบเส้นลวดได้ทำการพิจารณาค่าพารามิเตอร์ต่างๆ จนได้ค่าที่เหมาะสมโดยรูปแบบโครงสร้างตัวกลางแบบเส้นลวดได้แสดงไว้ในรูปที่ 4.55 โดยได้ทำการสรุปค่าพารามิเตอร์ต่างๆ ของสายอากาศปากแตรรูปกรวยโดยใช้เทคนิคอภิวัดคูณโครงสร้างตัวกลางแบบเส้นลวดที่นำเสนอดังแสดงไว้ในตารางที่ 4.5 และในรูปที่ 4.56 แสดงโครงสร้างสายอากาศปากแตรรูปกรวยกรณีใช้เทคนิคอภิวัดคูณโครงสร้างตัวกลางแบบเส้นลวดที่นำเสนอด้วยโปรแกรม CST เพื่อจำลองผลการออกแบบ



รูปที่ 4.54 โครงสร้างสายอากาศปากแตรรูปกรวยโดยใช้คุณสมบัติอภิวัดคูณ
โครงสร้างตัวกลางแบบเส้นลวดที่นำเสนอ

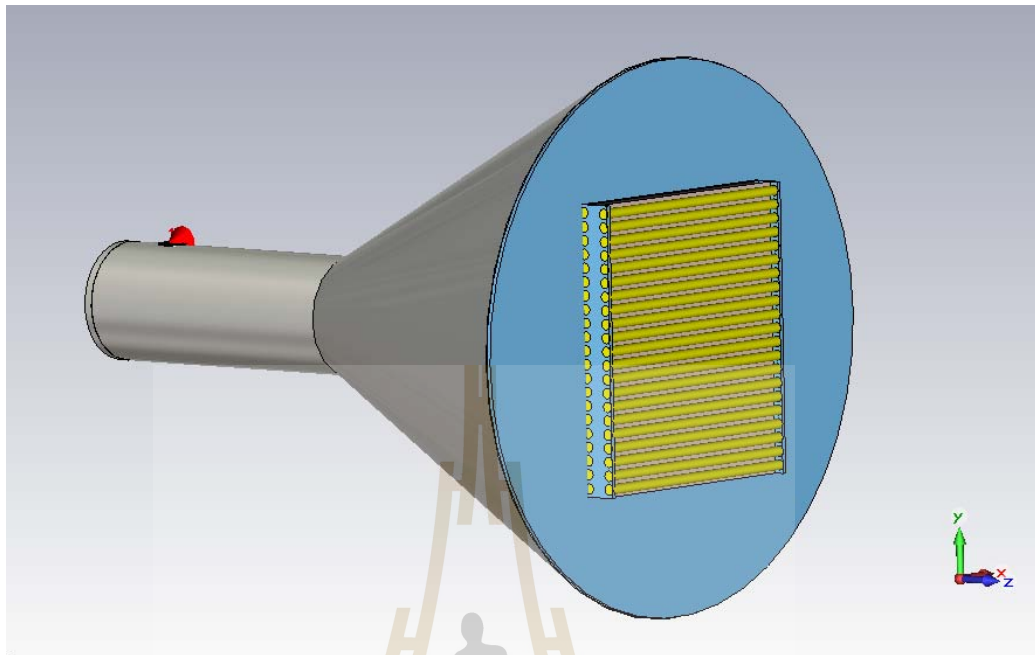


รูปที่ 4.55 โครงสร้างตัวกลางแบบเส้นลวดที่นำเสนอง

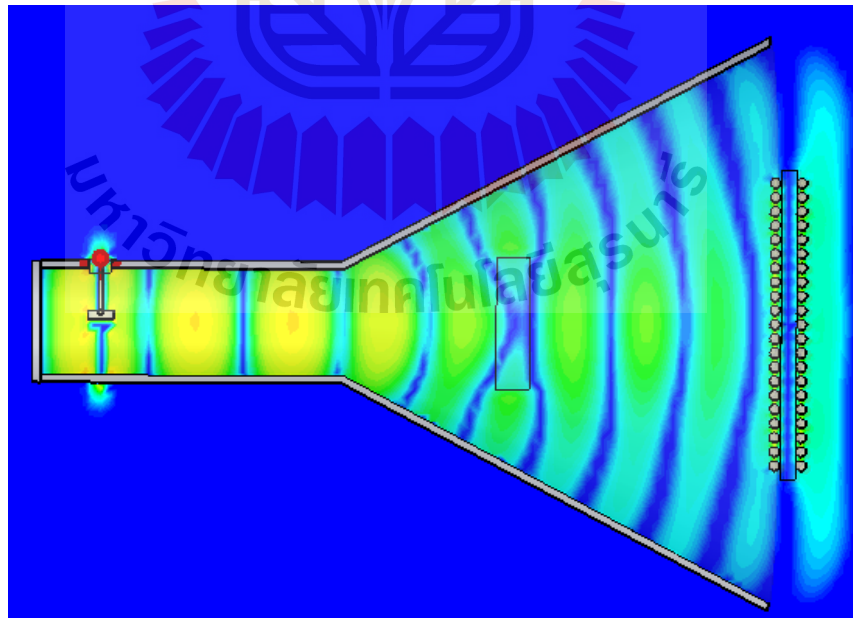
ตารางที่ 4.5 สรุปค่าพารามิเตอร์ต่างๆ ของสายอากาศปากแตรรูปกรวยโดยใช้เทคนิคอภิวัดบน

โครงสร้างตัวกลางแบบเส้นลวดที่สมบูรณ์

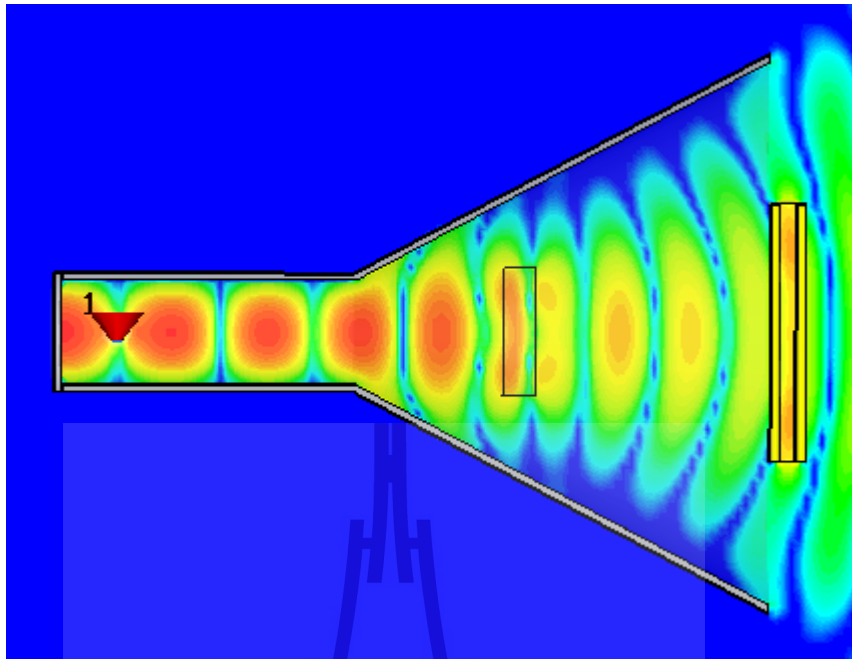
| ค่าพารามิเตอร์ | ขนาด (λ) | ขนาด (mm) |
|---|--------------------|-----------|
| เส้นผ่าศูนย์กลางกลางปากอะเพอร์เจอร์สายอากาศปากแตรรูปกรวยขนาดมาตรฐาน (d_m) | 4λ | 120 |
| ความยาวของสายอากาศปากแตรรูปกรวย (L_f) | 3.75λ | 112.5 |
| เส้นผ่าศูนย์กลางท่อนำคลื่นรูปทรงกระบอก (d_w) | 0.86λ | 26 |
| ความยาวท่อนำคลื่นรูปทรงกระบอก (l_w) | 2λ | 60 |
| ความหนาของโพลไดอิเล็กตริก (H_D) | $\lambda/4$ | 7.5 |
| เส้นผ่าศูนย์กลางกลางของโพลไดอิเล็กตริก (D_D) | λ | 30 |
| ระยะตำแหน่งการวางโพลไดอิเล็กตริก (S_D) | 2.554λ | 76.24 |
| ความหนาของไดอิเล็กตริกตัวกลางแบบเส้นลวด (B_f) | 0.166λ | 3.5 |
| ความกว้างของไดอิเล็กตริกตัวกลางแบบเส้นลวด (W_f) | 2λ | 60 |
| ความสูงของไดอิเล็กตริกตัวกลางแบบเส้นลวด (H_f) | 2.26λ | 68 |
| ระยะห่างระหว่างเส้นลวดที่วางขนานกัน (S_f) | 0.166λ | 3.5 |
| เส้นผ่าศูนย์กลางกลางของเส้นลวด (D_f) | 0.083λ | 2.5 |



รูปที่ 4.56 โครงสร้างสายอากาศปากแตรรูปกรวยโดยใช้คุณสมบัติของวัสดุบนโครงสร้างตัวกลางแบบเส้นลวดที่ทำการจำลองการทำงานด้วยโปรแกรม CST

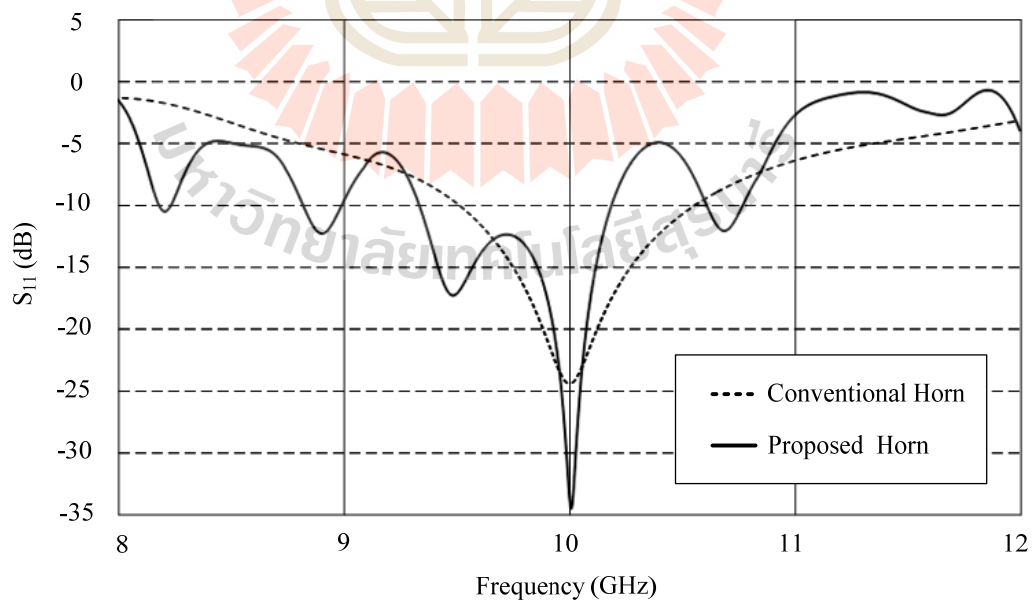


(ก) ระนาบสนามไฟฟ้า

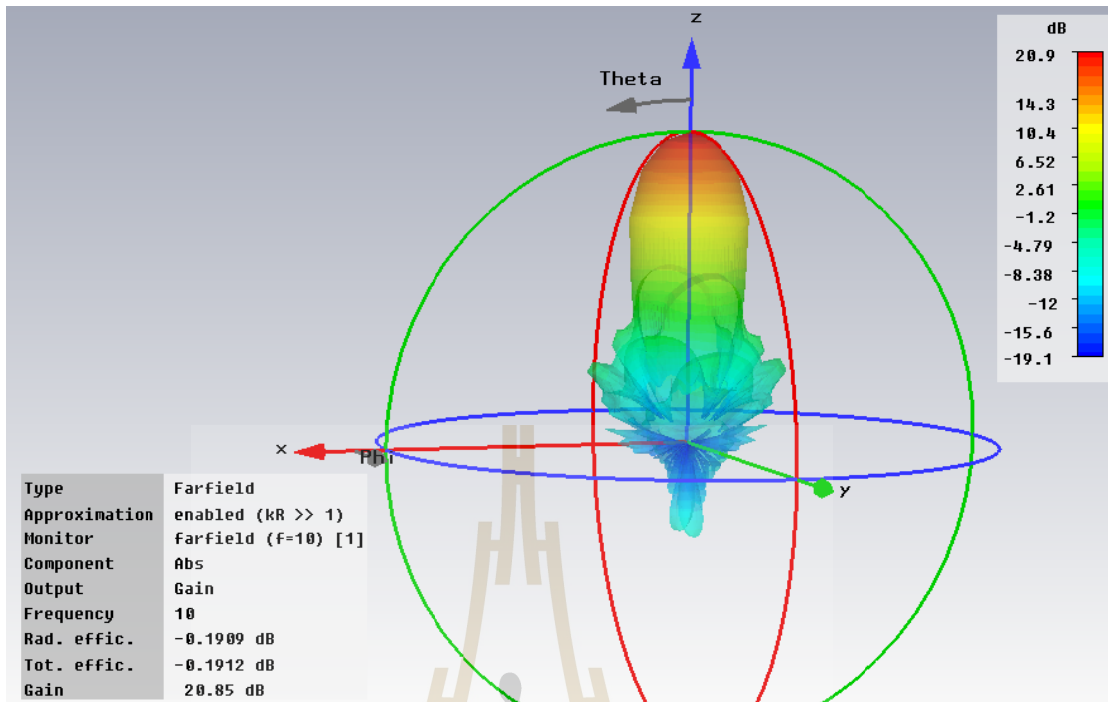


(ข) ระนาบสนามแม่เหล็ก

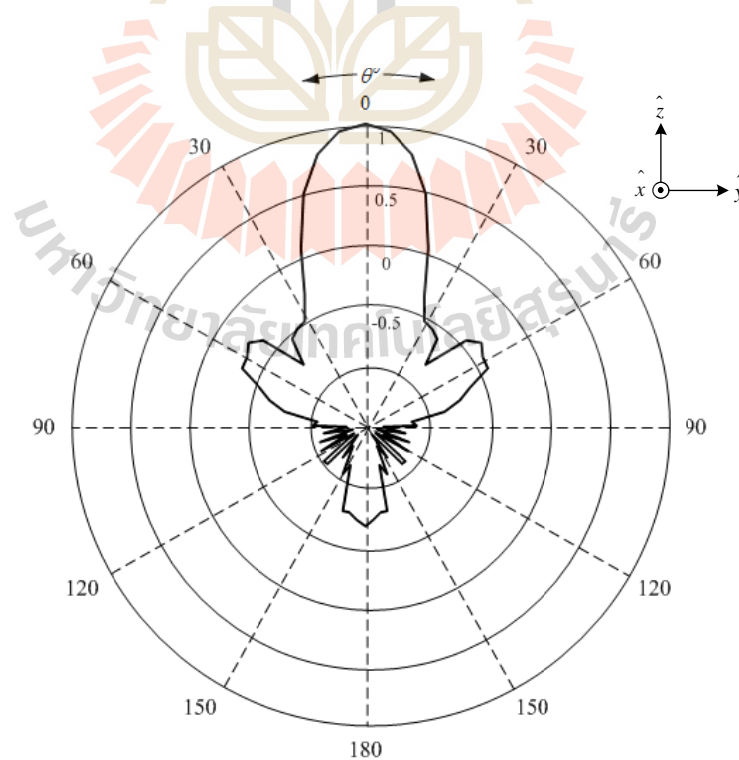
รูปที่ 4.57 ผลการจำลองเฟสแบบรูปการแผ่พลังงานของสายอากาศปากแตรรูปกรวยโดยใช้คุณสมบัติของวัสดุบนโครงสร้างตัวกลางแบบเส้นลวดที่ทำการจำลองการทำงานด้วยโปรแกรม CST



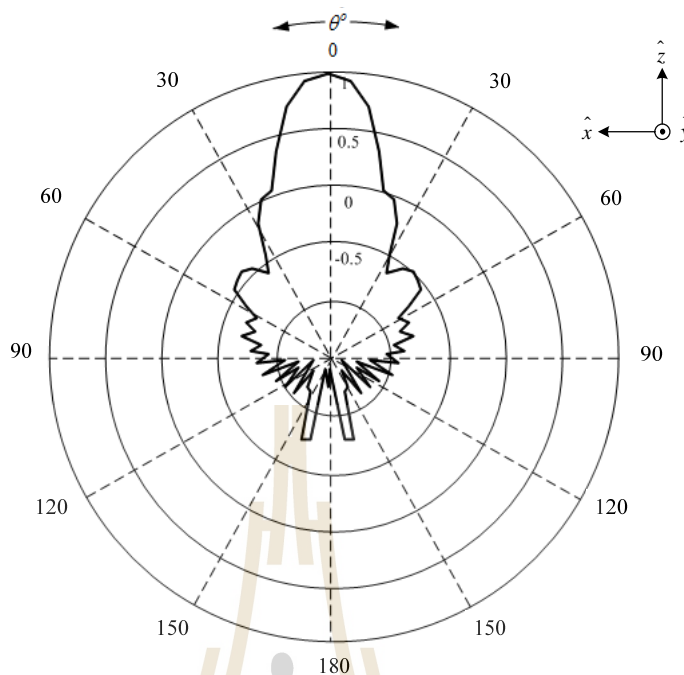
รูปที่ 4.58 การเปรียบเทียบค่าสัมประสิทธิ์การสะท้อนกลับระหว่างสายอากาศปากแตรมาตรฐานกับสายอากาศที่นำเสนอ



รูปที่ 4.59 ผลการจำลองแบบรูปการแผ่พลังงานในรูปแบบ 3 มิติของสายอากาศปากแตรรูปกรวย โดยใช้เทคนิคอภิวัดบนโครงสร้างตัวกลางแบบเส้นลวดที่นำเสนอที่ทำการจำลองการออกแบบด้วยโปรแกรม CST



(ก) ระนาบสนามไฟฟ้า



(ข) ระนาบสนามแม่เหล็ก

รูปที่ 4.60 แบบรูปการแผ่พลังงานของสายอากาศปากแตรรูปกรวยโดยใช้เทคนิคอภิวัด
บนโครงสร้างสื่อตัวกลางแบบเส้นลวดที่นำเสนอ

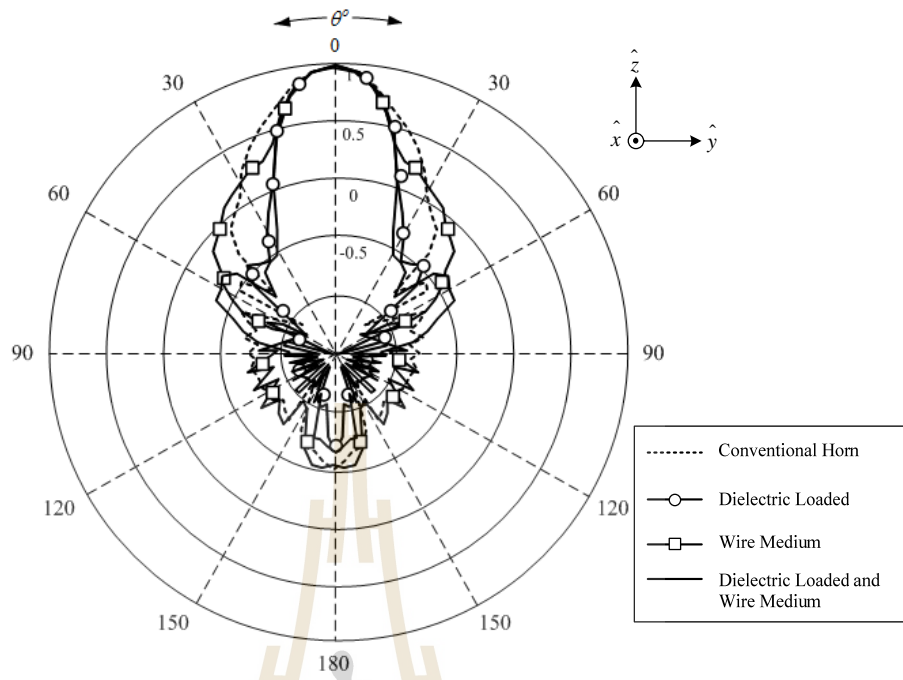
จากค่าพารามิเตอร์ข้างต้นดังกล่าวที่ 4.5 ได้ทำการนำค่าดังกล่าวไปจำลองด้วยโปรแกรมสำเร็จรูป CST เพื่อทดสอบประสิทธิภาพของสายอากาศปากแตรรูปกรวยโดยใช้คุณสมบัติอภิวัดบนโครงสร้างตัวกลางแบบเส้นลวดดังแสดงในรูปที่ 4.56 จากการจำลองได้แสดงเฟสการแผ่พลังงานของสายอากาศดังแสดงในรูปที่ 4.57 จะเห็นได้ว่าเฟสการแผ่กระจายพลังงานในระนาบสนามไฟฟ้าและระนาบสนามแม่เหล็กแผ่เป็นแนวระนาบเส้นตรงซึ่งทำให้เกิดการส่งผ่านพลังงานได้อย่างมีประสิทธิภาพ หลังจากนั้นได้ทำการพิจารณาสัมประสิทธิ์การสะท้อนกลับของสายอากาศปากแตรที่นำเสนอ โดยในรูปที่ 4.58 ได้แสดงกราฟการเปรียบเทียบค่าสัมประสิทธิ์การสะท้อนกลับของสายอากาศปากแตรรูปกรวยขนาดมาตรฐานกับสายอากาศปากแตรรูปกรวยโดยใช้เทคนิคอภิวัดบนโครงสร้างสื่อตัวกลางแบบเส้นลวดพบว่าสายอากาศทั้งสองแบบตอบสนองต่อความถี่เรโซแนนซ์ที่ความถี่กลางที่ทำการออกแบบ (10 GHz) โดยจะเห็นได้ว่าความกว้างแถบความถี่ของสายอากาศปากแตรรูปกรวยที่นำเสนอจะแคบกว่าสายอากาศปากแตรขนาดมาตรฐานเล็กน้อยเนื่องจากผลกระทบจากโครงสร้างตัวกลางแบบเส้นลวดนั่นเอง เมื่อพิจารณาในส่วนของแบบรูปการแผ่พลังงานดังแสดงในรูป 4.59 แสดงแบบรูปการแผ่พลังงานในรูปแบบ 3 มิติที่ได้จาก

โปรแกรมสำเร็จรูป CST พบว่าสายอากาศที่นำเสนอมีอัตราขยายเท่ากับ 20.9 dB และประสิทธิภาพของสายอากาศที่นำเสนอเท่ากับ 95.69% ในรูปที่ 4.60 ได้แสดงแบบรูปการแผ่พลังงานในระนาบสนามไฟฟ้ากับสนามแม่เหล็กของสายอากาศที่ได้นำเสนอ สังเกตได้ว่าแบบรูปการแผ่พลังงานในทั้งสองระนาบนั้นมีแบบรูปการแผ่พลังงานที่สมมาตรและโดยมีความกว้างลำคลื่นครึ่งกำลังที่แคบคือในระนาบสนามไฟฟ้าเท่ากับ -17.4 dB และระนาบสนามแม่เหล็กเท่ากับ -17.1 dB ลงเมื่อทำการเปรียบเทียบกับสายอากาศปากแตรขนาดมาตรฐานและมีระดับของพูข้างที่ต่ำ โดยที่ระดับพูข้างในระนาบสนามไฟฟ้าเท่ากับ -26.6 dB และระนาบสนามแม่เหล็กเท่ากับ -26.8 dB

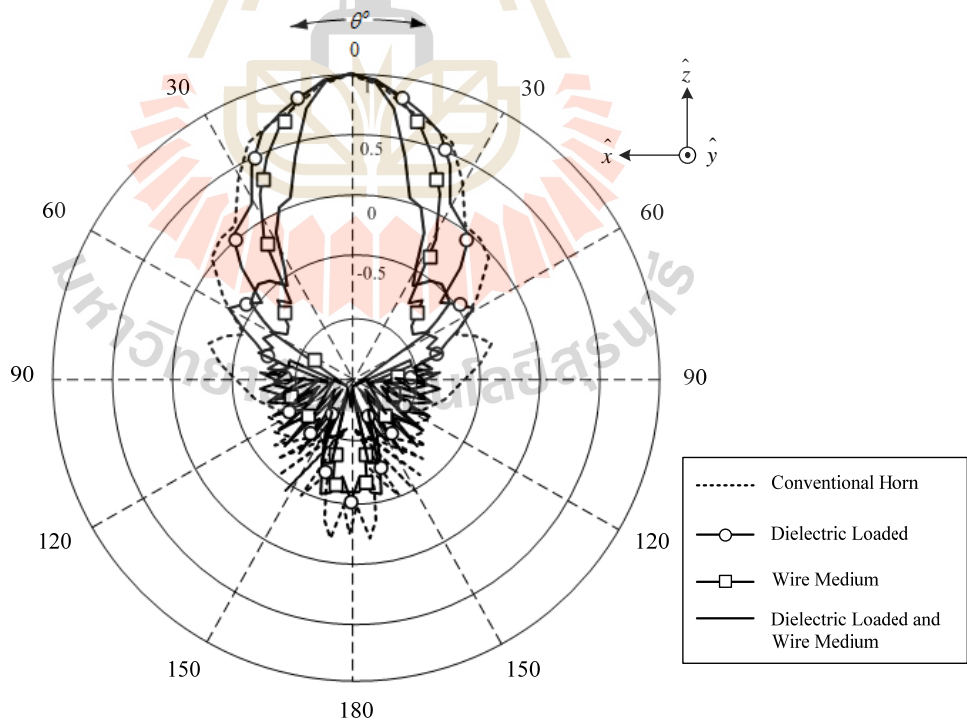
4.6 การพิจารณาแบบรูปการแผ่พลังงานของสายอากาศปากแตรรูปกรวย

เมื่อทำการพิจารณาค่าพารามิเตอร์ต่าง ๆ ของสายอากาศจนกระทั่งได้ค่าพารามิเตอร์ที่เหมาะสมเรียบร้อยแล้วในหัวข้อนี้จะกล่าวถึงการเปรียบเทียบแบบรูปการแผ่พลังงานของสายอากาศใน 4 รูปแบบคือ สายอากาศปากแตรรูปกรวยขนาดมาตรฐานสายอากาศปากแตรกรณิใส่โหลดไดอิเล็กตริกเข้าไปภายในสายอากาศ สายอากาศปากแตรรูปกรวยกรณิใส่โครงสร้างตัวกลางแบบเส้นลวดบนแนวระนาบปากอะเพอร์เจอร์ของสายอากาศ และสายอากาศที่นำเสนอ ซึ่งประกอบด้วยการใส่โหลดไดอิเล็กตริกเข้าไปภายในสายอากาศและการใส่โครงสร้างตัวกลางแบบเส้นลวดบนแนวระนาบปากอะเพอร์เจอร์สายอากาศ จากการเปรียบเทียบแบบรูปการแผ่พลังงานของสายอากาศทั้ง 4 รูปแบบดังแสดงในรูปที่ 4.61 พบว่าเมื่อทำการเปรียบเทียบแบบรูปการแผ่พลังงานของสายอากาศทั้ง 4 รูปแบบสายอากาศที่นำเสนอมีแบบรูปการแผ่พลังงานที่ดีที่สุดโดยมีค่าความกว้างแถบความถี่ที่แคบและระดับพูข้างที่ต่ำกว่าสายอากาศทั้งสามรูปแบบ

ในตารางที่ 4.6 แสดงการเปรียบเทียบค่าพารามิเตอร์ต่างๆ ของแบบรูปการแผ่พลังงานของสายอากาศปากแตรรูปกรวย 4 รูปแบบที่ทำการพิจารณา จากตารางที่ 4.6 จะเห็นได้ว่าเมื่อทำการใส่โหลดไดอิเล็กตริกเข้าไปภายในสายอากาศปากแตรขนาดมาตรฐานพบว่าแบบรูปการแผ่พลังงานที่ได้สมมาตรและระดับพูข้างของระนาบสนามไฟฟ้าและสนามแม่เหล็กมีระดับต่ำลงจากเดิมอีกทั้งระดับพูข้างมีระดับที่ใกล้เคียงกันในทั้งสองระนาบ และเมื่อทำการเพิ่ม โครงสร้างสื่อตัวกลางแบบเส้นลวดเข้าไปพบว่าแบบรูปการแผ่พลังงานสมมาตรและระดับโหลดข้างลดลงจากเดิมโดยระดับพูข้างระนาบสนามไฟฟ้ามีค่าเท่ากับ -26.6 dB และระนาบสนามไฟฟ้ามี่ค่าเท่ากับ -26.8 dB และอัตราขยายของสายอากาศที่ได้เท่ากับ 20.9 dB ซึ่งเพิ่มขึ้นจากสายอากาศปากแตรมาตรฐาน 3.2 dB



(ก) ระนาบสนามไฟฟ้า



(ข) ระนาบสนามแม่เหล็ก

รูปที่ 4.61 การเปรียบเทียบแบบรูปการแผ่พลังงานของสายอากาศที่ทำการศึกษา 4 รูปแบบ

ตารางที่ 4.6 การเปรียบเทียบค่าพารามิเตอร์ต่างๆ ของแบบรูปการแผ่พลังงานของสายอากาศ
ปากแตรรูปกรวย 4 รูปแบบ

| แบบสายอากาศ | อัตราขยาย [dBi] ที่ 10 GHz | ระดับพู่ข้าง [dB] ที่ 10 GHz | |
|--|----------------------------------|------------------------------|-----------------------|
| | | ระนาบ สนามไฟฟ้า | ระนาบ สนามแม่เหล็ก |
| สายอากาศปากแตรรูปกรวยขนาดมาตรฐาน | 17.7 | -29.4 | -22.7 |
| สายอากาศปากแตรรูปกรวยกรณีใส่โหลดไดโอดีเล็กทรอนิกส์ | 18.4 | -24.5 | -25.9 |
| สายอากาศปากแตรรูปกรวยกรณีใส่โครงสร้างตัวกลางแบบเส้นลวดที่แนวระนาบปากอะเพอร์เจอร์ | 20.9 | -23.8 | -20.9 |
| สายอากาศปากแตรรูปกรวยที่นำเสนอ (กรณีใส่โหลดไดโอดีเล็กทรอนิกส์และตัวกลางแบบเส้นลวด) | 20.9 | -26.6 | -26.8 |

จากขั้นตอนในการออกแบบและวิเคราะห์การเพิ่มประสิทธิภาพสายอากาศปากแตรรูปกรวยที่ได้ทำการพิจารณาค่าพารามิเตอร์ต่างๆ จนได้ค่าพารามิเตอร์ที่เหมาะสมสำหรับการเพิ่มประสิทธิภาพสายอากาศปากแตรรูปกรวยโดยใช้ทิวส์ดuben โครงสร้างตัวกลางแบบเส้นลวดนั้น ในการเพิ่มประสิทธิภาพของสายอากาศปากแตรรูปกรวยขนาดมาตรฐานในงานวิจัยนี้ ได้นำเทคนิคการใส่โหลดไดโอดีเล็กทรอนิกส์มาทำการปรับปรุงแบบรูปการแผ่พลังงานของสายอากาศปากแตรรูปกรวยเพื่อให้ได้แบบรูปการแผ่พลังงานสมมาตรและระดับพู่ข้างต่ำ เมื่อได้แบบรูปการแผ่พลังงานที่ออกจากสายอากาศที่สมมาตรและระดับพู่ข้างต่ำเมื่อเทียบกับสายอากาศมาตรฐาน ต่อจากนั้นได้ทำการนำเทคนิคคุณสมบัติทิวส์ดuben โครงสร้างตัวกลางแบบเส้นลวดมาเพิ่มประสิทธิภาพสายอากาศปากแตรรูปกรวยเพื่อให้บรรลุตามวัตถุประสงค์ที่กำหนดไว้

4.7 สรุป

สำหรับบทนี้ได้กล่าวถึงขั้นตอนการออกแบบ และวิเคราะห์สายอากาศปากแตรรูปกรวยโดยใช้เทคนิคทิวส์ดuben โครงสร้างตัวกลางแบบเส้นลวดซึ่งในขั้นแรกได้ทำการศึกษาโครงสร้างของสายอากาศปากแตรรูปกรวยขนาดมาตรฐาน จากนั้นทำการวิเคราะห์และออกแบบโครงสร้างไดโอดีเล็กทรอนิกส์โหลดเพื่อปรับปรุงแบบรูปการแผ่พลังงานของสายอากาศปากแตรขนาดมาตรฐาน หลังจากนั้นได้ทำการวิเคราะห์และออกแบบโครงสร้างตัวกลางแบบเส้นลวดที่มีโครงสร้างและตำแหน่ง

การวางบนสายอากาศปากแตรขนาดมาตรฐานที่เหมาะสมเพื่อช่วยในการเพิ่มประสิทธิภาพของสายอากาศ โดยสายอากาศที่ได้มีอัตราขยายเพิ่มขึ้นระดับพูข้างต่ำ และHPBW ที่แคบ โดยทำการจำลองสายอากาศต้นแบบด้วยโปรแกรมสำเร็จรูป CST ก่อนเพื่อศึกษาความเป็นไปได้ของสายอากาศปากแตรรูปกรวยโดยใช้เทคนิคอภิวัดบนโครงสร้างตัวกลางแบบเส้นลวดสำหรับการนำไปสร้างสายอากาศแถวลำดับเส้นตรงต้นแบบต่อไป



บทที่ 5

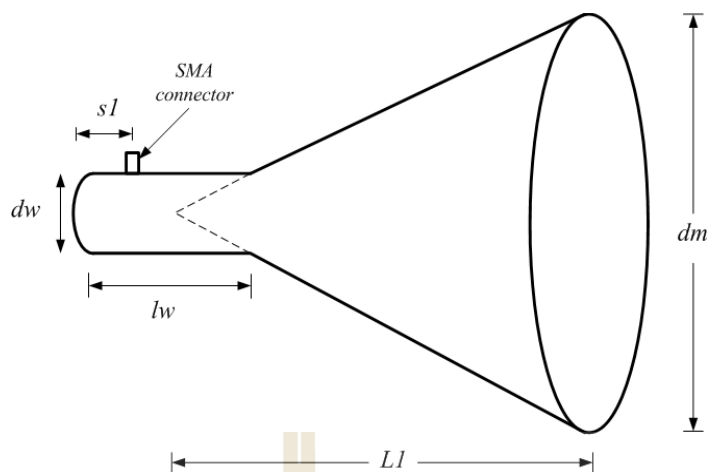
การสร้างและวัดทดสอบ

5.1 บทนำ

จากทฤษฎีและหลักการทั้งหมดที่กล่าวไว้แล้วในบทที่ผ่านมา ในบทนี้ได้ทำการออกแบบสายอากาศต้นแบบตามคุณลักษณะที่สำคัญของสายอากาศปากแตรรูปกรวยโดยใช้เทคนิคอภิวัดบนโครงสร้างตัวกลางแบบเส้นลวด และได้ทำการสร้างสายอากาศต้นแบบขึ้น จากนั้นทำการวัดทดสอบคุณลักษณะต่างๆ ได้แก่ ค่าสัมประสิทธิ์การสะท้อนกลับ แบบรูปการแผ่พลังงานทั้งในระนาบสนามไฟฟ้าและสนามแม่เหล็ก และอัตราขยาย ซึ่งในการวัดทดสอบคุณลักษณะข้างต้นจากเครื่องวิเคราะห์โครงข่าย (network analyzer) PNA รุ่น N5224A โดยทำการทดสอบในห้องไม่สะท้อนคลื่น (anechoic chamber) จากนั้นได้ทำการวิเคราะห์เปรียบเทียบผลจากการวิเคราะห์และจากผลการจำลองด้วยโปรแกรมสำเร็จรูป CST พร้อมอภิปรายผล

5.2 สายอากาศปากแตรรูปกรวยขนาดมาตรฐาน

ในการสร้างสายอากาศต้นแบบและการวัดค่าพารามิเตอร์ต่างๆ เพื่อทดสอบประสิทธิภาพสายอากาศปากแตรรูปกรวยโดยใช้เทคนิคอภิวัดบนโครงสร้างตัวกลางแบบเส้นลวดนั้น ในการวัดค่าพารามิเตอร์ต่างๆ นั้น โดยเริ่มต้นทำการสร้างและทดสอบสายอากาศปากแตรรูปกรวยขนาดมาตรฐาน ซึ่งได้แสดงวิธีการออกแบบและวิเคราะห์ผลการออกแบบไว้ในบทที่ 4 จากการจำลองโครงสร้างสายอากาศปากแตรเพื่อวิเคราะห์ผลการออกแบบของสายอากาศด้วยโปรแกรมสำเร็จรูป CST จนได้ค่าพารามิเตอร์ของสายอากาศตามที่ต้องการซึ่งค่าพารามิเตอร์ต่างๆ ที่ใช้ในการสร้างสายอากาศต้นแบบดังแสดงค่าในตารางที่ 5.1 โดยนำค่าพารามิเตอร์ที่ได้จากตารางที่ 5.1 มาทำการสร้างสายอากาศต้นแบบซึ่งโครงสร้างและสายอากาศปากแตรรูปกรวยขนาดมาตรฐานต้นแบบที่สร้างขึ้นได้แสดงดังรูปที่ 5.1 หลังจากได้สายอากาศต้นแบบที่สร้างขึ้นจึงทำการนำสายอากาศต้นแบบมาทำการวัดและทดสอบค่าพารามิเตอร์ของสายอากาศคือ ค่าสัมประสิทธิ์การสะท้อนกลับ ค่าอิมพีแดนซ์สายอากาศและแบบรูปการแผ่พลังงานซึ่งในการวัดและทดสอบสายอากาศต้นแบบที่ทำการสร้างขึ้นนั้น โดยทำการวัดและทดสอบสายอากาศภายในห้องไม่สะท้อน



(ก) โครงสร้างสายอากาศปากแตรรูปกรวยขนาดมาตรฐาน



(ข) สายอากาศปากแตรรูปกรวยขนาดมาตรฐานต้นแบบที่สร้างขึ้น

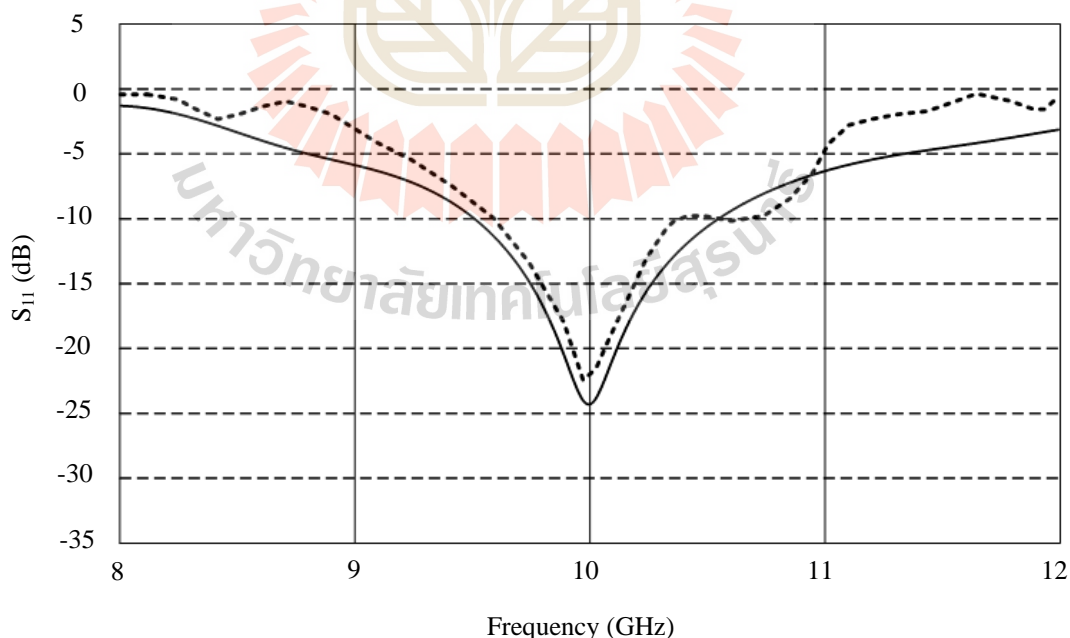
รูปที่ 5.1 สายอากาศปากแตรรูปกรวยขนาดมาตรฐาน

ตารางที่ 5.1 ค่าพารามิเตอร์ต่างๆ ของสายอากาศปากแตรรูปกรวยขนาดมาตรฐานต้นแบบ

| พารามิเตอร์ | ขนาด (λ) | ขนาด (mm) |
|--|--------------------|-----------|
| เส้นผ่าศูนย์กลางปากอะเพอร์เจอร์สายอากาศปากแตรรูปกรวยขนาดมาตรฐาน(d_m) | 4 | 120 |
| ความยาวของสายอากาศปากแตรรูปกรวย(L_l) | 3.75 | 112.5 |
| เส้นผ่าศูนย์กลางท่อนำคลื่นรูปทรงกระบอก(d_w) | 0.86 | 26 |
| ความยาวท่อนำคลื่นรูปทรงกระบอก(l_w) | 2 | 60 |

5.2.1 ผลการวัดทดสอบสัมประสิทธิ์การสะท้อน

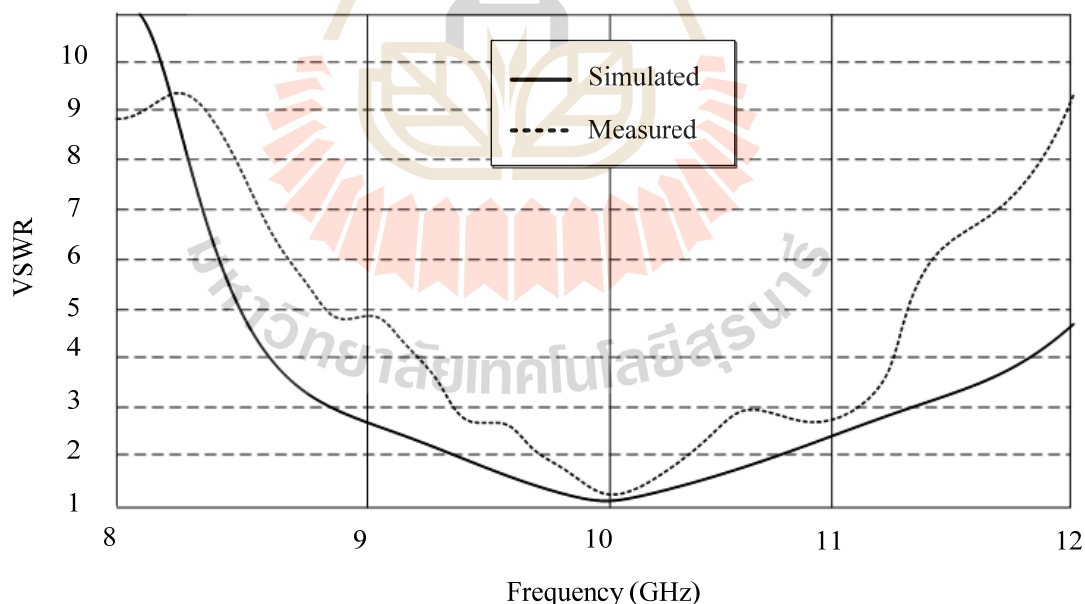
สำหรับพารามิเตอร์ที่สำคัญที่ใช้ในการพิจารณาการแมตซ์คือ ค่าสัมประสิทธิ์การสะท้อนกลับ(S_{11})ซึ่งเป็นการพิจารณาการสะท้อนกลับของกำลังไฟฟ้าด้านเข้าของสายอากาศซึ่งขนาดของ S_{11} อาจจะมีค่าได้ตั้งแต่ 0dB ถึง ลบอนันต์ (negative infinity dB) ถ้ามีค่าเท่ากับ 0dB แสดงว่าไม่แมตซ์อย่างสมบูรณ์ และถ้ามีค่าลบเป็นอนันต์ แสดงว่ามีการแมตซ์ที่สมบูรณ์ดีที่สุด (รังสรรค์ และ ชูวงศ์) ในการใช้งานด้านวิศวกรรมสายอากาศค่าของ S_{11} ที่ยอมรับได้ถ้ามีค่าต่ำกว่าหรือเท่ากับ -10dB ซึ่งจะสอดคล้องกับค่า SWR ที่มาค่าเท่ากับ 2 หรือต่ำกว่า จึงถือว่าเป็นที่ยอมรับได้ว่าสายอากาศนั้นมีการแมตซ์ที่ดี จากรูปที่ 5.2 ได้ทำการแสดงกราฟเปรียบเทียบระหว่างผลการวัดทดสอบและผลการจำลองด้วยโปรแกรมสำเร็จรูป CST ของค่า S_{11} ของสายอากาศปากแตรรูปกรวยขนาดมาตรฐานซึ่งจากรูปจะสังเกตได้ว่าที่ความถี่ปฏิบัติการ 10GHz ของสายอากาศปากแตรรูปกรวยต้นแบบมีค่า S_{11} เท่ากับ -24.62dB และ -24.25 dB ตามลำดับซึ่งจะเห็นได้ว่ากราฟทั้งสองมีความสอดคล้องกัน ณ ความถี่ปฏิบัติการนอกจากนี้ยังพบว่าความกว้างแถบความถี่ที่ได้จากผลการวัดและทดสอบมีความกว้างแถบความถี่น้อยกว่าผลที่ได้จากการจำลองด้วยโปรแกรมสำเร็จรูป CST เล็กน้อย โดยผลการจำลองด้วยโปรแกรมสำเร็จรูป CST มีค่าเปอร์เซ็นต์ความกว้างแถบเท่ากับ 11% และจากผลการวัดเท่ากับ 9.34 %



รูปที่ 5.2 กราฟเปรียบเทียบสัมประสิทธิ์การสะท้อนระหว่างผลการจำลองและผลวัดทดสอบของสายอากาศปากแตรรูปกรวยขนาดมาตรฐานต้นแบบ

5.2.2 ผลการวัดทดสอบอัตราส่วนคลื่นนิ่ง

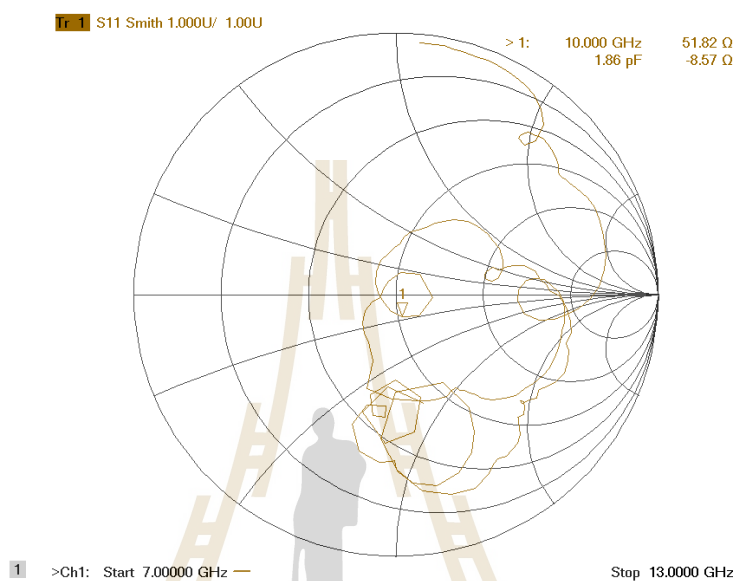
จากสายอากาศปากแตรรูปกรวยขนาดมาตรฐานต้นแบบที่ทำการสร้างขึ้นมาเรียบร้อยแล้ว ค่าพารามิเตอร์ที่บ่งบอกถึงประสิทธิภาพของสายอากาศอีกค่าหนึ่งก็คือค่ามีความสำคัญเป็นอย่างมาก คือค่าอัตราส่วนคลื่นนิ่ง (VSWR) สำหรับค่าอัตราส่วนคลื่นนิ่งนี้สามารถมีค่าต่ำสุดตั้งแต่ 1 ถึงอนันต์ โดยหากค่าอัตราส่วนคลื่นนิ่งมีค่าเท่ากับ 1 แสดงว่าสายอากาศนั้นมีการแมตช์ที่สมบูรณ์ หมายความว่ากำลังไฟฟ้าด้านเข้าที่ป้อนให้กับสายอากาศมีแบบรูปการแผ่พลังงานออกไปทั้งหมดโดยไม่มีการสะท้อนกลับมา และถ้าสายอากาศมีค่าอัตราส่วนคลื่นนิ่งเท่ากับอนันต์ หมายความว่าสายอากาศนั้นไม่แมตช์ทำให้กำลังไฟฟ้าที่ส่งออกไปเกิดการสะท้อนกลับมาทั้งหมด ซึ่งจะส่งผลให้เครื่องส่งได้รับความเสียหายได้จากการวัดทดสอบอัตราส่วนคลื่นนิ่งของสายอากาศปากแตรรูปกรวยขนาดมาตรฐานต้นแบบด้วยเครื่องวิเคราะห์โครงข่ายแล้วทำการเปรียบเทียบผลการจำลองด้วยโปรแกรมสำเร็จรูป CST จากผลการเปรียบเทียบดังแสดงได้ในรูปที่ 5.3 พบว่าอัตราส่วนคลื่นนิ่งของสายอากาศที่ได้จากการวัดมีค่าเท่ากับ 1.3 และผลที่ได้จากการจำลองมีค่าเท่ากับ 1.12 ซึ่งพบว่ากราฟแสดงอัตราส่วนคลื่นนิ่งของผลการจำลองและการวัดมีความสัมพันธ์และสอดคล้องกัน



รูปที่ 5.3 กราฟเปรียบเทียบอัตราส่วนคลื่นนิ่งระหว่างผลการจำลองและผลวัดทดสอบสายอากาศปากแตรรูปกรวยขนาดมาตรฐาน

5.2.3 ผลการวัดทดสอบค่าอิมพีแดนซ์

จากการวัดทดสอบค่าอิมพีแดนซ์ของสายอากาศปากแตรรูปกรวยขนาดมาตรฐาน ด้วยเครื่องวิเคราะห์โครงข่าย ที่ความถี่ปฏิบัติการ 10 GHz แสดงได้ดังรูปที่ 5.4 มีค่าอิมพีแดนซ์ เท่ากับ 51.82Ω ซึ่งใกล้เคียงกับค่าที่ยอมรับได้ คือ 50Ω



รูปที่ 5.4 ผลการวัดทดสอบค่าอิมพีแดนซ์ของสายอากาศปากแตรรูปกรวยขนาดมาตรฐานต้นแบบ

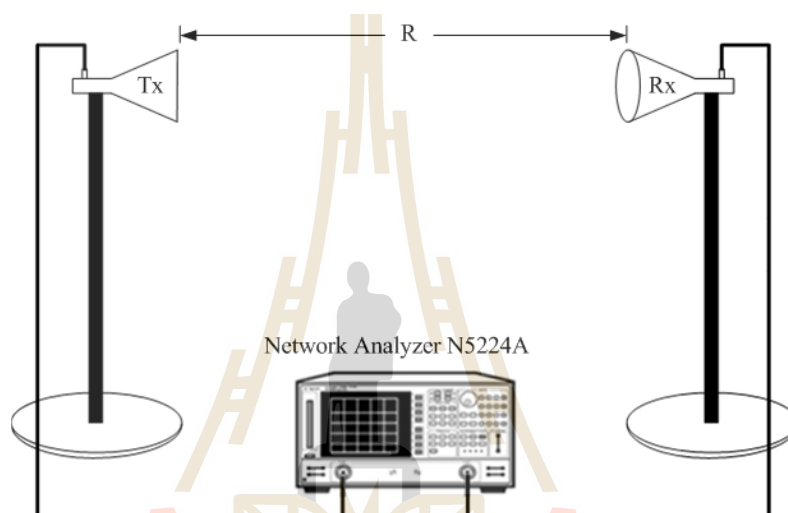
5.2.4 ผลการวัดทดสอบอัตราขยาย

ในการวัดทดสอบอัตราขยายของสายอากาศนั้นได้ทำการวัดทดสอบในห้องไม่สะท้อนคลื่น โดยมีระยะ R คือระยะห่างระหว่างการติดตั้งสายอากาศต้นแบบที่ทำการวัดทดสอบกับสายอากาศอ้างอิงเท่ากับหรือมากกว่าสนามระยะไกลคือ $R \geq 2D^2/\lambda$ โดยที่ D คือ ขนาดของสายอากาศวัดทดสอบ จากการคำนวณสนามระยะไกลได้ระยะ $R \geq 0.5$ เมตร ซึ่งในการวัดทดสอบนี้ได้กำหนดให้ระยะ $R = 1$ เมตรเพื่อใช้ในการวัดทดสอบโดยใช้สายอากาศปากแตรรูปสี่เหลี่ยมมุมฉากซึ่งมีความถี่ปฏิบัติการอยู่ที่ 10GHz เป็นสายอากาศอ้างอิงมาทำหน้าที่เป็นสายอากาศภาคส่งซึ่งสายอากาศดังกล่าวได้มีการวัดทดสอบมาตรฐานอัตราขยายเรียบร้อยแล้วโดยมีอัตราขยายที่ความถี่ปฏิบัติการ 10 GHz เท่ากับ 18.218 dBi และสายอากาศปากแตรรูปกรวยขนาดมาตรฐานต้นแบบที่จะทำการวัดทดสอบเป็นสายอากาศภาครับ ดังแสดงในรูปที่ 5.5 จากนั้นใช้สมการการส่งผ่านของฟรีส (Friis transmission equation) เป็นพื้นฐานในการคำนวณหาอัตราขยายของสายอากาศต้นแบบโดยสมการส่งผ่านของฟรีสที่นำมาใช้คือ

$$G_{r_{dB}} = P_{r_{dB}} - P_{t_{dB}} - G_{t_{dB}} + 20 \log \left(\frac{4\pi R}{\lambda} \right) \quad (5.1)$$

โดยที่

- G_{dB} คือ อัตราขยายรวมของสายอากาศภาคส่งและสายอากาศภาครับ
 G_t คือ อัตราขยายของสายอากาศภาคส่ง
 G_r คือ อัตราขยายของสายอากาศภาครับ
 R คือ ระยะห่างระหว่างสายอากาศภาคส่งและสายอากาศภาครับ(เมตร)



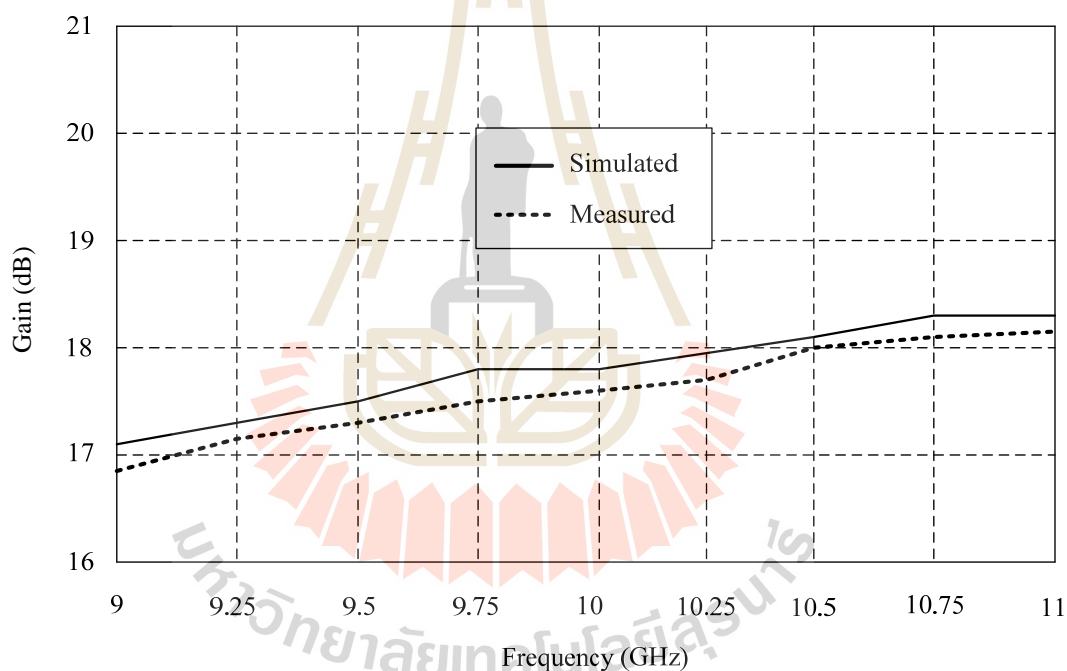
(ก) แสดงวิธีการวัดทดสอบอัตราขยาย



(ข) การติดตั้งจริงสำหรับการวัดทดสอบอัตราขยาย

รูปที่ 5.5 วิธีการวัดทดสอบอัตราขยายของสายอากาศปากแตรขนาดมาตรฐาน

จากผลการวัดทดสอบอัตราขยายของสายอากาศปากแตรขนาดมาตรฐานต้นแบบพบว่า มีอัตราขยายเท่ากับ 17.342 dBi นอกจากนี้ในการวัดทดสอบได้ทำพิจารณาการวัดสอบอัตราขยายของสายอากาศปากแตรขนาดมาตรฐานต้นแบบในช่วงความถี่กว้างแถบความถี่ของสายอากาศโดยทำการเปรียบเทียบอัตราขยายระหว่างผลการวัดทดสอบและผลการจำลองด้วยโปรแกรมสำเร็จรูป CST โดยทำการวัดทดสอบอัตราขยายของสายอากาศในช่วงความถี่ตั้งแต่ 9 GHz – 11 GHz ซึ่งในขั้นตอนการวัดอัตราขยายโดยใช้วิธีการวัดอัตราขยายตามที่ได้กล่าวไว้แล้วซึ่งสายอากาศที่นำมาใช้เป็นสายอากาศในภาคส่งคือสายอากาศปากแตรรูปสี่เหลี่ยมมุมฉากที่ได้ทำการทดสอบมาตรฐานอัตราขยายในแต่ละช่วงความถี่เป็นที่เรียบร้อยแล้วโดยกราฟผลการเปรียบเทียบอัตราขยายดังแสดงในรูปที่ 5.6

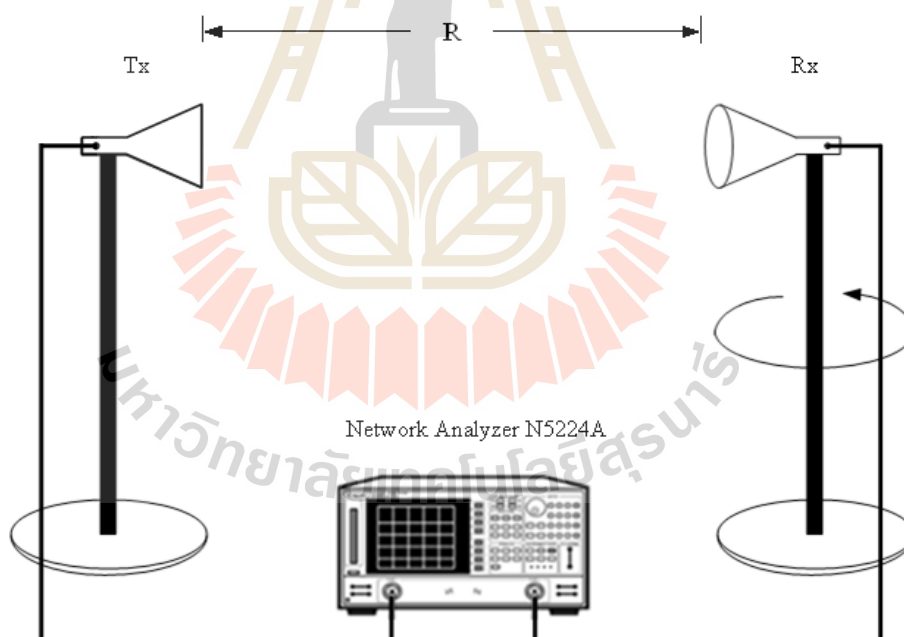


รูปที่ 5.6 ผลการเปรียบเทียบอัตราขยายของสายอากาศปากแตรขนาดมาตรฐานในช่วงความถี่ตั้งแต่ 9 GHz -11 GHz

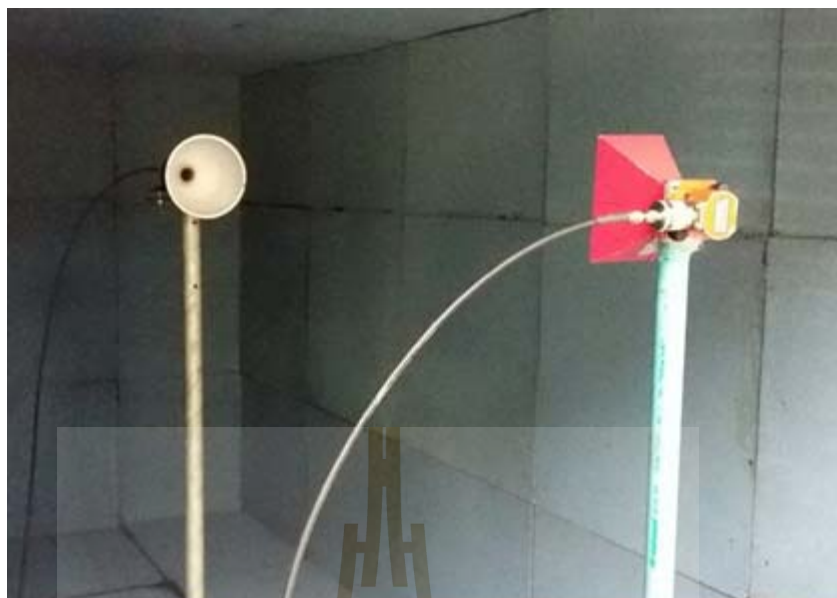
5.2.5 ผลการวัดทดสอบแบบรูปการแผ่พลังงาน

ในการวัดทดสอบแบบรูปการแผ่พลังงานของสายอากาศปากแตรรูปกรวยขนาดมาตรฐานต้นแบบ จากรูปที่ 5.7 แสดงวิธีการวัดทดสอบแบบรูปการแผ่พลังงานของสายอากาศปากแตรรูปกรวยขนาดมาตรฐานในระนาบสนามไฟฟ้าและวิธีการวัดทดสอบแบบรูปการแผ่พลังงานในระนาบสนามแม่เหล็กดังแสดงในรูปที่ 5.8 โดยในการวัดทดสอบได้ทำการวัดในห้องไม่

สะท้อนคลื่นและโดยมีระยะของ R ในการติดตั้งระหว่างสายอากาศต้นแบบที่ทำการวัดทดสอบกับสายอากาศอ้างอิงเท่ากับหรือมากกว่าสนามระยะไกลคือ $R \geq 2D^2/\lambda$ โดยที่ค่า D คือ ขนาดของสายอากาศวัดทดสอบ จากการคำนวณสนามระยะไกลได้ระยะ $R \geq 0.5$ เมตรซึ่งในการวัดทดสอบนี้ได้กำหนดให้ระยะ $R = 1$ เมตร โดยใช้สายอากาศปากแตรรูปสี่เหลี่ยมมุมฉากซึ่งมีความถี่ปฏิบัติการอยู่ที่ 10GHz เป็นสายอากาศอ้างอิงมาทำหน้าที่เป็นสายอากาศภาคส่ง และในการวัดทดสอบจะทำการหมุนสายอากาศปากแตรรูปกรวยขนาดมาตรฐาน(สายอากาศภาครับ) ซึ่งจะมีการหมุนรอบแนวแกนหมุนในแต่ละระนาบเพื่อรับคลื่นจากสายอากาศภาคส่งตั้งแต่มุม 0 องศา จนถึงมุม 360 องศา ทำให้ได้แบบรูปการแผ่พลังงานของสายอากาศทั้งหมดในระนาบสนามไฟฟ้าและระนาบสนามแม่เหล็กดังแสดงในรูปที่ 5.9 จากผลการวัดทดสอบสายอากาศปากแตรรูปกรวยขนาดมาตรฐานต้นแบบ พบว่าแบบรูปการแผ่พลังงานของในระนาบสนามไฟฟ้าและสนามแม่เหล็กมีความสอดคล้องกับผลที่ได้จากการจำลองด้วยโปรแกรมสำเร็จรูป CST โดยมีลักษณะของแบบรูปการแผ่พลังงานใกล้เคียงกับแบบรูปทิศทางในระนาบเดียว

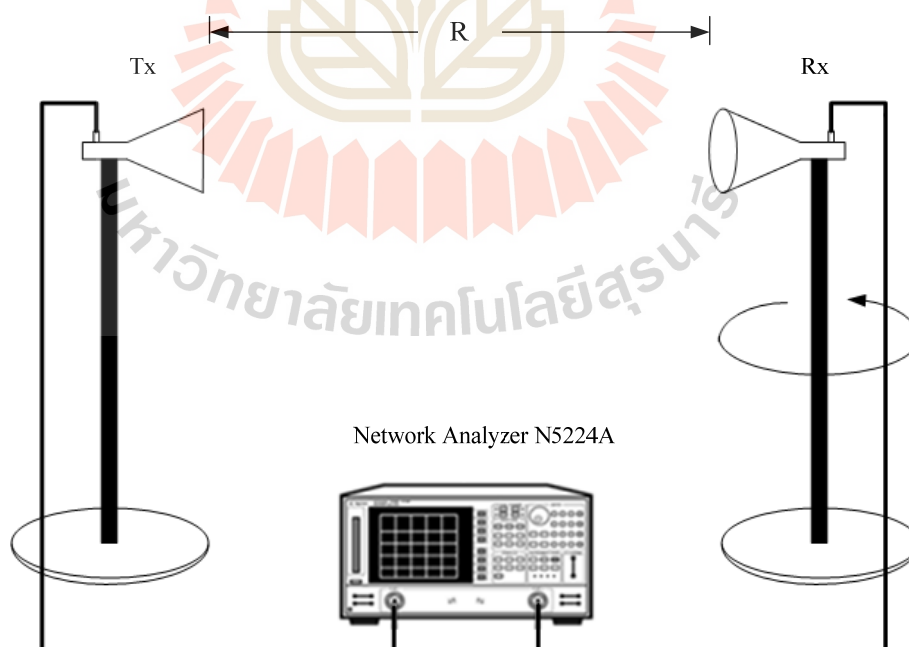


(ก) แสดงวิธีการวัดทดสอบแบบรูปการแผ่พลังงานในระนาบสนามไฟฟ้า

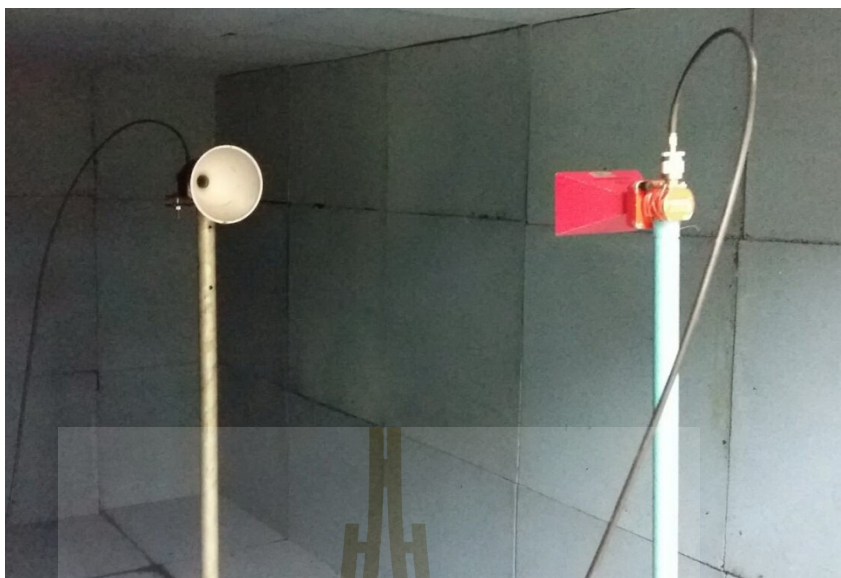


(ข) การติดตั้งจริงสำหรับการวัดทดสอบแบบรูปการแผ่พลังงานในระนาบสนามไฟฟ้า

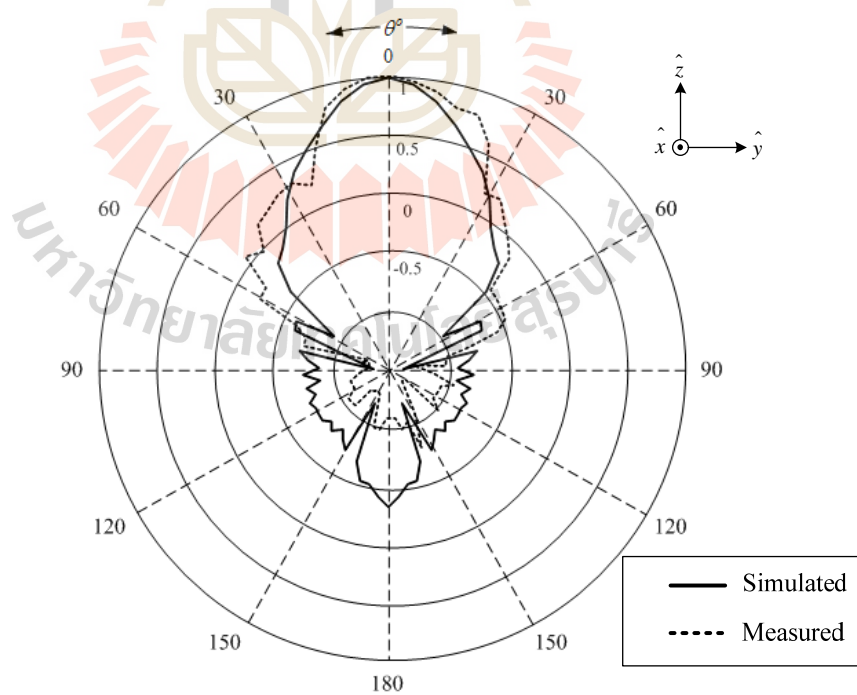
รูปที่ 5.7 วิธีการวัดทดสอบแบบรูปการแผ่พลังงานระนาบสนามไฟฟ้าของสายอากาศปากแตร
ขนาดมาตรฐาน



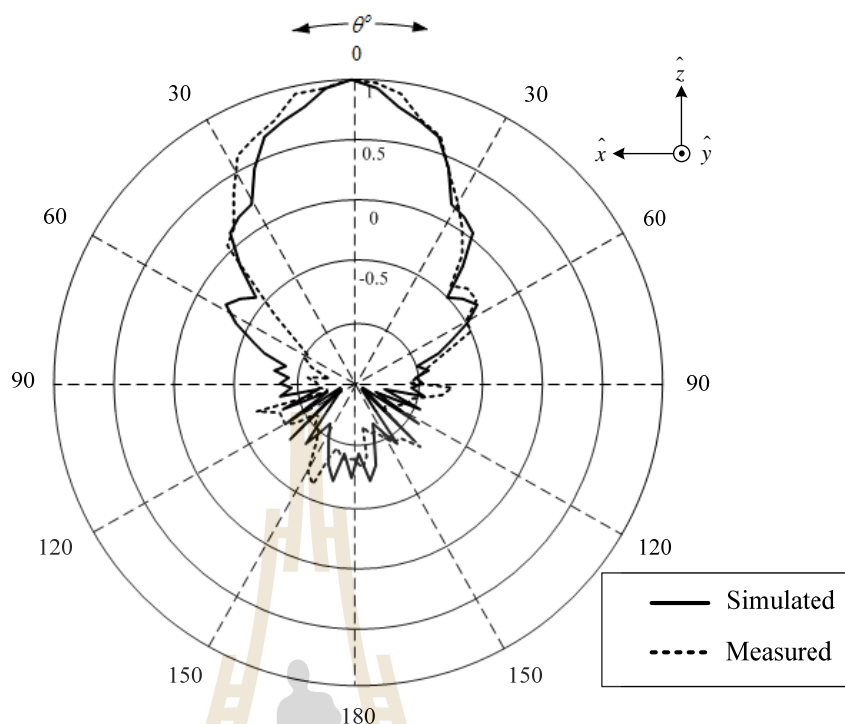
(ก) แสดงวิธีการวัดทดสอบแบบรูปการแผ่พลังงานในระนาบสนามแม่เหล็ก



(ข) การติดตั้งจริงสำหรับการวัดทดสอบแบบรูปการแผ่พลังงานในระนาบสนามแม่เหล็ก
รูปที่ 5.8 วิธีการวัดทดสอบแบบรูปการแผ่พลังงานระนาบสนามแม่เหล็กของสายอากาศ
ปากแตรขนาดมาตรฐาน



(ค) ระนาบสนามไฟฟ้า



(ข) ระบายสนามแม่เหล็ก

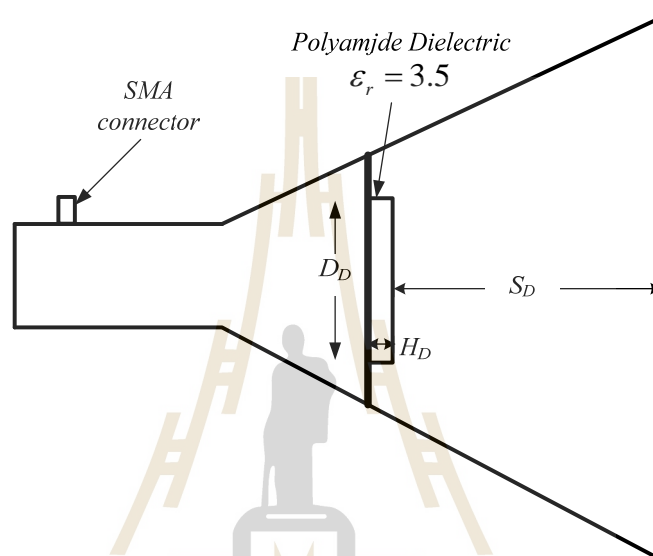
รูปที่ 5.9 แบบรูปการแผ่พลังงานของสายอากาศปากแตรขนาดมาตรฐาน

5.3 สายอากาศปากแตรรูปกรวยกรณีสไลด์ไดอิเล็กตริก

สายอากาศปากแตรรูปกรวยกรณีสไลด์ไดอิเล็กตริกเข้าไปภายในสายอากาศเพื่อทำการปรับปรุงประสิทธิภาพแบบรูปการแผ่พลังงานของสายอากาศปากแตรขนาดมาตรฐาน เพื่อให้มีแบบรูปการแผ่พลังงานที่สมมาตรขึ้น อีกทั้งลดระดับพูข้างให้ลดต่ำลงจากการวิเคราะห์ค่าพารามิเตอร์ต่างๆ ของสายอากาศปากแตรรูปกรวยกรณีสไลด์ไดอิเล็กตริกจนได้ค่าพารามิเตอร์ที่เหมาะสมแล้วจึงทำการสร้างสายอากาศต้นแบบขึ้นมา โดยในการออกแบบและวิเคราะห์หาค่าพารามิเตอร์สำหรับไดอิเล็กตริกที่ใช้ในการสร้างโหลดไดอิเล็กตริกคือ ไดอิเล็กตริกชนิดพอลิเอไมด์ (polyamide) จากการวิเคราะห์วัสดุที่นำมาใช้ในการสร้างโหลดไดอิเล็กตริกพบว่า ไดอิเล็กตริกชนิดพอลิเอไมด์มีคุณสมบัติในการปรับปรุงแบบรูปการแผ่พลังงานดีที่สุดโดยรูปแบบโครงสร้างของโหลดไดอิเล็กตริกและสายอากาศปากแตรรูปกรวยกรณีสไลด์ไดอิเล็กตริกต้นแบบดังแสดงในรูปที่ 5.10 และการกำหนดค่าพารามิเตอร์ต่างๆ ของโหลดไดอิเล็กตริกของสายอากาศต้นแบบดังแสดงไว้ในตารางที่ 5.2

ตารางที่ 5.2 ค่าพารามิเตอร์ต่างๆ ของสายอากาศปากแตรรูปกรวยกรณีสไโพลดไดอิเล็กตริก

| ค่าพารามิเตอร์ | ขนาด (λ) | ขนาด (mm) |
|---|--------------------|-----------|
| ความหนาของโพลดไดอิเล็กตริก (H_D) | 0.25 | 7.5 |
| เส้นผ่าศูนย์กลางกลางของโพลดไดอิเล็กตริก (D_D) | 1 | 30 |
| ระยะตำแหน่งการวางโพลดไดอิเล็กตริก (S_D) | 2.554 | 76.24 |



(ก) โครงสร้างสายอากาศปากแตรรูปกรวยกรณีสไโพลดไดอิเล็กตริก

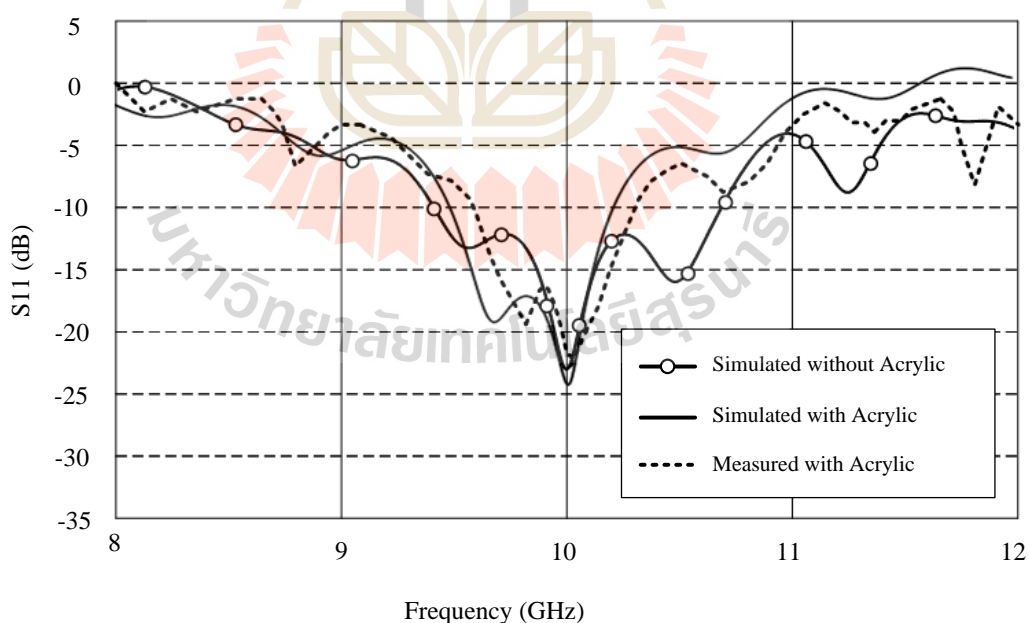


(ข) สายอากาศปากแตรรูปกรวยกรณีสไโพลดไดอิเล็กตริกต้นแบบ

รูปที่ 5.10 สายอากาศปากแตรรูปกรวยกรณีสไโพลดไดอิเล็กตริก

5.3.1 ผลการวัดทดสอบสัมประสิทธิ์การสะท้อน

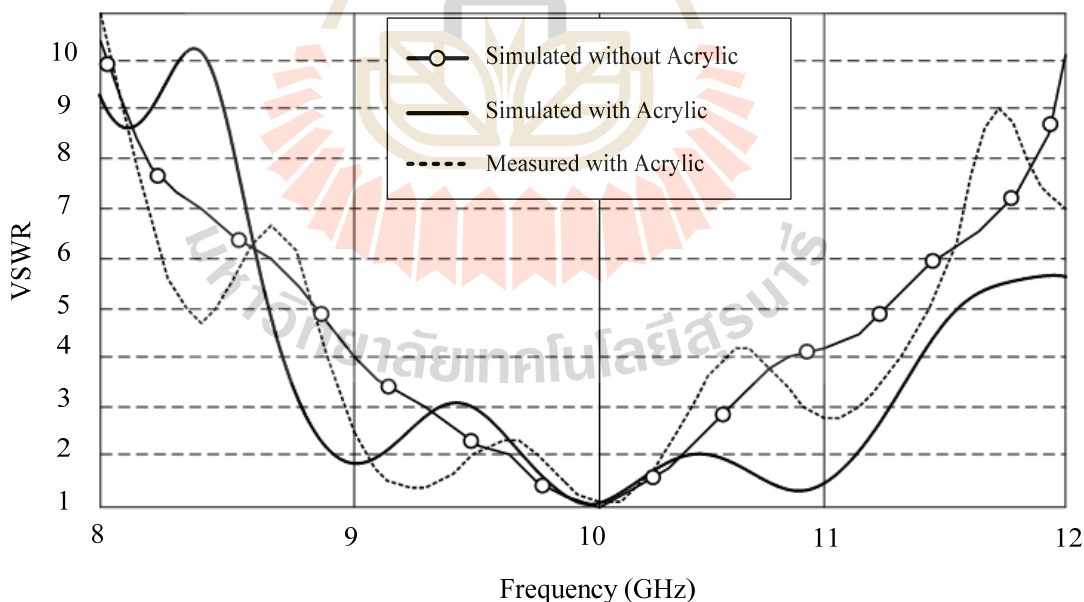
จากสาขาอากาศปากแตรรูปกรวยกรณีใส่โพลด์ไดอิเล็กตริกต้นแบบที่ทำการสร้างขึ้นมาเรียบร้อยแล้วจึงนำสาขาอากาศปากแตรที่ได้มาทำการเปรียบเทียบผลการวัดกับผลการจำลองด้วยโปรแกรมสำเร็จรูป CST จากรูปที่ 5.11 แสดงกราฟเปรียบเทียบค่าสัมประสิทธิ์การสะท้อนกลับระหว่างผลการวัดและผลการจำลองด้วยโปรแกรมสำเร็จรูป CST จะสังเกตได้ว่าที่ความถี่ปฏิบัติการ 10GHz สาขาอากาศต้นแบบมีค่าสัมประสิทธิ์การสะท้อนกลับของผลการจำลองด้วยโปรแกรมสำเร็จรูป CST มีค่าเท่ากับ -24.62dB และจากผลการวัดมีค่าเท่ากับ -27.27 dB ตามลำดับซึ่งจะเห็นว่ากราฟทั้งสองมีความสอดคล้องกัน ณ ความถี่เรโซแนนซ์เมื่อพิจารณาในส่วนของความถี่แถบความถี่สังเกตได้ว่าผลจากการวัดจะมีค่าความถี่แถบความถี่แคบกว่าผลที่ได้จากการจำลองด้วยโปรแกรมสำเร็จรูป CST และที่ความถี่ต่ำกว่าความถี่ปฏิบัติการจะพบว่าการสะท้อนกลับเกิดขึ้นซึ่งเป็นผลกระทบจากตัวโครงสร้างโพลด์ไดอิเล็กตริกที่ทำการสร้างขึ้นจริง ในการพิจารณาความถี่แถบความถี่พบว่าผลการวัดทดสอบมีความถี่แถบความถี่น้อยกว่าผลที่ได้จากการจำลองด้วยโปรแกรมสำเร็จรูป CST โดยผลการจำลองด้วยโปรแกรมสำเร็จรูป CST มีค่าเปอร์เซ็นต์ความถี่แถบเท่ากับ 9.45% และจากผลการวัดเท่ากับ 9.13 %



รูปที่ 5.11 กราฟเปรียบเทียบสัมประสิทธิ์การสะท้อนกลับระหว่างผลการจำลองและผลวัดทดสอบของสาขาอากาศปากแตรรูปกรวยกรณีใส่โพลด์ไดอิเล็กตริกต้นแบบ

5.3.2 ผลการวัดทดสอบอัตราส่วนคลื่นนิ่ง

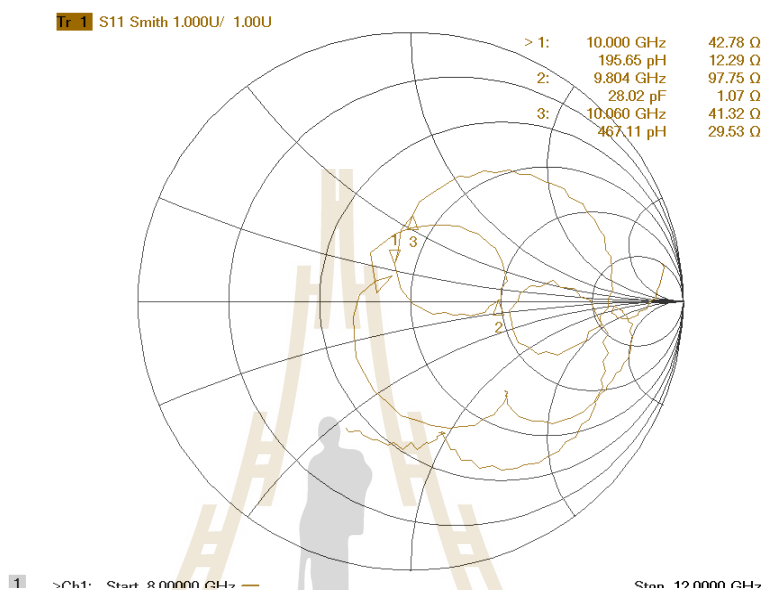
จากสายอากาศปากแตรรูปกรวยกรณิใส่โพลด์ไดอิเล็กตริกต้นแบบที่ทำการสร้างขึ้นมาเรียบร้อยแล้ว ค่าพารามิเตอร์ที่บ่งบอกถึงประสิทธิภาพของสายอากาศอีกค่าหนึ่งก็คือค่าความสำคัญเป็นอย่างยิ่ง คือค่าอัตราส่วนคลื่นนิ่ง (VSWR) สำหรับค่าอัตราส่วนคลื่นนิ่งสามารถมีค่าต่ำสุดตั้งแต่ 1 ถึงอนันต์ โดยถ้าอัตราส่วนคลื่นนิ่ง มีค่าเท่ากับ 1 แสดงว่าสายอากาศนั้นมีการแมตช์ที่สมบูรณ์ หมายความว่ากำลังไฟฟ้าด้านเข้าที่ป้อนให้กับสายอากาศมีแบบรูปการแผ่พลังงานออกไปทั้งหมดไม่มีการสะท้อนกลับมา และถ้าสายอากาศมีค่าอัตราส่วนคลื่นนิ่งเท่ากับอนันต์หมายความว่าสายอากาศนั้นไม่แมตช์ทำให้กำลังไฟฟ้าที่ส่งออกไปเกิดการสะท้อนกลับมาทั้งหมดซึ่งจะส่งผลให้เครื่องส่งได้รับความเสียหายได้จากการวัดทดสอบอัตราส่วนคลื่นนิ่ง ของสายอากาศปากแตรรูปกรวยกรณิใส่โพลด์ไดอิเล็กตริกด้วยเครื่องวิเคราะห์โครงข่ายที่ความถี่ 10 GHz แล้วทำการเปรียบเทียบผลจากการวัดทดสอบกับผลจากการจำลองด้วยโปรแกรมสำเร็จรูป CST จากผลการเปรียบเทียบดังแสดงได้ในรูปที่ 5.12 พบว่าอัตราส่วนคลื่นนิ่งของสายอากาศที่ได้จากการวัดมีค่าเท่ากับ 1.12 และผลที่ได้จากการจำลองมีค่าเท่ากับ 1.02 ซึ่งพบว่ากราฟแสดงอัตราส่วนคลื่นนิ่งของทั้งสองมีความสัมพันธ์และสอดคล้องกัน



รูปที่ 5.12 กราฟเปรียบเทียบอัตราส่วนคลื่นนิ่งระหว่างผลการจำลองและผลวัดทดสอบของสายอากาศปากแตรรูปกรวยกรณิใส่โพลด์ไดอิเล็กตริกต้นแบบ

5.3.3 ผลการวัดทดสอบค่าอิมพีแดนซ์

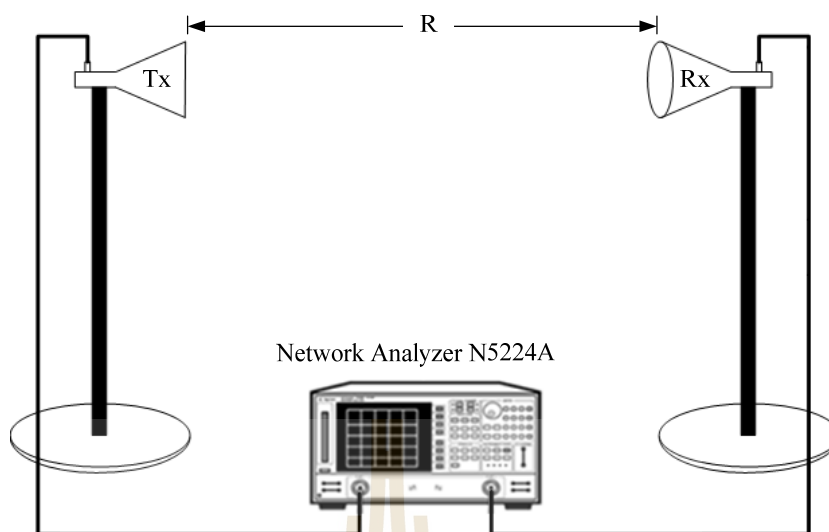
จากการวัดทดสอบค่าอิมพีแดนซ์ของสายอากาศปากแตรรูปกรวยกรณีใส่โหลดไดอิเล็กตริกด้วยเครื่องวิเคราะห์โครงข่าย ที่ความถี่ 10 GHz แสดงได้ดังรูปที่ 5.13 มีค่าอิมพีแดนซ์เท่ากับ 42.78Ω ซึ่งใกล้เคียงกับค่าที่ยอมรับได้ คือ 50Ω



รูปที่ 5.13 ผลการวัดทดสอบค่าอิมพีแดนซ์ของสายอากาศปากแตรรูปกรวยกรณีใส่โหลดไดอิเล็กตริกต้นแบบ

5.3.4 ผลการวัดทดสอบอัตราขยาย

สำหรับการวัดอัตราขยายของสายอากาศปากแตรรูปกรวยกรณีใส่โหลดไดอิเล็กตริกต้นแบบที่สร้างขึ้น โดยทำการวัดทดสอบในห้องไม่สะท้อนคลื่น ซึ่งมีระยะ R คือ ระยะห่างระหว่างการติดตั้งสายอากาศต้นแบบที่ทำการวัดทดสอบกับสายอากาศอ้างอิงเท่ากับหรือมากกว่าสนามระยะไกลคือ $R \geq 2D^2/\lambda$ โดยที่ D คือ ขนาดของสายอากาศวัดทดสอบ จากการคำนวณสนามระยะไกลได้ระยะ $R \geq 0.5$ เมตร ในการวัดทดสอบนี้ได้กำหนดให้ระยะ $R = 1$ เมตร เพื่อใช้ในการวัดทดสอบ โดยใช้สายอากาศปากแตรรูปสี่เหลี่ยมมุมฉากซึ่งมีความถี่ปฏิบัติการอยู่ที่ 10GHz เป็นสายอากาศอ้างอิงมาทำหน้าที่เป็นสายอากาศในภาคส่งซึ่งสายอากาศดังกล่าวได้มีการวัดทดสอบมาตรฐานอัตราขยายเรียบร้อยแล้วโดยมีอัตราขยายที่ความถี่ปฏิบัติการ 10 GHz เท่ากับ 18.218 dBi และสายอากาศปากแตรรูปกรวยกรณีใส่โหลดไดอิเล็กตริกต้นแบบเป็นสายอากาศภาครับ ดังแสดงในรูปที่ 5.14 จากนั้นทำการนำสมการการส่งผ่านของปริสมาใช้ในการคำนวณหาค่าอัตราขยายของสายอากาศปากแตรรูปกรวยกรณีใส่โหลดไดอิเล็กตริกต้นแบบจากสมการ (5.1) พบว่าอัตราขยายที่ได้จากการวัด ณ ที่ความถี่ 10 GHz มีค่าเท่ากับ 18.168 dBi



(ก) แสดงวิธีการวัดทดสอบอัตรายาย

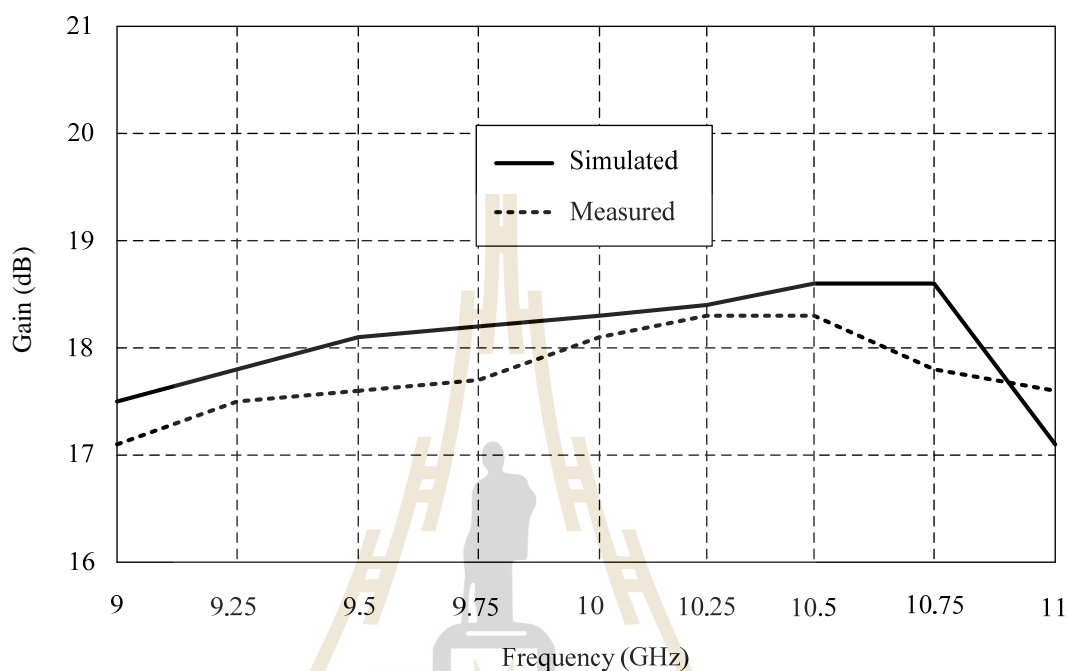


(ข) การติดตั้งจริงสำหรับการวัดทดสอบอัตรายาย

รูปที่ 5.14 วิธีการวัดทดสอบอัตรายายของสายอากาศปากแตรรูปกรวยกรณีใส่หลอดไดโอดีเล็คทริก

จากนั้นได้ทำการวัดทดสอบอัตรายายของสายอากาศปากแตรรูปกรวยกรณีใส่หลอดไดโอดีเล็คทริกต้นแบบในช่วงความถี่แถบความถี่ของสายอากาศโดยทำการเปรียบเทียบอัตรายายระหว่างผลการวัดทดสอบและผลการจำลองด้วยโปรแกรมสำเร็จรูป CST โดยแสดงการวัดทดสอบอัตรายายของสายอากาศในช่วงความถี่ตั้งแต่ 9 GHz - 11 GHz ซึ่งในขั้นตอนการวัดอัตรายาย

โดยใช้วิธีการวัดอัตราขยายตามที่ได้กล่าวไว้แล้ว ซึ่งสายอากาศที่นำมาใช้เป็นสายอากาศในภาคส่งคือสายอากาศปากแตรรูปสี่เหลี่ยมมุมฉากที่ได้ทำการทดสอบมาตรฐานอัตราขยายในแต่ละช่วงความถี่เป็นที่เรียบร้อยแล้วโดยกราฟผลการเปรียบเทียบอัตราขยายดังแสดงในรูปที่ 5.15

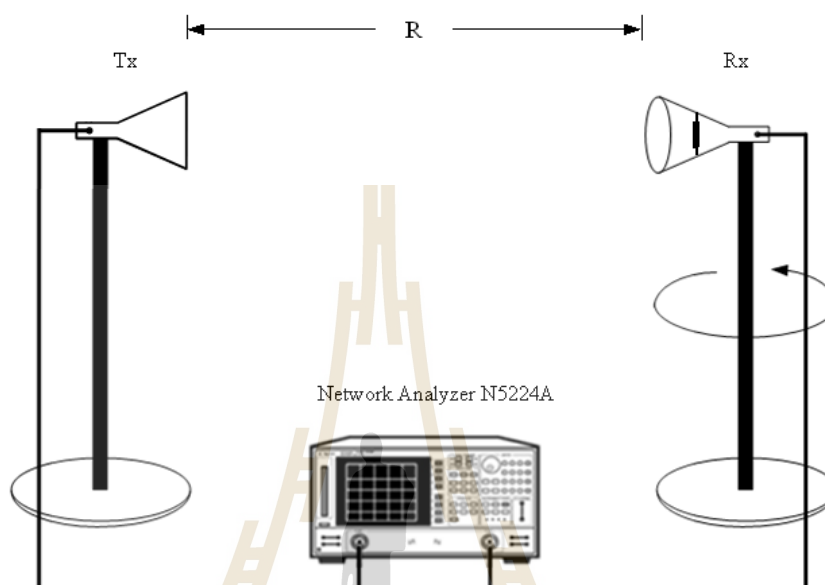


รูปที่ 5.15 ผลการเปรียบเทียบอัตราขยายของสายอากาศปากแตรรูปกรวยกรณีใส่โหลดไดโอดีเล็กตรีกในช่วงความถี่ตั้งแต่ 9 GHz -11 GHz

5.3.5 ผลการวัดทดสอบแบบรูปการแผ่พลังงาน

จากรูปที่ 5.16 และ 5.17 แสดงวิธีการวัดทดสอบแบบรูปการแผ่พลังงานของสายอากาศปากแตรรูปกรวยกรณีใส่โหลดไดโอดีเล็กตรีกทั้งในสนามไฟฟ้าและสนามแม่เหล็กตามลำดับ โดยทำการทดสอบในห้องไม่สะท้อนคลื่นและมีระยะ R ในการติดตั้งระหว่างสายอากาศต้นแบบที่ทำการวัดทดสอบกับสายอากาศอ้างอิงเท่ากับหรือมากกว่าสนามระยะไกล คือ $R \geq 2D^2/\lambda$ โดยที่ D คือ ขนาดของสายอากาศวัดทดสอบ จากการคำนวณสนามระยะไกลได้ระยะ $R \geq 0.5$ เมตร ซึ่งงานการวัดทดสอบนี้ได้กำหนดให้ระยะ $R = 1$ เมตร โดยใช้สายอากาศปากแตรรูปสี่เหลี่ยมมุมฉากซึ่งมีความถี่ปฏิบัติการอยู่ที่ 10GHz เป็นสายอากาศอ้างอิงโดยทำหน้าที่เป็นสายอากาศภาคส่งและในการวัดทดสอบจะทำการหมุนสายอากาศปากแตรรูปกรวยกรณีใส่โหลดไดโอดีเล็กตรีก (สายอากาศภาครับ) ซึ่งจะมีการหมุนรอบแนวแกนหมุนในแต่ละระนาบเพื่อรับคลื่นจากสายอากาศภาคส่งตั้งแต่มุม 0 องศา จนถึงมุม 360 องศา ทำให้ได้แบบรูปการแผ่พลังงานของสายอากาศทั้งหมด

ในระนาบสนามไฟฟ้าและระนาบสนามแม่เหล็กดังแสดงในรูปที่ 5.18 จากผลการวัดทดสอบสายอากาศปากแตรรูปกรวยกรณีสไโพลคไดอิเล็กตริกต้นแบบ พบว่าแบบรูปการแผ่พลังงานของในระนาบสนามไฟฟ้าและสนามแม่เหล็กมีความสอดคล้องกับผลที่ได้จากการจำลองด้วยโปรแกรมสำเร็จรูป CST ซึ่งมีลักษณะของแบบรูปการแผ่พลังงานใกล้เคียงกับแบบรอบทิศทางในระนาบเดียว

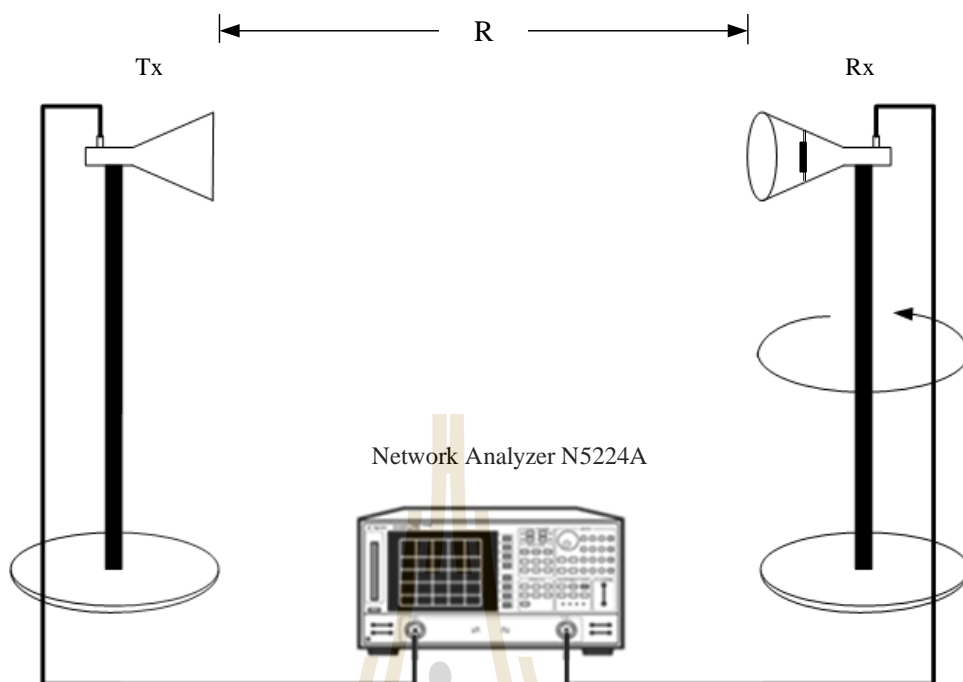


(ก) แสดงวิธีการวัดทดสอบแบบรูปการแผ่พลังงานในระนาบสนามไฟฟ้า



(ข) การติดตั้งจริงสำหรับการวัดทดสอบแบบรูปการแผ่พลังงานในระนาบสนามไฟฟ้า

รูปที่ 5.16 วิธีการวัดทดสอบแบบรูปการแผ่พลังงานระนาบสนามไฟฟ้าของสายอากาศปากแตรรูปกรวยกรณีสไโพลคไดอิเล็กตริก

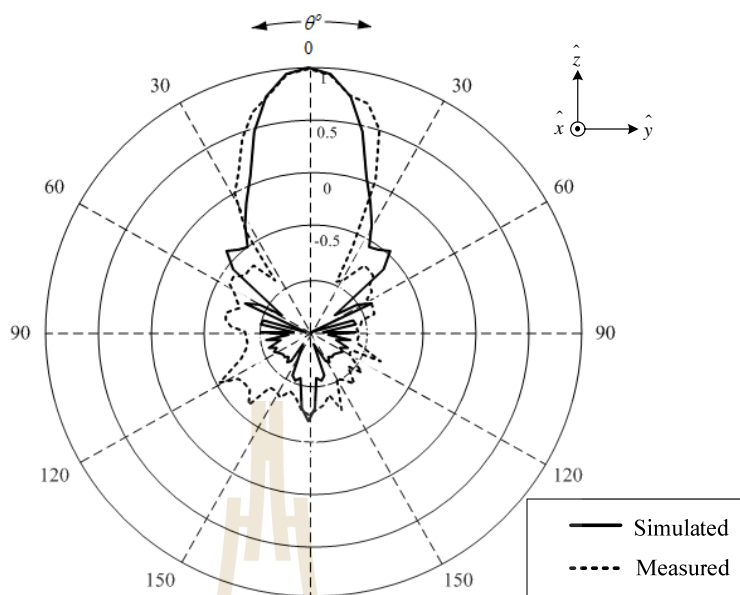


(ก) แสดงวิธีการวัดทดสอบแบบรูปการแผ่พลังงานในระนาบสนามแม่เหล็ก

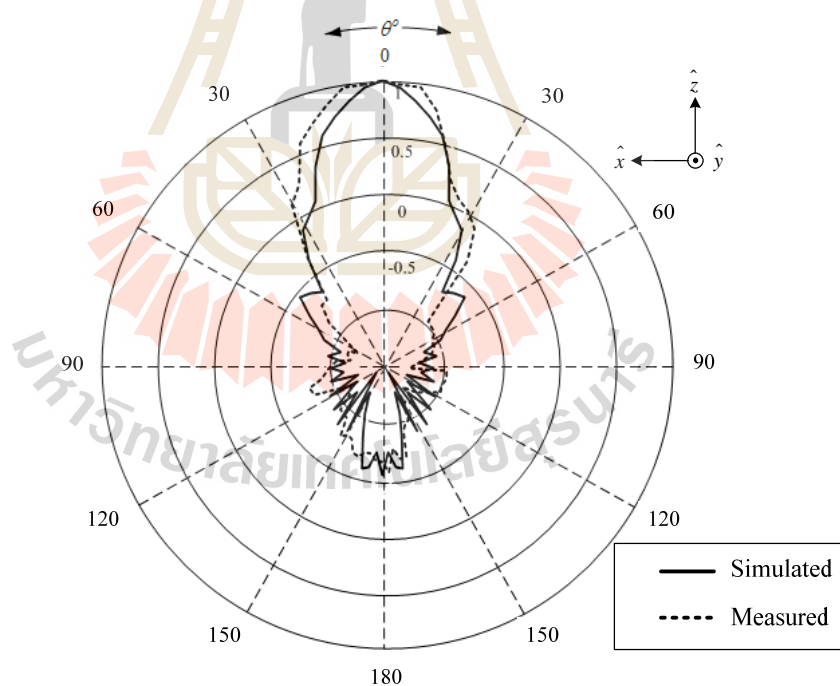


(ข) การติดตั้งจริงสำหรับการวัดทดสอบแบบรูปการแผ่พลังงานระนาบสนามแม่เหล็ก

รูปที่ 5.17 วิธีการวัดทดสอบแบบรูปการแผ่พลังงานระนาบสนามแม่เหล็กของสายอากาศปากแตร
รูปกรวยกรณีสโพลไดโอดอิเล็กทรอนิกส์



(ก) ระนาบสนามไฟฟ้า



(ข) ระนาบสนามแม่เหล็ก

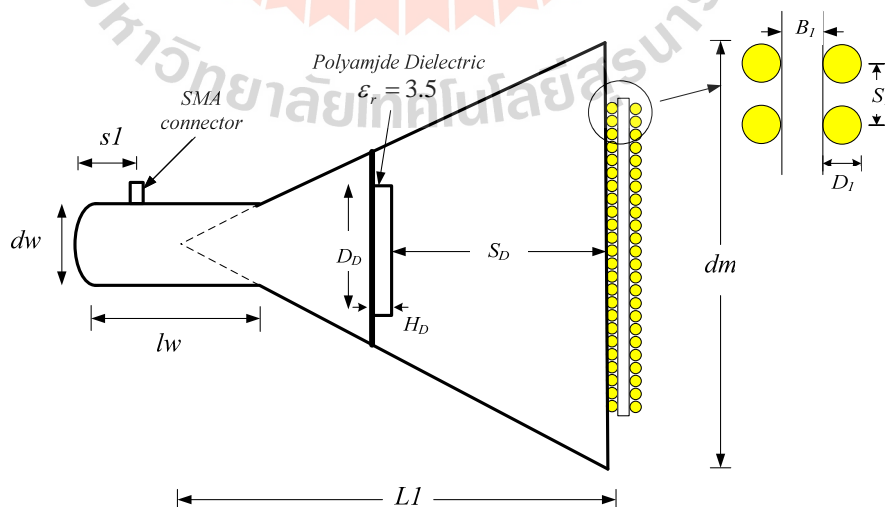
รูปที่ 5.18 การเปรียบเทียบแบบรูปการแผ่พลังงานระหว่างผลการจำลองและการวัดของสายอากาศปากแตรรูปกรวยกรณีใส่โหลดไดโอดเล็กตริก

5.4 สายอากาศปากแตรโดยใช้คุณสมบัติของวัสดุบนโครงสร้างตัวกลางแบบเส้นลวด

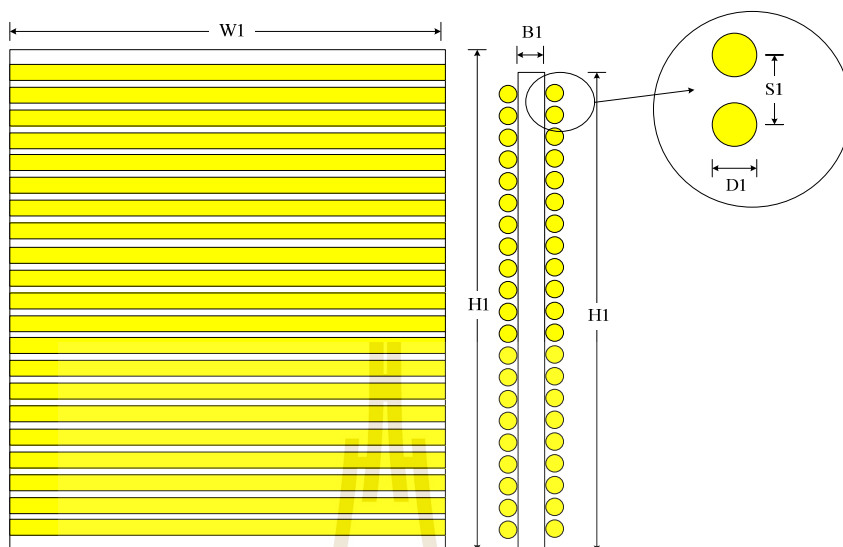
สายอากาศปากแตรรูปกรวยโดยใช้คุณสมบัติของวัสดุบนโครงสร้างตัวกลางแบบเส้นลวด คือสายอากาศที่นำเสนอในงานวิจัยชิ้นนี้ซึ่งจากการออกแบบและวิเคราะห์ในบทที่ผ่านมาจนกระทั่งได้ค่าพารามิเตอร์ต่างๆ ที่มีความเหมาะสมเป็นไปตามวัตถุประสงค์ที่ได้กำหนดได้ แล้วทำการนำไปสร้างสายอากาศต้นแบบขึ้นมา โดยโครงสร้างของสายอากาศปากแตรรูปกรวยโดยใช้คุณสมบัติของวัสดุบนโครงสร้างตัวกลางแบบเส้นลวดได้แสดงดังรูปที่ 5.19 ซึ่งจะประกอบด้วยเทคนิคการใส่โพลไดอิเล็กตริกภายในสายอากาศปากแตรเพื่อใช้ในการปรับปรุงแบบรูปการแผ่พลังงานและการนำโครงสร้างตัวกลางแบบเส้นลวดเพื่อช่วยเพิ่มประสิทธิภาพของสายอากาศปากแตรรูปกรวย โดยได้แสดงค่าพารามิเตอร์ต่างๆ ของสายอากาศดังตารางที่ 5.3 หลังจากนั้นทำการวัดเพื่อทดสอบประสิทธิภาพของสายอากาศและเปรียบเทียบผลของการวัดกับผลที่ได้จากการจำลองด้วยโปรแกรม CST

ตารางที่ 5.3 ค่าพารามิเตอร์ต่างๆ ของโครงสร้างสื่อตัวกลางแบบเส้นลวด

| ค่าพารามิเตอร์ | ขนาด (λ) | ขนาด (mm) |
|---|--------------------|-----------|
| ความหนาของไดอิเล็กตริกสื่อตัวกลางแบบเส้นลวด (B_I) | 0.166λ | 3.5 |
| ความกว้างของไดอิเล็กตริกสื่อตัวกลางแบบเส้นลวด (W_I) | 2λ | 60 |
| ความสูงของไดอิเล็กตริกสื่อตัวกลางแบบเส้นลวด (H_I) | 2.26λ | 68 |
| ระยะห่างระหว่างเส้นลวดที่วางขนานกัน (S_I) | 0.166λ | 3.5 |
| เส้นผ่าศูนย์กลางกลางของเส้นลวด (D_I) | 0.083λ | 2.5 |



(ก) โครงสร้างสายอากาศปากแตรรูปกรวยที่นำเสนอ



(ข) โครงสร้างตัวกลางแบบเส้นลวด

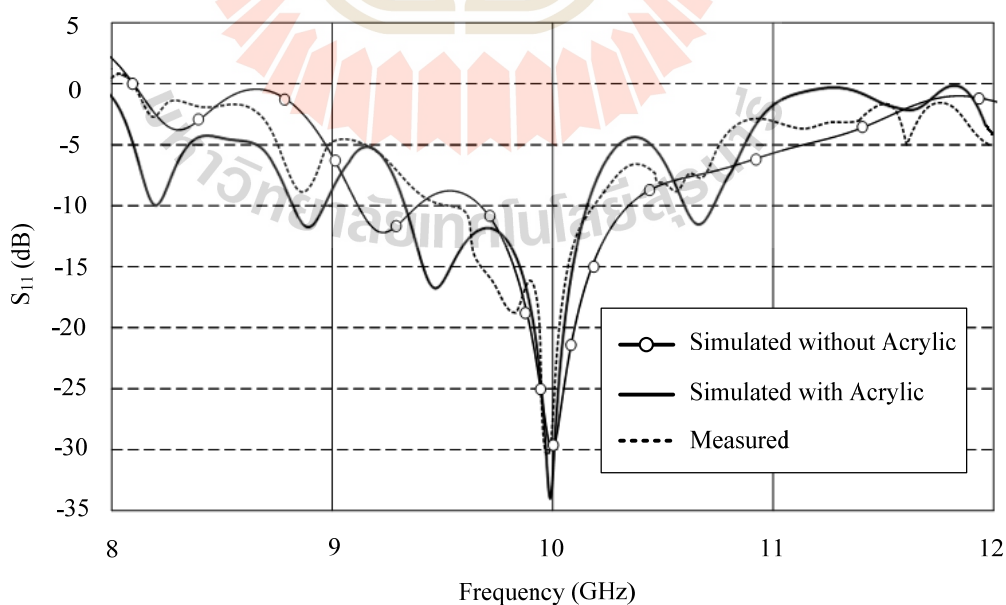


(ค) สายอากาศต้นแบบ

รูปที่ 5.19 สายอากาศปากแตรรูปกรวยโดยใช้คุณสมบัติของวัสดุบนโครงสร้างตัวกลางแบบเส้นลวด

5.4.1 ผลการวัดทดสอบสัมประสิทธิ์การสะท้อน

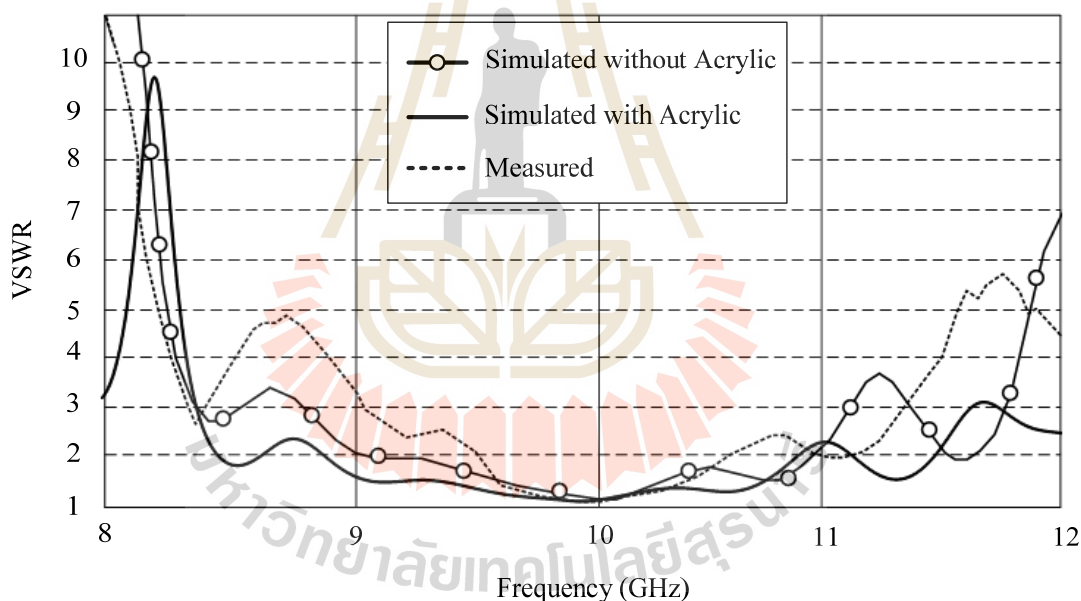
ในการวัดทดสอบสัมประสิทธิ์การสะท้อนกลับของสายอากาศได้ทำการวัดทดสอบภายในในห้องไม่สะท้อนคลื่น โดยในรูปที่ 5.20 แสดงกราฟเปรียบเทียบค่าสัมประสิทธิ์การสะท้อนกลับของสายอากาศปากแตรรูปกรวยโดยใช้คุณสมบัติของวัสดุบนโครงสร้างตัวกลางแบบเส้นลวดที่นำเสนอจะสังเกตได้ว่าที่ความถี่ปฏิบัติการ 10 GHz สายอากาศต้นแบบมีค่าสัมประสิทธิ์การสะท้อนกลับของผลการจำลองด้วยโปรแกรมสำเร็จรูป CST โดยทำการจำลองใน 2 แบบ โดยแบบแรกจำลองโดยการวางโหนดไดอิเล็กทริกโดยไม่มีฐานยึดและในแบบที่สองทำการจำลองโดยการติดตั้งแผ่นอะคริลิกเพื่อติดตั้งโครงสร้างตัวกลางแบบเส้นลวด โดยผลที่ได้จากการจำลองมีค่าเท่ากับ -29.87 dB และ -34.24 dB ตามลำดับในส่วนผลที่ได้จากการวัดมีค่าเท่ากับ -30.18 dB ซึ่งจะเห็นได้ว่ากราฟที่ได้มีความสอดคล้องกัน ณ ความถี่เรโซแนนซ์ โดยพิจารณาระหว่างผลการจำลองโดยการติดตั้งแผ่นอะคริลิกเพื่อติดตั้งโครงสร้างตัวกลางแบบเส้นลวดและผลที่ได้จากการวัดจากสายอากาศต้นแบบเมื่อพิจารณาความกว้างแถบความถี่จะพบว่ามีความกว้างแถบความถี่ที่ใกล้เคียงกันแต่ช่วงความถี่เรโซแนนซ์จะเลื่อนลงมาทางด้านความถี่ต่ำเล็กน้อย และพบว่าผลจากการวัดสายอากาศต้นแบบที่ความถี่ต่ำกว่าความถี่ปฏิบัติการจะเกิดการสะท้อนกลับของคลื่นเล็กน้อยในส่วนของความถี่พบว่าผลการวัดทดสอบมีความกว้างแถบความถี่น้อยกว่าผลที่ได้จากการจำลองด้วยโปรแกรมสำเร็จรูป CST โดยผลการจำลองด้วยโปรแกรมสำเร็จรูป CST มีค่าเปอร์เซ็นต์ความถี่แถบเท่ากับ 6.6% และจากผลการวัดเท่ากับ 6.2%



รูปที่ 5.20 กราฟเปรียบเทียบสัมประสิทธิ์การสะท้อนของสายอากาศปากแตรรูปกรวยโดยใช้คุณสมบัติของวัสดุบนโครงสร้างตัวกลางแบบเส้นลวด

5.4.2 ผลการวัดทดสอบอัตราส่วนคลื่นนิ่ง

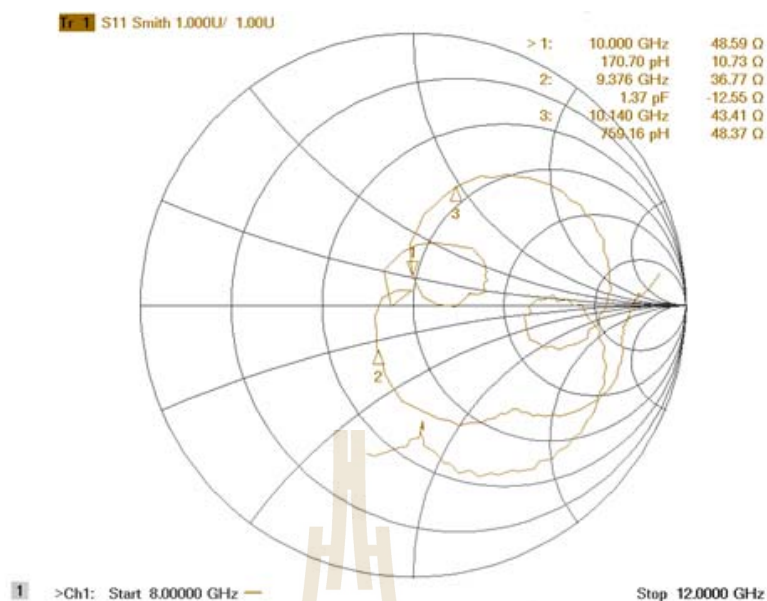
จากรูปที่ 5.21 แสดงผลการเปรียบเทียบค่าอัตราส่วนคลื่นนิ่งของสายอากาศปากแตรรูปกรวยโดยใช้คุณสมบัติของวัสดุบนโครงสร้างตัวกลางแบบเส้นลวดต้นแบบด้วยเครื่องวิเคราะห์โครงข่ายกับผลการจำลองด้วยโปรแกรมสำเร็จรูป CST โดยทำการจำลองใน 2 รูปแบบ โดยแบบแรกจำลองโดยการวางโหลดไดโอดีเล็กตรกลอยโดยไม่มีฐานยึดและในแบบที่สองทำการจำลองโดยการติดตั้งแผ่นอะคริลิกเพื่อยึด โหลดไดโอดีเล็กตรกภายในสายอากาศจากผลการเปรียบเทียบดังแสดงได้ในรูปที่ 5.21 พบว่าอัตราส่วนคลื่นนิ่งของสายอากาศที่ได้จากการวัดมีค่าเท่ากับ 1.18 และผลที่ได้จากการจำลองซึ่งในแบบแรกจำลองโดยการวางโหลดไดโอดีเล็กตรกลอยโดยไม่มีฐานยึดมีค่าอัตราส่วนคลื่นนิ่งเท่ากับ 1.02 และในแบบที่สองทำการจำลองโดยการติดตั้งแผ่นอะคริลิกเพื่อยึด โหลดไดโอดีเล็กตรกภายในสายอากาศมีค่าอัตราส่วนคลื่นนิ่งเท่ากับ 1.03 ซึ่งพบว่ากราฟแสดงค่าอัตราส่วนคลื่นนิ่งของทั้งสองมีสอดคล้องกัน



รูปที่ 5.21 กราฟเปรียบเทียบอัตราส่วนคลื่นนิ่ง (VSWR) ของสายอากาศปากแตรรูปกรวยโดยใช้คุณสมบัติของวัสดุบนโครงสร้างตัวกลางแบบเส้นลวด

5.4.3 ผลการวัดทดสอบค่าอิมพีแดนซ์

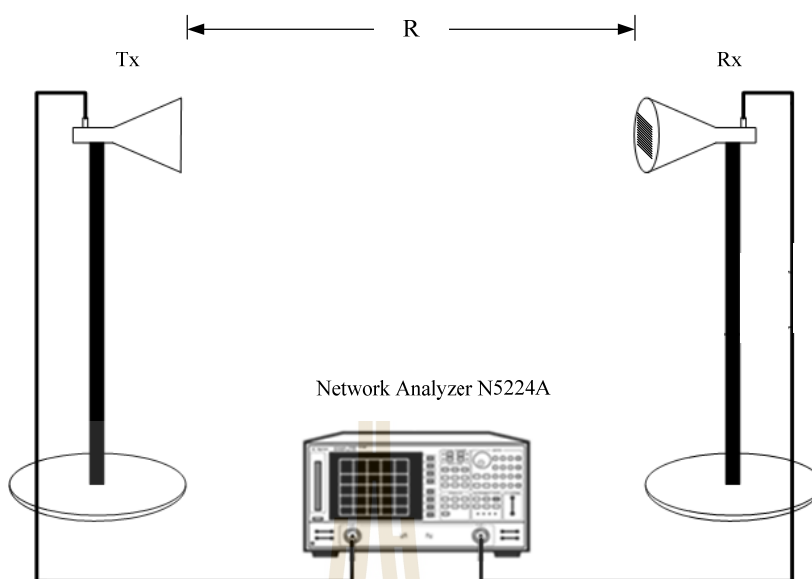
จากการวัดทดสอบค่าอิมพีแดนซ์ของสายอากาศปากแตรรูปกรวยโดยใช้คุณสมบัติของวัสดุบนโครงสร้างตัวกลางแบบเส้นลวดด้วยเครื่องวิเคราะห์โครงข่ายที่ความถี่ 10 GHz แสดงได้ดังรูปที่ 5.22 มีค่าอิมพีแดนซ์เท่ากับ 48.59Ω ซึ่งใกล้เคียงกับค่าที่ยอมรับได้ คือ 50Ω



รูปที่ 5.22 ผลการวัดทดสอบค่าอิมพีแดนซ์ของสายอากาศปากแตรรูปกรวยโดยใช้คุณสมบัติ
 อิมพีแดนซ์ของโครงสร้างตัวกลางแบบเส้นลวด

5.4.4 ผลการวัดทดสอบอัตราขยาย

สำหรับการวัดอัตราขยายของสายอากาศปากแตรรูปกรวยโดยใช้คุณสมบัติอิมพีแดนซ์ของโครงสร้างตัวกลางแบบเส้นลวดต้นแบบได้ทำการวัดทดสอบในห้องไม่สะท้อนคลื่น โดยมีระยะ R คือระยะห่างระหว่างการติดตั้งสายอากาศต้นแบบที่ทำการวัดทดสอบกับสายอากาศอ้างอิง เท่ากับหรือมากกว่าสามระยะไกลคือ $R \geq 2D^2/\lambda$ โดยที่ D คือ ขนาดของสายอากาศวัดทดสอบ จากการคำนวณสามระยะไกลได้ระยะ $R \geq 0.5$ เมตร ซึ่งในการวัดทดสอบนี้ได้กำหนดให้ระยะ $R = 1$ เมตรเพื่อใช้ในการวัดทดสอบ โดยใช้สายอากาศปากแตรรูปสี่เหลี่ยมมุมฉากซึ่งมีความถี่ปฏิบัติการอยู่ที่ 10GHz เป็นสายอากาศอ้างอิงมาทำหน้าที่เป็นสายอากาศภาคส่งซึ่งสายอากาศดังกล่าวได้มีการวัดทดสอบมาตรฐานอัตราขยายเรียบร้อยแล้วโดยมีอัตราขยายที่ความถี่ปฏิบัติการ 10 GHz เท่ากับ 18.218 dBi และสายอากาศปากแตรรูปกรวยโดยใช้คุณสมบัติอิมพีแดนซ์ของโครงสร้างตัวกลางแบบเส้นลวดต้นแบบเป็นสายอากาศภาครับ ดังแสดงในรูปที่ 5.23 จากนั้นทำการนำสมการ การส่งผ่านของฟรีสมาใช้ในการคำนวณหาอัตราขยายของสายอากาศปากแตรรูปกรวยโดยใช้คุณสมบัติอิมพีแดนซ์ของโครงสร้างตัวกลางแบบเส้นลวดต้นแบบจากสมการ (5.1) จากผลการวัดพบว่า อัตราขยายของสายอากาศปากแตรรูปกรวยโดยใช้คุณสมบัติอิมพีแดนซ์ของโครงสร้างตัวกลางแบบเส้นลวดต้นแบบที่ความถี่ 10GHz มีค่าเท่ากับ 20.718 dBi



(ก) แสดงวิธีการวัดทดสอบอัตรายาย

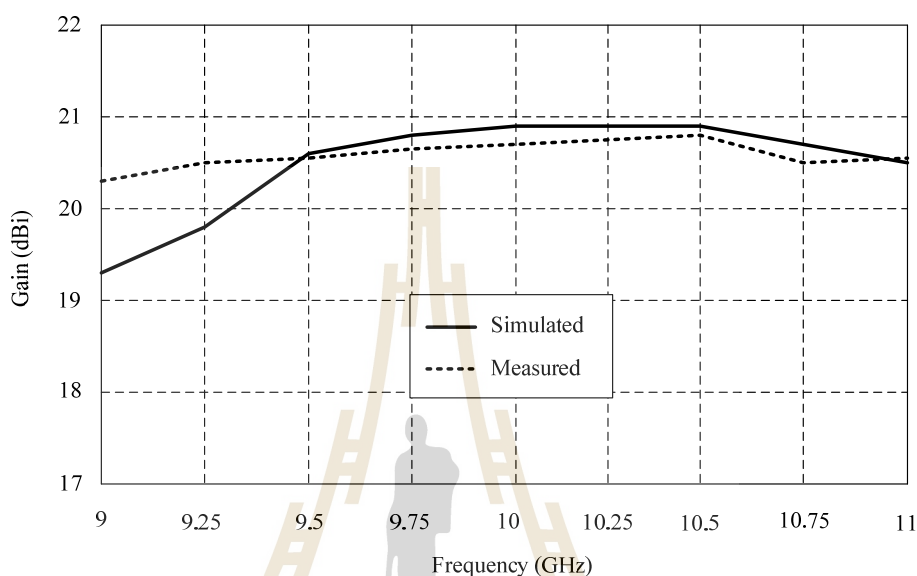


(ข) การติดตั้งจริงสำหรับการวัดทดสอบอัตรายาย

รูปที่ 5.23 วิธีการวัดทดสอบการวัดทดสอบอัตรายายของสายอากาศปากแตรรูปกรวยโดยใช้คุณสมบัติอภิวัดคูน โครงสร้างตัวกลางแบบเส้นลวดต้นแบบ

นอกจากนี้ในการวัดทดสอบได้ทำพิจารณาการวัดทดสอบอัตรายายของสายอากาศปากแตรรูปกรวยโดยใช้คุณสมบัติอภิวัดคูน โครงสร้างตัวกลางแบบเส้นลวดต้นแบบในช่วงความถี่แถบความถี่ของสายอากาศโดยทำการเปรียบเทียบอัตรายายระหว่างผลการวัดทดสอบและผลการจำลองด้วยโปรแกรมสำเร็จรูป CST โดยทำการวัดทดสอบอัตรายายของสายอากาศในช่วง

ความถี่ตั้งแต่ 9 GHz – 11 GHz ซึ่งในขั้นตอนการวัดอัตราขยายโดยใช้วิธีการวัดอัตราขยายตามที่ได้กล่าวไว้แล้ว ซึ่งสายอากาศที่นำมาใช้เป็นสายอากาศในภาคส่งคือสายอากาศปากแตรรูปสี่เหลี่ยมมุมฉากที่ได้ทำการทดสอบมาตรฐานอัตราขยายในแต่ละช่วงความถี่เป็นที่เรียบร้อยแล้วโดยกราฟผลการเปรียบเทียบอัตราขยายดังแสดงในรูปที่ 5.24

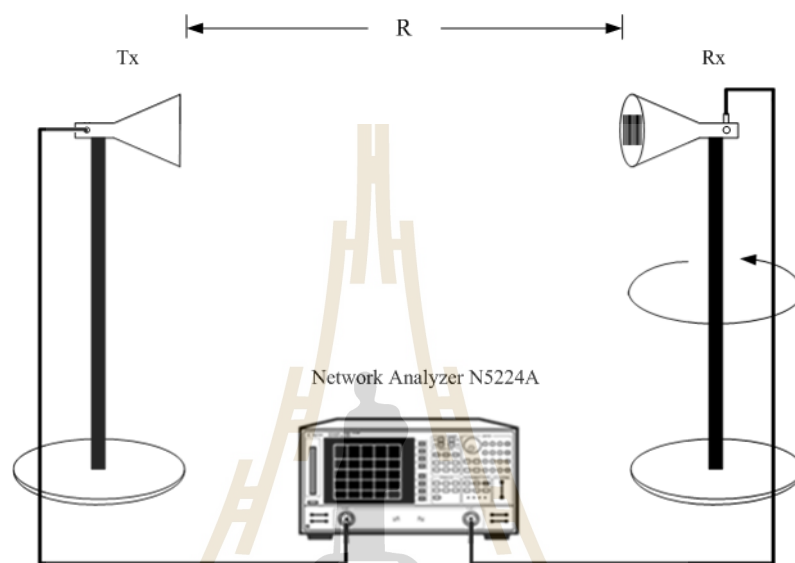


รูปที่ 5.24แบบจำลองการวัดทดสอบอัตราขยายของสายอากาศปากแตรรูปกรวยโดยใช้คุณสมบัติอิมพีแดนซ์ โครงสร้างตัวกลางแบบเส้นลวดต้นแบบ

5.4.5 ผลการวัดทดสอบแบบรูปการแผ่พลังงาน

จากรูปที่ 5.25 และ 5.26 แสดงวิธีการวัดทดสอบแบบรูปการแผ่พลังงานของสายอากาศปากแตรรูปกรวยโดยใช้คุณสมบัติอิมพีแดนซ์ โครงสร้างตัวกลางแบบเส้นลวดต้นแบบทั้งในสนามไฟฟ้าและสนามแม่เหล็กตามลำดับ โดยทำการทดสอบในห้องไม่สะท้อนคลื่นและระยะ R ในการติดตั้งระหว่างสายอากาศต้นแบบที่ทำการวัดทดสอบกับสายอากาศอ้างอิงเท่ากับหรือมากกว่าสนามระยะไกล คือ $R \geq 2D^2/\lambda$ โดยที่ D คือ ขนาดของสายอากาศวัดทดสอบ จากการคำนวณสนามระยะไกลได้ระยะ $R \geq 0.5$ เมตร ซึ่งการวัดทดสอบนี้ได้กำหนดให้ระยะ $R = 1$ เมตร โดยใช้สายอากาศปากแตรรูปสี่เหลี่ยมมุมฉากซึ่งมีความถี่ปฏิบัติการอยู่ที่ 10GHz เป็นสายอากาศอ้างอิงโดยทำหน้าที่เป็นสายอากาศภาคส่ง และในการวัดทดสอบจะทำการหมุนสายอากาศปากแตรรูปกรวยโดยใช้คุณสมบัติอิมพีแดนซ์ โครงสร้างตัวกลางแบบเส้นลวด(สายอากาศภาครับ)ซึ่งจะมีการหมุนรอบแนวแกนหมุนในแต่ละระนาบเพื่อรับคลื่นจากสายอากาศภาคส่งตั้งแต่มุม 0 องศาจนถึงมุม 360 องศา ทำให้ได้แบบรูปการแผ่พลังงานของสายอากาศทั้งหมดในระนาบสนามไฟฟ้า

และระนาบสนามแม่เหล็กดังแสดงในรูปที่ 5.27 จากผลการวัดทดสอบสายอากาศปากแตรรูปกรวย โดยใช้คุณสมบัติของทฤษฎีสนามโครงสร้างตัวกลางแบบเส้นลวดตันแบบ พบว่าแบบรูปการแผ่พลังงานของในระนาบสนามไฟฟ้าสนามแม่เหล็กและโพลาไรซ์ไขว้มีความสอดคล้องกับผลที่ได้จากการจำลองด้วยโปรแกรมสำเร็จรูป CST ซึ่งมีลักษณะของแบบรูปการแผ่พลังงานใกล้เคียงกับแบบรอบทิศทางในระนาบเดียว

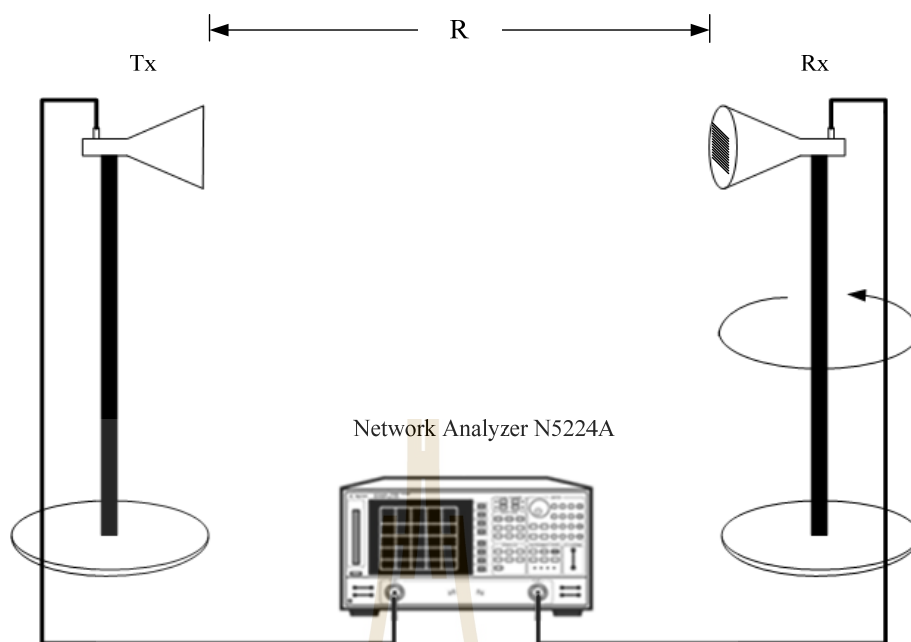


(ก) แสดงวิธีการวัดทดสอบแบบรูปการแผ่พลังงานในระนาบสนามไฟฟ้า



(ข) การติดตั้งจริงสำหรับการวัดทดสอบแบบรูปการแผ่พลังงานในระนาบสนามไฟฟ้า

รูปที่ 5.25 วิธีการวัดทดสอบแบบรูปการแผ่พลังงานในระนาบสนามไฟฟ้าของสายอากาศปากแตรรูปกรวยโดยใช้คุณสมบัติของทฤษฎีสนามโครงสร้างตัวกลางแบบเส้นลวด

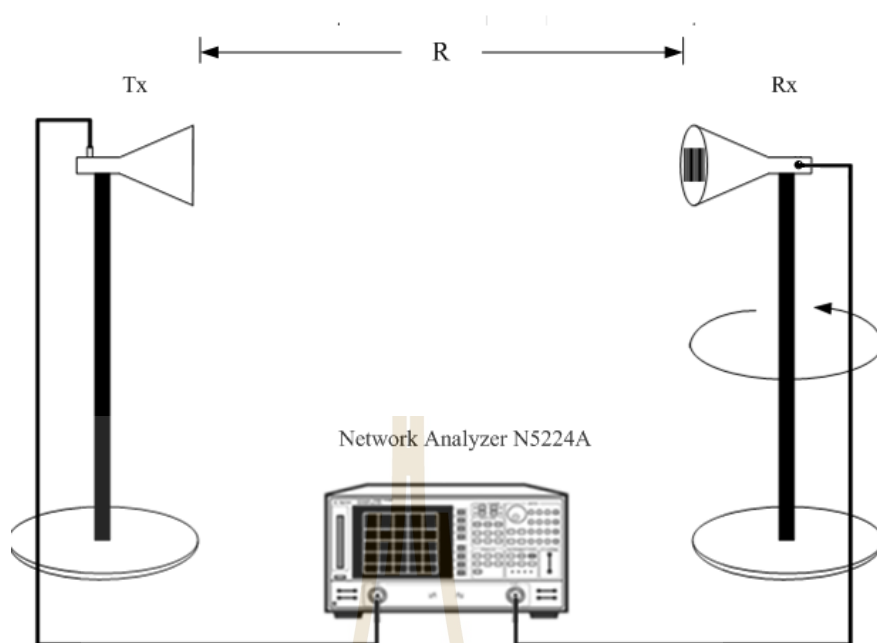


(ก) แสดงวิธีการวัดทดสอบแบบรูปการแผ่พลังงานในระนาบสนามแม่เหล็ก



(ข) การติดตั้งจริงสำหรับการวัดทดสอบแบบรูปการแผ่พลังงานในระนาบสนามแม่เหล็ก

รูปที่ 5.26 วิธีการวัดทดสอบแบบรูปการแผ่พลังงานในระนาบสนามแม่เหล็กของสายอากาศปากแตรรูปกรวยโดยใช้คุณสมบัติของทิวศูนบนโครงสร้างสี่ตัวกลางแบบเส้นลวด

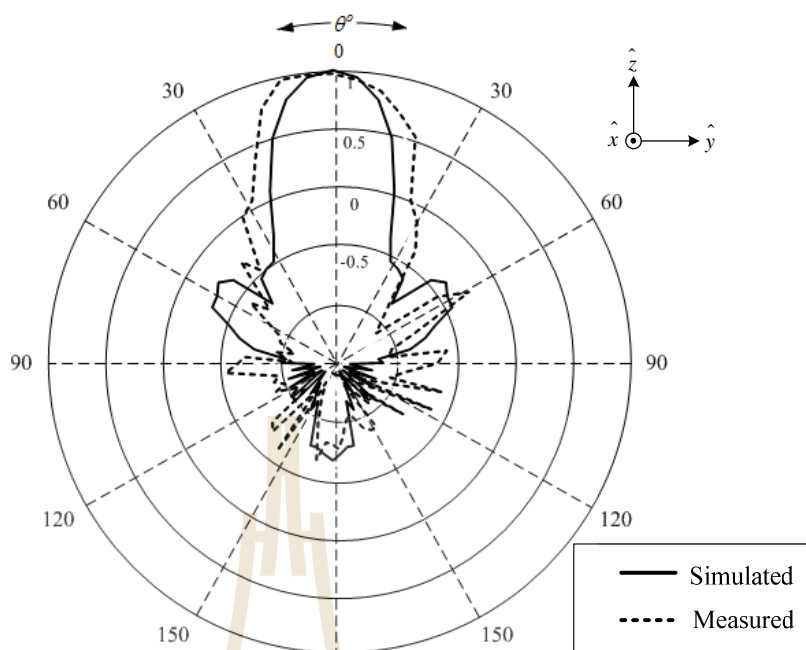


(ก) แสดงวิธีการวัดทดสอบแบบรูปการแผ่พลังงานในรูปแบบโพลาริไซซ์ไว้

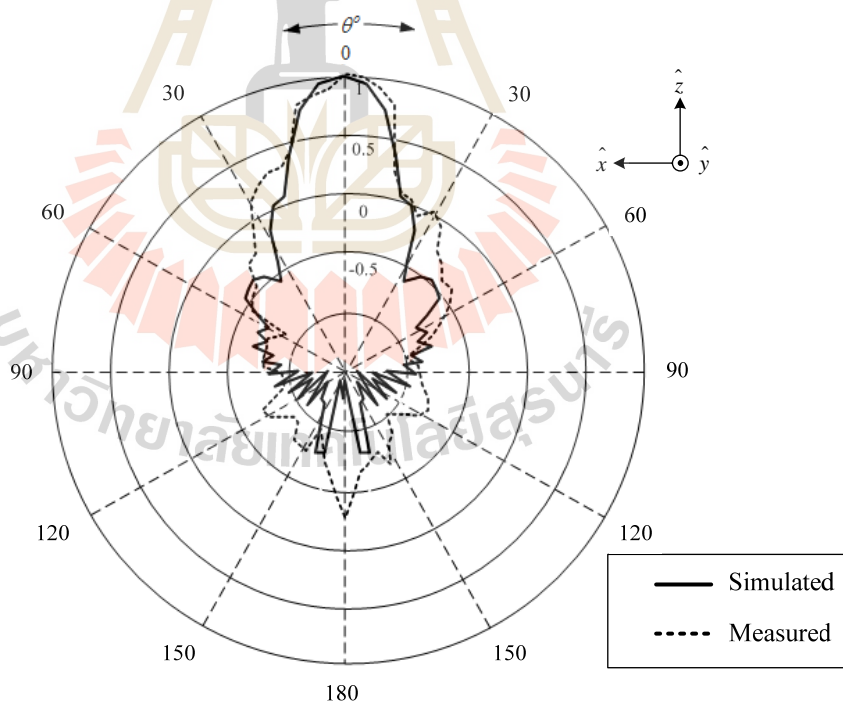


(ข) การติดตั้งจริงสำหรับการวัดทดสอบแบบรูปการแผ่พลังงานในรูปแบบโพลาริไซซ์ไว้

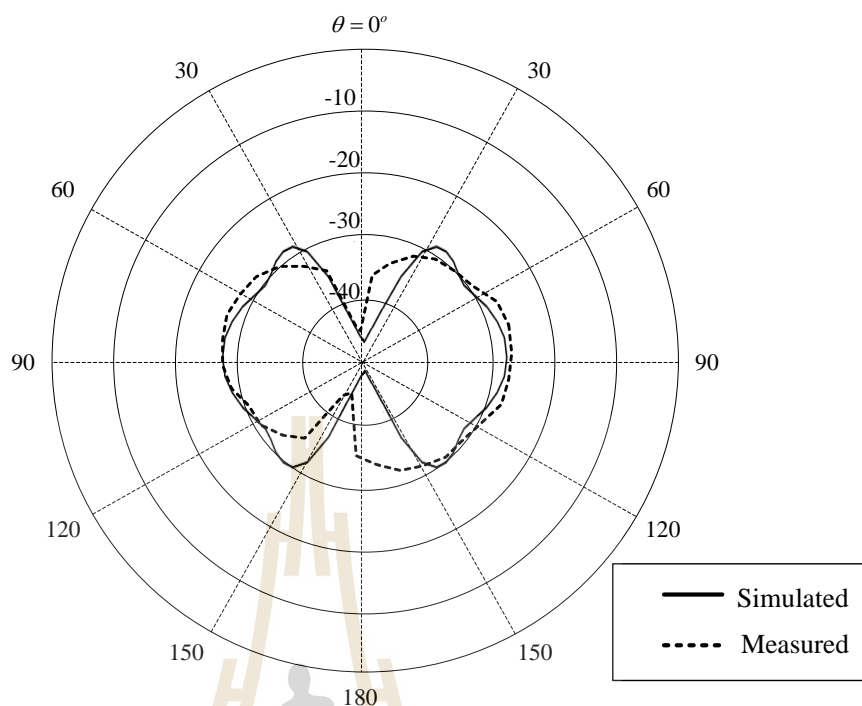
รูปที่ 5.27 วิธีการวัดทดสอบแบบรูปการแผ่พลังงานในรูปแบบโพลาริไซซ์ไว้ของสายอากาศปากแตรรูปกรวยโดยใช้คุณสมบัติของเสาอากาศ โครงสร้างตัวกลางแบบเส้นลวด



(ก) ระนาบสนามไฟฟ้า



(ข) ระนาบสนามแม่เหล็ก



(ค) รูปแบบโพลาไรซ์ไขว้

รูปที่ 5.28 การเปรียบเทียบแบบรูปการแผ่พลังงานในของสายอากาศปากแตรรูปกรวยโดยใช้คุณสมบัติของวัสดุบนโครงสร้างตัวกลางแบบเส้นลวด

5.5 การเปรียบเทียบผลการจำลองโครงสร้างสายอากาศและการวัดทดสอบ

จากการเปรียบเทียบระหว่างการจำลองด้วยโปรแกรมสำเร็จรูป CST กับผลวัดทดสอบสายอากาศต้นแบบที่สร้างขึ้นของสายอากาศ 3 รูปแบบ คือ สายอากาศปากแตรรูปกรวยขนาดมาตรฐาน สายอากาศปากแตรรูปกรวยกรณีใส่โหลดไดอิเล็กตริกและสายอากาศปากแตรรูปกรวยโดยใช้คุณสมบัติของวัสดุบนโครงสร้างตัวกลางแบบเส้นลวดที่นำเสนอในงานวิจัยนี้ซึ่งประกอบด้วยใส่โหลดไดอิเล็กตริกเข้าไปภายในสายอากาศและเพิ่มโครงสร้างตัวกลางแบบเส้นลวดบนแนวระนาบอะเปอร์เจอร์สายอากาศโดยผลจากการเปรียบเทียบอัตราขยายของสายอากาศทั้ง 3 รูปแบบที่ความถี่ 10 GHz ได้แสดงในตารางที่ 5.4 จากตารางจะแสดงให้เห็นว่าผลที่ได้จากการวัดและทดสอบจากสายอากาศต้นแบบที่สร้างขึ้นจริงนั้นมีค่าแตกต่างกันเพียงเล็กน้อยและค่าที่ได้สัมพันธ์กับการจำลองด้วยโปรแกรมสำเร็จรูป CST และในตารางที่ 5.5 ได้แสดงการเปรียบเทียบค่าพารามิเตอร์ต่างๆ ของสายอากาศระหว่างสายอากาศปากแตรรูปกรวยขนาดมาตรฐานกับ

สายอากาศปากแตรรูปกรวยโดยใช้คุณสมบัติอภิวัดคูน โครงสร้างตัวกลางแบบเส้นลวดจะสังเกตเห็นได้ว่าสายอากาศที่นำเสนอมีประสิทธิภาพเพิ่มขึ้นเมื่อเปรียบเทียบกับสายอากาศปากแตรขนาดมาตรฐานโดยอัตราขยายเพิ่มขึ้นจากเดิม 3.2 dB แบบรูปการแผ่พลังงานของสายอากาศมีความสมมาตรและระดับพู่ข้างที่เกิดขึ้นต่ำดังนั้นจึงแสดงให้เห็นว่าเทคนิคการนำคุณสมบัติอภิวัดคูน โครงสร้างสื่อตัวกลางแบบเส้นลวดและการใส่โหนดไดอิเล็กตริกสามารถเพิ่มประสิทธิภาพของสายอากาศปากแตรรูปกรวยได้

ตารางที่ 5.4 การเปรียบเทียบค่าพารามิเตอร์ของสายอากาศระหว่างการจำลองการออกแบบด้วยโปรแกรมสำเร็จรูป CST และการวัดจากสายอากาศต้นแบบที่ความถี่ 10 GHz

| ค่าพารามิเตอร์ที่ความถี่ 10GHz | สายอากาศปากแตรรูปกรวย ขนาดมาตรฐาน | | สายอากาศปากแตรรูปกรวยที่ นำเสนอ | |
|--|--------------------------------------|----------|------------------------------------|----------|
| | ผลการจำลอง | ผลการวัด | ผลการจำลอง | ผลการวัด |
| ค่าสัมประสิทธิ์การสะท้อนกลับ S_{11} (dB) | -23.35 | -24.23 | -29.38 | -30.26 |
| ความกว้างแถบ (%) | 11 | 9.34 | 6.6 | 6.2 |
| อัตราส่วนคลื่นนิ่ง (VSWR) | 1.15 | 1.31 | 1.03 | 1.18 |
| อัตราขยาย (dB) | 17.7 | 17.34 | 20.9 | 20.76 |

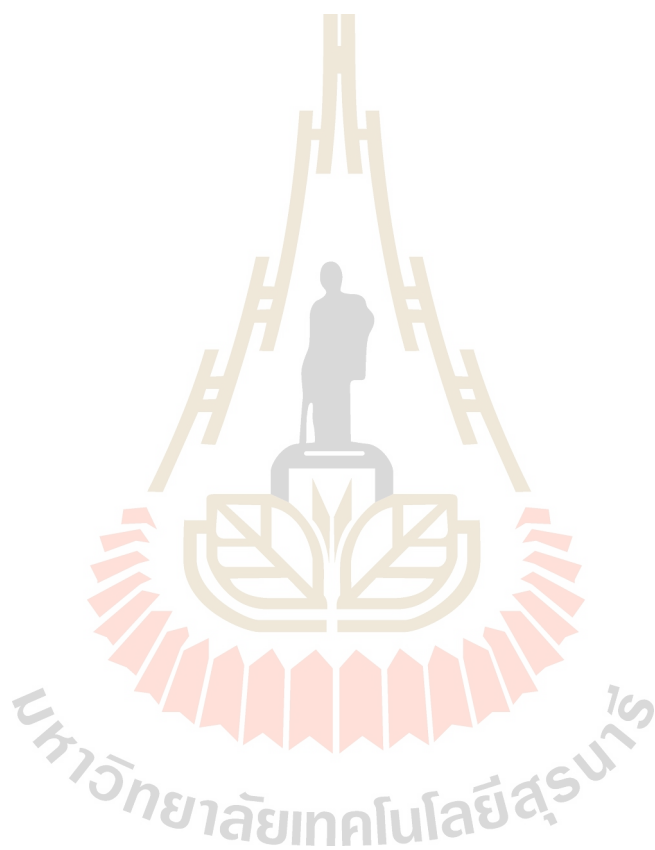
ตารางที่ 5.5 การเปรียบเทียบอัตราขยายที่ความถี่ 10 GHz ของสายอากาศ 4 รูปแบบ

| ชนิดสายอากาศ | อัตราขยาย [dB] ที่ความถี่ 10 GHz | |
|--|----------------------------------|----------|
| | ผลการจำลอง | ผลการวัด |
| สายอากาศปากแตรรูปกรวยขนาดมาตรฐาน | 17.7 | 17.67 |
| สายอากาศปากแตรรูปกรวยกรณีใส่โหนดไดอิเล็กตริก | 18.4 | 18.16 |
| สายอากาศปากแตรรูปกรวยที่นำเสนอ | 20.9 | 20.76 |

5.6 สรุป

ในบทนี้แสดงการสร้างและการวัดทดสอบคุณลักษณะสมบัติของสายอากาศปากแตรรูปกรวยโดยใช้คุณสมบัติอภิวัดคูน โครงสร้างสื่อตัวกลางแบบเส้นลวดต้นแบบ เพื่อทดสอบประสิทธิภาพสายอากาศต้นแบบที่สร้างขึ้นจริง เพื่อพิจารณาเปรียบเทียบผลที่ได้จากการวัดทดสอบระหว่างการจำลองผลด้วยโปรแกรม CST Microwave Studio 2009 ว่ามีความสอดคล้องกัน

มากน้อยเพียงใด ซึ่งคุณลักษณะของสายอากาศที่ได้จากการวัดทดสอบได้แก่ S_{11} แบบรูปการแผ่พลังงานของสายอากาศในสนามระยะไกล ทั้งในระนาบสนามไฟฟ้า ระนาบสนามแม่เหล็กและอัตราขยาย พบว่าค่า S_{11} และแบบรูปการแผ่พลังงานของสายอากาศต้นแบบในสนามระยะไกล รวมถึงอัตราขยาย ซึ่งผลที่ได้จากการจำลองผลด้วยโปรแกรม CST และผลการวัดทดสอบมีค่าใกล้เคียงกัน สำหรับผลบางส่วนที่แตกต่างกัน ซึ่งอาจจะมีสาเหตุมาจากความแม่นยำในการสร้างสายอากาศตลอดจนผลที่เกิดจากการวัดทดสอบในสภาพจริง



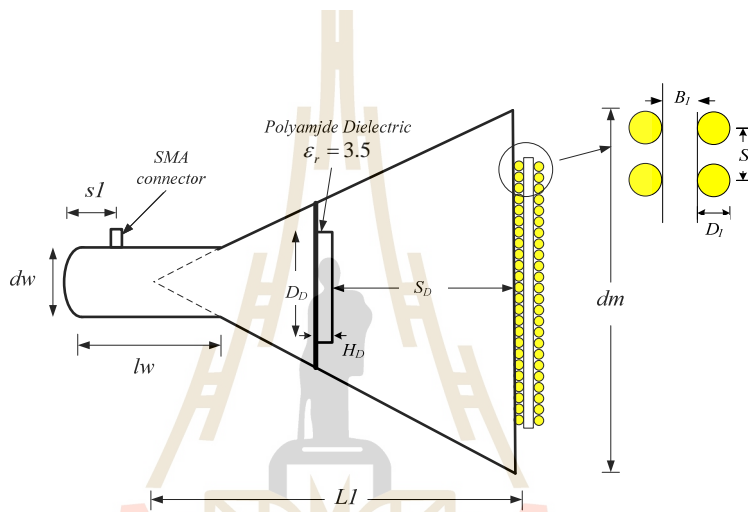
บทที่ 6

บทสรุปและข้อเสนอแนะ

6.1 สรุปผลการวิจัย

วิทยานิพนธ์ฉบับนี้ได้นำเสนอการวิเคราะห์ ออกแบบและสร้างสายอากาศต้นแบบของสายอากาศปากแตรรูปกรวยโดยใช้คุณสมบัติของอภิวัดคุณ โครงสร้างตัวกลางแบบเส้นลวด โดยใช้วิธีการจำลองสายอากาศด้วยโปรแกรมสำเร็จรูป CST เพื่อศึกษาความเป็นไปได้ของสายอากาศปากแตรรูปกรวยโดยใช้คุณสมบัติของอภิวัดคุณ โครงสร้างตัวกลางแบบเส้นลวดเพื่อประยุกต์ใช้งานในระบบเรดาร์ โดยเริ่มจากการศึกษาทฤษฎีเบื้องต้นสายอากาศปากแตรรูปกรวยขนาดมาตรฐานค่าพารามิเตอร์ต่างๆ ของสายอากาศ หลังจากนั้นทำการวิเคราะห์แบบรูปการแผ่พลังงานของสายอากาศปากแตรรูปกรวยพบว่ารูปแบบการแผ่กระจายกำลังที่ออกมาที่มีความไม่สมมาตรในระนาบสนามไฟฟ้าและสนามแม่เหล็ก จึงทำการศึกษาหาวิธีปรับปรุงแบบรูปการแผ่พลังงานเพื่อให้ได้แบบรูปการแผ่พลังงานที่สมมาตรขึ้น ซึ่งจากการศึกษาพบว่าการนำเทคนิคการใส่โหนดไดอิเล็กตริกภายในสายอากาศปากแตรรูปกรวยสามารถช่วยในการปรับปรุงแบบรูปการแผ่พลังงานอีกทั้งสามารถช่วยในการลดระดับพูข้างของแบบรูปการแผ่พลังงานของสายอากาศปากแตรรูปกรวยได้ จากนั้นจึงได้ทำการออกแบบและวิเคราะห์หารูปแบบโครงสร้างและตำแหน่งในการวางโหนดไดอิเล็กตริกภายในสายอากาศที่เหมาะสม จากการออกแบบพบว่าเมื่อใส่โหนดไดอิเล็กตริกภายในสายอากาศปากแตรรูปกรวยในตำแหน่งที่เหมาะสมสามารถช่วยในการปรับปรุงแบบรูปการแผ่พลังงานทำให้เกิดความสมมาตรมากขึ้นและระดับพูข้างลดลงโดยระดับพูข้างในระนาบสนามไฟฟ้าเท่ากับ 24.5dB และในระนาบสนามแม่เหล็กเท่ากับ -25.9dB เมื่อได้มีการปรับปรุงแบบรูปการแผ่พลังงานเรียบร้อยแล้ว จึงได้ทำการศึกษาเกี่ยวกับคุณสมบัติของอภิวัดคุณเพื่อนำมาใช้ในการเพิ่มประสิทธิภาพของสายอากาศปากแตรรูปกรวย ในงานวิจัยชิ้นนี้มีความสนใจในการนำคุณสมบัติของอภิวัดคุณที่อยู่ในรูปแบบโครงสร้างตัวกลางแบบเส้นลวดมาใช้ในการเพิ่มประสิทธิภาพของสายอากาศ จากการศึกษาและออกแบบโครงสร้างตัวกลางแบบเส้นลวด โดยได้อธิบายขั้นตอนในการวิเคราะห์รูปแบบและโครงสร้างที่เหมาะสมต่อการเพิ่มประสิทธิภาพของสายอากาศ ซึ่งจากการออกแบบพบว่าโครงสร้างตัวกลางแบบเส้นลวดเมื่อนำมาทำงานร่วมกับสายอากาศปากแตรรูปกรวยที่ได้ทำการปรับแบบรูปการแผ่พลังงานด้วยการใส่โหนดไดอิเล็กตริกสามารถเพิ่มประสิทธิภาพสายอากาศปากแตรรูปกรวย โดยพบว่าสามารถเพิ่มอัตราขยายของสายอากาศปากแตรรูปกรวย

ขนาดมาตรฐานได้ 3.2 dBi อีกทั้งแบบรูปการแผ่พลังงานที่ได้สมมาตรและระดับพูข้างลดลงจากเดิม โดยระดับพูข้างในระนาบสนามไฟฟ้ามีค่าเท่ากับ -26.6 dB และระนาบสนามไฟฟ้ามีค่าเท่ากับ -26.8 dB จากรูปที่ 6.1 แสดงโครงสร้างและสายอากาศปากแตรรูปกรวยโดยใช้เทคนิคอภิวัดคูนบน โครงสร้างตัวกลางแบบเส้นลวดตันแบบที่เสร็จสมบูรณ์ โดยตารางที่ 6.1 ได้แสดงค่าพารามิเตอร์ ต่างๆของโครงสร้างสายอากาศปากแตรรูปกรวยโดยใช้เทคนิคอภิวัดคูนบนโครงสร้างตัวกลางแบบ เส้นลวดตันแบบที่เสร็จสมบูรณ์และในส่วนของประสิทธิภาพของสายอากาศปากแตรรูปกรวยโดย ใช้เทคนิคอภิวัดคูนบนโครงสร้างตัวกลางแบบเส้นลวดตันแบบที่เสร็จสมบูรณ์ได้แสดงไว้ดังตารางที่ 6.2



(ก) โครงสร้างสายอากาศต้นแบบที่สมบูรณ์



(ข) สายอากาศต้นแบบที่สร้างขึ้น

รูปที่ 6.1 สายอากาศปากแตรรูปกรวยโดยใช้คุณสมบัติอภิวัดคูนบนโครงสร้างตัวกลางแบบเส้นลวดที่สมบูรณ์

ตารางที่ 6.1 ค่าพารามิเตอร์ต่างๆ ของโครงสร้างสายอากาศปากแตรรูปกรวยโดยใช้คุณสมบัติอภิวัดคุณสมบัติของโครงสร้างตัวกลางแบบเส้นลวดที่เสร็จสมบูรณ์

| ค่าพารามิเตอร์ | ขนาด (mm) |
|---|-----------|
| เส้นผ่าศูนย์กลางปากอะเพอร์เจอร์สายอากาศปากแตรรูปกรวย(d_m) | 120 |
| ความยาวของสายอากาศปากแตรรูปกรวย(L_r) | 112.5 |
| เส้นผ่าศูนย์กลางท่อนำคลื่นรูปทรงกระบอก(d_w) | 26 |
| ความยาวท่อนำคลื่นรูปทรงกระบอก (L_w) | 60 |
| ความหนาของโพลดีไดอิเล็กตริก (H_D) | 7.5 |
| เส้นผ่าศูนย์กลางของโพลดีไดอิเล็กตริก (D_D) | 30 |
| ระยะตำแหน่งการวางโพลดีไดอิเล็กตริก(S_D) | 76.24 |
| ความหนาของไดอิเล็กตริกตัวกลางแบบเส้นลวด (BI) | 3.5 |
| ความกว้างของไดอิเล็กตริกตัวกลางแบบเส้นลวด (WI) | 60 |
| ความสูงของไดอิเล็กตริกตัวกลางแบบเส้นลวด (HI) | 68 |
| ระยะห่างระหว่างเส้นลวดที่วางขนานกัน (SI) | 3.5 |
| เส้นผ่าศูนย์กลางของเส้นลวด (DI) | 2.5 |

ตารางที่ 6.2 ประสิทธิภาพของสร้างสายอากาศปากแตรรูปกรวยโดยใช้คุณสมบัติอภิวัดคุณสมบัติของโครงสร้างตัวกลางแบบเส้นลวดที่เสร็จสมบูรณ์

| รายการ | รายละเอียด |
|------------------------|----------------|
| ช่วงความถี่ | 9.6 – 10.2 GHz |
| ความถี่ปฏิบัติการ | 10 GHz |
| อัตราขยาย(10 GHz) | 20.71 dB |
| ประสิทธิภาพของสายอากาศ | 95.69% |
| โพลาริเซชัน | แนวตั้ง |
| VSWR | 1.18 |
| ความกว้างแถบ (%) | 6.06% |

6.2 ข้อเสนอแนะในการวิจัย

จากการนำเสนอคุณสมบัติของวัสดุในรูปแบบโครงสร้างตัวกลางแบบเส้นลวดมาเพิ่มประสิทธิภาพของสายอากาศปากแตรรูปกรวย จากคุณสมบัติข้างต้นสามารถนำไปประยุกต์ใช้งานในการออกแบบร่วมกับสายอากาศประเภทอื่นๆ อีกทั้งสามารถนำคุณสมบัติของวัสดุในรูปแบบโครงสร้างอื่นๆ มาศึกษาและพัฒนาเพื่อเพิ่มประสิทธิภาพของสายอากาศต่อไป

ในลำดับสุดท้ายนี้ผู้วิจัยหวังว่าแนวความคิด วิธีการศึกษาวิเคราะห์และออกแบบ รวมถึงผลการวิเคราะห์และผลการทดลองจากวิทยานิพนธ์ฉบับนี้จะเป็นประโยชน์และเป็นแนวทางที่ดีให้แก่ผู้ที่สนใจศึกษาและค้นคว้าเกี่ยวกับเทคนิคที่ช่วยในการเพิ่มประสิทธิภาพสายอากาศโดยใช้คุณสมบัติของวัสดุในรูปแบบโครงสร้างตัวกลางแบบเส้นลวดต่อไป



รายการอ้างอิง

- รังสรรค์ วงศ์สวรรค์. 2555. **วิศวกรรมสายอากาศ (พิมพ์ครั้งที่ 3)**. ศูนย์นวัตกรรมและเทคโนโลยีการศึกษา:มหาวิทยาลัยเทคโนโลยีสุรนารี
- ศราวุธ ชัยมูล และประยุทธอักษรเอกผาดิน.(2557). **อภิวัดดูสำหรับประยุกต์ใช้ด้านสายอากาศ**. Journal of King Mongkut's University of Technology North Bangkok, Vol.21, no.2, 2557.
- Southworth, G. C. and King, A. P. (1939). **Metal Horns as Directive Receivers of Ultra-Short Wave**. Proceedings of the IRE, Vol.27, no.2, pp.95-102.
- King, A. P. (1950). **The radiation characteristics of conical horn antenna**. Proc.IRE, vol. 38, no. 3, pp.249-251.
- Clenet, M. and Shafai, L. (1998). **Gain Enhancement of Conical Horn by Introducing Bodies of Revolution inside the Horn**. Antennas and Propagation Society International Symposium, vol.3, pp. 1718-1721.
- Granet, C. (2003). **Design of a Compact C-Band Receive-Only Horn for Earth Station Antenna G/T_A Performance**. IEEE Antennas and Wireless Propagation Letters, vol. 2, no.1, pp. 294-297.
- Leger, L., Monediere, T. and Jeeko, B. (2005). **Enhancement of Gain and Radiation Bandwidth for a Planar 1-D EBG Antenna**. IEEE Microwave and Wireless Components Letters, vol.15, no.9, pp. 573-575.
- Silveirinha, M. G. and Fernandes, C. A. (2005). **Homogenization of 3-D-Connected and Nonconnected Wire Metamaterials**. IEEE Transactions on Microwave Theory and Techniques, vol.53, no.4, pp. 1418-1430.
- Sardi, G.M., Donzelli, G. and Capolino, F. (2006). **High Directivity at Broadside with New Radiators made of Dielectric EBG Materials**. 2006 IEEE Antennas and Propagation Society International Symposium, pp. 373-376.
- Jelinek, L., Machac, J. and Zehentner, J. (2007). **Metamaterials- A Challenge for Contemporary**

- Advanced Technology**.2007 17th International Conference Radioelectronika, pp. 1-12.
- Ikonen, M. T., Saenz, E., Gonzalo, R. and Tretyakov, S. A. (2007).**Modeling and Analysis of composite Antenna Superstrates Consisting on Grids of Loaded Wires**.IEEE Transactions on Antennas and Propagation, vol.55, no.10, pp.2692-2700.
- Zhao, Y., Belov, P.A.and Hao,Y.(2007).**Modelling of Wave Propagation in wire Media Using Spatially Dispersive Finite-Difference Time-Domain Method: Numerical Aspects**. IEEE Transactions on Antennas and Propagation,vol. 55, no. 6, pp. 1506-1513.
- Tan, C.Y.,Selvan, K.T.andCross,T.(2008).**Performance Improvement of Conical Horn by using Inserted Metallic Sphere**.RFM 2008 IEEE International RF and Microwave Conference.
- Tan, C.Y.,Selvan, K.T.andCross, T. (2008).**A Dielectric-loaded Long Conical Horn for Improved Performance**.Electromagnetic Compatibility and 19th International Zurich Symposium on Electromagnetic Compatibility.
- Chantalat, R.,Menudier, C., Thevenot, M., Monediere, T.,Arnaud, E. and Dumon,P. (2008).**Enhanced EBG Resonator Antenna as Feed of a Reflector Antenna in Ka Band**.IEEE Antennas and Wireless Propagation Letters, vol. 7, pp. 349-353.
- Brown, K., Chen, C. C. andBurnside,W.D. (2008).**A Novel Design of a Miniature Wideband Corrugated Horn Antenna Employing Unique Sinusoidal Shaped Ridges**.2008 IEEE Antennas and Propagation Society International Symposium.
- Burghignoli, P., Lavat, G., Capolino, F., Jackson,D. R. and Wilton, D. R. (2008).**Directive Leaky-Wave Radiation From a dipole Source in a Wire-Medium Slab**. IEEE Transactions on Antennas and Propagation, vol.56, no.5, pp.1329-1339.
- Burghignoli, P., Lavat, G., Capolino, F., Jackson, D. R. and Wilton, D. R. (2008).**Modal Propagation and Excitation on a Wire-Medium Slab**. IEEE Transactions on Microwave Theory and Techniques, vol.56, no.5, pp.1119-1124.
- Lavat, G. (2009).**Near-Field Shielding Effectiveness of 1-D Periodic Planar Screens With 2-D Near-Field Sources**.IEEE Transactions on Electromagnetic Compatibility, vol.51, no.3,

pp.708-719.

- Li, Y. (2009). **Investigation of minimum Cavity Height of Small EBG-Resonator Antennas for Maximum Directivity**. 2009 Asia Pacific Microwave Conference, pp.2687-2690.
- Hasan, S. A. (2010). **Design & Measurements Techniques for Circularly Polarized, Dual Fed, High Gain, Lightweight, Wideband Conical Horn Antenna with Suppressed Side Lobe & High Performance Radome for Space Application**. Proceedings of the 9th International Symposium on Antennas, Propagation and EM Theory, pp.26-29.
- Zhou, R., Zhang, H. and Xin, H. (2010). **Metallic Wire Array as Low-Effective Index of Refraction Medium for Directive Antenna Application**. IEEE Transactions on Antennas and Propagation, vol.58, no.1, pp.79-87.
- Kanso, A., Chantalat, R., thevenot, M., Arnaud, E. and Monediere, T. (2010). **Offset Parabolic Reflector Antenna Fed by EBG Dual-Band Focal Feed for Space Application**. IEEE Antennas and Wireless Propagation Letters, vol.9, no.1, pp.854-858.
- Wartak, M. S., Trakmakidis, K.L. and Hess, O. (2011). **Introduction to Metaterials**. Physic in Canada, vol.67, no.1, pp. 30-34.
- Piksa, P. (2011). **Comparison of Conical Horn with Optimized Corrugated Surface and Corrugated Horn**. Proceedings of 21st International Conference Radioelektronika.
- Jiang, H., Jiang, W. and Ning, Y. (2012). **Design of Novel R-Band Conical Horn Antenna Fed with Rectangle Waveguide**, 2012 International Conference on Microwave and Millimeter Wave Technology (ICMMT), Vol.3, no.1, pp.567-584.
- Turk, A. S. and Keskin, A. K. (2012). **Partially Dielectric-Loaded Ridged Horn Antenna Design for Ultrawideband Gain and Radiation Performance Enhancement**. IEEE Antennas and Wireless Propagation Letters, vol.117, no.1, pp. 921-924.
- Jun, Y.C., Reno, J. L., Sinclair, M. and Brener, I. (2013). **Epsilon near zero subwavelength optoelectronics electrically tunable ENZ strong coupling**. 2013 Conference on Lasers and Electro-Optics (CLEO).

- Doumanis, E., Zelenchuk, D., Fusco, V. and Goussetis, G. (2013). **Conical Horn Antenna with Spiral Phase Plate for Difference Pattern Generation**. 2013 7th European Conference on Antennas and Propagation (EuCAP), pp.1309 – 1312.
- Tan, C.Y. and Selvan, K.T. (2013). **Conical Horn Antenna with Spiral Phase Plate for Difference Pattern Generation**. 2013 7th European Conference Antennas and Propagation (EuCAP).
- Ramaccia, D., Scattone, F., Bilotti, F. and Toscano, A. (2013). **Broadband Compact Horn Antennas by Using EPS-ENZ Metamaterial Lens**. IEEE Transactions on Antennas and Propagation, vol. 61, No. 6, 2929-2937.
- Abosrewal, N. A. Balanis, C. A. and Birtcher, C. R. (2013). **Conical Horn: Gain and Amplitude Patterns**. IEEE Transactions on Antennas and Propagation, vol. 61, No. 7, 3427-3433.
- Abosrewal, N. A. Balanis, C. A. and Birtcher, C. R. (2013). **Improved gain and loss factor formulas for a conical horn,** Antennas and Propagation Society International Symposium (APSURSI).
- Doumanis, E., Zelenchuk, D., Fusco, V. and Goussetis, G. (2013). **Conical Horn Antenna with Spiral Phase Plate for Difference Pattern Generation**. European Conference on Antennas and Propagation (EuCAP), pp. 1309-1312.
- Tellechea, A., Iriarle, J. C., Ederri, I. and Montesano, A. (2013). **Dual Band Compact and Light EBG Superstrate Based Antenna for TT&C Application**. 2013 7th European Conference on Antennas and Propagation (EuCAP), pp.2505-2507.
- Forati, E. and Hanson, G. W. (2013). **Scattering From Isotropic Connected Wire Medium Metamaterials: Three-, Two-, and One-Dimensional Cases**. IEEE Transactions on Antennas and Propagation, vol. 61, No.7, pp. 3564-3574.
- Mustafa K., Al-Nuaimi, T., Hong, W. and Zhang, Y. (2014). **Design of High-Directivity Compact-Size Conical Horn Lens Antenna**. IEEE Antennas and Wireless Propagations Letters, vol. 13, No. 3, pp. 467-470.

- Mustafa K., Al-Nuaimi, T., Hong, W. and Zhang, Y. (2014). **Discrete Dielectric Reflect array and Lens for E-Band with Different Feed.** IEEE Antennas and Wireless Propagation Letters, vol. 13, No. 3, pp. 947-950.
- Reyes-Ayala, M. and Jardon-Aguilar, H. (2014). **Dielectric Load in Short Standard Conical Horns for Satellite Applications.** 2014 IEEE Radio and Wireless Symposium (RWS).
- Yang, Z., Song, W. and Sheng, X. Q. (2014). **A Modified PML in FDTD Modeling of a Uniaxial Wire Medium.** IEEE Antennas and Wireless Propagation Letters, vol. 13, No. 1, pp. 1191-1194.
- Morgado, T. A., Alves, J. M., Marcos, J. S., Maslovski, S. I., Fernandes, C. A. and Silveirinha, M. G. (2014). **Spatially Confined UHF RFID Detection with a Metamaterial Grids.** IEEE Transactions on Antennas and Propagation, vol. 62, no. 1, pp. 378-384.
- Torres, V., Orazbayev, B., Pacheco-pena, V., Teniente, J., Beruete, M., Navarro-Cia, M., Sorolla Ayza, M. and Engheta, N. (2015). **Experimental Demonstration of a Millimeter-Wave Metallic ENZ Lens Based on the Energy Squeezing Principle,** IEEE Transactions on Antennas and Propagation, vol. 63, no. 1, pp. 231-239.
- Burghignoli, P., Lovat, G., Capolino, F., Jackson, D. R. and Wilton, D. R. (2015). **Directive Leaky Wave Radiation from a Dipole Source in a Wire Medium Slab.** IEEE Transactions on Antennas and Propagation, vol. 56, no. 5, pp. 1329-1339.
- Forati, E. and Hanson, G. W. (2015). **An Epsilon-Near-Zero Total-Internal-Reflection Metamaterial Antenna.** IEEE Transactions on Antennas and Propagation, vol. 63, no. 5, pp. 4848-4856.
- Kosulnikov, S., Filonov, D., Glybovski, S., Below, P., Tretyakov, S. and Simovski, C. (2015). **Wire-Medium Hyperlens for Enhancing Radiation From Subwavelength Dipole Sources,** IEEE Transactions on Antennas and Propagation, vol. 63, no. 11, pp. 4848-4856.

ภาคผนวก ก

บทความวิชาการที่ได้รับการตีพิมพ์เผยแพร่ในระหว่างศึกษา

มหาวิทยาลัยเทคโนโลยีสุรนารี

รายชื่อบทความวิชาการที่ได้รับการตีพิมพ์เผยแพร่ในระหว่างศึกษา

งานตีพิมพ์วารสารนานาชาติ

PumipongDuangtang, PiyapornMesawad, and RansangWongsan“**Creating a Gain Enhancement Technique for a Conical Horn Antenna by Adding a Wire Medium Structure at the Aperture**”, Journal of Electromagnetic Engineering and Science, Korea, 2016

งานประชุมวิชาการระดับนานาชาติ

PumipongDuangtang, PiyapornMesawad, and RansangWongsan“**Gain Improvement for Conventional Conical Horn By Using Mushroom-like Electromagnetic Band Gap**” 2014 International Conference on Electrical Engineering/Electronics, Computer, Telecommunications and Information Technology (ECTI-CON 2014), Nakhon Ratchasima, Thailand, 2014

PumipongDuangtang, PiyapornMesawad, and RansangWongsan“**Dimension Reduction of Conical Horn Antennas By Adding Structure of Metamaterial**” IEEE Asia Pacific Conference on Wireless and Mobile (APWiMob 2015), Bandung, Indonesia 2015

PumipongDuangtang, PiyapornMesawad, and RansangWongsan“**Gain Improvement of Conical Horn Antennas by Adding Wire Medium Structure**”, 2016 International Conference on Electrical Engineering/Electronics, Computer, Telecommunications and Information Technology (ECTI-CON 2016), Change Mai, Thailand, 2016

Creating a Gain Enhancement Technique for a Conical Horn Antenna by Adding a Wire Medium Structure at the Aperture

Pumipong Duangtang* · Piyaporn Mesawad · Rangsan Wongsan

Abstract

This paper proposes a technique for improving the conventional conical horn antenna for the X-band frequency using metamaterial on a wire medium structure. The main idea of this research is the application of the wire medium metamaterial to the conical horn's aperture for the enhancement of the horn's gain; this is done without changing the antenna's dimensions. The results show that the wire medium structure can increase the gain of a conventional conical horn antenna from approximately 17.7 dB to 20.9 dB (an increase of approximately 3.2 dB). A prototype antenna was fabricated, and its fundamental parameters including its reflection coefficient (S_{11}), radiation patterns, and directive gain were measured. The simulated and measured results were very good. The wire medium structure of the proposed antenna improved the radiation pattern, enhanced the directivity, increased the gain, and reduced the side lobe level using a simple integrated wire medium structure.

Key Words: Conical Horn Antenna, Metamaterial, Wire Medium Structure.

I. INTRODUCTION

The conical horn antenna is often applied in a variety of applications due to its high gain and high power-handling capabilities. The advantages of the conical horn antenna are that it is simple to feed, it has a low back lobe, it can function with very good directivity, and it can gain properties. The physical dimensions of a conical horn directly increase as the horn gains power. The conical horn antenna also has disadvantages, including its heavy weight and large size. Still, the conical horn antenna achieves higher gain compared with other antenna types, especially at low frequencies [1]. There are many different conical horn antenna designs that are meant to improve per-

formance by facilitating higher directivity, decreasing the antenna's weight, and reducing the antenna's size for easier use with more applications.

Generally, improvement of the conical horn antenna has been achieved by configuring the antenna's length and flare angle; however, this approach still sometimes results in phase errors within the horn. The conical horn can be improved with the use of a dielectric lens in the horn's aperture. This type of lens is produced in various shapes and with a range of materials. For example, 2D and 3D lenses are both made from different dielectric materials [1]. Dielectric lenses can also be used to improve the performance of a conical horn antenna. The dielectric lens is mounted to the antenna's aperture to facilitate concen-

Manuscript received February 26, 2016 ; Revised April 12, 2016 ; Accepted April 15, 2016. (ID No. 20160226-008f)
 School of Telecommunication Engineering, Suranaree University of Technology, Nakhon Ratchasima, Thailand.
 *Corresponding Author: Pumipong Duangtang (e-mail: d5640058@g.sut.ac.th)

This is an Open-Access article distributed under the terms of the Creative Commons Attribution Non-Commercial License (<http://creativecommons.org/licenses/by-nc/3.0>) which permits unrestricted non-commercial use, distribution, and reproduction in any medium, provided the original work is properly cited.

© Copyright The Korean Institute of Electromagnetic Engineering and Science. All Rights Reserved.

tration of the radiated energy into a narrow beam and to prevent that energy from spreading in undesired directions. Other advantages of this method include its good return loss, high gain, and low side lobe [2].

In recent research, the use of metamaterials in antenna technology applications has been widely investigated. Metamaterial can be defined as new technology used to control electromagnetic waves. Special attention has been paid to artificial materials with permittivity levels close to zero. These are also known as epsilon near zero (ENZ) metamaterials [3]. In recent studies, ENZ materials have attracted a great deal of attention for their highly unusual optical properties. Additionally, ENZ materials have been employed for perfect coupling through a narrow channel, optical switching and bistability, as well as for gaining directivity control of the radiation pattern of antennas [4]. These materials are also suitable for the development of lenses due to their ability to tailor the wave fronts to the desired shapes by simply controlling the lens profile [2]. In addition, the wire medium structures are considered to be a kind of electromagnetic band gap material or metamaterial [4]. These structures consist of a periodic arrangement of metallic wires that perfectly conduct cylinders (wires) in an infinitely long and parallel rectangular lattice, which is embedded inside a homogeneous host medium of dielectric constant. The electromagnetic properties of this material can be described in terms of the effective permittivity that occurs with the advent of the metamaterials [5, 6].

In [7], a quad-ridged horn antenna was designed using a dielectric hemispheric lens placed on a ridged horn antenna, which was done to minimize the phase variations of the radiated electromagnetic wave in the plane of the antenna's aperture. The dielectric lens can increase the gain and realized the dual polarization character of the quad-ridge horn antenna. In [8], the length of the standard conical horn was reduced by the addition of a dielectric load at the antenna's aperture. Moreover, in [9], the synthesis of different beam patterns for far-field radiation was accomplished by the insertion of a dielectric cylinder spiral phase plate (SPP) at the aperture of the conical horn antenna. In [10], the epsilon positive (EPS) and ENZ metamaterials flat lens was designed to cover the aperture of the short horn antenna; the radiation performances of this antenna were similar to those of the conventional horn antenna. In [11], a wire medium of the modifications on the radiation pattern of a standard X-band horn antenna, which a wire medium structure consisting of five layers of Styrofoam plates hosting a periodic array of metallic wires. The loading wire medium exhibited a high directivity and reduced side lobe level, while the gain of the proposed antenna was lower than that of the conventional horn. Furthermore, a high-directivity compact-size conical horn lens antenna was proposed to create a spherical

wave front similar to an EM wave by using a wire medium lens to cover the aperture of the conical horn and obtain a higher gain [12].

In this paper, the design of a wire medium structure designed for gain improvement of a standard conical horn at an operating frequency of 10 GHz is presented. The most suitable structure for the practical application of the wire medium will be investigated and designed. The wire medium must be mounted on the horn aperture without modifying the dimensions of the horn. The present study demonstrates the possibility of using a simple integrated wire medium structure to enhance the directivity, increase the gain, and reduce the side lobe level of a conical horn antenna.

The theory and configuration of the wire medium structure are briefly mentioned in Section II. In Section III, the basic design of the conventional conical horn and the design procedure for the wire medium structure are presented using licensed Computer Simulation Technology (CST) software. Antenna prototyping and verification of simulated and measured results are discussed in Section IV, while Section V presents the conclusion of this research.

II. THEORY AND CONFIGURATION OF THE WIRE MEDIUM STRUCTURE

A rectangular wire medium structure lattice is ideally made by conducting parallel thin wires, as shown in Fig. 1 [13]. The wire medium shown in Fig. 1 is isotropic for electromagnetic waves with an arbitrary polarization, and as such, it requires the use of an uniaxial permittivity with an optical axis parallel to the wire (y) axis. When the wire medium structure is homogenized, the wavelengths become sufficiently larger than the wire spacing [5]. Additionally, the wire medium structure consists of a finite

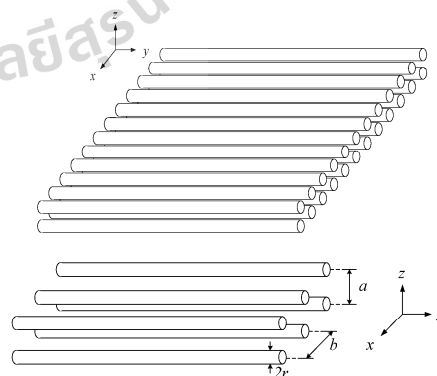


Fig. 1. The dimension of the wire medium.

number N of periodic layers of thin conducting cylinders embedded in a dielectric sheet with relative permittivity (ϵ_{rh}). Furthermore, in cases with long wavelength limits, the wire medium structures act as homogeneous materials [14, 15]. However, if the wires of the structure are perfect conductors for electrical polarized plane waves, then effective relative permittivity (ϵ_{WM}) occurs. This is a frequency-dependent scalar quantity that can be expressed as

$$\epsilon_{WM} = \epsilon_0 \epsilon_{rh} \left(1 - \frac{k_p^2}{\epsilon_{rh} k_0^2 - k_y^2} \right) \quad (1)$$

where ϵ_{rh} is the relative permittivity of the medium host with the wire, ϵ_0 represents the permittivity of free-space, k_p is the plasma wave-number, k_0 is the free-space wavenumber, and k_y represents the wavenumber along the wire axis. However, the plasma wavenumber usually depends on the geometrical and physical parameters of the structure, which can be expressed as [5]

$$k_p^2 = \frac{2\pi}{ab \left[\ln \left(\frac{\sqrt{ab}}{2\pi r} \right) + F(a/b) \right]} \quad (2)$$

where

$$F(a/b) = -\frac{1}{2} \ln(a/b) + \sum_{n=1}^{\infty} \frac{1}{n} \left[\coth \left(\frac{\pi n a}{b} \right) - 1 \right] + \frac{\pi}{6} (a/b) \quad (3)$$

where a , b , and n represent the spatial period along the z -direction, the spatial period along the x -direction, and the number of wire layers along the z -direction, respectively.

III. SIMULATED RESULTS AND DISCUSSION

1. Design of the Conical Horn Antenna

The structure of a conventional horn antenna is shown in Fig. 2. The dimensions of such a conical horn can be theoretically calculated to achieve the desired absolute gain, which that the gain was mentioned in [16]. The calculated results for the present study's horn dimensions are length (L_i) = 120 mm, aperture diameter (d_m) = 112 mm, and circular waveguide diameter (R_1) = 26 mm. These dimensions are calculated at an operating frequency of 10 GHz and result in a gain of 17.7 dB, as shown in the 3D radiation pattern in Fig. 3. Furthermore, the simulated results of the conventional conical horn antenna illustrate the reflection coefficient (S_{11}), the normalized radiation patterns, and the 2D radiation patterns, as shown in Figs. 4 and 5.

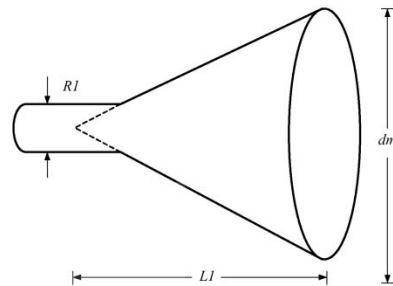


Fig. 2. The structure of a conventional conical horn antenna.

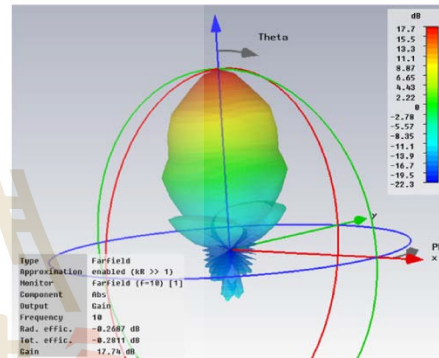


Fig. 3. The directive gain from the simulated 3D radiation pattern of a conventional conical horn antenna.

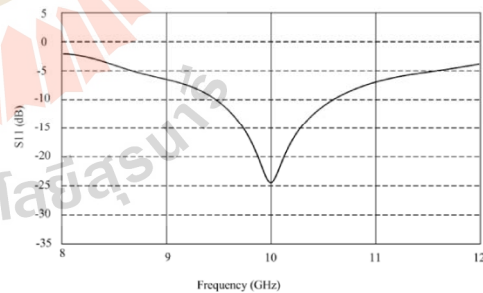


Fig. 4. The simulated reflection coefficient of a conventional conical horn antenna.

2. Design of the Wire Medium Structure

As in the theory of wire medium detailed in Section II, the dimensional structure of the wire medium in the present study has been designed and optimized for the most appropriate efficient, as shown in Fig. 6. The design consists of a two-layered rectangular lattice of thin wire in parallel operation. This lattice is embedded on both sides of the polyamide ($\epsilon_r = 3.5$) dielectric

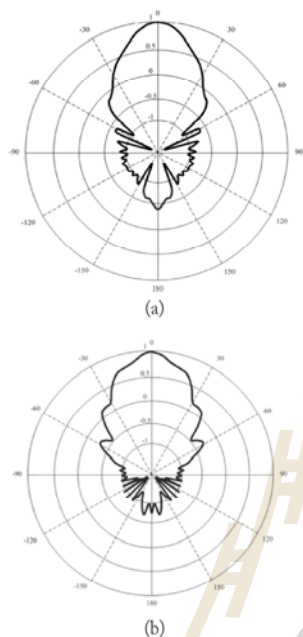


Fig. 5. The simulated 2D radiation patterns of a conventional conical horn antenna. (a) E-plane, (b) H-plane.

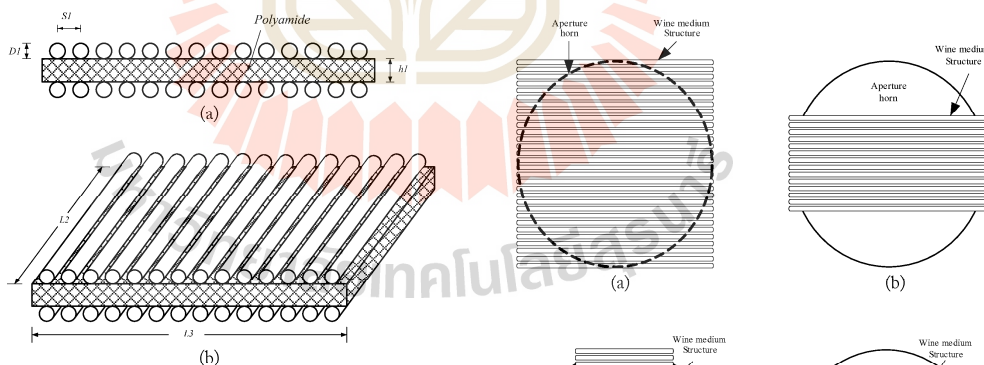


Fig. 6. The proposed wire medium structure: (a) side view, (b) perspective view.

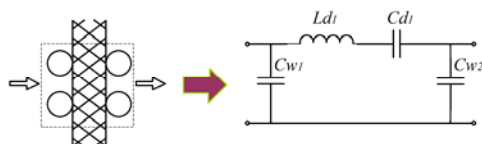


Fig. 7. The equivalent resonance circuit of the wire medium structure.

sheet. Furthermore, the effective relative permittivity of a wire medium structure can be realized in operating frequency 10 GHz by adjusting the wire array spacing and the wire radius according to (1). We found that the most appropriate dimensions for the wire medium structure, which provided the desired performance, were: wire radius (r) = 1.25 mm, wire array spacing (s_1) = 3.5 mm, and polyamide thickness (b_1) = 3.5 mm. When this wire medium structure is modeled, it can be explained an effective medium model with equivalent lumped LC element, as shown in Fig. 7.

3. Optimization of the Wire Medium Structure for the Conical Horn Antenna

There are several important parameters that may influence the behavior of a wire medium structure. For the initial approach to the design process of the conical horn antenna, the dimensions of the wire medium structure are chosen according to the frequency range of interest. The configurations of the wire medium structure are designed and optimized by the performance of various parametric simulations using electromagnetic simulation software. In Fig. 8, four models of the proposed conical horn are shown. The comparative geometries of the four different models are evaluated to establish the most appropriate performance. The simulated reflection coefficients of each model from the simulated results have been compared, as shown in Fig. 9. The four models have been tuned to resonate at the same

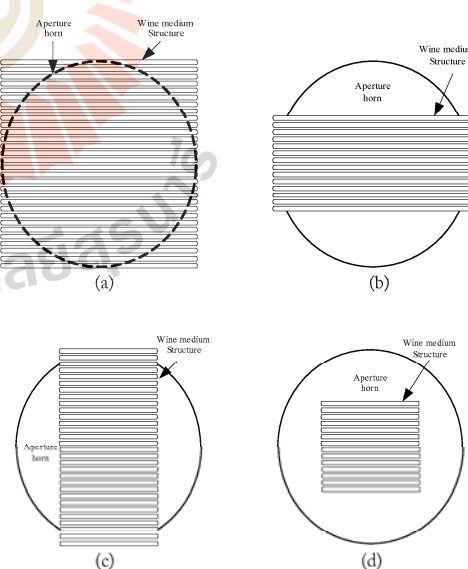


Fig. 8. Different configurations of the wire medium structure. (a) Model A, (b) model B, (c) model C, and (d) model D.

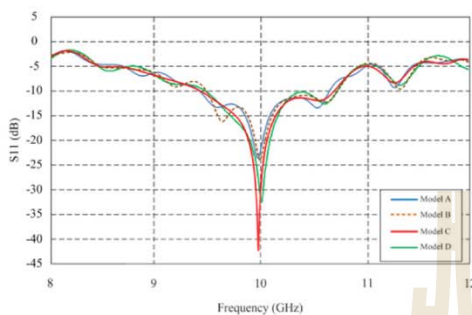


Fig. 9. The simulated reflection coefficient of the four models of the wire medium structure.

frequency (10 GHz). All models examined show reflection coefficients of higher than -10 dB, and the models all have similar bandwidths. However, the reflection coefficients of the models' structures are narrower than the conventional horn due to the effect of the wire medium structure. Fig. 10 presents a

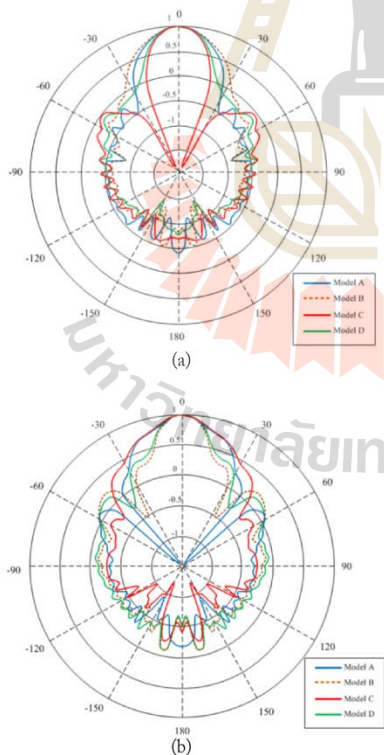


Fig. 10. The simulated radiation patterns of the four models of the wire medium structure. (a) E-plane, (b) H-plane.

comparison of radiation patterns between these models in both the E-plane and the H-plane. The conical horn with the model D structure was found to offer better pattern symmetry and lower side-lobes compared to the other models.

Fig. 11 presents a comparison of the simulated gains of the conical horn between the four models. The gains of the conical horn with the model D structure improve the gain by substantially more than the other models. In terms of the simulated results for the conical horn with the four models, the reflection coefficient, directivity, and gain performances of the model D structure (Fig. 8(d)) were most suitable for optimization.

To demonstrate the advantage of using a wire medium st-

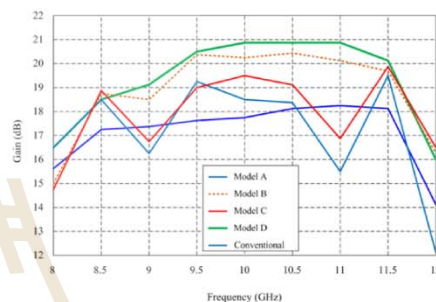


Fig. 11. The simulated gains of the four models of the wire medium structure.

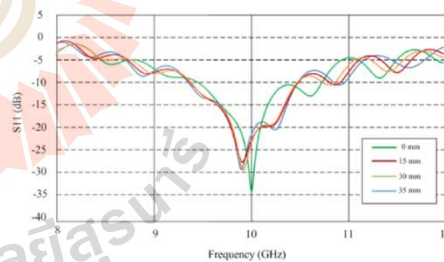


Fig. 12. The simulated reflection coefficient of the different distances of the wire medium structure.

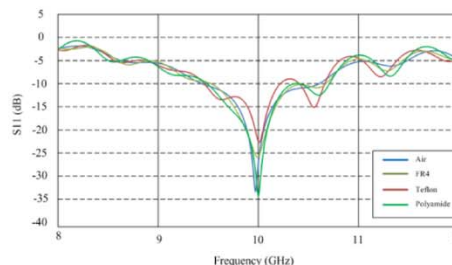


Fig. 13. The simulated reflection coefficient of different dielectrics.

structure with the conical horn antenna, the performance of the structure was tested at different distances. For the sake of comparison, the model D structure was also simulated, as this model has the same dimensions as the geometries in Fig. 8(d). The findings showed agreement when the wire medium structure was placed on the aperture (0 mm), as shown in Fig. 12.

Fig. 13 shows the simulated reflection coefficient of the four dielectric sheets (air, FR4, Teflon, and polyamide). The simulated reflection coefficient of polyamide dielectric was found to be a better match than the other sheets at operating frequency 10 GHz.

The number of layers of the wire medium structure placed on the aperture was also considered. The comparison of the reflection coefficient with the layers of the wire medium structure is shown in Fig. 14. The resonant frequency of the two layers was found to be in good agreement, while the multi-layer designs were found to have lower resonant frequencies than the two layers.

In this section, the simulated results of the proposed horn antenna with the optimized wire medium structure are shown. The perspective view of the proposed conical horn is shown in Fig. 15. All parameters of the metamaterial technique of the wire medium structure, in which the conical horn is placed on the aperture, have been optimized using the simulation software. The most appropriate dimensions of the wire medium structure were found to be: polyamide height (L_2) = 60 mm, wire radius (r) = 1.25 mm, wire spacing (s_1) = 3.5 mm, number of wires (n) = 21, and polyamide thickness (b_1) = 3.5 mm.

Fig. 16 shows the maximum gain of the antenna, which is approximately 20.9 dB. The calculated results are presented in the simulated 3D radiation pattern.

Additionally, the reflection coefficient and radiation patterns of the E-plane and H-planes of the proposed conical horn with the wire medium structure are compared to the conventional horn and illustrated in Figs. 17 and 18. In Fig. 17, the simulated reflection coefficient of the proposed antenna shows excellent

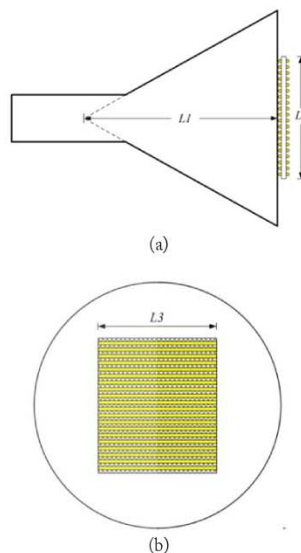


Fig. 15. The new conical horn antenna with a wire medium structure. (a) Side view, (b) front view.

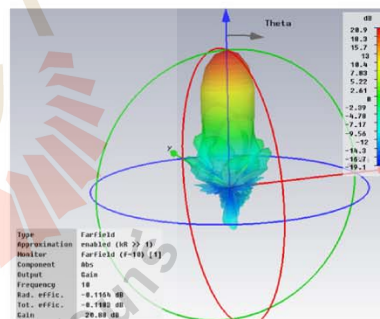


Fig. 16. The simulated 3D radiation pattern of the proposed antenna.

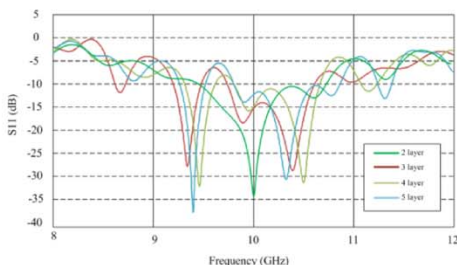


Fig. 14. The simulated reflection coefficient of a number of layers of the wire medium structure.

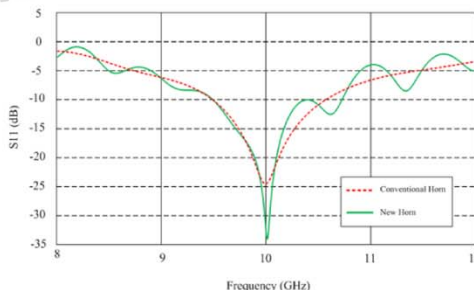


Fig. 17. Comparison between the simulated reflection coefficients of the conventional and proposed antennas.

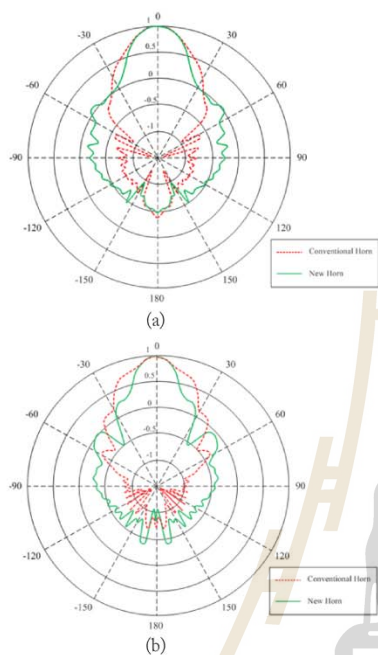


Fig. 18. Comparison between the simulated radiation patterns of the conventional and proposed antennas. (a) E-plane, (b) H-plane.

characteristics of impedance which match better than those of the conventional conical horn, in which the bandwidth is narrower. Fig. 18 shows the comparison between the radiation

Table 1. Comparison of the gain results at 10 GHz

| Type | Gain (dB) |
|-----------------------------------|-----------|
| Conventional conical horn antenna | 17.7 |
| New conical horn antenna | 20.9 |

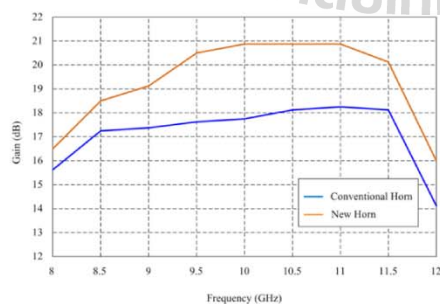


Fig. 19. Comparison between the simulated gain of the conventional and proposed antennas.

patterns of two such different horn antennas. The half-power beamwidth (HPBW) of the radiation patterns of the proposed antenna is narrower than that of the conventional antenna, but its gain is increased to around 3.2 dB, as noted in Table 1.

The comparison of the simulated gains between the conventional horn and the proposed antenna are shown in Fig. 19. The proposed antenna displays increased gain behavior that is greater than that of the conventional horn.

IV. ANTENNA PROTOTYPING AND MEASUREMENT

A prototype of the proposed antenna is shown in Fig. 20. The simulated and measured reflection coefficients of this antenna are compared in Fig. 21; the two performances are in good agreement. Furthermore, Fig. 22 shows the E-plane and H-plane normalization radiation patterns of the antenna prototype compared to the simulated results; good agreement between the simulation and measurement is also shown here. However, the maximum gain of the simulated results at 10 GHz is around 20.9 dB, while the difference between the simulation and experimentation is inferior at only 0.2 dB.



Fig. 20. A photograph of the fabricated proposed antenna.

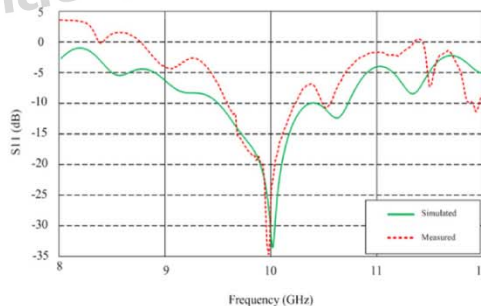


Fig. 21. The simulated and measured results of the reflection coefficient of the proposed antenna.

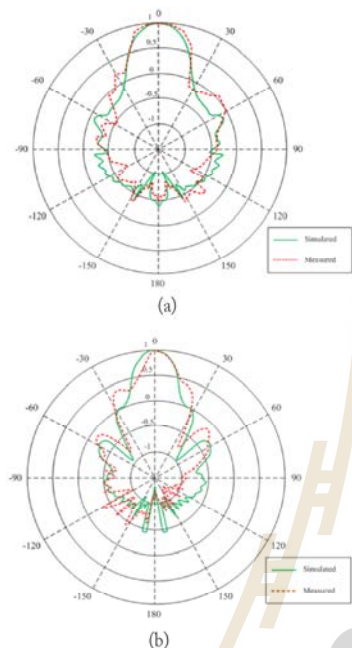


Fig. 22. Comparison between the simulated radiation patterns of the conventional and proposed antennas. (a) E-plane, (b) H-plane.

V. CONCLUSION

In this work, a new approach for gain enhancement of the conventional conical horn antenna was proposed. The wire medium of the metamaterial technique with a wire medium structure was applied to the conical horn to enhance the gain characteristics without changing the antenna sizes, which are designed to work with 10 GHz of X-band frequency for radar applications. The comparison results, including the reflected coefficient (S_{11}) and radiation patterns of the proposed antenna and the conventional horn, were simulated using simulation software. Very good agreement between the simulations and measurements was reported in the findings. The proposed antenna provides higher gain (20.9 dB) when compared to the gain of the conventional horn (17.7 dB). The gain of the conical horn antenna can be increased to around 3.2 dB. As for the pattern, the beamwidth of the proposed antenna was narrower than that of the conventional horn. The wire medium structure of the proposed antenna improved the radiation pattern, enhanced the directivity, increased the gain, and reduced the side lobe level using a simple integrated wire medium structure. Additionally, the reflection coefficient decreased by more than -10 dB when compared to the conventional horn.

This work was supported by the Research Department Institute of Engineering, Suranaree University of Technology, Nakhonratchasima, Thailand.

REFERENCES

- [1] M. K. T. Al-Nuaimi, W. Hong, and Y. Zhang, "Design of high-directivity compact-size conical horn lens antenna," *IEEE Antennas and Wireless Propagation Letters*, vol. 13, pp. 467-470, 2014.
- [2] V. Torres, B. Orazbayev, V. Pacheco-Pena, J. Teniente, M. Beruete, M. Navarro-Cia, M. Sorolla Aya, and N. Engheta, "Experimental demonstration of a millimeter-wave metallic ENZ lens based on the energy squeezing principle," *IEEE Transactions on Antennas and Propagation*, vol. 63, no. 1, pp. 231-239, 2015.
- [3] Y. C. Jun, J. L. Reno, M. Sinclair, and I. Brener, "Epsilon-near-zero subwavelength optoelectronics: Electrically tunable ENZ strong coupling," in *Proceedings of 2013 Conference on Lasers and Electro-Optics (CLEO)*, San Jose, CA, 2013.
- [4] P. Burghignoli, G. Lovat, F. Capolino, D. R. Jackson, and D. R. Wilton, "Directive leaky-wave radiation from a dipole source in a wire-medium slab," *IEEE Transactions on Antennas and Propagation*, vol. 56, no. 5, pp. 1329-1339, 2008.
- [5] P. Burghignoli, G. Lovat, F. Capolino, D. R. Jackson, and D. R. Wilton, "Modal propagation and excitation on a wire-medium slab," *IEEE Transactions on Microwave Theory and Techniques*, vol. 56, no. 5, pp. 1112-1124, 2008.
- [6] A. Tomaz, J. J. Barroso, P. J. Castro, and A. J. Orlando, "Experimental investigation on the radiation pattern of a horn antenna loaded by a wire medium," in *Proceedings of 2013 IEEE Antennas and Propagation Society International Symposium (APSURSI)*, Orlando, FL, 2013, pp. 958-959.
- [7] J. Qiu, Y. Suo, and W. Li, "Research and design on ultra-wideband dielectric hemispheric lens loaded quad-ridged horn antenna," in *Proceedings of 6th International Conference on Antenna Theory and Techniques*, Sevastopol, 2007, pp. 253-255.
- [8] M. Reyes-Ayala and H. Jardón-Aguilar, "Dielectric load in short standard conical horns for satellite applications," in *Proceedings of 2014 IEEE Radio and Wireless Symposium (RWS)*, Newport Beach, CA, 2014, pp. 235-237.
- [9] E. Doumanis, D. Zelenchuk, V. Fusco, and G. Goussetis, "Conical horn antenna with spiral phase plate for difference pattern generation," in *Proceedings of 2013 7th European Conference on Antennas and Propagation (EuCAP)*, Gothenburg, Sweden, 2013, pp. 1309-1312.
- [10] D. Ramaccia, F. Scattone, F. Bilotti, and A. Toscano, "Br-

oadband compact horn antennas by using EPS-ENZ metamaterial lens," *IEEE Transactions on Antennas and Propagation*, vol. 61, no. 6, pp. 2929–2937, 2013.

- [11] A. Tomaz, J. J. Barroso, U. C. Hasar, and A. J. F. Orlando, "Directivity enhancement of an X-band horn antenna loaded by a wire medium," in *PIERS Proceedings*, Stockholm, Sweden, 2013.
- [12] M. K. T. Al-Nuaimi, W. Hong, and Y. Zhang, "Design of high-directivity compact-size conical horn lens antenna," *IEEE Antennas and Wireless Propagation Letters*, vol. 13, pp. 467–470, 2014.
- [13] Y. Zhao, P. A. Belov, and Y. Hao, "Modelling of wave propagation in wire media using spatially dispersive finite-difference time-domain method: numerical aspects," *IEEE Transactions on Antennas and Propagation*, vol. 55, no. 6, pp. 1506–1513, 2007.
- [14] P. A. Belov, S. A. Tretyakov, and A. J. Viitanen, "Dispersion and reflection properties of artificial media formed by regular lattices of ideally conducting wires," *Journal Electromagnetic Waves Application*, vol. 16, no. 8, pp. 1153–1170, 2002.
- [15] S. I. Maslovski, S. A. Tretyakov, and P. A. Belov, "Wire media with negative effective permittivity: a quasi-static model," *Microwave and Optical Technology Letter*, vol. 35, no. 1, pp. 47–51, 2002.
- [16] A. P. King, "The radiation characteristics of conical horn antennas," *Proceedings of the IRE*, vol. 38, no. 3, pp. 249–251, 1950.

Pumipong Duangtang



was born in Lampang, Thailand, in 1978. He received his Bachelor of Engineering degree in Electrical Engineering from Mahanakron University of Technology, Thailand, in 2001, as well as his Master of Science in Technical Education degree in electrical technology at King Mongkut's Institute of Technology North Bangkok (KMUTNB) in 2009. He is currently working toward his doctorate in telecommunication engineering at Suranaree University of Technology. His research interests include electromagnetic theory, antenna engineering, and metamaterial technology. Mr. Pumipong is a member of the Electrical Engineering/Electronic, Computer, Telecommunication, and Information Technology Association (ECTI).

Rangsan Wongsan



was born in Rayong, Thailand, in 1964. He received his Bachelor of Engineering degree in electronics engineering at Rajamangala Institute of Technology (RIT) in 1989, as well as his Master of Engineering degree in electrical engineering from King Mongkut's Institute of Technology North Bangkok (KMUTNB) in 1994. He then received his Doctor of Engineering degree in electrical engineering at King Mongkut's Institute of Technology Ladkrabang (KMUTL) in 2003. He is currently a reviewer of many journals related to electromagnetic applications. His research focuses on antenna theory and electromagnetic applications. Currently, his research interests are the utilization of metamaterials for efficient improvement of conventional antennas and microwave devices. Associate Professor Dr. Rangsan is a member of the Electrical Engineering/Electronic, Computer, Telecommunication, and Information Technology Association (ECTI) and the Institute of Electronics, Information, and Communication Engineers (IEICE).

Piyaporn Mesawad



was born in Khon Kaen, Thailand, in 1974. She received her Bachelor of Engineering degree in telecommunication engineering at Suranaree University of Technology, Thailand, in 1997, as well as her Master of Engineering degree in electrical engineering from Chulalongkorn University, Thailand, in 2001. She then received her Doctor of Engineering degree in telecommunication engineering at Suranaree University of Technology, Thailand, in 2008. She is a reviewer for the IEEE Conference. Her research interests are electromagnetic theory, antenna engineering, and the electromagnetic band gap. Assistant Professor Dr. Piyaporn is a member of the Electrical Engineering/Electronic, Computer, Telecommunication, and Information Technology Association (ECTI) and the Institute of Electronics, Information, and Communication Engineers (IEICE).

Gain Improvement of Conical Horn Antennas by Adding Wire Medium Structure

Pumipong Duangtang
School of Telecommunication Engineering,
Suranaree University of Technology,
Nakhon Ratchasima, Thailand
d5640058@g.sut.ac.th

Piyaporn Mesawad
School of Telecommunication Engineering,
Suranaree University of Technology,
Nakhon Ratchasima, Thailand
priam@sut.ac.th

Rangsan Wongsan
School of Telecommunication Engineering,
Suranaree University of Technology,
Nakhon Ratchasima, Thailand
rangsan@sut.ac.th

Abstract—This paper proposed a design of the wire medium structure for the conical horn antenna at the 10 GHz for radar applications. The main idea of this research is to the suitable wire medium structure and distance between apertures to such structure for gain improvement. We found that this proposed antenna with the wire medium structure provided the higher gain (20.9 dB) when compared to the gain of conventional horn (17.7 dB). Finally, the proposed antenna was fabricated and measured the results such as reflection coefficient (S_{11}) and radiation pattern. We found that the simulated and measured results suggest that are in good agreement.

Keywords—conical horn; wire medium; metamaterial

I. INTRODUCTION

Conical horn antenna has been used in many applications such as electromagnetic compatibility (EMC) measurements [1], radar, microwave communication systems [2], feed elements for satellite communication and radio astronomy systems [3]. The advantages of conical horn antennas are simple to fabricate provide very good directional performance [4], high directive gain, low back radiation and easy excitation [5]. The gain of conical horn antennas is related to the physical dimensions. Consequently, the conventional horn antennas still have bigger size if the higher gain is required. The length of a conical horn will be increased directly with power gain, the length of the conical horn may become objectionably long at high gain [2]. In recent years, the metamaterials structure has been interested in the development and optimization of antennas. The applications of metamaterials structure have become new technologies in the modern antenna design. Wire medium structures are a subset of metamaterials, which consisting of a periodic arrangement of metallic wires in a rectangular lattice [6]. Generally, wire medium structures are also suitable for developing lenses due to their ability of tailoring the wave fronts to desired shapes by simply controlling the lens profile [7]. The wire medium structures have good characteristics in controlling the propagation of EM wave in a specified frequency band [8].

In this paper, a conical horn antenna with wire medium metamaterial for gain improvement at 10 GHz of operating

frequency (X-band applications) will be presented. The aim is to enhance gain performance without changes on its dimension. The proposed technique of is to mount the structure of wire medium metamaterial on its aperture. When the microwave frequency is fed from waveguide adapter and transfer to the conical horn, the electromagnetic wave will propagate through the structure of metamaterial then its gain will be improved.

II. CONICAL HORN ANTENNA AND WIRE MEDIUM STRUCTURE CONFIGURATION

A. Design of the Conical Horn Antenna

The structure of conical horn antennas is shown in Fig. 1. The dimension of conical horn antennas was theoretical calculated, its absolute gain of arbitrary dimensions of the horn has been given by the theoretical curves as shown in [9]. Its diameter was theoretical calculated at the frequency of 10 GHz as follows: a length (L) = 120 mm, an aperture diameter (dm) = 112 mm, and a circular waveguide diameter (R) = 26 mm, which is designed at the 10 GHz.

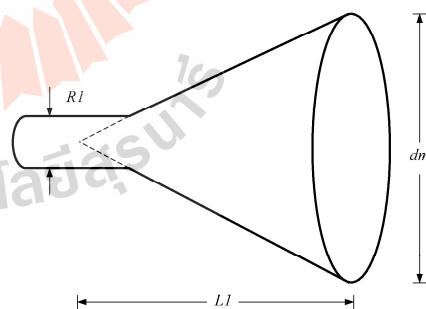


Fig. 1. The structure of conventional conical horn antenna structures.

B. Design of Wire Medium Structures

The wire medium consisting of a two dimension or three dimensional rectangular lattices of low loss wire grids has been known for a long time, and has been extensively studied in microwave lens design. The wire medium can be considered as special materials with negative parameter, which is commonly used component of artificial metamaterials for microwave and optical applications [10]. The wire medium consists of a periodic arrangement of thin perfectly conducting cylinders, infinitely long and parallel, embedded inside a homogeneous host dielectric medium [11].

In this work, the conceptual design discussed above of the wire medium. The dimensional structure is designed and optimized as shown in Fig. 2. The wire medium structure consists of a rectangular lattice of parallel operation of two layers of thin wire and dielectric substrate between wire layers. The dimension is calculated and specified as follows: $L2 = 60$ mm, $L3 = 70$ mm, $Dl = 2.5$ mm, $Sl = 3.5$ mm and $hl = 3.5$ mm, respectively. However, the wire medium structure can be represented as the resonant equivalently circuit as shown in Fig. 3

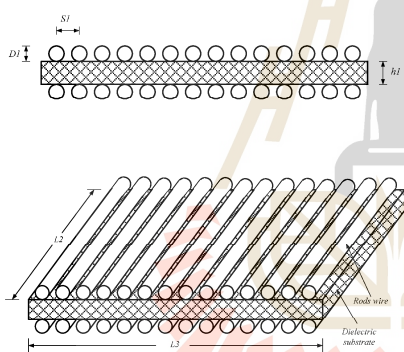


Fig. 2. The wire medium structures

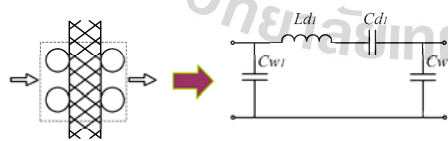


Fig. 3. The equivalent circuit of wire medium structures

C. Optimization of the Wire Medium Structure for the Conical Horn Antenna

The configurations of the wire medium structure are designed and optimized by the performance of various parametric simulations using electromagnetic simulation software. In Fig. 4, four models of the proposed conical horn are shown. The comparative geometries of the four different models are evaluated to establish the most appropriate performance. The simulated reflection coefficients of each model from the simulated results have been compared, as shown in Fig. 5. The four models have been tuned to resonate at the same frequency (10 GHz). It is noticed that all models have reflection coefficients better than -10 dB while having similar bandwidths. However, the reflection coefficients of the all models structure are narrower than the conventional horn due to the effect of wire medium structure. Fig. 6 presents the comparison of radiation patterns between these models. The conical horn with the model D structure was found to offer better pattern symmetry and lower side-lobes compared to the other models.

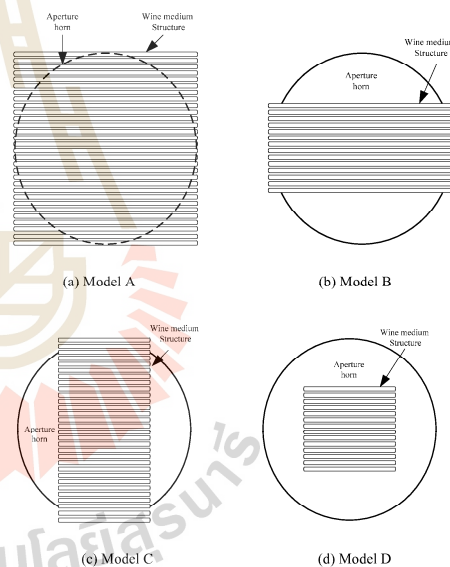


Fig. 4. Different configurations of the wire medium structure

In Fig.7 presents the comparison of simulated gains of the conical horn with four models, as seen from the figure, the gains of the conical horn with model D structure to substantially improve the gain and higher than the other models. Considering that the simulated results for a conical horn with four models, we found that the reflection

coefficient, directivity and gain performances of the model D structure (Fig. 8d) has suitability for the best agreement.

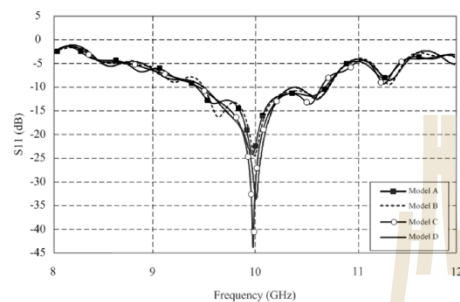


Fig. 5. The simulated reflection coefficient of the four models of the wire medium structure.

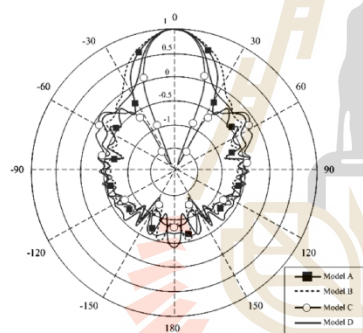


Fig. 6. The simulated radiation patterns of the four models of the wire medium structure.

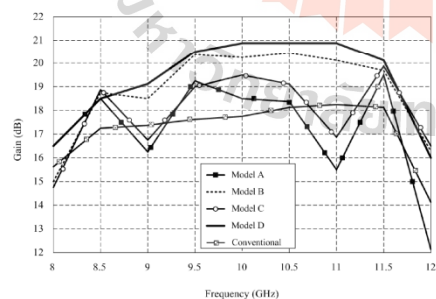
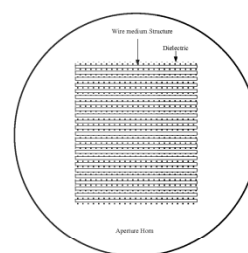
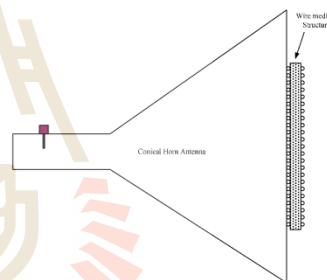


Fig. 7. The simulated gains of the four models of the wire medium structure.

From the simulation, the proper geometry and optimum dimensions of wire medium structure are shown in Fig. 8. The wire medium structure is placed at the aperture of horn antenna, which is excited with electromagnetic waves from the conical horn into its structure. Finally, the energy of EM waves will be gained by the equivalent resonant circuit of the structure and is transferred to the free-space.



(a) Front view



(b) Cross view

Fig. 8. Geometry of proposed a conical horn antenna by used wire medium structure.

III. SIMULATED RESULTS AND DISSCUSSION

This section presents the simulated results of the proposed horn antenna with wire medium structure. The perspective view of the proposed conical horn is shown in Fig. 8. All parameters of the wire medium structure placed at the aperture of the conical horn optimized by using the simulation software. The results of antenna gain, radiation pattern, and reflection coefficient are presented and compared to the conventional conical horn antenna. The simulated results of the proposed horn with two different dielectric types of wire medium structure are also illustrated and compared as shown in Fig. 9, Fig. 10 and 11.

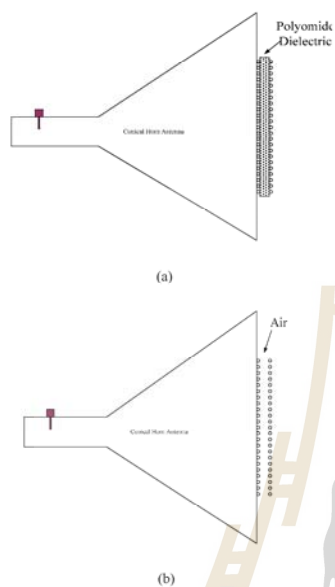


Fig. 9. The structure of conical horn antenna and wire medium with different dielectrics. (a) with polyamide dielectric and (b) with air.

Fig. 9 shows the structures of conical horn antennas and wire medium with different dielectric types. The simulated results of the reflection coefficient (S_{11}) of the antenna are compared as shown in Fig. 10. We found that the simulated reflection coefficient (S_{11}) of the wire medium structure with polyamide dielectric operating with horn antenna shows the good characteristic of impedance matching better than of the wire medium structure with air and provides the narrower bandwidth. Fig. 11 shows the comparison of the normalized radiation patterns of conical horn antennas with the wire medium of different dielectric types. It is found that the radiation pattern of the wire medium with a polyamide dielectric provides gain (20.9 dB) higher than the wire medium structure with air (19.04 dB) around 1.86 dB while comparing to the conventional horn, it is increased around 3.2 dB, as noted in Table I.

TABLE I. GAIN COMPARISON

| Type | Gain (dB) |
|---------------------------------------|-----------|
| Conventional Horn | 17.7 |
| Wire medium with air dielectric | 19.04 |
| Wire medium with polyamide dielectric | 20.9 |

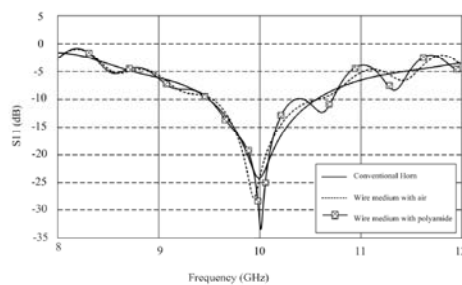


Fig. 10. Comparison between reflection coefficient of the conical horn antenna with wire medium of different dielectric types.

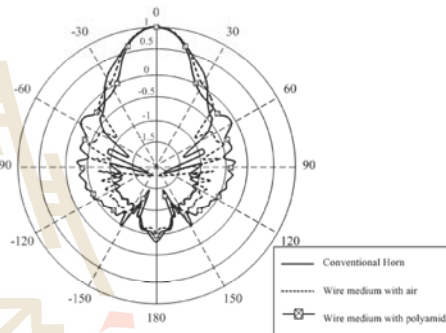


Fig. 11. Comparison between the radiation patterns of the conical horn antenna with wire medium of different dielectric types at frequency 10 GHz



Fig. 12. Photograph of the conical horn antenna with wire medium structure.

IV. MEASURED RESULTS

A photograph of the conical horn antenna with wire medium structure has been fabricated and experimental tests are shown in Fig. 12. Simulated and measured results of the reflection coefficient (S_{11}) and radiation patterns are compared in Fig. 13 and Fig. 14. The simulated and measured results of the reflection coefficient of this antenna has been compared in Fig.13, which its performance is in good agreement. Furthermore, Fig.14 shows the normalization radiation patterns of antenna prototype compared to the simulated results, which also shows a good agreement between simulation and measurement. However, the maximum gain of the simulated result at 10 GHz is around 20.9 dB, while the difference between simulation and experimentation is inferior to around 0.2 dB.

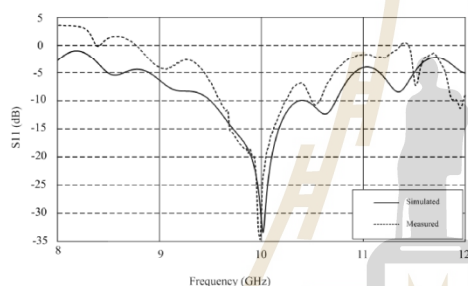


Fig. 13. Simulated and measured results of reflection coefficient of the conical horn antenna with wire medium structure.

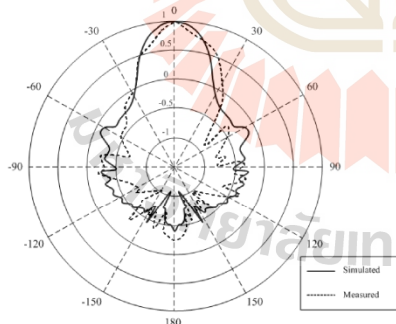


Fig. 14. Simulated and measured results of radiation patterns of the conical horn antenna with wire medium structure.

V. CONCLUSION

In this work, we have presented the design of suitable wire medium structure for installing at an aperture of the conical horn antenna. In order to achieve radiation performance better than the conventional one, this is designed at the 10 GHz X-band frequency for radar applications. The comparison results such as the reflected power, S_{11} and radiation patterns of this proposed antenna and the conventional horn has been simulated by using the simulation software. We found that this proposed antenna is capable to provide the higher gain (20.9 dB) when compared to the gain of conventional horn (17.7 dB), while simulated and measured results are in good agreement. However, the bandwidth of the proposed antenna is narrower than the conventional horn due to the effect of wire medium.

ACKNOWLEDGMENT

This work was supported by the Research Department Institute of Engineering, Suranaree University of Technology, Nakhonratchasima, Thailand.

REFERENCES

- [1] B.Jacobs, J.W.Odendaal, and J.Joubert, "An Improved Design for 1 -18 GHz Double-Ridged Guide Horn Antenna," *IEEE Transactions on Antennas and Propagation*, vol. 60, no. 9, pp. 4110-4118, Set 2012.
- [2] C. Bruns, P. Leuchtman, and R. Vahldieck, "Analysis and simulation of a 1-18 GHz Broadband Double-Ridge Horn Antenna," *IEEE, Trans. Electromagnetic Compatibility. Soc. London*, vol. 45, pp. 55-60, Feb 2003.
- [3] S. K. Palit, "Design of Hollow Dielectric Pyramidal Horn Antennas," *Canada*, vol. 2, pp. 1086 - 1089, Jul 1997
- [4] C. Bruns, P. Leuchtman, and R. Vahldieck, "Analysis and simulation of a 1-18 GHz Broadband Double-Ridge Horn Antenna," *IEEE, Trans. Electromagnetic Compatibility. Soc. London*, vol. 45, pp. 55-60, Feb 2003.
- [5] B.Jacobs, J.W.Odendaal, and J.Joubert, "Modelling Manufacturing Tolerances in 1-18 GHz Double-Ridged Horn Antenna," *Proceedings of the 39th European Microwave Conference*, vol. 60, no. 9, pp. 1484-1487, Oct 2009.
- [6] A.Tomaz, J.J.Barroso, P.J.Castro, and A.J.F.Orlando, "Experimental Investigation on the Radiation Pattern of a Horn Antenna Loaded by a Wire Medium," *Antennas and Propagation Society International Symposium (APSURSI)*, pp.958-959, July 2013.
- [7] A.alu, M.Silveirinha, A.Salandrino, and N.Enggheta, "Epsilon-near-zero metamaterials and electromagnetic sources: Tailoring the radiation phase pattern," *Phys.Rev.B*, vol. 75, 15, pp. 1-13, Apr 2007.
- [8] V.P.Chumachenko and A.S. Turk, "Radiation characteristics of wide angle H-plane sectoral horn loaded with dielectric of multiangular shape," *Int.J.Electron.*, vol.88, no. 1,2001, pp.91-101
- [9] A.P.King, "The radiation characteristics of conical horn antenna," *Proc.IRE*, vol. 38, no. 3, pp.249-251, Mar. 1950.
- [10] P.Burghignoli, G.Lovat, F.Capolino, D.R.Jackson, and D.R.Wilton, "Modal Propagation and Excitation on a Wire-Medium Slab," *IEEE, Trans. On Microwave Theory and Techniques*, vol. 56, No. 5 pp. 1112-1123, May 2008.
- [11] S.Tretyakov, "Analytical Modeling in Applied Electromagnetics," Artech House, Boston, MA London, 2003.

Dimension Reduction of Conical Horn Antennas By Adding Structure of Metamaterial

Rangsan Wongsan

School of Telecommunication Engineering,
Suranaree University of Technology,
Nakhon Ratchasima, Thailand
rangsan@sut.ac.th

Pumipong Duangtang

School of Telecommunication Engineering,
Suranaree University of Technology,
Nakhon Ratchasima, Thailand
d5640058@g.sut.ac.th

Piyaporn Mesawad

School of Telecommunication Engineering,
Suranaree University of Technology,
Nakhon Ratchasima, Thailand
priam@sut.ac.th

Abstract—This paper proposed the technique for reducing the dimension of conventional conical-horn antenna for C-band frequency (~5 GHz) by using metamaterial technique on the structure of mushroom-like electromagnetic band gap (EBG). The main idea of this research is the modified EBG structure for improve conical horn antenna, which is gouged in shape of square-ring slots on the outer surface of ground plane for coupling EM waves from conical horn through such structure. We found that the length of new conical horn antenna is shorter than of the conventional conical horn antenna about 44.82%, while the obtained gain is about 19.7 dB, which higher than the conventional horn. The new antenna can significantly antenna size while enhancing antenna gain.

Keywords—metamaterial; mushroom-like EBG; square-ring slots

I. INTRODUCTION

Nowadays, there is design of antennas by interest to improve the performance of antennas such as high directivity, lightweight, and reduce its size for utilizing in several applications. Conical horn antennas are widely used be devices for transmission and reception of electromagnetic waves in areas such as microwave communication, EMC testing, radar, communication systems [1], feed elements for satellite communication and radio astronomy systems [2]. The conical horn antenna is suitable to provide high gain, high power, and broadband applications. The advantages of conical horn antennas are low back lobe, possibility to function with very good directivity, and gain properties. However, such conventional horn antennas still have bigger size if the higher gain is required. The length of a conical horn will be increased directly with power gain, the length of the conical horn may become objectionably long at high gain [3]. Therefore, the aim of this study is to design new technique for reducing the dimension of the conical horn antenna, while similar to those that obtained from a conventional horn.

In recent year, electromagnetic band gap (EBG) structures have been used in many applications of antenna technology and increasing interests studied. In this respect, EBG structures are a subset of metamaterials. The applications of EBG structure have become new technologies in the modern antenna design. The EBG structures have good characteristics in

controlling the propagation of EM wave in specified frequency band [4]. The mushroom-like EBG structures, which consist four important parameters is formed by periodic array of metallic patches with each element connecting to the conductive ground with vertical vias [5]. The EBG structure exhibits surface-wave band-gap and in-phase reflection band-gap and it has been widely applied to design of low profile antenna with improved performance [6].

In [7], the EPS-ENS metamaterial flat lens were designed to cover the aperture of short horn antenna, which radiation performances is similar to the conventional horn. Furthermore, a high-directivity compact-size conical horn lens antenna was proposed to create a spherical wave front like EM wave by using lens covered the aperture of conical horn and obtained the higher gain [8].

In this paper, a new conical horn antenna by using metamaterial technique on mushroom-like EBG structure for gain improvement and size reduction at 5 GHz operating frequency (C-band applications) is presented. The proposed technique of new conical horn antenna is to mount the structure of mushroom-like EBG metamaterial on the aperture of shorter horn antenna. When the microwave frequency is fed from wave guide adapter and transfer to the conical horn, the electromagnetic wave will propagate through the structure of metamaterial for gain improvement.

II. CONICAL HORN ANTENNA AND MUSHROOM-LIKE EBG COFIGURATION

A. Design of the Conical Horn Antenna

The configuration of conical horn antennas are shown in Fig. 1. Their structures consist of the waveguide-to-coaxial (WG/COAX) adapter and conical horn. The structure of conventional conical horn antenna in the comparable study is shown in Fig. 1(a). Its diameter was theoretical calculated as follow: $L1 = 290$ mm, and $dm = 230$ mm. Fig.1 (b) shows the new conical horn structure, which has the same aperture dimensions and is fed by the same WG/COAX adapter, but its length is shorter than conventional conical horn with length $L2 = 160$ mm.

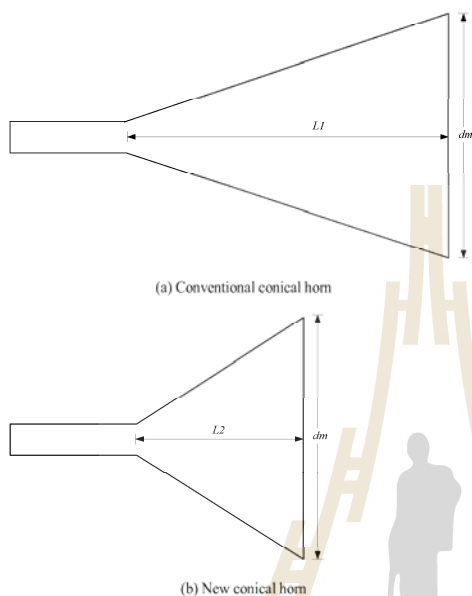


Fig. 1. The conical horn antenna structures.

B. Design of Metamaterial on the Mushroom-like EBG Structures

The configurations of Metamaterial Technique on the mushroom-like EBG structures consist of four main parameters affecting its performance are a circularly metallic ground plane, dielectric substrate, periodically metallic patches on top of the substrate, and vertical vias connecting between each patch to the same ground plane. If we look on the cross section of this structure, it is similar to the shape of a mushroom [4] as shown in Fig. 2. However, the EBG structure can be represented as the resonant circuit, equivalently, with the capacitance represented by gap between the metal patches and the inductance represented by distance between the metal patches and ground plane as shown in Fig. 3.

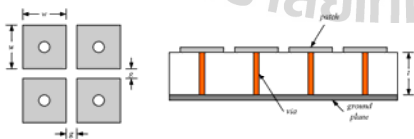


Fig. 2. The mushroom-like EBG structures

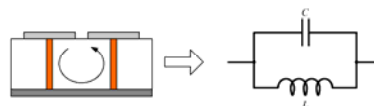
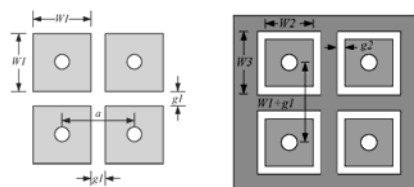
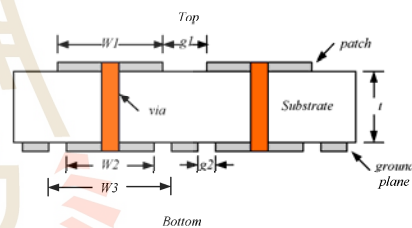


Fig. 3. The equivalent circuit of mushroom-like EBG



(a) Top view (b) Bottom view



(c) Side view

Fig. 4. The proposed new cell mushroom-like EBG structures.

In the research, the structure of mushroom-like EBG metamaterial must be excited with electromagnetic waves from the conical horn. Therefore, its ground plane is modified to gouging in shape of square-ring slots, appropriately, as coupling slots for transferring the EM waves from horn antenna into its equivalent resonant circuits as shown in Fig. 4. We have the new mushroom-like EBG structures, which the dimension is calculated and specified as follow: $W1=7.2$ mm, $W2 = 6.5$ mm, $W3 = 8.2$ mm, $g1=2$ mm, $g2 = 1.7$ mm, $a = W1+g1$, vias radius, $r = 2$ mm and substrate thickness of FR4, $t = 1.6$ mm, respectively. Figure 5 shows the bandgap characteristics of the modified mushroom-like EBG structures, which yields the pass-bandgap of structures is around 4.6 GHz to 5.3 GHz .

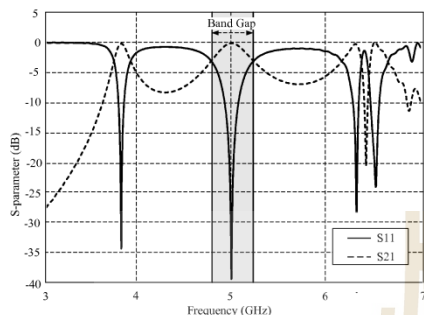


Fig. 5. The bandgap characteristics of new cell mushroom-like EBG structures of proposed

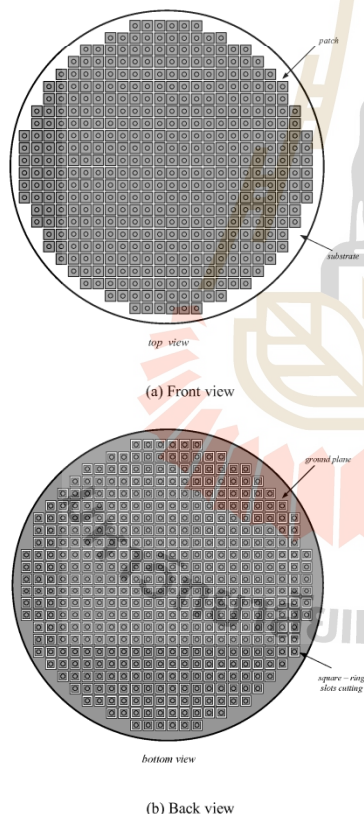


Fig. 6. Geometry of proposed metamaterial technique based on the mushroom-like EBG structure on a circular substrate and ground plane.

Figure 6 shows the metamaterial technique with mushroom-like EBG structure on a circular substrate and ground plane. The ground plane structure is gouged to be the coupling slots as shown in Fig 6 (b). The square-ring slots on the ground plane will be used for coupling EM waves from conical horn antenna into EBG structure. Finally, the energy of EM waves will be gained by the equivalent resonant circuit of this structure and transferred to the free-space.

III. SIMULATED RESULTS AND DISSCUSSION

This section presents the simulated results of the proposed horn antenna with EBG metamaterial. The perspective view of the proposed conical horn is shown in Fig. 7. All parameters of metamaterial technique on mushroom-like EBG structure covering on the aperture of conical horn, have been optimized by using the simulation software. The simulated results of the proposed horn and conventional horn with same aperture diameter but different length are illustrated and compared as shown in Fig. 8 and 9. In Fig. 8, we found that the simulated reflection coefficient (S_{11}) of the proposed antenna shows the good characteristic of impedance matching better than of the conventional conical horn but it provides the narrower bandwidth. Fig. 9 shows the comparison of the radiation patterns of such two horn antennas. It's found that the radiation pattern of the proposed antenna will be disturbed from the structure of metamaterial on mushroom-like EBG, but its gain (19.7 dB) is higher than the conventional one (18.1 dB) around 1.6 dB as noted in Table I, while the length of our horn is shorter about 44.82%.

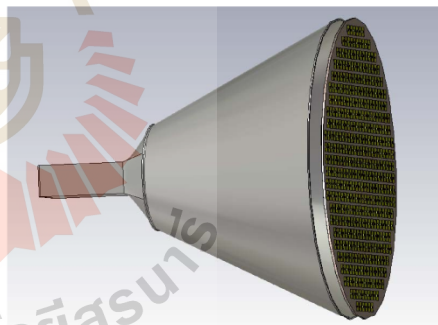


Fig. 7. A completed structure of new conical horn antenna with EBG metamaterial.

IV. CONCLUSION

In this work, the structure of proposed antenna consists of a shorter conical horn antenna and novel mushroom-like EBG metamaterial plate that its ground plane is gauged in shape of square-ring slots and covered on the horn aperture, which is designed at the 5 GHz of C-band frequency for satellite and radar applications. The comparison results such as the reflected power, S_{11} and radiation patterns of this proposed antenna and the conventional horn have been simulated by using the

simulation software. We found that this proposed antenna is capable to provide the higher gain (19.7 dB) when compared to the gain of conventional horn (18.1 dB), while the length of new conical horn is shorter than of conventional one about 44.82%. However, the bandwidth of the proposed antenna is narrower than the old one due to the effect of EBG structure which will be investigated and recovered for providing the completed characteristics, in the future certainly.

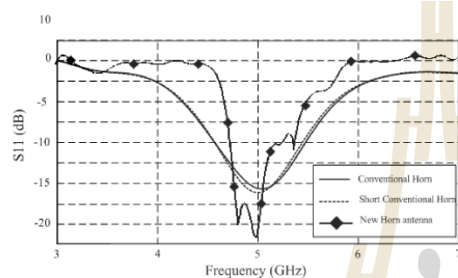


Fig. 8. The reflection coefficient of the proposed antenna.

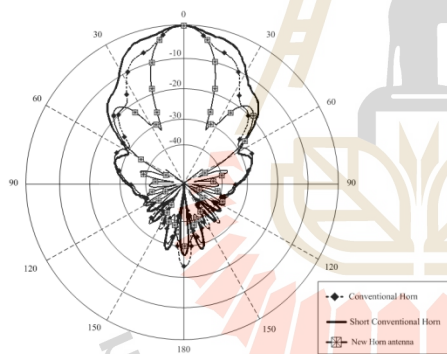


Fig. 9. The radiation patterns of the proposed antenna at frequency 5GHz

TABLE I. COMPARISON BETWEEN CONVENTIONAL AND NEW CONICAL HORN ANTENNA

| Type | Length (mm) | Diameters Aperture (mm) | Gain (dB) |
|-------------------------|-------------|-------------------------|-----------|
| Conventional Horn | 290 | 230 | 18.1 |
| Short Conventional Horn | 160 | 230 | 15.1 |

| Type | Length (mm) | Diameters Aperture (mm) | Gain (dB) |
|------------------|-------------|-------------------------|-----------|
| New Horn Antenna | 160 | 230 | 19.7 |

ACKNOWLEDGMENT

This work was supported by the Research Department Institute of Engineering, Suranaree University of Technology, Nakhonratchasima, Thailand.

REFERENCES

- [1] C. Bruns, P. Leuchtman, and R. Vahldieck, "Analysis and simulation of a 1-18 GHz Broadband Double-Ridge Horn Antenna," IEEE. Trans. Electromagnetic Compatibility. Soc. London, vol. 45, pp. 55-60, Feb 2003.
- [2] S. K. Palit, " Design of Hollow Dielectric Pyramidal Horn Antennas," Canada, vol. 2, pp. 1086 - 1089, Jul 1997
- [3] A.P.King, "The Radiation Characteristics of Conical Horn Antenna," Proceedings of The I.R.E.,1950, pp.249-251.
- [4] F.Yang, and Y. Rahmat-Samii, Electromagnetic Band Gap Structure in Antenna Engineering, USA by Cambridge University Press, New York, 2009
- [5] N.H.M.Hanafi, M.T.Islam, and N.Misran, "Analysis of Mushroom-like EBG Structure and UC-EBG for SAR Reduction," ISAP2012, pp. 696-699, 2012.
- [6] You-QUan Li, Hui Zhang, Yun-Qi Fu, and Nai-Chang Yuan, "RCS Reduction of Ridged Waveguide Slot Antenna Array Using EBG Radar Absorbing Material," IEEE.Antennas and Wireless Propagation Letters, vol. 7, pp. 473-476, 2008
- [7] D.Ramaccia, F.Scattone, F.Bilotti, and A.Toscano, "Broadband Compact Horn Antennas by Using EPS-ENZ Metamaterial Lens," IEEE Transactions on Antennas and Propagation, vol. 61, no. 6, pp. 2929-2937, June 2013.
- [8] M.T.Al-Nuaimi, W.Hong, and Y.Zhang, "Design of High-Directivity Compact-Size Conical Horn Lens Antenna," IEEE Antennas and Wireless Propagation Letters, vol. 13, 2014, pp. 467-470.

Gain Improvement for Conventional Conical Horn By Using Mushroom-like Electromagnetic Band Gap

Pumipong Duangtang

School of Telecommunication Engineering,
Suranaree University of Technology,
Nakhon Ratchasima, Thailand
Pumipong5325@hotmail.com

Piyaporn Krachodnok

School of Telecommunication Engineering,
Suranaree University of Technology,
Nakhon Ratchasima, Thailand
priam@sut.ac.th

Rangsan Wongsan

School of Telecommunication Engineering,
Suranaree University of Technology,
Nakhon Ratchasima, Thailand
rangsan@sut.ac.th

Abstract— This paper presents the study of the new exciting method for improving gain of the conventional conical horn at C-band frequency by using mushroom-like Electromagnetic Band Gap (EBG). The important technique of this paper is to use the basic mushroom-like Electromagnetic Band Gap (EBG) on circular plate and connected to waveguide/coaxial adapter. From the study, we found that such technique can provide the better gain and small size when compare to the conventional conical horn antenna. From the simulated results by using the licensed Computational Simulation Software (CST), we found that this technique provides the gain around 19.3 dBi.

Keywords— *Electromagnetic Band Gap; Conical Horn Antenna; Square-Ring Backed Slot Array*

I. INTRODUCTION

The conventional horn antennas are widely used be devices for transmission and reception of electromagnetic waves in areas such as standard measurement, EMC testing, radar, communication systems [1], feed element for radio astronomy, and satellite communication[2]. The conical horn antenna is suitable to provide high gain, high power, and broadband applications. The advantages of antennas are low level of lateral and back radiations, possibility to function with very good directivity, and gain properties. The antenna characteristics are conditioned by feeding facility [3]. However, such conventional horn antennas still have bigger size if the higher gain is required. Therefore, the aim of this study is to design new feeding technique for the conical horn antenna.

Electromagnetic band gap (EBG) structures have been used in many applications of antenna technology and studied widely in recent year. The structures are equivalent to magnetic surface at the frequency of resonance, and thus reflect the incident electric field in face, instead of the out of phase reflection off perfect electric conductor (PEC) plates [4]. The mushroom-like EBG structures, which is formed by periodic array of metallic patches with each element connecting to the conductive ground with vertical vias. The EBG structure exhibits surface-wave band-gap and in-phase reflection band-gap and it has been widely applied to design of low profile antenna with improved performance [5]. This EBG structures has a many advantages represent some unique characteristics,

such as forbidden band gap, in-phase reflection, scalable, etc many kinds of EBG structures have been proposed, studied and used in applications, such as filter, resonators, power dividers, power amplifiers, high speed circuits, antennas absorbing screens[6], and compact configuration, low insert loss and easy to fabricate [7].

In this paper, we present a new excitation technique for the conical horn antenna for gain improvement and its size reduction by using mushroom-like electromagnetic Band Gap (EBG) at 5 GHz operating frequency with the aim for C-band applications such as feeding array system of satellite, feeder for parabolic dishes, etc. Generally, horn antenna design is usually directly connected between cavity excitation and the horns. The proposed technique of new excitation is to insert the part of mushroom-like EBG between the waveguide/coaxial adapter and the input of horn. When the microwave frequency is fed into such adapter, the electromagnetic wave will propagate through the EBG part for increasing gain and transfer to the conical horn, continually. Consequently, the total gain of the conventional conical horn antenna will be improved.

At first, the general approach will be presented. The configurations of conical horn antenna, the mushroom-like EBG on circular PCB will be shown in Section II. Next, in Section III, we have applied this approach into CST software for simulating the results and discussion. Finally, in Section IV, the conclusions are given.

II. CAVITY-BACKED EXCITATION AND MUSHROOM-LIKE EBG CONFIGURATION

A. Cavity-Backed Excitation

Design of the cavity-backed excitation was designed base on the waveguide-to-coaxial (WG/COAX) adapter as shown in Figure 1. This WG/COAX adapter consists of a rectangular waveguide, N-type coaxial connector and exciting probe inside. The dimension of rectangular waveguide is calculated on the base of dominant TE_{10} mode at operating frequency of 5 GHz. While the inside dimension of EBG structure is calculated and specified as follow: $a=51$ mm, $b=26$ mm and $c=21$ mm. The length of the exciting probe and probe diameter are around 12.6 mm and 1.3 mm, respectively.

B. Mushroom-like EBG Structures

The configurations of the mushroom-like EBG structures consist of a circularly metallic ground plane, dielectric substrate, periodically metallic patches on top of the substrate, and vertical vias connecting between each patch to the own ground plane. If we look on the cross section of this structure, it is similar to the shape of a mushroom [8] as shown in Figure 2. However, the EBG structure can be represented as the resonant circuit, equivalently, with the capacitance represented by gap between the metal patches and the inductance represented by distance between the metal patches and ground plane as shown in Figure 3.

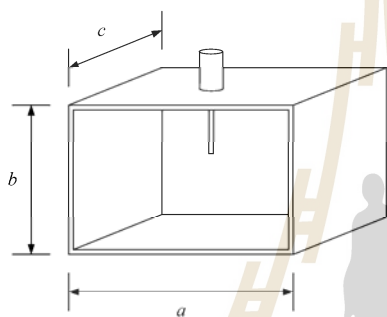


Fig. 1. The cavity-backed excitation

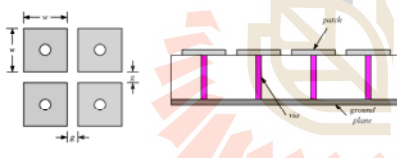


Fig. 2. The mushroom-like EBG structures



Fig. 3. The equivalent circuit of mushroom-like EBG

However, the EBG structures must be excited electromagnetic waves from WG/COAX adapter, therefore, its ground plane is necessary to cut appropriately as coupling slots for transferring the EM waves from adapter into its equivalent resonant circuits as

shown in Figure 4. The dimension EBG structure is calculated and specified as follow: $w1 = 10.1$ mm, $w2 = 9.2$ mm, $g1 = 1.2$ mm, $g2 = 3$ mm, vias radius = 0.3 mm and substrate thickness of FR4 = 1.6 mm.

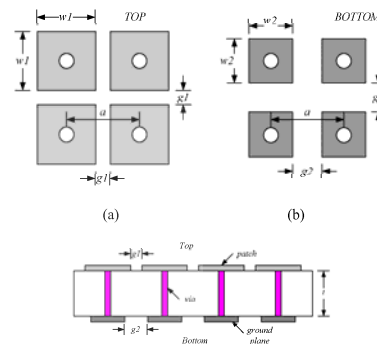
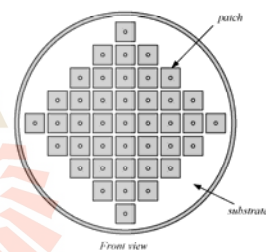
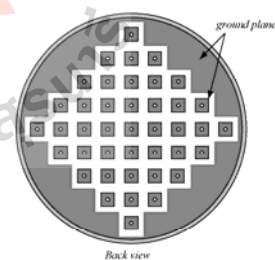


Fig. 4. The new cell mushroom-like EBG structures of proposed, (a) The top view, (b) The bottom view. (c) The Side view



(a)



(b)

Fig. 5. Geometry of proposed mushroom-like EBG structure on a circular substrate and ground plane, (a) the top view, (b) the bottom view.

Figure 5 Shows the mushroom-like EBG structure on a circular substrate and ground plane, which its ground plane is cut to be coupling slot as shown in Figure 5 (b). The square-ring-like slots on the ground plane will be used for coupling EM waves from WG/COAX adapter into EBG structure. Finally, the energy of EM waves will be gained by the equivalent resonant circuit of this structure and propagated forward to the conical horn antenna.

C. Conical Horn Antenna Structure

Figure 6 shows the structure of conventional horn that has been used in the comparable study. The dimensions of the conventional horn antenna and the proposed one are compared and shown in Table I. Apparently, the length of our conical horn can be decreased about 50 % when compared to the conventional conical horn.

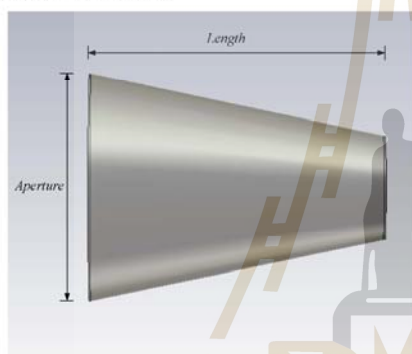


Fig. 6. The structure of conical horn

TABLE I. CONICAL HORN DIMENSIONS

| Conical Horn Type | Dimension (mm) | |
|---------------------------|------------------------|-------------|
| | Aperture Diameter (mm) | Length (mm) |
| Conventional Conical Horn | 178 | 600 |
| New Conical Horn | 178 | 320 |

III. SIMULATED RESULTS AND DISCUSSION

From the section II, all parameters of EBG structure, which is connected with WG/COAX adapter as shown in Figure 7, have been optimized by using the simulation software. After that, such EBG structure is connected and cooperated with the new conical horn as shown in Figure 8. To compare between the proposed antenna and the conventional conical horn without EBG at the same operating frequency, the simulated results are illustrated and compared in Figure 9 and 10. We found that the simulated reflection coefficient (S_{11}) of the proposed antenna shows the good characteristic of impedance matching better than of the conventional conical horn but it provides the narrower bandwidth. Figure 10 shows the comparison of the radiation patterns of such two antennas. It's

found that the radiation pattern of the proposed antenna will be disturbed from the structure of EBG but its gain (19.3 dB) is higher than the conventional one (18.1 dB) around 1.2 dB as noted in Table II, while the length of our horn is shorter.

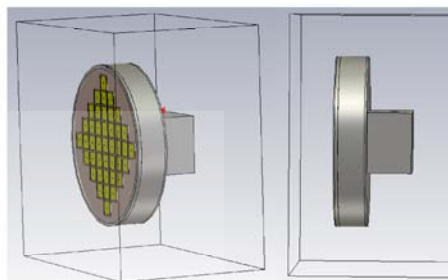


Fig. 7. The structure of mushroom-like EBG on circular substrate and ground plane connected to the WG/COAX adapter.

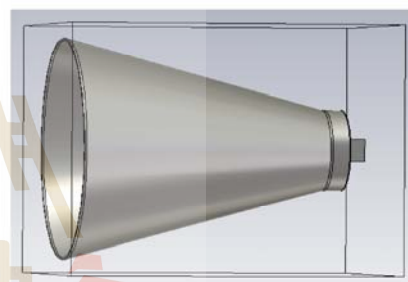


Fig. 8. A completed structure of conical horn antenna associated with additional EBG structure.

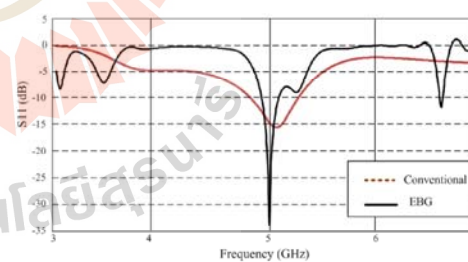


Fig. 9. The reflection coefficient of the proposed antenna.

TABLE II. GAIN COMPARISON

| Type | Gain (dBi) |
|---------------------------|------------|
| Conventional Conical Horn | 18.1 |
| New Conical Horn used EBG | 19.3 |

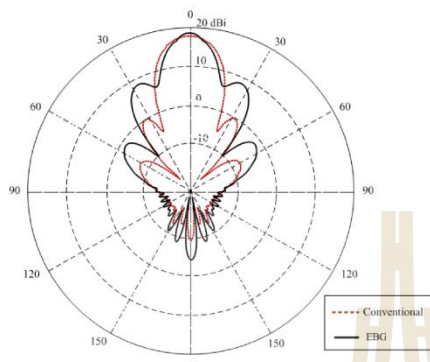


Fig. 10. The radiation patterns of the proposed antenna at frequency 5GHz

IV. CONCLUSION

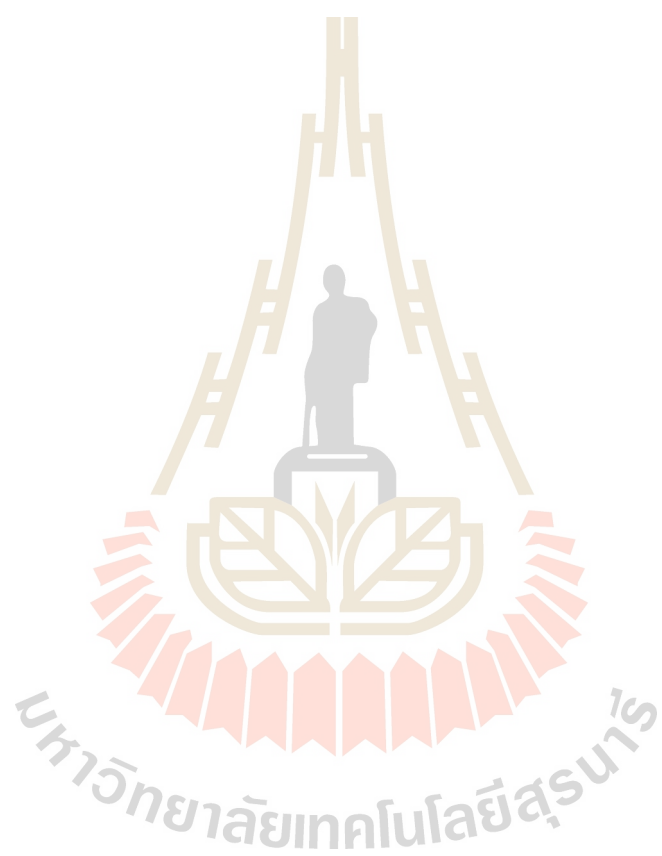
This paper presents the studied results by using the simulation software for a new technique of conical horn antenna excitation by using mushroom-like Electromagnetic Band Gap (EBG) on the circular substrate and ground plane inserted between feeding adapter and input of the conical horn antenna, which is designed at the 5 GHz C-band frequency. The simulated results can predict the trend of the accomplishment of this antenna that satisfies to our initial idea. For the evident results, we found that the length of our conical horn is shorter than the conventional conical horn antenna at the same frequency but can provide the gain similar to the conventional one. However, the bandwidth of the proposed antenna is narrower than the old one due to the effect of EBG structure which will be investigated and recovered for providing the completed characteristics, certainly.

ACKNOWLEDGMENT

This work was supported by the Research Department Institute of Engineering, Suranaree University of Technology, Nakhonratchasima, Thailand.

REFERENCES

- [1] C. Bruns, P. Leuchtman, and R. Vahldieck, "Analysis and simulation of a 1-18 GHz Broadband Double-Ridge Horn Antenna," *IEEE Trans. Electromagnetic Compatibility. Soc. London*, vol. 45, pp. 55-60, Feb 2003.
- [2] S. K. Palit, "Design of Hollow Dielectric Pyramidal Horn Antennas," *Canada*, vol. 2, pp. 1086 - 1089, Jul 1997
- [3] A.Othman, M.F. Ain, A.A. Sulaiman, and M.A. Othman, "A Ka-Band horn antenna excited with parasitic dielectric resonator Antenna," *ICT*, pp. 446-448, 2010
- [4] S. Palreddy, A.I. Zaghoul, and S.J. Weiss, "Performance Simulation of a Conformal Equiangular Spiral Antenna on the Circular Truncated Cone," *Wireless Communications Networking and Mobile Computing (WiCOM)*, pp.1-4, Sept 2010.
- [5] You-QUan Li, Hui Zhang, Yun-Qi Fu, and Nai-Chang Yuan, "RCS Reduction of Ridged Waveguide Slot Antenna Array Using EBG Radar Absorbing Material," *IEEE.Antennas and Wireless Propagation Letters*, vol. 7, pp. 473-476, 2008
- [6] F. Zhang, Z. Du, QWang, and K. Gong, "A Novel Approach to Enhance the Bandwidth of Mushroom-like EBG Structures," *Builin, Microwave and Millimeter Wave Technology (ICMMT)*, pp.1-4, Apl 2007
- [7] W. Zhang, C.H. Liang, T.H. Ding, and B. Wu, "A novel broadband EBG using multi-via cascaded mushroom-like structure," *Singapore, Microwave Conference(APMC)*, pp. 484-487, Dec 2009
- [8] F.Yang, Y. Rahmat-Samii, *Electromagnetic Band Gap Structure in Antenna Engineering*, USA by Cambridge University Press, New York, 2009



ประวัติผู้เขียน

นายภูมิพงษ์ ดวงตั้ง เกิดเมื่อวันที่ 21 ธันวาคม 2521 ที่จังหวัดลำปาง สำเร็จการศึกษาระดับประกาศนียบัตรวิชาชีพ (ปวช.) สาขาวิชาช่างอิเล็กทรอนิกส์ จากวิทยาลัยเทคนิคลำปาง จังหวัดลำปาง ในปีการศึกษา 2538 และประกาศนียบัตรวิชาชีพชั้นสูง (ปวส.) สาขาวิชาช่างอิเล็กทรอนิกส์ โทecomนาคม จากวิทยาลัยเทคนิคลำปาง จังหวัดลำปาง ในปีการศึกษา 2540 สำเร็จการศึกษาระดับปริญญาตรี วิศวกรรมศาสตรบัณฑิต(วศ.บ.) สาขาวิชาวิศวกรรมโคมนาคม จากมหาวิทยาลัยเทคโนโลยีมหานคร จังหวัดกรุงเทพมหานคร ในปีการศึกษา 2543 สำเร็จการศึกษาระดับปริญญาโท วิศวกรรมศาสตรมหาบัณฑิต (คอ.ม.) สาขาวิชาไฟฟ้า แขนงอิเล็กทรอนิกส์ จากมหาวิทยาลัยเทคโนโลยีพระจอมเกล้าพระนครเหนือ จังหวัด กรุงเทพมหานคร ในปีการศึกษา 2550 จากนั้นเมื่อในปีการศึกษา 2556 ได้เข้าศึกษาต่อในระดับปริญญาเอกวิศวกรรมศาสตรดุษฎีบัณฑิต (วศ.ด.) สาขาวิศวกรรมโคมนาคม มหาวิทยาลัยเทคโนโลยีสุรนารี จังหวัดนครราชสีมา ปัจจุบันเป็นอาจารย์ประจำโปรแกรมวิชาวิศวกรรมคอมพิวเตอร์ สำนักวิชาคอมพิวเตอร์และเทคโนโลยีสารสนเทศ มหาวิทยาลัยราชภัฏเชียงราย จังหวัดเชียงราย

มหาวิทยาลัยเทคโนโลยีสุรนารี